

論文 / 著書情報
Article / Book Information

題目(和文)	トランスマルチ型回路の設計に関する研究
Title(English)	
著者(和文)	坂庭好一
Author(English)	KOHICHI SAKANIWA
出典(和文)	学位:工学博士, 学位授与機関:東京工業大学, 報告番号:甲第908号, 授与年月日:1977年3月26日, 学位の種別:課程博士, 審査員:
Citation(English)	Degree:Doctor of Engineering, Conferring organization: Tokyo Institute of Technology, Report number:甲第908号, Conferred date:1977/3/26, Degree Type:Course doctor, Examiner:
学位種別(和文)	博士論文
Type(English)	Doctoral Thesis

トランジスタ型回路の設計に関する研究

昭和 52 年 1 月

指導教官 岸 源也 教授

提出者 大学院博士課程 電子工学専攻
坂庭好一

トランスハーフル型回路の設計に関する研究

第1章 緒言

1.1	本研究の背景と目的	1
1.2	本研究の概要	4
1.3	準備	6
1.3.1	トランスハーフル型回路の構造	
1.3.2	2乗誤差評価式	
1.3.3	代表的な MS 形自動等化器	

第2章 タップ利得 2乗和の抑止からトランスハーフル型回路

2.1	はじめに	17
2.2	準備	19
2.3	タップ利得の増大現象	21
2.4	タップ利得 2乗和のむつ物理的意味	27
2.5	設計方法	30
2.6	自動等化器への応用	34
2.7	最小近似誤差の評価	41
2.8	例題	43
2.9	あとがき	53

第3章 集中定数遮断回路を用いた半無限トランスハーフル型回路の伝達関数

3.1	はじめに	54
-----	------	----

3.2	準備	55
3.3	伝達関数の満すべき必要十分条件.	57
3.4	例題	62
3.5	あとがき	64

第4章 希望特性の実現値をタップ利得とする分岐統和型 2乗誤差最小 ブランクーバル型回路

4.1	はじめに	65
4.2	構成方法 (I)	66
4.3	構成方法 (II)	73
4.4	マトリクス回路の構成に関する検討	76
4.5	プリセット型等化器としての応用	80
4.6	計算例	82
4.7	あとがき.	98

第5章 ブランクーバル型回路の偏差角解析

5.1	はじめに	99
5.2	準備.	101
5.3	伝達関数への影響.	103
5.4	振幅及び位相特性への影響.	108
5.5	時間領域標本値への影響.	127
5.6	偏差の分類.	136
5.7	統計的偏差が伝達特性に及ぼす影響	137
5.8	あとがき.	147

第6章 离散的タップ利得を持つブランクーバル型回路

6.1	はじめに	148
-----	------	-----

6.2 異性散空間における 2乗誤差の最小化	149
(大域的最小実得子の十分な調査範囲の決定)	
6.2.1 直流利得を含めた近似の場合	
6.2.2 直流利得を問題とは「近似の場合」	
6.3 統統型構成に関する考察	163
6.4 あとがき	171

第7章 2次統統型構成による自動等化器

7.1 はじめ	172
7.2 準備	173
7.3 大域的最適解である為の十分条件	179
7.4 自動等化アルゴリズム	183
7.5 あとがき	185

第8章 トランジスターカル型回路を用いた SSB ディジタル 変復調器の一形式

8.1 はじめ	186
8.2 準備	187
8.3 変調部	189
8.4 復調部	193
8.5 あとがき	196

第9章 結言

謝辞 200

参考文献 201

第1章 緒論

1.1 本研究の背景と目的

トランジistor型回路は、1940年 H.E. Kallmann によって提案された⁽⁷⁾が、その大きな特長は、一般に安定化に関する考慮が不要で、その点設計が容易であることと、特性を可変にし易いことと考えられる。以来、トランジistor型回路は、その特長を生かして、通信の各分野で広く利用されてい。その結果より、半波整流器、各種通信路の歪等化器や振幅等化器、位相又は遅延等化器、及び時間領域の等化器などである。特に近年では、可変等化器や自動等化器などの応用的研究が盛んで^{(8)~(10)}、そのうち⁽¹¹⁾、自動等化器に関する研究は、非常に多い^{(12)~(14)}。

しかしながら、トランジistor型回路の基礎的な理論面での研究などと、余り多くの研究が成り立っていないようである。例えは、(i) 従来、提唱されてきたトランジistor型回路回路の代表的な設計方法の中には、設計の結果として得られるタップ利得の大きさを考慮しているのは、少いようである。しかし、現実には、ダイオードレジストや素子感度、あるいは偏差の影響を考慮すると、タップ利得の大きさには必ず一定の上限があるものと考らされ、何らかの意味でタップ利得の大きさを制限した設計方法を検討しておく必要があるものと考らわれる。さらには、(ii) 因果律を考えるとトランジistor型回路は、本質的に半無限の構造をもつものと考らられ、設計に普通のフーリエ級数理論をそのまま適用することは出来ない。又、現実には、遅延回路とて、集中定数の全域通過回路を用いる場合も多く、その点でもフーリエ級数とは異なる。従ってこのより半無限トランジistor型回路で実現出来る伝達関数や、トランジistor型等化器の等化能力を調べておくことは、重要なと見われる。しかし、この方面での研究は少いよう^{(15)~(17)}、一部分が解決できずに過ぎず検討の余地が残されているように思われる。又、(iii) トランジistor型回路の時間領域特性と周波数領域特性との関係を表す理論として、対反響理論⁽⁸⁾がよく知られており、現在に致しま

で、一つの代表的な設計方法の基礎を提供します。然るに、トランジistor-カール型回路の設計に対する理論をそのままの形で適用しようとすると、必然的にタップ²ねど決する他のエラーを含むことになります。タップ²ねどの実²特性と一致させようとするための分段一級型の設計をせざるを得なくなる。この為、各分段²は、希望特性に一致するか、それ以外では、近似度が不明確となる事になります。この問題は、2乗誤差等を評価式として用ひることにより、相当解決されるものと考えられますか、2乗誤差を評価式として用ひると、通常は、タップ²利得が希望特性により、簡単に表せない⁽²⁶⁾と云う事が起り、可変等化器等を介して使用していくものとなります。そこで、2乗誤差を評価式として用ひ、しかも、タップ²利得が、希望特性により、容易に表されるよう⁽²⁷⁾トランジistor-カール型回路の構成方法が想されます。さらに、(iv) ディジタル・フィルタなどの方面²は、従来の2乗誤差の偏違特性に与える影響について、比較的詳しく研究が為されていります⁽²⁸⁾、アナログ素子を用いたトランジistor-カール型回路においては、偏差の多い回路⁽²⁹⁾ではタップ²利得で²42%近く、他に多くの要素が混在し、これらの要素の偏差が特性に及ぼす影響⁽³⁰⁾を考察したのは、比較的少いようである。電荷転送素子を用ひた⁽³¹⁾代表例⁽³²⁾では、固定トランジistor-カール型回路においては、2%近く、タップ²利得の変化による可変トランジistor-カール型回路においても、タップ²利得の調整⁽³³⁾は補償出来ない影響⁽³⁴⁾を与える偏差があり、偏差解析は、重要な問題と考えられます。これらの問題に加えて、(v) ディジタル回路を用ひたトランジistor-カール型回路では、タップ²利得と²許さないのは、連続的⁽³⁵⁾な値ではなく、離散的⁽³⁶⁾な値である。従って、タップ²利得が離散値に限られる⁽³⁷⁾ことを考慮して設計方法が、必要となるか、問題自体が比較的新しい為か、研究も少いよう⁽³⁸⁾、CADによる設計方法等⁽³⁹⁾が、発表されていない⁽⁴⁰⁾が、大域的最適化が得られる⁽⁴¹⁾という保証がある⁽⁴²⁾といつて問題⁽⁴³⁾があり、検討の余地が残されている。vi) 自動等化器⁽⁴⁴⁾と、用ひらる⁽⁴⁵⁾トランジistor-カール型回路は、もっぱら、通常型構成におけるに限られる⁽⁴⁶⁾と²、等価な⁽⁴⁷⁾2次区間の系統構成による回路を用ひた例⁽⁴⁸⁾は、見かけ上

いようである。しかし、近似すべき特性によれば、2次系統型構成による方が、優しいことは場合もあり⁽³²⁾ 2次系統型構成によるトランスパーカル型回路が、自動等化器とくに利用可能であるかどうか検討にあく必要があると思われる。さらに、(vii) 実際のデジタル通信網への利用とくに、トランスパーカル型回路を用いてデジタル変復調器の設計に関する問題など、多くの問題があるわけである。

本研究の目的は、上に挙げた問題に対し、統一的考察を行うことである。

尚、本文は、トランスパーカル型回路の設計段階では、誤差評価式とくに2乗誤差を用いることと、ほゞ一貫して、2乗誤差は、数学的に取り扱い易いと云う理由に加えて、ハーモナルの等式が使えた場合には、時間領域と周波数領域の関係が明確である。さらに、トランスパーカル型回路において、平均2乗誤差最小による設計と、SN比最大による設計とか等価である⁽³³⁾ と云ふ意味があり、一つの有力な評価量であると考えられる。

1.2. 本研究の概要

本研究は、前節に挙げた 7 つの問題点に対する考察を目的とし、第 2 章から、第 8 章まで、各章ごとの問題を扱っている。本節では、以下 各章の内容を簡単にまとめておく。

第 2 章では、タップ利得 2 乗和の抑えられたトランシーバー型回路の最小 2 乗近似による設計方法について述べてある。また、トランシーバー型回路の普遍の最小 2 乗近似による設計法について述べてある。このうちの場合にタップ利得が大きくなるかを調べ、次に、本章で提案するタップ利得 2 乗和の抑えられた設計方法のもつ物理的意味を述べている。次に、本章の基本定理により、タップ利得 2 乗和の抑えられた設計方法を示すと共に、それを、自動等化器に適用する場合の最適タップ利得設定アルゴリズムを与えてある。最後に、タップ利得 2 乗和を抑えたときの最小 2 乗誤差を与える近似式を導くと共に、幾つかの例題を付している。

第 3 章では、集中定数遅延回路を用いてトランシーバー型回路によく実現出来る伝達関数が満すべき必要十分条件について述べ、例題を行なう。

第 4 章では、希望特性の分担値をタップ利得によって可変等化器等により、便利な形式の分担系和型 2 乗誤差最小のトランシーバー型回路について述べてある。また、その構成方法を 2 つ述べ、そこでは、必要となるマトリクス回路の構成に関する検討を行なう。又、分担系和型 2 乗誤差に関するデータにより、積分型 2 乗誤差との比較、適当なタップねじと分担系の関係、近似に適当なタップねじ、重み関数の影響などについて述べてある。又、ブリッジ型等化器とその適用方法に関する検討についても述べる。

第 5 章では、トランシーバー型回路の各種回路パラメータの微小偏差が伝達特性、振幅及び位相特性、時間領域等間隔標本値に与える影響を 1 次近似によく調べ、偏差の生じる回路パラメータの種類及び位置によつて変る影響の大さが特徴を述べると共に、幾つかの計算例を示す。

12-113。又、偏差による影響がタップ利得の調整で補償出来るか否かにより、偏差の種類を分類することを提案し、最後に、タップ利得が設計値を中心とした統計的ではどうぞと仮定した場合、伝達特性に与える影響から見て、通常型構成と、系統型構成の比較を行った。

第6章では、前半では、離散的タップ利得をもつトランジistor型回路の最小2乗近似による設計において、大域的最小値を得たのと十分な調査範囲を、直流利得を含めた近似の場合と、直流利得を用いた場合との近似の場合に分け、求めた。又、CAEによく、局所的最小値を得た場合の助けとする目的で、連続空間上での2乗誤差評価関数の形状を調べた。後半では、タップ利得が工進化技術に制限された系統型構成によるトランジistor型回路で、実現出来た零点の位置を系統的に求め、設計の際のデータを与えた。

第7章では、2次区間系統型構成によるトランジistor型回路で、MS形自動等化器と用いる場合の考察を行い、2次系統型構成によるタップ利得を変形する空間で、2乗誤差評価関数を停留せよと大域的最適零点を求める十分条件を求めると共に、2乗誤差評価関数を停留せよと大域的最適零点へ収束する簡単な自動等化アルゴリズムを示し、2次系統型構成によるトランジistor型回路を自動等化器と用いることの可能性と、限界を明らかにした。

第8章では、標本化定理に基づき、トランジistor型回路で構成され、周波数分割多重AM-Digital変復調システムの一形式について述べた。

1.3. 準備.

本節では、本論文で扱うトランジistor-カーリ型回路に関する多少の説明を加える。
即ち、1.3.1項でトランジistor-カーリ型回路の構造について説明し、1.3.2項で代表的な2乗誤差評価式をあげ、その説明を行う。又、1.3.3項では、従来の通常の mean square テルゴリズム⁽³⁹⁾による自動等化器（以下、MS形自動等化器と略す）の代表的なものを2,3紹介し、説明を加えておく。

尚、本論文では、主としてエレキギー有限の信号を扱っており、時間波形 $x(t)$ に対するアーリイ変換 $X(\omega)$ を形式的に

$$\left. \begin{aligned} X(\omega) &\stackrel{\Delta}{=} \int_{-\infty}^{\infty} x(t) e^{-j\omega t} dt \\ x(t) &\stackrel{\Delta}{=} (1/2\pi) \int_{-\infty}^{\infty} X(\omega) e^{j\omega t} d\omega \end{aligned} \right\} \quad (1.3.0-1)$$

と定義し、 $x(t) \leftrightarrow X(\omega)$ などと記しておく。

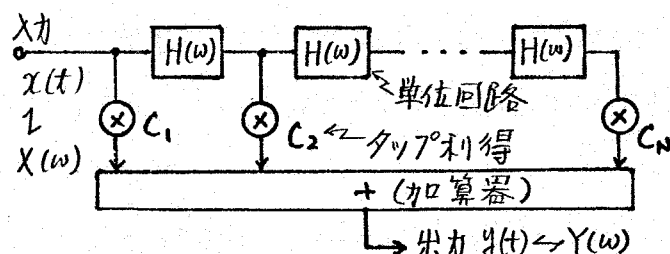
1.3.1 トランジistor-カーリ型回路の構造

トランジistor-カーリ型回路は、言葉の意味^(*)からして、本来、横方向に遮断線を配り、アンプを設けて、各タップの出力を加算して、最終の出力を得るといつ（図1.1）の構造を持つもの⁽³⁸⁾と考えられ、タップ付遮断線や、FIRディジタル・フィルタによく代表される。

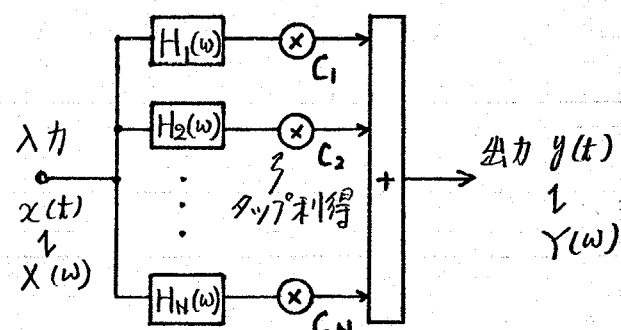
（図1.1）に示すトランジistor-カーリ型回路の伝達関数は、

$$H(\omega) = \sum_{n=1}^N C_n H^{n-1}(\omega) \quad (1.3.1-1)$$

である。但し、 $H(\omega)$ は、遮断



（図1.1）トランジistor-カーリ型回路（通常型構成）



（図1.2）拡張されたトランジistor-カーリ型回路

(*) transversal : (adj) 橫切子, 橫断線の, (n) 橫断線.

cf. transversal wave : 橫波, transversal line : 橫の側界線.

線と相当する単位回路の伝達関数は、又、 C_m はタップ利得である。単位回路とは、理想遮断器

$$\exp \{-j\omega C\} \quad (1.3.1-2)$$

を假定するとか、最も普通であり基本となり、(1.3.1-2)。現実には、基準定数の全域通過回路

$$(a-s)/(a+s), \quad a > 0, \quad s = j\omega \quad (1.3.1-3)$$

$$(s^2 - as + b)/(s^2 + as + b), \quad a, b > 0, \quad s = j\omega \quad (1.3.1-4)$$

や、これらを多用する。使用帯域内では、理想遮断器を近似するものなど多く用いられるようである。

(図1.2) による回路の伝達関数は、

$$H(\omega) = \sum_{n=1}^N C_m H_m(\omega) \quad (1.3.1-5)$$

とあるが、(図1.1) の標準的なトランスペーパー型回路の一般形、すなはち拡張された形とみなすことが出来る。⁽¹⁶⁾ 実際、式(1.3.1-5)において、

$$H_m(\omega) = H^{m-1}(\omega)$$

とすれば、式(1.3.1-1) と一致する。本論文では、(図1.2) による不満足の回路を拡張されたトランスペーパー型回路、又は、トランスペーパー型回路の一般形と呼ぶこととする。

又、2次区間等の絶縁構成に対して、(図1.1) の構成を通常型構成によるとトランスペーパー型回路と呼ぶこととする。

尚、タップ利得の番号付は、場合により、異なることがあるが、特化誤解の生じると思われる場合は、その都度断ることとする。

1.3.2 2乗誤差評価式

本項では、トランスペーパー型回路の周波数領域及び時間領域での設計に際して、用いられる代表的な2乗誤差評価式をあげ、それらの間の関係を述べると共に、それらがタップ利得要素とバターレン関数との関係式を示す。

統一的比較²とを指摘す。又、その際 現在の実対称相関行列の正確性について多少考察しておく。

(i) まず、周波数領域の工事誤差評価式とし、代表的なものをあらわすと、積分型工事誤差及部分失和型工事誤差

$$\varepsilon_{w_1} \triangleq \frac{1}{2\pi} \int_{-\omega_0}^{\omega_0} W(\omega) |Y(\omega) - G(\omega)|^2 d\omega \quad (0 < \omega_0 \leq +\infty) \quad (1.3.2-1)$$

$$\varepsilon_{w_2} \triangleq \sum_{i=-M}^M W(\omega_i) |Y(\omega_i) - G(\omega_i)|^2, \quad -\omega_i = \omega_{-i} \quad (1.3.2-2)$$

が考えられる。但し、

$G(\omega)$: 希望出力特性

$W(\omega) = W(-\omega) > 0$: 重み関数

$Y(\omega) \triangleq F(\omega) X(\omega)$: トランシスヒーリング型回路の出力

$F(\omega)$: トランシスヒーリング型回路の伝達関数

(式(1.3.1-1) 及び(1.3.1-5))

$X(\omega)$: 入力

2つめ。 ε_{w_2} は、式(1.3.2-2)の ε_{w_2} は、取扱計算が簡単で実用的であると言ふ意味で、式(1.3.2-1)の ε_{w_1} の代用となるべきものである。従つて以下、 ε_{w_1} について多少詳しく述べておくことにす。式(1.3.2-1)の ε_{w_1} は、簡単に計算できるよう、タップ利得と要素とするベクトルに関する2次式とし、次のよう表せば。(以下、本項では、 \top : 転置、 $\bar{\cdot}$: 複素共役、Re $\{\cdot\}$: 実部とする。)

$$\varepsilon_{w_1} = C' A C - 2 C' b + \varepsilon_0 \quad (1.3.2-1')$$

但し、 $C \triangleq (C_1, C_2, \dots, C_N)'$: タップ利得と要素とするベクトル

$A \triangleq (a_{k\ell})_{k,\ell=1 \sim N}$: 實対称行列(自己相関行列に相当)

$$a_{k\ell} = (1/\pi) \int_0^{\omega_0} W(\omega) |X(\omega)|^2 \operatorname{Re}\{H_k(\omega) \bar{H}_\ell(\omega)\} d\omega$$

$b \triangleq (b_1, b_2, \dots, b_N)'$: 定常ベクトル(相互相関ベクトルに相当)

$$b_k = (1/\pi) \int_0^{\omega_0} W(\omega) \operatorname{Re}\{X(\omega) \cdot G(\omega) \bar{H}_k(\omega)\} d\omega$$

$$\varepsilon_0 \triangleq (1/\pi) \int_0^{\omega_0} W(\omega) |G(\omega)|^2 d\omega$$

(1.3.2-4)

ϵ_{w_2} に対して全く同様に式(1.3.2-1)'と同一の形式に表すことが出来た。その具体的な式は 4.2 節にて示す。また、式(1.3.2-1)'において、

$$C'AC = (1/2\pi) \int_{-\omega_0}^{\omega_0} W(\omega) |Y(\omega)|^2 d\omega = (1/2\pi) \int_{-\omega_0}^{\omega_0} W(\omega) |X(\omega)|^2 |H(\omega)|^2 d\omega \quad (1.3.2-5)$$

であるから、実対称行列 A のすべての半正値であることは、明らかである。したがって、行列 A が正値であれば、式(1.3.2-1)'の ϵ_{w_1} を最小とする最適タップ利得 C^{opt} が一意的に定まる。

$$C^{opt} = A^{-1}b \quad (1.3.2-6)$$

ただし、 A の正値性は、非常に病的な入力 $X(\omega)$ や、単位回路 $H_k(\omega)$ を考慮する限り、成り立つものと考えられ、例えは、次の補題が成り立つ。

(補題 1.3-1)) 偶数周波数 $W(\omega)$ ($= W(-\omega) > 0$)、及ぶ恒等的ヒゼンゼン入力 $X(\omega)$ の連続 Z-トランスルーカル型回路の伝達関数が

$$H(\omega) = \sum_{m=1}^N C_m H^{m-1}(\omega) = \sum_{m=1}^N C_m e^{-j(m-1)\theta(\omega)} \quad (1.3.2-7)$$

但し、 $H(\omega) \equiv e^{-j\theta(\omega)}$ ：理想遙延線を含む、全域通過回路を考へる場合、式(1.3.2-1)'である。式(1.3.2-5)の行3.1 A は正値となる。但し、 ϵ_{w_1} (式(1.3.2-1)) と互いに積合の存在は、仮定である。(補題 1.3-1)

(証明). まず、 $H(\omega) = e^{-j\theta(\omega)}$ の基準定理の全域通過回路を考へる場合を示す。式(1.3.2-7)を式(1.3.2-5)に代入し、 $\bar{z} \equiv \theta(\omega)$ による複素変換を行い、 $\theta(\omega)$ の奇偶性を考へると、及ぶ逆関数 $\omega = \theta^{-1}(\bar{z})$ が考へられる。このとき θ は可逆であると

$$C'AC = \frac{1}{2\pi} \int_{-\theta(\omega_0)}^{\theta(\omega_0)} W\{\theta^{-1}(\bar{z})\} |X\{\theta^{-1}(\bar{z})\}|^2 \left\{ \sum_{k,l=1}^N C_k C_l e^{-j(k-l)\bar{z}} \right\} \frac{d\theta^{-1}(\bar{z})}{d\bar{z}} \cdot d\bar{z} \quad (1.3.2-8)$$

を得られる。ここで、 $W\{\theta^{-1}(\bar{z})\} |X\{\theta^{-1}(\bar{z})\}|^2 \{d\theta^{-1}(\bar{z})/d\bar{z}\}$ は、連続 Z-恒等的ヒゼンゼン偶数次元であり、又、 $\sum_{k,l=1}^N C_k C_l e^{-j(k-l)\bar{z}}$ は、有限区間 $(-\theta(\omega_0), \theta(\omega_0))$ 上、孤立零点しか持たない。従って式(1.3.2-8)は、 $C \neq 0$ に対する零と互いに成り立つ。したがって、 A は正値である。

次に、理想遙延線 $H(\omega) = e^{-j\omega C}$ の場合を考へると、式(1.3.2-5)が直帰する。

$$C'AC = (1/2\pi) \int_{-\omega_0}^{\omega_0} W(\omega) |X(\omega)|^2 \left\{ \sum_{k,l=1}^N C_k C_l e^{-j(k-l)\omega C} \right\} d\omega \quad (1.3.2-8)'$$

(*) 詳しくは、第3章、3.2節を参照されたい。

(i), 上の場合と全く同様に A が正値であることが云える。 (証明・続)

式(1.3.2-2)の分岐系和型2乗誤差 ε_{w_2} の場合も、分岐の数 $(2M+1)$ が 11° のみ (N) より大きいためには、例えば、入力が、すべてこの分岐で零である場合の場合は除き、行列 A は正値であることを考へよいと思われます。

(ii) 次に、時間領域での代表的2乗誤差評価式をあげると、

$$\varepsilon_{t_1} \triangleq \int_{-\infty}^{\infty} \{y(t) - g(t)\}^2 dt \quad (1.3.2-9)$$

$$\varepsilon_{t_2} \triangleq T \cdot \sum_{i=-\infty}^{\infty} \{y(iT) - g(iT)\}^2 \quad (1.3.2-10)$$

です。考へる事です。但し、

$$\left. \begin{array}{l} y(t) \leftarrow Y(\omega) \triangleq H(\omega) \cdot X(\omega) : \text{トランジistor型回路の出力} \\ H(\omega) : \text{トランジistor型回路の伝達関数} \\ (\text{式}(1.3.1-1) \text{ および 式}(1.3.1-5)) \\ X(\omega) : X \text{ 力} \\ g(t) \leftarrow G(\omega) : \text{希望出力} \end{array} \right\} \quad (1.3.2-11)$$

です。ここで、式(1.3.2-9)の ε_{t_1} と式(1.3.2-10)の ε_{t_2} は、(i) で述べた式(1.3.2-1)の ε_{w_1} の T の関係を述べておこう。

① ε_{t_1} と ε_{w_1} は、 11° -セルルの等式で統一される。

$$\varepsilon_{t_1} = (1/2\pi) \int_{-\infty}^{\infty} |Y(\omega) - G(\omega)|^2 d\omega \quad (1.3.2-12)$$

が成り立つ (但し、 ε_{w_1} と $w_0 = \infty$, $W(\omega) = 1$)。

② $X(\omega)$ 及び $G(\omega)$ が $(-\pi/T, \pi/T)$ に帯域制限されたとき

$$\varepsilon_{t_1} = \varepsilon_{t_2} = (1/2\pi) \int_{-\pi/T}^{\pi/T} |Y(\omega) - G(\omega)|^2 d\omega \quad (1.3.2-13)$$

が成り立つ。証明は、簡単で、左の等式は、帯域制限波形の標準化定理から、又、右の等式は、 11° -セルルの等式から直ちに得られます。従って、このとき、 ε_{t_1} 及び ε_{t_2} と、 ε_{w_1} ($w_0 = \pi/T$, $W(\omega) = 1$) は、互に定数倍を除いて、等しいことになります。

③ 一般にエネルギー有限の信号に対して成り立つことである。

$$\left. \begin{array}{l} Y^*(\omega) \triangleq (1/T) \sum_{k=-\infty}^{\infty} Y(\omega + 2k\pi/T) \cdot \chi_{\pi/T}(\omega) \leftrightarrow y^*(\omega) \\ G^*(\omega) \triangleq (1/T) \sum_{k=-\infty}^{\infty} G(\omega + 2k\pi/T) \cdot \chi_{\pi/T}(\omega) \leftrightarrow g^*(\omega) \end{array} \right\} \quad (1.3.2-14)$$

$$\text{但し, } \pi_{\pi/T}(w) \triangleq \begin{cases} 0, & |w| > \pi/T \\ 1, & |w| < \pi/T \end{cases}$$

とすると、式(1.3.2-10)の ϵ_{t_2} は、次のように表される。

$$\epsilon_{t_2} = \int_{-\infty}^{\infty} \{y^*(t) - g^*(t)\}^2 dt = (1/2\pi) \int_{-\pi/T}^{\pi/T} |Y^*(\omega) - G^*(\omega)|^2 d\omega \quad (1.3.2-15)$$

式(1.3.2-14)の $Y^*(\omega)$ 及び $G^*(\omega)$ は、 $y(t) \leftrightarrow Y(\omega)$ 及び $g(t) \leftrightarrow G(\omega)$ の帯域制限内挿信号のフーリエ変換である。式(1.3.2-15)の証明も、標本化定理と 11° センサルの等式から直ちに得られる。

次に、上に述べた①②の場合、時間領域の2乗誤差評価式 ϵ_{t_1} 及び ϵ_{t_2} は、式(1.3.2-12) 及び式(1.3.2-13)によると周波数領域の2乗誤差評価式 ϵ_{ω} (式(1.3.2-1)) が帰着される。すなはち、 ϵ_{ω} に関する(i)及び(ii)が“述べて事柄がそのまま成り立つ”。即ち、2乗誤差評価式が、タップ利得イットルに関する2次式と/or 式(1.3.2-1)'と同じ形式を有し、(かく)行列 A に対する(構題 1.3-1)が成立し、単位回路と/or 理想連線であれば、集中定数の全域通過回路を用いてトランシスルーカル型回路における A が正値となる。従つて、最適タップ利得が一意的に定まる。式(1.3.2-6)と同一の式で与えられる。

次に③の場合である。この場合も、式(1.3.2-15)の2乗誤差評価式 加式(1.3.2-1)'と同様の形式を表さることは変わりはない。即ち、式(1.3.2-15)は、

$$\epsilon_{t_2} = C' A C - 2 C' b + \epsilon_0 \quad (1.3.2-15')$$

$$C \triangleq (c_1, c_2, \dots, c_N)' : \text{タップ利得イットル}$$

$$A \triangleq (a_{k\ell})_{k,\ell=1 \sim N}$$

$$a_{k\ell} = a_{\ell k} \triangleq \frac{1}{2\pi} \int_{-\pi/T}^{\pi/T} \left\{ \frac{1}{T} \sum_{m=-\infty}^{\infty} \bar{X}(\omega + 2m\pi/T) \bar{H}_k(\omega + 2m\pi/T) \right\} \times \left\{ \frac{1}{T} \sum_{m=-\infty}^{\infty} X(\omega + 2m\pi/T) H_\ell(\omega + 2m\pi/T) \right\} d\omega \quad (1.3.2-16)$$

$$b \triangleq (b_1, b_2, \dots, b_N)'$$

$$b_k \triangleq \frac{1}{2\pi} \int_{-\pi/T}^{\pi/T} \left\{ \frac{1}{T} \sum_{m=-\infty}^{\infty} \bar{X}(\omega + 2m\pi/T) \bar{H}(\omega + 2m\pi/T) \right\} G^*(\omega) d\omega$$

$$\epsilon_0 \triangleq (1/2\pi) \int_{-\pi/T}^{\pi/T} |G^*(\omega)|^2 d\omega, \quad (G^*(\omega) \text{ は 式(1.3.2-14)})$$

上をせよ。又、このとき、行列 A が少くとも半正値であることを示せりはなし。しかしこの場合、 A の正値性に關係する（補題 1.3-1）加算律が成り立つとは限らず¹²注意を要す。これで、その簡単な反例をみせよう。

$$(例) X(\omega) \triangleq \begin{cases} 1 & |\omega| < 3\pi/\tau \\ 0 & |\omega| > 3\pi/\tau \end{cases} \quad H_k(\omega) \triangleq e^{-j(k-1)\omega T/3} \quad (1.3.2-17)$$

もし、さうして簡単の為、 $T=1$ とすると、式(1.3.2-16)から、

$$A_{kk} = a_{kk} = \frac{\sin((k-1)\pi/3)}{(k-1)\pi/3} \left\{ 1 + 2 \cos \frac{2}{3}(k-1)\pi \right\} \left\{ 1 + 2 \cos \frac{2}{3}(k-1)\pi \right\} \quad (1.3.2-18)$$

勿論、得られ、最も簡単な例¹²で、 $N=2$ の場合を計算すれば、

$$A = \begin{pmatrix} 9 & 0 \\ 0 & 0 \end{pmatrix} \quad (1.3.2-19)$$

となり、明らかに、半正値ではあるが、正値ではないとかかれる。
(例終)

但し、③の場合にも、 A の正値性に關係する次の補題が成り立つ。

(補題 1.3-2) 一般に、トランシス Π -カーブ型回路の単位回路が理想遅延線¹³、
1 つも、その遅延時間が、式(1.3.2-10)の二乗誤差評価式¹⁴問題における標準
遅延 T に等しいとき、即ちトランシス Π -カーブ型回路が伝達関数が、

$$H(\omega) = \sum_{m=1}^N C_m e^{-j(m-1)\omega T} \quad (1.3.2-20)$$

の場合には、一般に帯域制限された入力 $X(\omega)$ に対する式(1.3.2-15)¹⁵の
行列 A は正値であることが示される¹⁶。
(補題 1.3-2 終)

尚、時間領域の二乗誤差評価式¹⁷は、

$$\varepsilon_{t_3} \triangleq \sum_{i=1}^M w(t_i) \{ y(t_i) - g(t_i) \}^2 \quad (1.3.2-21)$$

但し、 $w(t) > 0$ ：重み関数、その他は、式(1.3.2-11)と同じ。
などと著され、第4章¹⁸で扱われる。

これら、以上¹⁹は、各二乗誤差評価式が有限であるとするが、エネルギー有限
の信号を扱う事で、 Π -カーブ有限の信号に対するのは、

$$\varepsilon_{t_4} \triangleq \lim_{T_0 \rightarrow \infty} \frac{1}{2T_0} \int_{-T_0}^{T_0} \{ y(t) - g(t) \}^2 dt \quad (1.3.2-22)$$

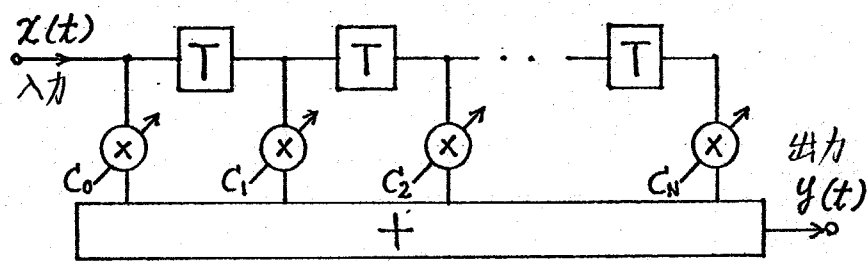
といふ、 t の評価式を用ひてこれが出来る。

1.3.3. 代表的な MS形自動等化器.

本項では、タップ利得の大きさごとに制限を加えない、通常型構成による MS形自動等化器の代表的なものを 2.3 紹介し、第2章 2.6節で述べたタップ利得累和の抑止からみて自動等化器に関する議論、ならびに、第2章で述べた系統鏡型構成による自動等化器の議論に対する準備とする。尚、MS形自動等化器は、いかゆる最急降下法による逐次近似アルゴリズムを基本とするものである。

本項の扱うトランジスタ

1) カル型回路は遅延時間 T の理想遅延線を用いて通常型構成とする(図1.3)。



(図1.3) 理想遅延線を用いたトランジスタカル型回路。
且、便宜上、タップの番号を $0 \sim N$ と(2.3.2)注意された。又、誤差評価式は 式(1.3.2-10), 2.1.5

$$\varepsilon \triangleq \sum_{i=-\infty}^{\infty} \{y(iT) - g(iT)\}^2 = \mathbf{C}' \mathbf{A} \mathbf{C} - 2 \mathbf{C}' \mathbf{b} + \varepsilon_0 \quad (1.3.3-1)$$

但し、
 $\mathbf{C} \triangleq (C_0, C_1, \dots, C_N)' :$ タップ利得ベクトル

$\mathbf{A} \triangleq (a_{m,n})_{m,n=0 \sim N} :$ 自己相関行列

$$a_{m,n} = a_{n,m} \triangleq \sum_{i=-\infty}^{\infty} x_{i-m} x_{i-n}$$

$\mathbf{b} \triangleq (b_0, b_1, \dots, b_N)' :$ 相互相関ベクトル

$$b_m \triangleq \sum_{i=-\infty}^{\infty} x_{i-m} g_i, \quad x_i \triangleq x(iT)$$

$$\varepsilon_0 \triangleq \sum_{i=-\infty}^{\infty} g_i^2, \quad g_i \triangleq g(iT)$$

(1.3.3-2)

とする。この場合、前項(補題1.3-2)に述べたように、行列 \mathbf{A} は一級レバ矩阵である。従って、タップ利得の大きさごとに制限を加えない場合、式(1.3.3-1)の ε を最小とする最適タップ利得は、

$$\frac{\partial \varepsilon}{\partial \mathbf{C}} = \mathbf{A} \mathbf{C} - \mathbf{b} = \mathbf{0} \quad (1.3.3-3)$$

を満足とし、一意的に定まる。

以下、式(1.3.3-3)を満足入収するタップ利得設定アルゴリズムの

代数的方程式を解いていく。

(a) 基本形⁽¹⁰⁾

最急降下法による最適タップ^T利得 C_{opt} を求める最も基本的方法²⁾。 K 回の調整後のタップ利得を C_k とし、次のタップ^T利得 C_{k+1} を。

$$C_{k+1} = C_k - \Delta C_k \quad (1.3.3-4)$$

但し、

$$\Delta C_k \triangleq (\Delta C_0, \Delta C_1, \dots, \Delta C_N)^T$$

$$= \frac{1}{2} \alpha \left(\frac{\partial \mathcal{E}}{\partial C} \right)_{C=C_k}$$

$$= \alpha (A \cdot C_k - b)$$

である。

$$\Delta C_m = \alpha_m \sum_{i=-\infty}^{\infty} (y_i - g_i) \cdot x_{i-m}$$

$$\alpha \triangleq \text{diag}(\alpha_0, \alpha_1, \dots, \alpha_N)$$

$$(1.3.3-5)$$

$$(1.3.3-5')$$

$$(1.3.3-6)$$

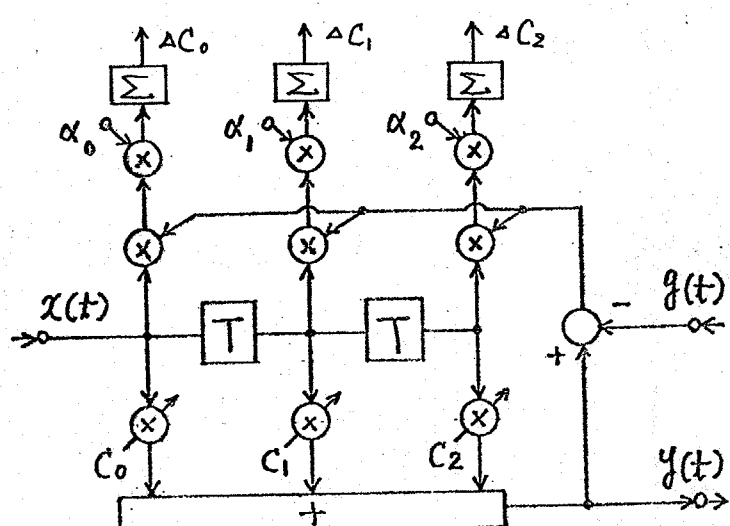
α より定める。これは (図 1.4) に示すように構成²⁾ 実現され、通常、 $\alpha_0 = \alpha_1 = \dots = \alpha_N \triangleq \alpha_{00}$ とします。X. のとき $0 < \alpha_{00} < 2/d_{\max}$ (d_{\max} は行列 A の最大固有値) であるが、タップ^T利得設定アルゴリズムは収束し、 $C_{opt} = A^{-1}b$ の得られることを保証されます。収束の速度は、必ず 1 未満である²⁾。

次の 2 つめの方法は、収束を達成する工夫を行ってあります。

(b) 信号経路とマトリクス回路をもつ構成⁽¹¹⁾

実際の通信システムでは、信号の伝送形態を定めており、全く未知の回路を等化することは、それなりに、等化すべき回路の概ねの特性は、分かることか普通とおかしいです。適当なマトリクス回路を挿入することにより、收束の速い自動等化器が得られます。

ここで紹介するのは、R.W. Chang が提案された方法²⁾ (図 1.5) のようだ



(図 1.4) (a) 基本形

$$(1.3.3-4)$$

構成を持つ。このと
き、(図1.5)に示す
記号を用い、式(1.3.3-1)は、

$$\varepsilon = \sum_{i=0}^{\infty} \left\{ \sum_{n=0}^N C_n j_{m,i} - g_i \right\}^2$$

$$= C' P A P' C$$

$$-2C' P \cdot b + \varepsilon_0$$

(1.3.3-7)

ここで、又、

$$\frac{1}{2} \left(\frac{\partial \varepsilon}{\partial C_n} \right) = P A P' C - P \cdot b$$

(1.3.3-8)

あることは、

$$\frac{1}{2} \left(\frac{\partial \varepsilon}{\partial C_n} \right) = \sum_{i=0}^{\infty} (y_i - g_i) j_{m,i}$$

(1.3.3-8')

が得られる。但し、 $j_{m,i} \triangleq j_m(iT)$ 等である。これで、

$$P A P' = E$$
 (単位行列)

(1.3.3-9)

が成立すれば、最急降下法によるアルゴリズムを式(1.3.3-4), (1.3.3-5)
等、 $\alpha_0 = \alpha_1 = \dots = \alpha_N = 1$ として、1回の調整を行うと、

$$C_1 = C_0 - \Delta C_0 \quad (\Delta C_0 = \frac{1}{2} \left(\frac{\partial \varepsilon}{\partial C} \right) C = C_0 - P \cdot b)$$

= $P \cdot b$ (1.3.3-10)

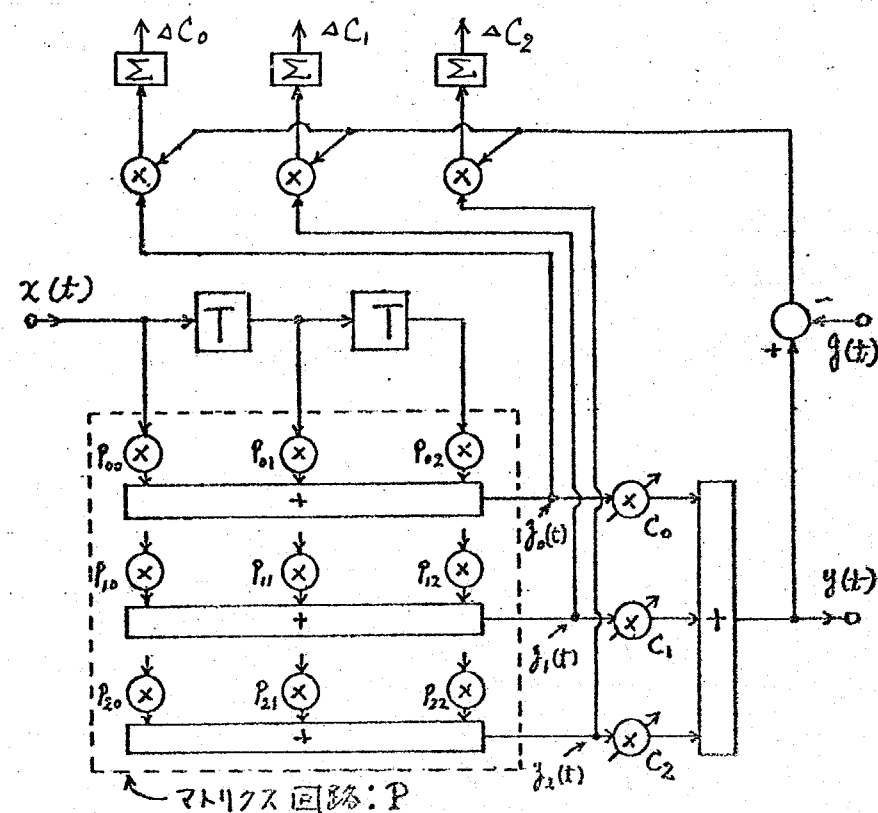
となる。この C_1 が、最適タップ利得を与えることは、式(1.3.3-9)のもとで、式(1.3.3-8)を 0 とすることから、容易に理解出来る。又、式(1.3.3-9)を満す行列は、

$$P \triangleq Q D^{-1/2} U'$$

(1.3.3-11)

但し、 Q は任意の直交行列。

(1.3.3-12)



$$\mathcal{D}^{1/2} \triangleq \text{diag}(\sqrt{d_0}, \sqrt{d_1}, \dots, \sqrt{d_N})$$

$d_0 \sim d_N (>0)$ は、行列 A の固有値

又、 U は、 $UAU' = \mathcal{D}$ と直交行列

従之より、行列 A は、入力 $x(t)$ によって決まる。被等化特性が多少程度分、この場合には、 P と R 固定行列を使、十分な近似が予想される。又、行列 P の導入により、最小近似誤差が減少するのも容易に示される。

(c) タップ利得制御部にマトリクス回路をもつ構成⁽¹²⁾

(図1.4) の構成における式

(1.3.3-5) では、 α を対角行列

用いること、 α と A^{-1} を

用ひれば、1回の調整で、

$$C_i = C_0 - \Delta C_i$$

$$= A^{-1} b \quad (1.3.3-13)$$

$$(\because \Delta C_0 = C_0 - A^{-1} b)$$

となり、 C_i が最適タップ利

得を与えることは、明らかである。

この場合も、被等化特

性が多少程度分、この場合は

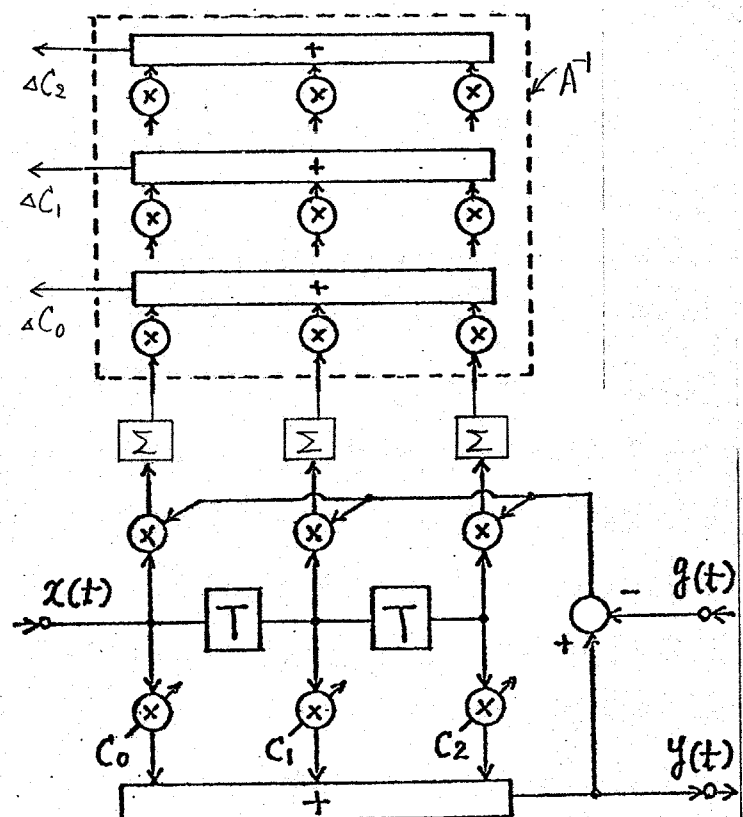
A^{-1} と R 固定行列を

用ひるとか出来、収束速度

自動等化器が得られる。

この場合の構成は、(図1.6)

である。



(図1.6) タップ利得制御部にマトリクス回路をもつ構成

第2章 タップ利得2乗和の抑止られたトランസパーカル型回路

2.1 はじめに

トランസパーカル型回路のタップ利得の大きさには、ダイナミックレンジや素子感度の面などから、ある一定の制限が課されるとおもわれる。従って、従来の設計方法で設計にとどめ得られてタップ利得が非常に大きな値を取るのはどうなことは、好ましくないというわけではなく、その多くは、実現出来ないといった問題が起つてくることとなる。然るに、タップ利得の大きさを考慮した設計方法を考察して研究は、少いようだ。⁽¹⁴⁾ 特に、タップ利得の大きさを積極的に抑えた設計方法といふものは、見当らないように思われる。

本章では、最小2乗近似による設計の場合について、上記の問題を考察し、タップ利得2乗和の抑止されたトランസパーカル型回路の設計方法について述べる。まず、2.2節では、準備として1.3.2項を利用し、トラン斯パーカル型回路の設計について、問題とする代表的な2乗誤差評価式が統一的形式を指摘し、本章用いる記号の説明を行なう。次に2.2.2節では、従来の最小2乗近似による設計について、設計の結果得られるタップ利得が、どのようの場合に大きくなるかについて述べる。2.4節では、タップ利得の大きさを表す評価量として採用するタップ利得2乗和に関するものも物理的意味を示し、タップ利得2乗和を抑えるとの意義を述べる。2.5節では、タップ利得2乗和を一定値に抑えた状態で、希望特性との2乗誤差を最小とする一つの新しい設計方法を示す。2.6節では、2.5節に示した設計方法で、最急降下法を用いてMS形自動等化器に適用する場合のタップ利得設定アルゴリズムを示し、併せて、等化器の構成方法を述べる。さらに、2.7節では、タップ利得2乗和を抑えた場合の最小近似誤差を知る目的で、その簡単な近似式を導く。2.8節では、通常の最小2乗近似による設計で、得られるタップ利得が大きくなる例、及び、2.5節示した設計方法による設計例を示すと共に、2.7

節2) 導入にタップ利得と乗和を抑えたときの最小近似誤差を与える式を用いた例を示す。

尚、2.8節の例に見られのように、遅延素子に相当する単位回路に異なった回路を用いたトランシーバー型回路において、最小近似誤差は、同程度であるがタップ利得の大きさをみると相当の違いがある場合がある。このようにとき、こゝで提案したタップ利得と乗和を抑えた最適設計の結果得られた最小誤差は、単位回路とく異なった回路を用いたトランシーバー型回路の優劣を比較する一つの基礎を与えるものとなること出来ます。

2.2 準備

本節では、1.3.2項で述べたことの総論として、各種の工事誤差評価式が統一的公報の子とを指摘し、又本章で用いる記号の説明をします。

1.3.2項で述べたように、トライスルーカル型回路の設計基準は、用いる周波数領域及び時間領域での代表的工事誤差評価式、式(1.3.2-1), (1.3.2-2) (1.3.2-9), (1.3.2-10)などです。ますます、マトリクスを用いて統一的公報にします。

$$\varepsilon = C' A C - 2 C' b + \varepsilon_0 \quad (2.2-1)$$

但し、
 $C \triangleq (C_1, C_2, \dots, C_N)':$ タップオリ得要素とする実ベクトル
 $A \triangleq (a_{k,l})_{k,l=1 \sim N}:$ 入力、重み関数、単位回路で決まる対称行列
 $b \triangleq (b_1, b_2, \dots, b_N)':$ 入力、重み関数、単位回路、希望出力とする実定数ベクトル
 $\varepsilon_0:$ 重み関数、希望出力で決まる正定数
 (「は車を置く看板」)

参考までに、又同じく1.3.2項で、行列Aは多くとも半正値であることを証明したことから、例外的な場合を除き、行列Aは正値であることを述べ、その証明も与えます。

次に本章で用いる記号について少しうまく説明をします。行列Aは対称行列であることはから、適当な直交行列Uと、対角化され、次のようになります。⁽⁴⁰⁾

$$A = U D U' \quad (2.2-2)$$

但し、Uは適当な直交行列です。

$$D \triangleq \text{diag}(d_1, d_2, \dots, d_N) \quad \left\{ \begin{array}{l} d_1, d_2, \dots, d_N \text{ は行列 } A \text{ の固有値 } (\geq 0) \\ \text{である。又、式(2.2-3)で一般性を失うことなく} \end{array} \right\} \quad (2.2-3)$$

である。又、式(2.2-3)で一般性を失うことなく。

$$0 \leq d_1 \leq d_2 \leq \dots \leq d_N \quad (2.2-4)$$

となります。この式(2.2-2)の直交行列Uを用いて、次のベクトルを定義します。

$$\mathbf{V} \triangleq (\mathbf{v}_1, \mathbf{v}_2, \dots, \mathbf{v}_N)' = \mathbf{U}' \cdot \mathbf{b} \quad (2.2-5)$$

又、ベクトルのノルムを

$$\|\mathbf{c}\|^2 \triangleq \mathbf{c}' \mathbf{c} \quad (2.2-6)$$

と定義おく。

さて、一般に、式(2.2-1)で表される2乗誤差の極値を与えるのは、式(2.2-1)の
 \mathbf{c} を \mathbf{C}_i ($i=1 \sim N$) で偏微分すれば \mathbf{C}_i なり、連立方程式

$$\mathbf{A}' \mathbf{b} = \mathbf{C} \quad (2.2-7)$$

を満たす事で“ある”と云ふ事だ。行列 \mathbf{A} が半正値の固有値と1つ、零をもつてす
 と、 \mathbf{A} は正則でなく、連立方程式(2.2-7)は、不定又は不能となる。一方、行列
 \mathbf{A} が正値であれば、式(2.2-7)は、一意的な解をもち、それが、式(2.2-1)の \mathbf{c}
 を最小とする最適タップ利得 \mathbf{C}_{opt} を与え。

$$\mathbf{C}_{opt} = \mathbf{A}^{-1} \mathbf{b} \quad (2.2-8)$$

又、そのときの最小近似誤差は、

$$E_{min} = E_0 - \mathbf{b}' \mathbf{A}^{-1} \mathbf{b} \quad (2.2-9)$$

と表される。1.3.2項で述べたように、行列 \mathbf{A} は通常正値であり、非常に
 例外的な場合のみ半正値となると考へよ”から、本章では、以下特に断ら
 る限り、行列 \mathbf{A} は正値実対称行列と扱うことにする。

2.3 タップ利得の増大現象

本節では、通常の最小2乗近似による設計から、設計の結果得られるタップ利得が、どのような場合に大きくなるかについて述べる。

タップ利得の大きさを制限する、通常の最小2乗近似による設計式(2.2-1)の2乗誤差を最小とする最適タップ利得は、 A が正値とすると式(2.2-8), 即ち

$$C_{opt} = A^{-1}b \quad (2.3-1)$$

2.3 までは、このとき、 C_{opt} が $1/L$ に満たない。次の補題が成立する。

(補題 2.3-1) 式(2.3-1)が成立すると、 C_{opt} が $1/L$ 以上、次の不等式を満たす。

$$\|b\|/d_{max} \leq \|C_{opt}\| \leq \|b\|/d_{min}. \quad (2.3-2)$$

但し、 $d_{max} = d_N \geq d_1 = d_{min} > 0$ は、正値実対称行列 A の最大固有値及び最小固有値である。(補題 2.3-1 終)

(証明) $A^T A$ の最大固有値及び最小固有値が d_N^2 及び d_1^2 とすると、 b が $C_{opt} \neq 0$ であるとき、且つ一般に、 $C_{opt} \neq 0$ とする。

$$d_1^2 \leq \frac{C_{opt}' (A^T A) C_{opt}}{C_{opt}' C_{opt}} \leq d_N^2 \quad (2.3-3)$$

が成立することから、式(2.3-1)の条件を代入すれば、直ちに式(2.3-2)が得られる。(証明・終)

式(2.3-2)から、通常の最小2乗近似による設計の結果、タップ利得が大きくなることが起きたのは、

(a) $\|b\|$ が大きくなる

(b) d_{min} が小さくなる

の二つとも一方か、起きた場合に限られることが分る。

以下、これら (a), (b) の状態が起きた場合と具体的な回路例と共に、トランジistor型回路とし、最も基本的な、理想遮断線を用いたものを想定し、又、2乗誤差評価式の重み関数は、1とおく。このとき、1.3.2項で述べた、代表的2乗誤差評価式に対し、 $\|b\|$ の大きさについて、次の補題が

成り立つ。

(補題 2.3-2)) ① 周波数領域の積分型誤差 ε_{ω_1} (式(1.3.2-1)) で $M(\omega) = 1$ 又, 時間領域の積分型誤差 ε_{t_1} (式(1.3.2-9)) の場合, ② 時間領域の等間隔標本誤差誤差 ε_{t_2} (式(1.3.2-10)) で入力 $X(\omega)$ 及び希望出力 $G(-\pi/\tau, \pi/\tau)$ に帯域制限された場合, ③ 時間領域の等間隔標本誤差統計型誤差 ε_{t_3} (式(1.3.2-10)) で, トランスレーティング回路の単位回路の遅延時間 τ , 標本誤差間隔 T に等しい場合の 3 つに分けられる。それで,

①, ② のとき,

$$\|b\| \leq \frac{1}{2\pi} \sqrt{N \int_{-\omega_0}^{\omega_0} |X(\omega)|^2 d\omega \int_{-\omega_0}^{\omega_0} |G(\omega)|^2 d\omega} \quad (2.3-4)$$

③ のとき

$$\|b\| \leq \frac{1}{2\pi} \sqrt{N \int_{-\pi/\tau}^{\pi/\tau} |X^*(\omega)|^2 d\omega \int_{-\pi/\tau}^{\pi/\tau} |G^*(\omega)|^2 d\omega} \quad (2.3-5)$$

次に成り立つ。但し,

$$\left. \begin{aligned} X^*(\omega) &\triangleq (1/\tau) \sum_{m=-\infty}^{\infty} X(\omega + 2m\pi/\tau) \cdot \chi_{\pi/\tau}(\omega) \\ G^*(\omega) &\triangleq (1/\tau) \sum_{m=-\infty}^{\infty} G(\omega + 2m\pi/\tau) \cdot \chi_{\pi/\tau}(\omega) \\ \chi_{\pi/\tau}(\omega) &= 1 \quad (\lvert \omega \rvert < \pi/\tau), \quad 0 \quad (\lvert \omega \rvert > \pi/\tau) \\ X(\omega) &: \text{入力}, \quad G(\omega) : \text{希望出力} \end{aligned} \right\} \quad (2.3-6)$$

2 番目。又、式(2.3-4) は、 ε_{t_1} (式(1.3.2-9)) の場合に $\omega_0 = \infty$, ε_{t_2} (式(1.3.2-10)) で、 $(-\pi/\tau, \pi/\tau)$ に帯域制限された信号の場合には、 $\omega_0 = \pi/\tau$ とする。

(補題 2.3-2. 終)

上の補題より、①, ②, ③ のいずれの場合も、行列 A の正値と ε とは 1.3.2 項で既に述べた通り。又、①, ② が、統一的に扱えること、1.3.2 項で述べた。次に証明を簡単に記しておく。

(証明) ①, ② のとき、1.3.2 項の式(1.3.2-4) で、 $M(\omega) = 1$ で $|H_k(\omega)| = 1$ を注意すれば。

$$b_k \triangleq (1/(2\pi)) \int_{-\omega_0}^{\omega_0} X(\omega) \cdot G(\omega) \overline{H_k(\omega)} d\omega$$

$$\begin{aligned} &\leq \left(\frac{1}{2\pi}\right) \int_{-\omega_0}^{\omega_0} |X(\omega)| |G(\omega)| d\omega \\ &\leq \frac{1}{2\pi} \sqrt{\int_{-\omega_0}^{\omega_0} |X(\omega)|^2 d\omega \int_{-\omega_0}^{\omega_0} |G(\omega)|^2 d\omega} \quad (\text{ヒュウルツの不等式}) \end{aligned} \quad (2.3-7)$$

これから、直ちに式(2.3-4)が得られる。

③のとき、

$$H_k(\omega + 2m\pi/T) = e^{-j(k-1)\{\omega + 2m\pi/T\}T} = e^{-j(k-1)\omega T} \quad (2.3-8)$$

つまり立つことによって示すと、式(1.3.2-16)から

$$\begin{aligned} b_k &\equiv \left(\frac{1}{2\pi}\right) \int_{-\pi/T}^{\pi/T} \left\{ \left(\frac{1}{T}\right) \sum_{n=-\infty}^{\infty} X(\omega + 2m\pi/T) e^{j(k-1)\omega T} \right\} G^*(\omega) d\omega \\ &\leq \left(\frac{1}{2\pi}\right) \int_{-\pi/T}^{\pi/T} |X^*(\omega)| |G^*(\omega)| d\omega \\ &\leq \frac{1}{2\pi} \sqrt{\int_{-\pi/T}^{\pi/T} |X^*(\omega)|^2 d\omega \int_{-\pi/T}^{\pi/T} |G^*(\omega)|^2 d\omega} \quad (\text{ヒュウルツの不等式}) \end{aligned} \quad (2.3-9)$$

これから、直ちに式(2.3-5)が得られる。 (証明終)

(補題2.3-2)から、 $\|b_k\|$ の大きさは、式(2.3-4)より式(2.3-5)で示されたように、 $X(\omega)$, $G(\omega)$ および $X^*(\omega)$, $G^*(\omega)$ のエネルギーが、何らか一定であるとすれば、 $\|b_k\|$ が大きくなるのは $d_{min} (= d_1)$ が、大きくなるほどである。

さて、理想連続線を用いたトランジistor型回路の伝達関数は、周波数領域で、周期関数とするので、周波数領域の誤差評価式と比較すると、有限周波数帯域の近似となる場合、即ち、(補題2.3-2)で述べた分基準に従えば、①の ε_{ω_1} (式(1.3.2-1))で ω_0 が有限の場合、及ぶ②, ③の場合について、 d_{min} が、小さくなる場合を調べると、次のような場合が考えられる。

(i) ナイキストレートと比べ、高速のサンプリングを用いたトランジistor型回路の場合。周波数領域で言えば、特性を近似する帯域に比べ、トランジistor型回路のもつ周期が大きい場合。

中立に対する特性を近似する帯域とトランジistor型回路のもつ周期が同じ場合と云ふ。

(ii) $X(\omega)$ がある時は、 $X^*(\omega)$ がステップ形か、矩形 ($|X(\omega)|=1$ ($|\omega|<\omega_0$),

$X(\omega) = 0 \quad (|\omega| > \omega_1)$ 且、 $|X^*(\omega)| = 1 \quad (|\omega| \leq \pi/T)$) が 3. 行列 A の場合。
 d_{\min} が 小さくなる場合。

(iii). ロールオフ特性を有する入力 \tilde{z} 、タミング位相加算 τ の場合。
 もとから みけらめえ。

次に、実際に行列 A の最小固有値がどの程度小さくなるか、範囲例を
 みてみることにする。まず <表2.1> 行列 A の固有値 (i) の場合。

(i) の場合について見ると、

$$\begin{aligned} \mathcal{E} &= \frac{1}{2\pi} \int_{-\pi/T}^{\pi/T} |F(\omega) - G(\omega)|^2 d\omega \\ &= C'AC - 2C'b + \varepsilon_0. \end{aligned} \quad (2.3-10)$$

$$F(\omega) = \sum_{m=1}^N C_m e^{-j(m-1)\omega C} \quad (0 < C \leq T) \quad (2.3-11)$$

であり、一般性を失うことなく
 $T=1$ とします。<表2.1> N
 の場合の行列 A の最小固
 有値ならびに最大固有値の
 大きさをみて N=5 と 10

を比較。 $C=1 \sim 1/10$ 及び
 $C=1 \sim 1/5$ の場合の取扱
 をみてみる。これから分は
 より最小固有値 d_{\min} は、
 非常に小さな値となり。(補
 問 2.3-1) の式 (2.3-2) に従
 えば、 $\|C_{opt}\|$ が一定であるとき
 $\|C_{opt}\|$ が非常に大きくなる
 可能性のあること分かる。

N=5	d_{\min}	d_{\max}	$1/d_{\min}$
$C = 1$	1.0	1.0	1.0
	0.9	0.59008	1.6947
	0.8	0.26430	3.7836
	0.7	0.89358×10^{-1}	1.1191×10^1
	0.6	0.23246×10^{-1}	4.3018×10^1
	$1/2$	0.46629×10^{-2}	2.1446×10^2
	$1/3$	0.14540×10^{-3}	6.8918×10^3
	$1/4$	0.13391×10^{-4}	7.4677×10^4
	$1/5$	0.21605×10^{-5}	4.6286×10^5
	$1/10$	0.80081×10^{-8}	1.2487×10^8

N=10	d_{\min}	d_{\max}	$1/d_{\min}$
$C = 1$	1.0	1.0	1.0
	0.9	0.23927	4.1794
	0.8	0.22080×10^{-1}	4.5029×10^1
	0.7	0.11913×10^{-2}	8.3942×10^2
	0.6	0.44794×10^{-4}	2.2324×10^4
	$1/2$	0.10871×10^{-5}	9.1988×10^5
	$1/3$	0.42470×10^{-9}	2.3546×10^9
	$1/4$	0.19793×10^{-11}	5.0523×10^{11}
	$1/5$	0.32774×10^{-13}	3.0512×10^{13}

(表2.2) 逆行列 (A⁻¹) の数値例 (A⁻¹ = (A⁻¹)^T)

$C=1/2$	$A^{-1} = \begin{pmatrix} 1.2 \times 10^1 & -2.4 \times 10^1 & 2.9 \times 10^1 & -2.1 \times 10^1 & 8.4 \times 10^0 \\ & 5.6 \times 10^1 & -6.8 \times 10^1 & 5.2 \times 10^1 & -2.1 \times 10^1 \\ & & 8.8 \times 10^1 & -6.8 \times 10^1 & 2.9 \times 10^1 \\ & & & 5.6 \times 10^1 & -2.4 \times 10^1 \\ & & & & 1.2 \times 10^1 \end{pmatrix}$
$C=1/3$	$A^{-1} = \begin{pmatrix} 1.8 \times 10^2 & -5.4 \times 10^2 & 7.3 \times 10^2 & -5.1 \times 10^2 & 1.6 \times 10^2 \\ & 1.7 \times 10^3 & -2.3 \times 10^3 & 1.6 \times 10^3 & -5.1 \times 10^2 \\ & & 3.2 \times 10^3 & -2.3 \times 10^3 & 7.3 \times 10^2 \\ & & & 1.7 \times 10^3 & -5.4 \times 10^2 \\ & & & & 1.8 \times 10^2 \end{pmatrix}$
$C=1/4$	$A^{-1} = \begin{pmatrix} 1.5 \times 10^3 & -5.1 \times 10^3 & 7.2 \times 10^3 & -4.9 \times 10^3 & 1.4 \times 10^3 \\ & 1.8 \times 10^4 & -2.5 \times 10^4 & 1.8 \times 10^4 & -4.9 \times 10^3 \\ & & 3.6 \times 10^4 & -2.5 \times 10^4 & 7.2 \times 10^3 \\ & & & & -5.1 \times 10^3 \\ & & & & 1.5 \times 10^3 \end{pmatrix}$
$C=1/5$	$A^{-1} = \begin{pmatrix} 8.2 \times 10^3 & -3.0 \times 10^4 & 4.3 \times 10^4 & -2.9 \times 10^4 & 7.8 \times 10^3 \\ & 1.1 \times 10^5 & -1.6 \times 10^5 & 1.1 \times 10^5 & -2.9 \times 10^4 \\ & & 2.3 \times 10^5 & -1.6 \times 10^5 & 4.3 \times 10^4 \\ & & & 1.1 \times 10^5 & -3.0 \times 10^4 \\ & & & & 8.2 \times 10^3 \end{pmatrix}$
$C=1/10$	$A^{-1} = \begin{pmatrix} 1.9 \times 10^6 & -7.4 \times 10^6 & 1.1 \times 10^7 & -7.3 \times 10^6 & 1.9 \times 10^6 \\ & 2.9 \times 10^7 & -4.3 \times 10^7 & 2.9 \times 10^7 & -7.3 \times 10^6 \\ & & 6.4 \times 10^7 & -4.3 \times 10^7 & 1.1 \times 10^7 \\ & & & 2.9 \times 10^7 & -7.3 \times 10^6 \\ & & & & 1.9 \times 10^6 \end{pmatrix}$

又、表2.2によれば、この場合の行列Aの逆行列 A^{-1} の固有値を $N=5$, $C=1/2$ ~ $1/10$ の場合について示してある。 C_{opt} は式(2.3-1) 2^o から分かるが、表2.2から分かるように、例えば、 $\eta_b = (+, -, +, \dots, +, -)^T$, または $\eta_b = (-, +, -, \dots, +)^T$ などとすると $\|C_{opt}\|$ が非常に大きくなることはある。この場合の実際の近似例については、2.8節(例4-1)に示す。

(ii) の場合の一例^{1)と2)},

$$X(\omega) = \begin{cases} 1 \sin \omega t & |\omega| < \frac{\pi}{T} \\ 0 & |\omega| > \frac{\pi}{T} \end{cases} \quad (2.3-12)$$

のときの行列Aの最小固有値から最大固有値を表2.3に示しておく。但し、この場合、トランジistor-カーリ型回路の遅延素子の遅延時間は $C=T$ である。この場合にても、最小固有値がかなり小さくなり、希望出力上では $\|C_{opt}\|$ が相当大きくなることがあり得ることになる。

(iii) の場合、25%余裕ホールオフ入力に対するタイミング位相のずれにより、 10^{-3} 程度の最小固有値の現れることがある。報告されていふ(15)。

尚、上の(i)~(iii)の場合には、行列Aが正値でしかも $\|C_{opt}\|$ が大きくなる場合であつて、さらに、

(iv) Aが半正値であると、2乗誤差の極値を与える連立方程式、式(2.2-7)の $AC=1b$ は、不定元は不能となり、この場合、式(2.2-7)を満足入収束するMS形自動等化器のタップオリ得設定アルゴリズムが暴走を起すことがあると考へられる、その為に、タップオリ得が大きくなりほほことかあり得ると考へられる。

表2.3 行列Aの固有値 (ii) の場合 ($C=T$)

	d_{min}	d_{max}	$1/d_{min}$
$N=5$	2.9289×10^{-1}	1.7071	3.4141
10	1.3397×10^{-1}	1.8660	7.4641
15	6.0307×10^{-2}	1.9379	1.6582×10^1
20	4.0507×10^{-2}	1.9595	2.4687×10^1
25	2.5072×10^{-2}	1.9749	3.9885×10^1
30	1.9215×10^{-2}	1.9808	5.2043×10^1

2.4. タップ利得2乗和のもつ物理的意味

本節では、トランジistor型回路について、タップ利得2乗和のもつ物理的意味を述べ、設計上際にタップ利得2乗和を抑えることの意義を明らかにする。
まず、タップ利得2乗和を抑えることの直接の意味とし、

- タップ利得2乗和を抑えることにより、タップ利得の絶対値が抑えられ、設計の結果得られるタップ利得を現実に許さるタップ利得の可変範囲へ抑えることが出来、タップ利得の出力端子、信号の大きさが、ダイナミックレンジを越えて、非線形歪を受けることによる性能が下がる。

こうした、タップ利得2乗和は、広い意味の雑音に深く関係にあります。

- トランジistor型回路について、タップ利得を構成する増幅器から生じる雑音あるいは、タップ利得を構成する統計器の打ち切り誤差、又、入力信号に、加って雑音あるいは、入力信号の量子化誤差等による出力の等価雑音は、タップ利得2乗和に比例する量となり、タップ利得2乗和を抑えた設計方法は、これらの雑音を抑えた状態での最適設計となります。

こうした大きな意味がある。

次にこのことについて多少詳しく説明する。簡単の為、理想過送線を用いたトランジistor型回路を想定し、雑音あるいは、打ち切り誤差等は、平均が零で、相関が互いの位相を決定する。又、時間領域の積分型2乗誤差式(1.3.2-9)を用いて場合について説明していくこととする。そうするとトランジistor型回路の入力を $x(t)$ とすると、出力 $y(t)$ は、

$$y(t) = \sum_{m=1}^N C_m \cdot x\{t - (m-1)\tau\} \quad (2.4-1)$$

であり、希望出力 $g(t)$ との2乗誤差評価式は、

$$E_{T_1} = \int_{-\infty}^{\infty} \{y(t) - g(t)\}^2 dt \quad (2.4-2)$$

である。また、タップ利得を構成する増幅器から生じる雑音あるいは、統計器の打ち切り誤差のモデルとし、各タップ利得 C_m が、

$$\left. \begin{aligned} C_m &\rightarrow C_m(1+\delta_m), \quad \langle \delta_m \rangle = 0, \quad \langle \delta_m \delta_m \rangle = 0 \quad (m \neq m) \\ \langle \delta_m^2 \rangle &= \sigma^2 \quad (\text{但し}, \langle \cdot \rangle \text{は平均を表す。以下同様}) \end{aligned} \right\} \quad (2.4-3)$$

と表せるとすると、このときの出力 $y_1(t)$ の平均エネルギーは、

$$\langle \int_{-\infty}^{\infty} y_1^2(t) dt \rangle = \int_{-\infty}^{\infty} y^2(t) dt + \sigma^2 \int_{-\infty}^{\infty} x^2(t) dt \cdot \sum_{m=1}^N C_m^2 \quad (2.4-4)$$

となり 等価雜音エネルギーが Δ ノフ利得 2 倍和 K 比例 $1/2$ のことか分る。又、
このとき 2 条誤差評価式 (2.4-2) は、

$$\langle \varepsilon_{x_1} \rangle = \int_{-\infty}^{\infty} \left[\sum_{m=1}^N C_m x \{t-(m-1)\Delta\} - g(t) \right]^2 dt + \left\{ \sigma^2 \int_{-\infty}^{\infty} x^2(t) dt \right\} \cdot \sum_{m=1}^N C_m^2 \quad (2.4-5)$$

となり、これから、 Δ ノフ利得 2 倍和 $\sum_{m=1}^N C_m^2$ を抑えて設計すれば、出力の等価雜
音エネルギーを抑えて状態 x の希望特性 $g(t)$ と出力 $y(t)$ の 2 条誤差を最小
にする最適設計がなされることが分かる。

次に、入力信号の雜音や量子化誤差のモデルとして、 $x(t) + n(t)$ 。

$$\left. \begin{aligned} x(t) &\rightarrow x(t) + n(t) \\ \langle \int_{-\infty}^{\infty} n(t) dt \rangle &= 0, \quad \langle \int_{-\infty}^{\infty} n(t-i\Delta) \cdot n(t-j\Delta) dt \rangle = 0 \quad (i \neq j) \\ \langle \int_{-\infty}^{\infty} n^2(t) dt \rangle &= \sigma^2 \end{aligned} \right\} \quad (2.4-6)$$

と表せるとし、又、 $n(t)$ は、入出力信号 $x(t)$, $y(t)$, $g(t)$ 等と相関がないと
するが、このときの出力 $y_2(t)$ の平均エネルギー 及び、2 条誤差評価式 (2.4-2)
は、先と同様に ε_{x_1} 。

$$\langle \int_{-\infty}^{\infty} y_2^2(t) dt \rangle = \int_{-\infty}^{\infty} y^2(t) dt + \sigma^2 \sum_{m=1}^N C_m^2 \quad (2.4-7)$$

$$\langle \varepsilon_{x_1} \rangle = \int_{-\infty}^{\infty} \left[\sum_{m=1}^N C_m x \{t-(m-1)\Delta\} - g(t) \right]^2 dt + \sigma^2 \sum_{m=1}^N C_m^2 \quad (2.4-8)$$

となり、この場合も、先と全く同様の事柄が云えることになる。

以上は、信号及び雜音のエネルギーを有限とした場合 ε_{x_1} が、エネルギー
無限 ε_x のノフ有限の場合に対するのも、式 (1.3.2-23) に依て 誤差評価
式 ε_{x_1} を用いることによく、同様の議論を行ふことが出来た。

又、 ε_{x_1} は 時間領域の積分 2 条誤差式 (1.3.2-9) を用いた場合につ
き、説明したが、時間領域の積分型 2 条誤差 ε_{x_1} は、1.3.2 項で述べ
たように、周波数領域及び時間領域で代表的で他の 2 条誤差評

個式(式(1.3.2-1), (1.3.2-13), (1.3.2-15))と, 式(1.3.2-12), (1.3.2-13), (1.3.2-15) に示すように明確な関係は成立しない。それらの2事例を差評個式の場合も, ここで述べた場合に帰着されるか, 同一の結果が得られるかことである。

最後に, 前記の①と②の関係について述べておく。入出力レベルが, ほぼ一定で, しかもタップ利得が大きくなる場合, トランジistor型回路の加算器の部分では, 非常に大きな信号同士の引き算が行なわれることになる。 Δ イナミックレンジだけを考慮した場合, 利得の分割を行なって, タップ利得の大きさを全体に小さくし, その分, 加算器を絶対値に増幅器を置くやうにすれば, 雑音を考慮すると, 全く事情が異なってくる。即ち, 入力に加った雑音などの場合, 利得を分割しても, 出力の雑音は, 本質的に不变で, 小さくならない爲, タップ利得の重和を抑えた設計方法によつて得られる雑音量に比べて, 利得を分割してだけでは, 非常に大きな雑音を含む出力が, 出でてしまうことになる。

2.5. 設計方法

本節では、タップ利得と乗数を一定に抑えてトランジスタ型回路の最小2乗近似による設計方法について述べる。次の定理は本章で最も基本的なものである。

(定理 2.1) $K (> 0)$ が与えられ、タップ利得と乗数を

$$\|C\|^2 = \sum_{m=1}^N C_m^2 = K \quad (2.5-1)$$

と抑えて状態 \bar{x} 、式 (2.2-1) の二乗誤差、即ち、

$$\varepsilon \triangleq C'AC - 2C'b + \varepsilon_0. \quad (2.2-1)$$

を最小とするトランジスタ型回路の最適タップ利得 C_{opt}^K 及び、そのときの最小近似誤差 ε_{min}^K は、

$$\begin{aligned} f(\alpha) &\triangleq b'(A - \alpha E)^{-1} b \\ &= V' (D - \alpha E)^{-1} V \\ &= \sum_{i=1}^N v_i^2 / (d_i - \alpha)^2 \\ &= K \end{aligned} \quad (2.5-2)$$

を満す α の最小値を α_1 とすると、

$$C_{opt}^K = (A - \alpha_1 E)^{-1} b \quad (= C_{\alpha_1}) \quad (2.5-3)$$

$$\varepsilon_{min}^K = \alpha_1 \cdot K - b'(A - \alpha_1 E)^{-1} b + \varepsilon_0 \quad (= \varepsilon(\alpha_1)) \quad (2.5-4)$$

である。但し、 V は式 (2.2-5), D は式 (2.2-3) の V 、 b は式 (2.2-1) の b である。

α_1, E は単位行列である。

(定理 2.1 の証明)

(証明) ラグランジエの未定乗数を λ とし、

$$\Delta \triangleq C'AC - 2C'b + \varepsilon_0 - \lambda \|C\|^2 \quad (2.5-5)$$

を解く。

$$2L/\partial C_i = 0 \quad (i=1 \sim N)$$

を解けば、 λ の停留値を与えるタップ利得が求まる。

$$\begin{aligned} C_\alpha &\triangleq (A - \alpha E)^{-1} b \\ &= V (D - \alpha E)^{-1} V' b \end{aligned} \quad (2.5-6)$$

を得る。これをタップ利得と乗数に対する条件式 (2.5-1) に代入すると、式 (

(2.5-2) の得ら山。式(2.5-2)

の定義から $f(\lambda)$ は、

$$f(\lambda) = \sum_{i=1}^N v_i^2 / (d_i - \lambda)^2 \quad (d_i > 0)$$

と書けるが、一般に (図2.1) のよう

な形状を (2.5-1). $f(\lambda) > 0$, $f(\pm\infty)$

$$= 0$$
 である。すなはち $f(\lambda) = K$ は少

く $\lambda \neq d_i$, 最高 $2N$ 個の実根を

持つことか分る。今、その根を以下から、

$$\lambda_1 (< d_1), \lambda_2, \lambda_3, \dots, \lambda_m (> d_N), \quad (2 \leq m \leq 2N) \quad (2.5-7)$$

とおき。このとき、 λ_p ($p=1 \sim m$) を式(2.5-6)のタップ利得

λ_p は、明らかに、式(2.5-1)の条件を満たす。すなはち λ_p をタップ利得と

したときの近似誤差を $\varepsilon(\lambda_p)$ とすると、

$$\begin{aligned} \varepsilon(\lambda_p) &= C' A C - 2 C' b + \varepsilon_0 \quad |C = C_{\lambda_p} = U(D - \lambda_p E)^{-1} U' b| \\ &= \lambda_p K - b'(A - \lambda_p E)^{-1} b + \varepsilon_0 \\ &= \lambda_p K - \sum_{i=1}^N v_i^2 / (d_i - \lambda_p) + \varepsilon_0. \end{aligned} \quad (2.5-8)$$

ここで $\varepsilon(\lambda_p)$ は (2.5-7) の λ の値を用いた。

$$\varepsilon(\lambda_1) < \varepsilon(\lambda_p) \quad (p=2 \sim m-1) < \varepsilon(\lambda_m) \quad (2.5-9)$$

實際、 $p=2 \sim m-1$ とし、 $\varepsilon(\lambda_1)$ と $\varepsilon(\lambda_p)$ の大きさを比較するに引計算を行うと。

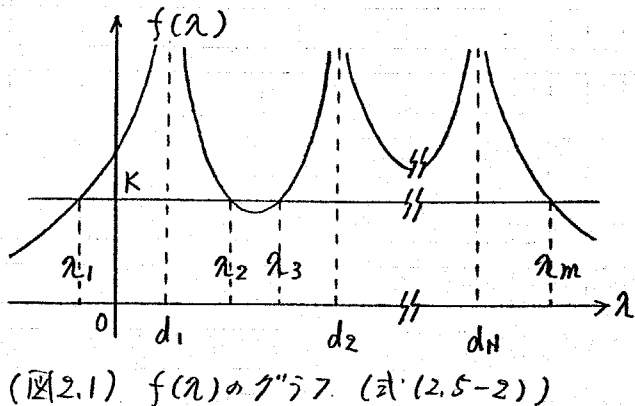
式(2.5-7) を用ひ、

$$\begin{aligned} \varepsilon(\lambda_p) - \varepsilon(\lambda_1) &= (\lambda_p - \lambda_1) \cdot K - \sum_{i=1}^N v_i^2 \left\{ \frac{1}{(d_i - \lambda_p)} - \frac{1}{(d_i - \lambda_1)} \right\} \\ &= (\lambda_p - \lambda_1) \sum_{i=1}^N \frac{v_i^2}{(d_i - \lambda_p)(d_i - \lambda_1)} > 0 \end{aligned}$$

を得る。同様に $g=1 \sim m-1$ とし、

$$\varepsilon(\lambda_m) - \varepsilon(\lambda_g) = -(\lambda_m - \lambda_g)^2 \sum_{i=1}^N \frac{v_i^2}{(d_i - \lambda_g)^2(d_i - \lambda_m)} > 0$$

を得る。式(2.5-9) から、タップ利得 2 乗和を K で割った状態で、最小近似誤差となる最高タップ利得 及び、そのときの最小近似誤差は、 λ_1 及び $\varepsilon(\lambda_1)$ である。分り、式(2.5-3) 及び式(2.5-4) の結果が得られる。(証明終)



(定理2.1) において、実対称行列 A が、正値 ε の場合には、式(2.5-3) の最適タップ利得が一意的に定まるとは、 $\alpha_i < d_i$ ($i=1 \sim N$) が「 ε 」を為す、 $(A-\alpha, E)^{-1} = U(D-\alpha, E)^T U'$ が常に存在するから、明らかに ε が ε である。一方 A が、半正値とすると、通常の 2乗誤差最小による設計では、式(2.2-1) の右側値を与える連立方程式 $AC=b$ は、不定元で、不能となり、MS形自動等化器などでは無い。タップ利得が一定アルゴリズムの暴走が起きたから、之らのよが、 $\varepsilon = 2$ が「 ε 」である。タップ利得を乗じて、一定の制限を設けたとすると、 $\alpha_i < 0$ となる⁴⁾、 $(A-\alpha, E) = U(D-\alpha, E)U'$ は正値 ε 、 $(A-\alpha, E)^{-1}$ が、存在するから、最適タップ利得が一意的に定まることが示された。

又、(定理2.1) においては、 α_i を求めること、一つの問題となるが、これは、 $\alpha_i < d_i$ が「 ε 」であることと、 $\alpha < d_i$ が、 $f(\alpha)$ が、単調増大且つ下凸 ε から、ニュートン法によると、簡単に求められる。殊に、現実には、タップ利得 α は、タップ利得の大きさを制限する場合 ($\alpha=0$ の時) に比べ、小さく抑えた場合が問題となるであろうから、 $\alpha_i < 0$ が「 ε 」あり、ニュートン法の初期値としては、 $\alpha=0$ を用いてやれば、十分である。

尚、特に行列 A が、単位行列である場合は、その定数倍である場合、即ち、直交相似変換を行った場合には、(定理2.1) は、次のように簡単となる。

(定理2.1の系) $K (> 0)$ が与えられ、 $\|b\|^2 = K$ のとき、式(2.2-1) の 2乗誤差を最小とする最適タップ利得 C_{opt}^K 、及ぶ、そのときの最小化似似誤差 ε_{min}^K は、

$$A = \alpha \cdot E \quad (\alpha > 0) \quad (2.5-10)$$

とき、

$$C_{opt}^K = \sqrt{K} \cdot b / \|b\| \quad (2.5-11)$$

$$\varepsilon_{min}^K = \alpha \cdot K - 2\sqrt{K} \cdot \|b\| + \varepsilon_0. \quad (2.5-12)$$

である。

(定理2.1の系・終)

(証明) (定理2.1) において、式(2.5-10) の条件を入ると、

$$f(\alpha) = \|b\|^2 / (\alpha - \alpha)^2 = K$$

(*) $\alpha_i < d_i$ ($i=1 \sim N$) が「 ε 」。 A が、半正値 ε であるから、 $d_i = 0$ とする。
 $\alpha_i < 0$ である。

となり。これを満たす α の最小値 α_1 は、

$$\alpha_1 = \alpha - \|b\|/\sqrt{K}$$

（2）を用いて、二山を 式(2.5-10) とおく。（定理 2.1）の式(2.5-3), (2.5-4) に代入すれば、それが結果が、直ちに得られる。（証明終）

式(2.5-10) の条件が成り立つ場合、タップ利得の大きさを制限（2）通常の最小 2 条件より設計で得られる最適タップ利得 C_{opt} は、

$$C_{opt} = b/\alpha \quad (2.5-13)$$

（2）より山から、タップ利得 2 条件を抑えて場合の最適タップ利得、式(2.5-11) は、式(2.5-13) の C_{opt} 全体に定数を掛けて、タップ利得 2 条件が、 K と等しいときに等しいことが分る。

2.6. 自動等化器への適用

本節2[~]は、前節2[~]述べたタップ利得2乗和を抑えた2乗誤差最小による設計方法を、1.3.3項2[~]紹介したMS形自動等化器に適用することを考へ。4段階のタップ利得設定アルゴリズムと等化器の構成方法について述べる。

まず考へらるべき方法と1[~]、2.5節の(定理2.1)の元で二段階法で求めた方法を考へよう。自動等化器に適用するとか? あがれ小字。しかし、その場合式(2.5-2)2[~]定義された $f(a)$ の微分 $f'(a)$ が、必要となるか? このは、入力信号の自相関とか、出力と希望出力の差と、入力の相互相関とか云つて、通常のMS形自動等化器²用²には、比較的簡単なルート方程の付加により得られる量から求めることは、困難²よう²。別に $f'(a) = b'(A - aE)^{-1}b$ を計算する回路を設ける川山は²なるべく²こと云ふ。2[~]2[~]、本節2[~]12. $f(a)$ の形状から、類推²川山²。 $f(a)$ の近似式を用ひよ²と云ふ。タップ利得2乗和を抑えた最適タップ利得設定アルゴリズムを示す¹²。

本節2[~]扱うトランジistor型回路の基本構成としては、1.3.3項(図1.3)と全く同じを考へることにする。又、誤差評価式¹²は、何とく、時間領域の等間隔標本誤差2乗和式(1.3.3-1)の ε を考へよ²と云ふ。即ち

$$\varepsilon \triangleq \sum_{i=-\infty}^{\infty} \{y(iT) - g(iT)\}^2 = C'AC - 2C'b + \varepsilon_0 \quad (1.3.3-1)$$

尚、2.3節に述べたように、タップ利得が非常に大きくなるのは、上式中の標本等間隔 T に対して、トランジistor型回路の単位回路の遅延時間 τ が、 $T < \tau$ なる關係であるとき²であるが、その場合にも、本節の議論は、成り立つと考へらね²。2[~]2[~]は、 $\tau = T$ と²。 (図1.3)の構成と基本²。議論を進めておくことにす。又、本節2[~]と1.3.3項と同じく、タップ利得の符号付²を、便宜上、 $C_0 \sim C_N$ と²。2[~]2[~]、2[~]2[~]。

以下、1.3.3項2[~]紹介した3種類のMS形自動等化器に対し、タップ利得2乗和を抑えた場合のタップ利得設定アルゴリズムと、その構成方法について、順に述べいくことにす。

((a)) 基本形への適用 (1.3.3 節 ((a)) 参照)

2.5 節の議論から、

$$L \triangleq C'AC - 2C'b + c_0 - \lambda C'C \quad (2.6-1)$$

$$C_a \triangleq (A - \lambda E)^{-1}b \quad (2.6-2)$$

$$f(\lambda) \triangleq V'(D - \lambda E)^{-2}V = \|C_a\|^2 \quad (> 0) \quad (2.6-3)$$

$\lambda_1 < d \leq \lambda_2$, $f(\lambda) < f(\lambda_1)$.

$$\int_{-\infty}^{\lambda} f(\lambda) d\lambda = V'(D - \lambda E)^{-2}V \Big|_{-\infty}^{\lambda} = b' C_a \quad (2.6-4)$$

今、成り立つことより直ちに分かること。さらに、以下の議論より、タップ利得を乗じた K は、タップ利得を制限しない設計で得られるタップ利得 K_0 ($\triangleq \|C_{opt}\|^2$) より、小さく制限する場合を表すものとする。従って、ランジエ乗数 α は、 $\alpha < 1$ である。

このとき、タップ利得 K を K_0 で制限した MS 形自動等化器のタップ利得設定アルゴリズムと 1.2. 次のようの方針が考えられる。又、そのときの等化器の構成は、(図 2.2) で示すようにある。

《タップ利得 K を抑えた最適タップ利得設定アルゴリズム》

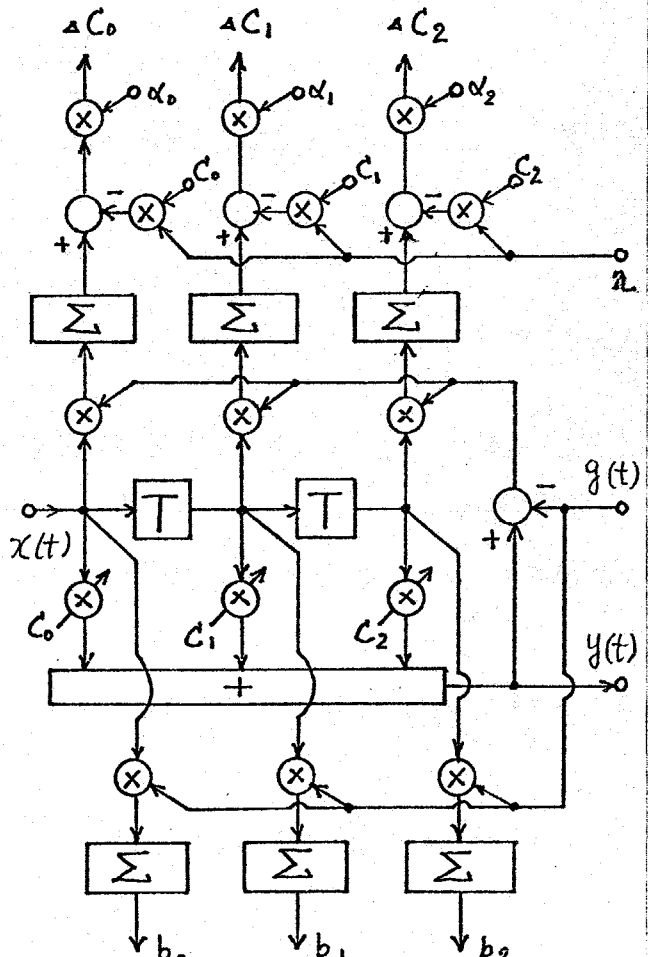
① $\alpha < 1$. 適当な初期値 α^0 (例では零) を与え、最急降下法により、

C_a を収束させる。即ち

$$\begin{aligned} C_{k+1} &= C_k - \Delta C_k \\ \Delta C_k &= (1/2) \alpha (\partial L / \partial C) \quad k = C_k \\ &= \alpha \{ (A - \alpha^0 E) C_k - b \} \end{aligned} \quad (2.6-5)$$

ここで、 α は調整のステップサイズを決める量である。式 (2.6-5) の収束する条件は、

$$0 < \alpha < 2 / (d_{max} - \alpha^0) \quad (2.6-6)$$



(図 2.2) 基本形への適用

7. 必要2つ目。これがつけては、後述するが、式(2.6-6)が満足されることは、

$$C_k (k \rightarrow \infty) \rightarrow C_{\infty} \quad (2.6-7)$$

② ①の結果と1つ、式(2.6-3), (2.6-4)の右辺が同じこと。即ち、

$$\left. \begin{aligned} f(\pi^0) &= \|C_{\pi^0}\|^2 > 0 \\ \int_{-\infty}^{\pi^0} f(x) dx &= b \cdot C_{\pi^0} > 0 \end{aligned} \right\} \quad (2.6-8)$$

③ 次に、式(4.3)の $f(x)$ の形状から類推1つ、

$$f(x) = \sum_{i=0}^N m_i^2 / (d_i - x)^2 \doteq P / (\sigma - x)^2 \quad (2.6-9)$$

2つ近似1つとくわざと、式(2.6-8)から、

$$\left. \begin{aligned} \sigma &= \pi^0 + b' \cdot C_{\pi^0} / \|C_{\pi^0}\|^2 \quad (> \pi^0) \\ P &= (b' \cdot C_{\pi^0})^2 / \|C_{\pi^0}\|^2 \end{aligned} \right\} \quad (2.6-10)$$

7. 得らうだよ。

④ ③の結果を使うと、与えられたタップ利得2乗和 K にて1つ、

$$K = f(\pi_1) \doteq P / (\sigma - \pi_1)^2 \quad (2.6-11)$$

より $\sigma < \pi_1$ すなはち π_1 は近似値 π_1^0 と1つ、

$$\begin{aligned} \pi_1^0 &= \sigma - \sqrt{P/K} \\ &= \pi^0 + \frac{b' \cdot C_{\pi^0}}{\|C_{\pi^0}\|^2} \left\{ 1 - \frac{\|C_{\pi^0}\|}{\sqrt{K}} \right\} \end{aligned} \quad (2.6-12)$$

が得らうだよ。但し、式(2.6-12)で求めた K は1つ、 $\sigma - \pi_1^0 > 0$ を仮定して1つ1つ。

これは、 $\pi^0 > \pi_1^0$ が“あらう”満足されず。従って、例えは $\pi^0 = 0$ とすれば十分で、タップ利得を制限しないアルゴリズムから、本アルゴリズムに重り換えると、この場合に1つ、自然に満足されることになる。

⑤ π と1つ、④で得らう $\pi_1^0 = \pi_1^0$ を用いて ①の操作を行えは、 $C_{\pi_1^0}$ ($\|C_{\pi_1^0}\|^2 = K$) が得らうだよ。

以上で、得らうだよ結果が不十分な場合は、さらに次の過程を付加えれば、これにより、正確なタップ利得2乗和 K を抑えることが出来ます。

⑥ ①から ⑤まで、 $\pi_1 < \pi^0$ ($\pi^0 = 0$ が“あらう”十分) が“あらう”，即ち $\pi_1^0 < \pi^0$ が成り立つ1つ、①の初期値を一般 π^k ($k=0, 1, 2, \dots$) とし、そのため ④で得らう

す. π_1 の近似値を π_1^k で表すことにし, $\pi^k = \pi_1^{k-1}$ とし, ①~⑤の操作を繰り返すと,

$$\pi_1^k \leq \pi_1 < \pi^k$$

(2.6-13)

必ず K が存在する。この判定は, ⑥である。

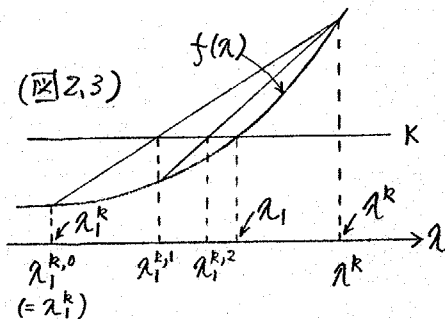
$$\|\mathbf{C}_{\pi_1^k}\|^2 \leq K < \|\mathbf{C}_{\pi^k}\|^2 \Leftrightarrow \pi_1^k \leq \pi_1 < \pi^k$$

(2.6-14)

K より少しおよび, 等号の成り立つ場合は, 終了とするか, 不等号の場合には K に,

⑦ ⑥から, 式(2.6-13)より, 不等号が成り立つまでは, $\pi_1^k < \pi_1 < \pi^k (= \pi_1^{k-1})$ である。このとき, 同時 $K, \|\mathbf{C}_{\pi^k}\|^2, \|\mathbf{C}_{\pi_1^k}\|^2$ が決まる。
Kより少しおよび, (2.6-3) によると直線近似式より, $\pi_1^k = \pi_1^{k,0}$ となる。

$$\pi_1^{k,0} = \pi^k + (\pi^k - \pi_1^{k,0}) \frac{K - \|\mathbf{C}_{\pi_1^{k,0}}\|^2}{\|\mathbf{C}_{\pi^k}\|^2 - \|\mathbf{C}_{\pi_1^{k,0}}\|^2} \quad (2.6-15)$$



Kより少しおよび, $\pi_1^{k,0}$ を定める。

⑧ π_1 と $\pi_1^{k,i}$ を用いての操作を行えり, $f(\pi_1^{k,i}) = \|\mathbf{C}_{\pi_1^{k,i}}\|^2$ が成立する。式(2.6-15)と同様, $i = 0, 1, 2, \dots$ とする。

$$\pi_1^{k,i+1} = \pi^k + (\pi^k - \pi_1^{k,i})(K - \|\mathbf{C}_{\pi_1^{k,i}}\|^2) / (\|\mathbf{C}_{\pi^k}\|^2 - \|\mathbf{C}_{\pi_1^{k,i}}\|^2) \quad (2.6-15')$$

Kより少しおよび, $\pi_1^{k,i}$ は定めれば, $\pi_1^{k,i}$ ($i = 0, 1, 2, \dots$) は, 単調増大で(かつ, $\pi_1^{k,i} < \pi_1$ であるから), $\lim_{i \rightarrow \infty} \pi_1^{k,i} = \pi_1$ が成り立つ。所望の結果を得られる。

尚, 操作①より以下の3条件式(2.6-6)は,

$$\begin{aligned} \mathbf{\Phi}_k &\triangleq \mathbf{C}_k - \mathbf{C}_A = \mathbf{C}_{k-1} - \alpha \mathbf{C}_{k-1} - \mathbf{C}_A \\ &= \mathbf{C}_{k-1} - \alpha(A - \pi E) \{ \mathbf{C}_{k-1} - (A - \pi E)^{-1} b \} - \mathbf{C}_A \\ &= \{ E - \alpha(A - \pi E) \} \cdot \mathbf{\Phi}_{k-1} \\ &= U \{ E - \alpha(D - \pi E) \}^k U' \mathbf{\Phi}_0. \end{aligned} \quad (2.6-16)$$

$$\|\mathbf{\Phi}_k\|^2 = (U' \mathbf{\Phi}_0)' \{ E - \alpha(D - \pi E) \}^{2k} (U' \mathbf{\Phi}_0) \quad (2.6-17)$$

より, 通常 $\pi < 0$ であるから, $\|\mathbf{\Phi}_k\|^2 \rightarrow 0$ ($k \rightarrow \infty$) の必要条件とされる。

38

(1b)) 信号経路とマトリクス回路をもつ構成へ適用(2)場合 (1.3.3項(1b)参照)

式(2.6-1), (2.6-2), (2.6-3)と,

$$\Delta \triangleq C' P A P' C - 2 C' P b + \varepsilon_0 - \lambda \|C\|^2 \quad (2.6-18)$$

 $P A P' = E$, A は、行列の推定行列。 $(A \approx A_0)$

$$C_\lambda \triangleq (P A P' - \lambda E)^{-1} P \cdot b \quad (2.6-19)$$

$$f(\lambda) \triangleq (P b)' (P A P' - \lambda E)^{-2} (P b) \quad (2.6-20)$$

置換すると、2.5節

の理論とW.本節(a))

の理論は、それは同じ

。したがってこのときの等化

器の構成は、(図2.4)のよ

うになります。

(a)の議論のうち、①

式(2.6-5)に相当する

のは、

$$\Delta C_k = \beta \{ (P A P' - \lambda E) C_k - P b \} \quad (2.6-21)$$

です。

$$0 < \beta < 2 / (d_{P_{max}} - \lambda)$$

$$(2.6-22)$$

とき、収束が保証される。

但し、 $d_{P_{max}}$ は、行列の $P A P'$

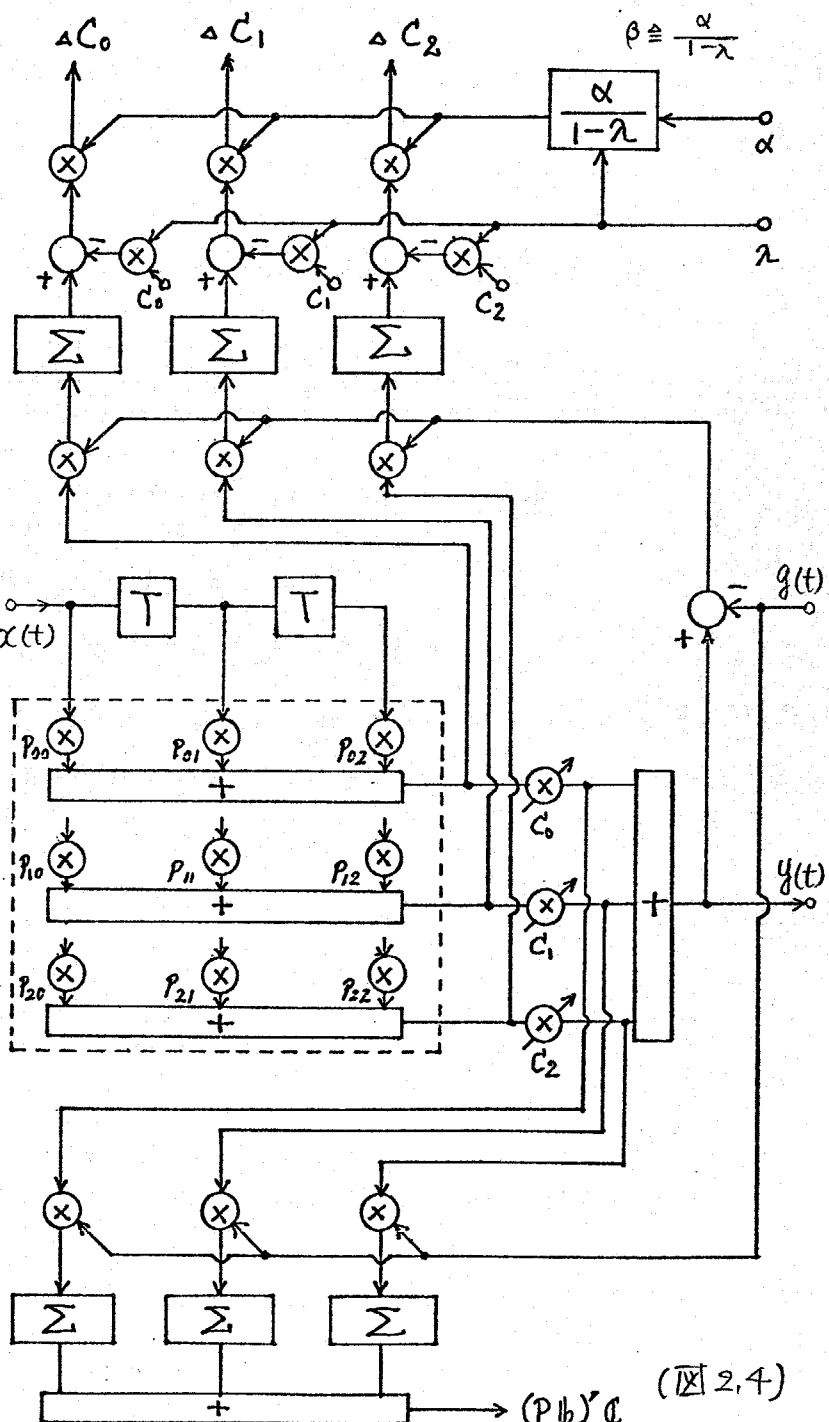
の最大固有値である。②

以下のようにして、全

<回路>をまとめて、43L.

$$A = A_0 \quad (2.6-23)$$

す、2場合に分



$$\beta = 1/(1-\lambda)$$

(2.6-24)

(2.6-24)

レ12. の収束は、1回で達成される。又、この場合
Kは、特に与えられた K に対する 12. ラグランジ乗数 λ₁
である。

$$\lambda_1 = 1 - \sqrt{K_0/K}$$

(2.6-25)

レ12. 簡単に得られる。従って、λ=0 とレ. ①の操作
が一回、これが K₀ が得られる、式(2.6-25)から λ₁

が、得られる。再び、①の操作を一回行うと“タップ利得 2乗和と K と 12. 等化器
が得られることがわかる。これは、PA₀P' = E の成立する為である。(定理 2.1 の余)の場合
が相当である。

((C)) タップ利得制御部とマトリクス回路とも構成へ適用する場合

(1.3.3 項 ((C) 参照))

この場合も、((A)) と本質的に同じである。異なるのは、①の操作中、式(2.6-5)
を、

$$\Delta C_k = \beta (A_0 - \lambda E)^{-1} \{ (A - \lambda E) C_k - b \} \quad (2.6-26)$$

A₀: 行列 A の推定行列。 (A₀ ≈ A)

とする所で、これがある。従って、等化器の構成は、(図 2.6) (次頁) のように示す
よう (但し、β = 1 とする)。図中、U 及び、d₀ ~ d_N は、A₀ に対する力局化
直交行列 及び、A₀ の固有値である。A₀ に対する固有値は、d₀ ~ d_N である。又、このとき、操作
①は、

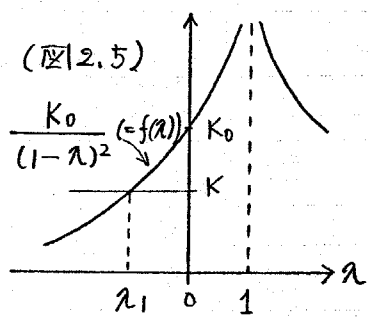
$$0 < \beta < 2/\sigma_{\max} \quad (2.6-27)$$

となる。収束が保証される。但し、λ < 0 とし、σ_{max} は

$$\left. \begin{aligned} (A_0 - \lambda E)^{-1} (A - \lambda E) &= U, D, U' \\ D_1 &= \text{diag} (\sigma_0, \sigma_1, \dots, \sigma_N), \sigma_n > 0 \\ \sigma_{\max} &= \max (\sigma_0, \sigma_1, \dots, \sigma_N) \end{aligned} \right\} \quad (2.6-28)$$

2. 与えられたものである。(文献 (12) 参照)。

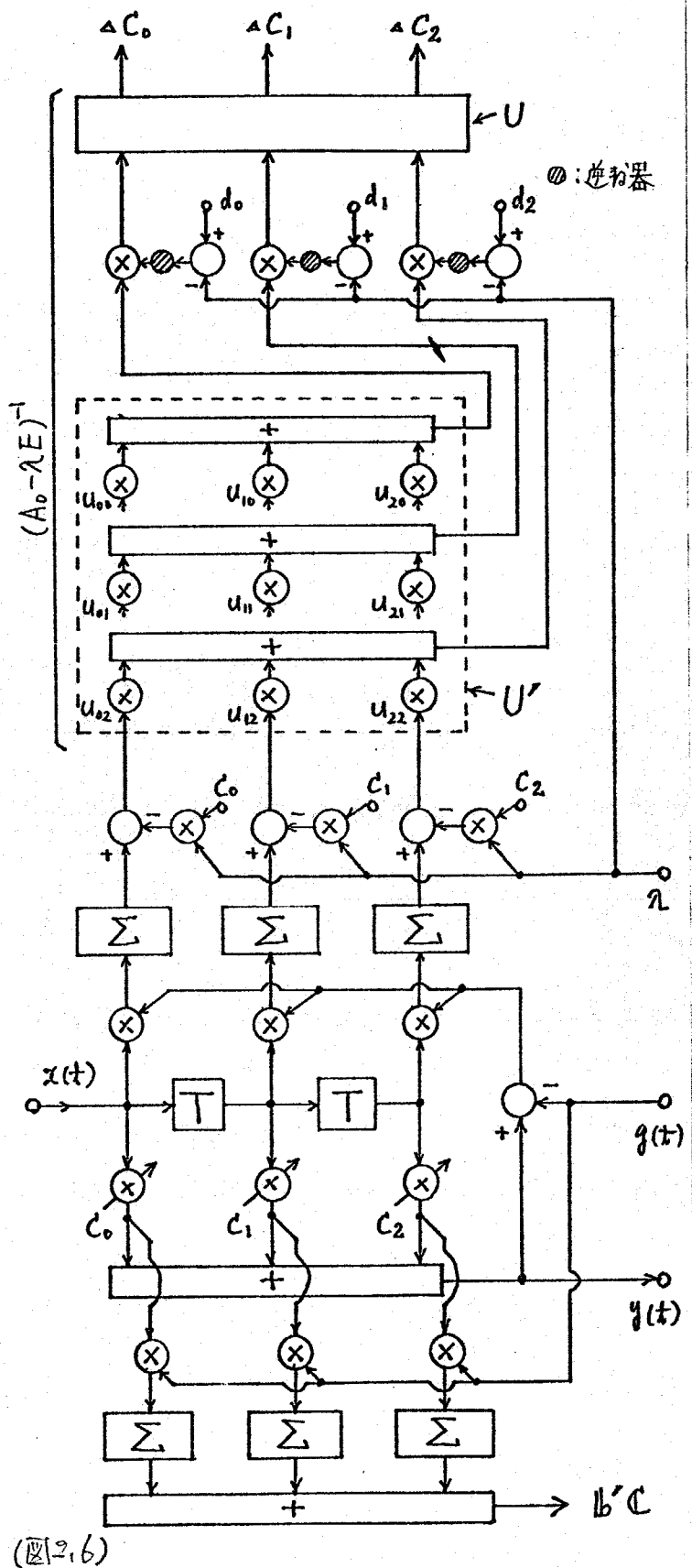
特に、A = A₀ の場合には、β = 1 とし、①の操作が一回で収束する。②以



下に関しては、(a)の場合と全く同じである。

尚、(b)、(c)の場合には、マトリクス回路をもつてあり、タップ利得2乗和を抑えてもマトリクス回路の係数の値が大きくなり、ほうとうとなり、意味のない議論となりかねない。その時は、今後の検討を要する所があり、その意味で、(b)、(c)に関する時は、余り詳しく説明することを避け、要旨のみを記しておく。

本節に示した自動等化アルゴリズムは、実用に際しては、まず、通常の自動等化器にタップ利得2乗和の大きさを監視する機能を設け、タップ利得2乗和がある値を越したら、本節に示したアルゴリズムに切り換えるようにして使うことになると思われる。その点、本節に示した構成方法は、いまでも、 $\alpha=0$ としておけば通常のタップ利得の大きさを制限しないMS形自動等化器と比較して、便利であると言える。



(図2.6)

2.7. 最小2乗誤差の評価

本節では、タップ^o利得2乗和をKに抑えてときの最小近似誤差 $\hat{\varepsilon}_{\min}$ を K の関数であることを強調し、 $\hat{\varepsilon}(K)$ で表すことにして、 $\hat{\varepsilon}(K)$ を簡単に評価する近似式を導く。即ち、 $\hat{\varepsilon}(K)$ をタップ^o利得を制限する、通常の2乗誤差最小化設計のとき得られるタップ^o利得2乗和 $K_0 (= f(0) = \pi(C_{opt} + \pi^2))$ のまわりで、テイラー展開し、それを基礎にして簡単な評価式を得よう。 $\hat{\varepsilon}(K)$ の大きさが簡単に評価出来れば、タップ^o利得2乗和 K の大きさと、そのときの最小近似誤差 $\hat{\varepsilon}(K)$ の大きさの兼ね合ひを考慮して設計の際に役立つと考えよう。

次に、その結果を定理として述べておく。

《定理2.2》 $\hat{\varepsilon}(K)$ は、 $K = K_0$ の近傍で

$$\begin{aligned}\hat{\varepsilon}(K) &= \varepsilon_0 - \delta_0 + \frac{(K-K_0)^2}{4 \sum u_i^2/d_i^3} - \frac{\sum u_i^2/d_i^4}{8 \{ \sum u_i^2/d_i^3 \}^3} (K-K_0)^3 \\ &\quad - \frac{\{ 4 \sum u_i^2/d_i^5 \cdot \sum u_i^2/d_i^3 - 9 (\sum u_i^2/d_i^4)^2 \}}{64 \{ \sum u_i^2/d_i^3 \}^5} (K-K_0)^4 + \dots \quad (2.7-1)\end{aligned}$$

を展開される。但し、

$$\delta_0 \equiv \sum u_i^2/d_i \quad (2.7-2)$$

である。総和は、 $i = 1 \sim N$ (タップ^o数) とする。さらに、これから、次の不等式が得られる。

$$\begin{aligned}\varepsilon_0 - \delta_0 \{ 1 - \theta^2/4\mu - \theta^3/8\mu - (9-4\mu^3)\theta^4/64\mu - \dots \} \\ \leq \hat{\varepsilon}(K) \leq \varepsilon_0 - \delta_0 \{ 1 - \theta^2/4\mu - \mu\theta^3/8 - 5\mu^2\theta^4/64 - \dots \} \quad (2.7-3)\end{aligned}$$

但し、 $0 < K \leq K_0$

$$\begin{aligned}\varepsilon_0 - \delta_0 \{ 1 - \theta^2/4\mu - \mu\theta^3/8 - (9-4\mu^3)\theta^4/64\mu - \dots \} \\ \leq \hat{\varepsilon}(K) \leq \varepsilon_0 - \delta_0 \{ 1 - \theta^2/4 - \theta^3/8\mu - 5\mu^2\theta^4/64 - \dots \} \quad (2.7-4)\end{aligned}$$

但し、 $K_0 \leq K$

$$\therefore 1, \mu \equiv dN/d_1, \theta \equiv (K-K_0)/K_0 \text{ である。} \quad (\text{定理2.2の証明})$$

(証明) 式(2.7-1)は、テイラー展開式¹、2. 直ちに得られる。又、式(2.7-3) 及

が、式(2.7-4)は、式(2.7-1)と等しい。 $K_0 = \sum_{i=1}^N \alpha_i^2 / d_i^2$ を任意し、ユーリ不等式を用ひ、さらに、 $0 < d_1 \leq d_2 \leq \dots \leq d_N$ を使うと容易に導かれる。
又、式(2.7-3), (2.7-4)より、等号が成り立つのは、 $d_1 = d_2 = \dots = d_N$ のときである。

(証明終)

式(2.7-3), (2.7-4)が、簡単な形で「使い易い」と思われる。尚、實際問題を1つは、 $K \leq K_0$ の場合の式(2.7-3)が重要であり、そのうちでも誤差を安全側(大目)に見込んで右側の不等式がより重要なようである。又、式(2.7-3)(2.7-4)を使うに当たっては、通常の2乗誤差最小による設計 $\varepsilon_0, K_0, \tilde{\varepsilon}(K_0) = \varepsilon_{\min}$ が求められ、 δ_0 は、 $\delta_0 = \varepsilon_0 - \tilde{\varepsilon}(K_0) = \varepsilon_0 - \varepsilon_{\min}$ とし、計算結果 ≈ 0.2 、他には、固有値の最大最小比 μ で μ を求めるにはよいかどうか。

特に、次節にかけた例の場合は、固有値の存在範囲。

$$0 < d_m \leq d_i \quad (i=1 \sim N) \leq d_M \quad (2.7-5)$$

即ち、簡単な知らぬ1丁、

$$\mu' \leq d_M/d_m \geq \mu \quad (2.7-6)$$

と1つ、式(2.7-3), (2.7-4)より、 μ の代りに μ' を用ひても、不等式はそのまま成り立ち、より簡単に $\tilde{\varepsilon}(K)$ の様子を評価出来ることになる。

さらに、次節2つ目について、 $f(\lambda)$ の近似式に関する式(2.6-8) (2.6-9), (2.6-10) 及 $\lambda^0 = 0$ を用ひて μ と μ' を比較する。

$$\sum_{i=1}^N \frac{\alpha_i^2}{d_i^m} \stackrel{m=1, 2, 3, \dots}{\approx} \frac{\|C_{opt}\|^{m-1}}{(b \cdot C_{opt})^{m-2}} \quad (2.7-7)$$

但し、 $m=1, 2$ のときは式は $\Gamma \approx \sqrt{2} \pi < 2$, $\Gamma = 2$ と成り立つ。

従得られ、これを用いて式(2.7-1)を簡単にすることが得られる。最も簡単な形で1つ、

$$\tilde{\varepsilon}(K) \approx \varepsilon_0 - (b \cdot C_{opt}) + \frac{b \cdot C_{opt}}{4} \left(1 - \frac{K}{K_0}\right)^2 \dots \quad (2.7-8)$$

従得られる。 \therefore 式(2.7-7)及び式(2.7-8)中で現れる値は、全て、 Γ の利得を制限する通常の設計の結果なり。自然に得られるから、 Γ を Γ とすることに注意しておく。尚、(定理2.2)及び式(2.7-8)を用いて例題2次節を示す。

2.8 例題

本節では、通常の最小2乗近似による設計と並んで、設計の結果得られるタップ利得が、相当大きくなることは実例で、並びに、その例に対する、2.5節で述べたタップ利得2乗和を抑える設計方法を適用した例を、(2.7-1) 及び (2.7-2) で示す。又、(2.7-3) では、2.7節で導いた、タップ利得2乗和を抑えたときの最小近似誤差を評価する近似式を用いて例題を示す。

(例1-1)

(図2.7) に示す、トランジistor-カーリ型回路で、単位回路とし、理想遮断線を用いた場合を考へると、すると、この回路の伝達関数は

$$H(\omega) = \sum_{n=1}^N C_n e^{-j(n-1)\omega C} \quad (2.7-1) \quad (\text{図2.7}) \text{ トランジistor-カーリ型回路}$$

又、入力は

$$X(\omega) = \begin{cases} 1 & (|\omega| < \pi) \\ 0 & (|\omega| > \pi) \end{cases} \quad (2.7-2)$$

希望出力は

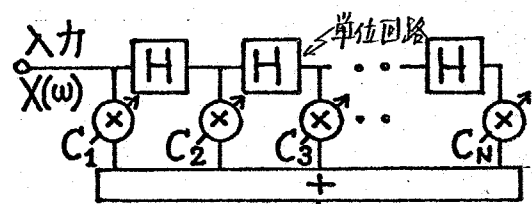
$$G(\omega) = \begin{cases} 1 + 0.1\omega^2 & (|\omega| < \pi) \\ 0 & (|\omega| > \pi) \end{cases} \quad (2.7-3)$$

である。さらに、誤差評価式を

$$\epsilon \triangleq \frac{1}{2\pi} \int_{-\pi}^{\pi} |G(\omega) - H(\omega) \cdot X(\omega)|^2 d\omega \quad (2.7-4)$$

定義しておく。

次に、タップ数 $N=5$ とし、単位回路の遮断時間 T を $1 \sim 1/5$ とし、通常のタップ利得の大きさを制限せず、最小2乗近似による設計で、(2.7-4) の ϵ を最小化して得られる 最小近似誤差 ϵ_{\min} 及び、そのときのタップ利得2乗和 K を (表2.4) に示す。この例では、 T を 1 から段々と小さくして、それに伴って、最小2乗誤差 ϵ_{\min} も小さくなり、同時にタップ利得



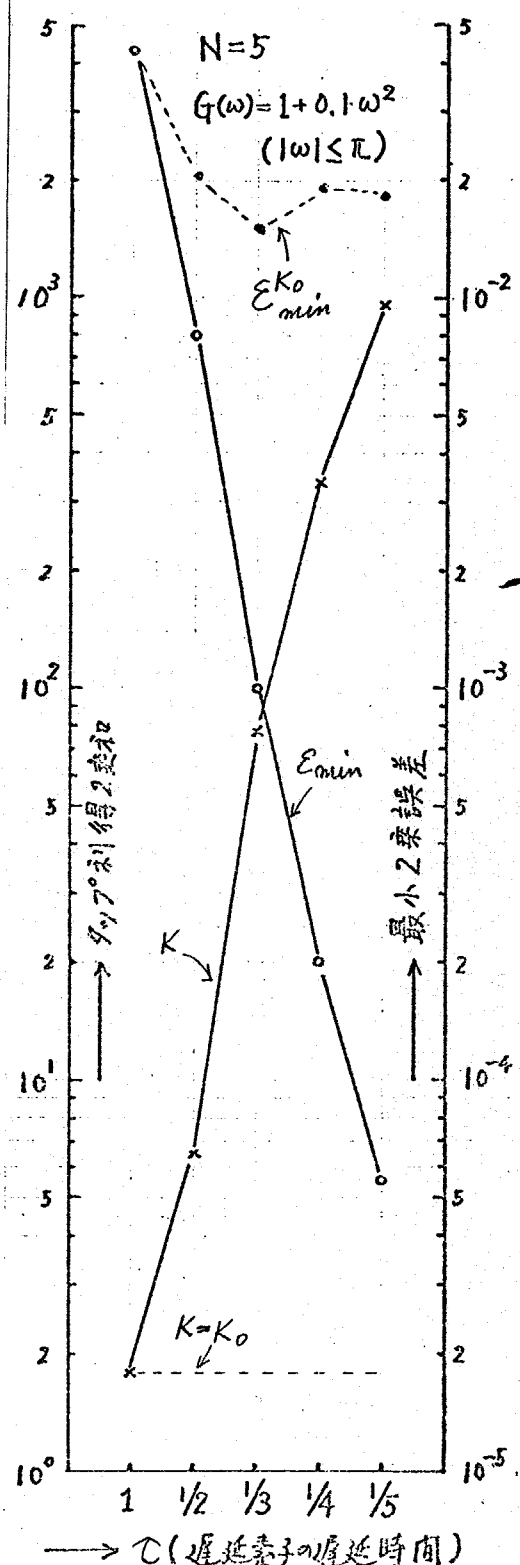
$$\text{出力: } Y(w) = \sum_{k=1}^N C_k H^k(w) X(w)$$

表2.4)

	タッフ利得2乗和(K)	E_{min}	$E_{min}^{K_0}$
$C=1$	1.8094 ($\cong K_0$)	0.43436×10^{-1}	0.43436×10^{-1}
$1/2$	6.4846	0.80103×10^{-2}	0.21312×10^{-1}
$1/3$	7.8029×10^1	0.99909×10^{-3}	0.15480×10^{-1}
$1/4$	3.3908×10^2	0.20027×10^{-3}	0.19529×10^{-1}
$1/5$	9.5626×10^2	0.55436×10^{-4}	0.18898×10^{-1}

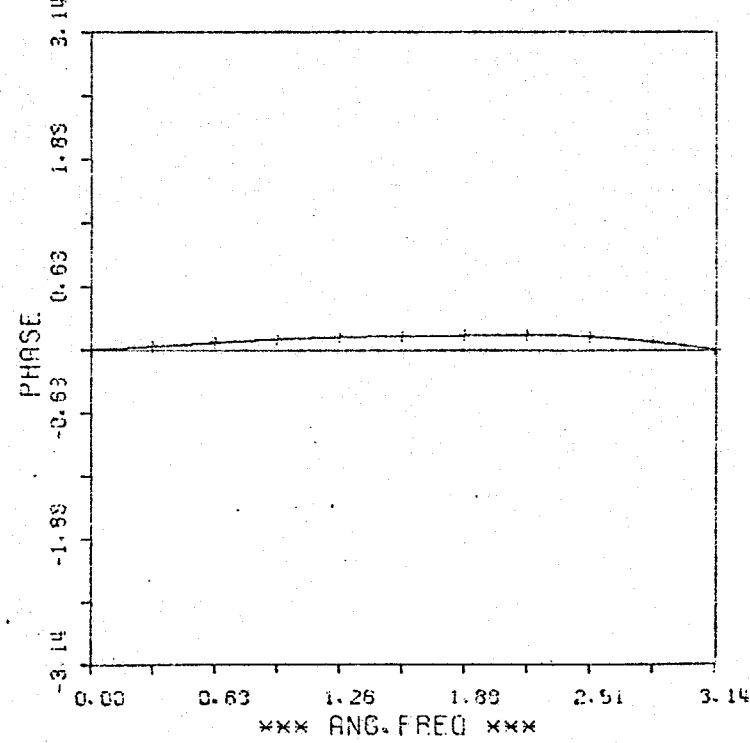
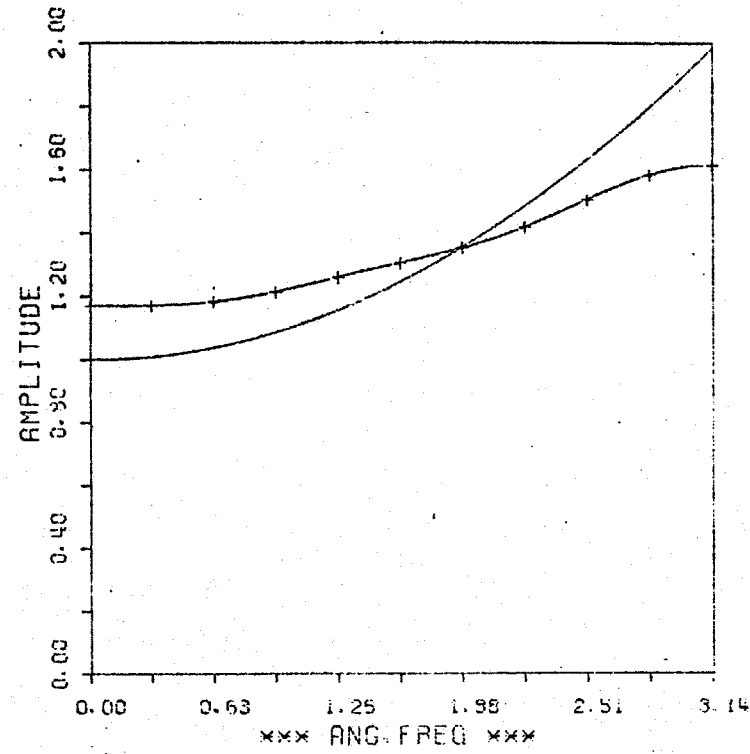
より良い近似が得られることがわかる。同時にタッフ利得2乗和が、段々大きくなり、 $C=1$ のときと、 $C=1/5$ のときでは、およそ500倍の差がある (E_{min} は約12万、約1000倍違う)。又、同じく表2.4) で、2.5節2) で12タッフ利得2乗和を抑止する設計方法によれば、 $C=1/2$ のときの最小2乗誤差は、 $C=1/4$ のときの最小2乗誤差以上である。即ち、 $E_{min}^{K_0}$ は、 $C=1/2$ のときの最小2乗誤差以上である。尚、表2.4) の結果を更に詳しく見ると、(図2.8) に書いた通りである。

すなはち、(図2.9) (a) ~ (c) によると、 $C=1, 1/2, 1/3$ の場合について、最小2乗近似 K が得られ、(図2.8) 最小2乗誤差とタッフ利得2乗和の特性を、タッフ利得を制限しない場合

→ C (遮断要素の遮断時間)

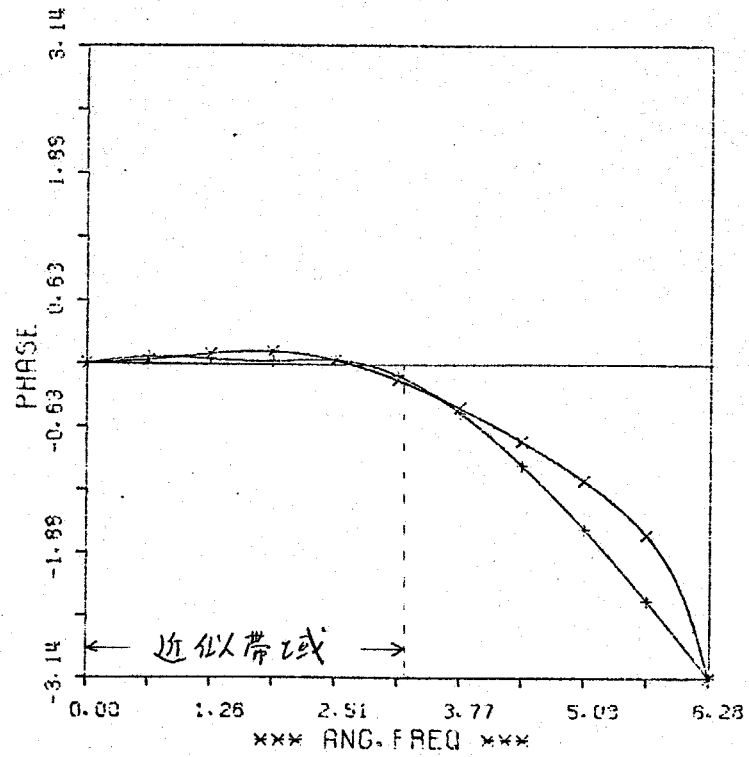
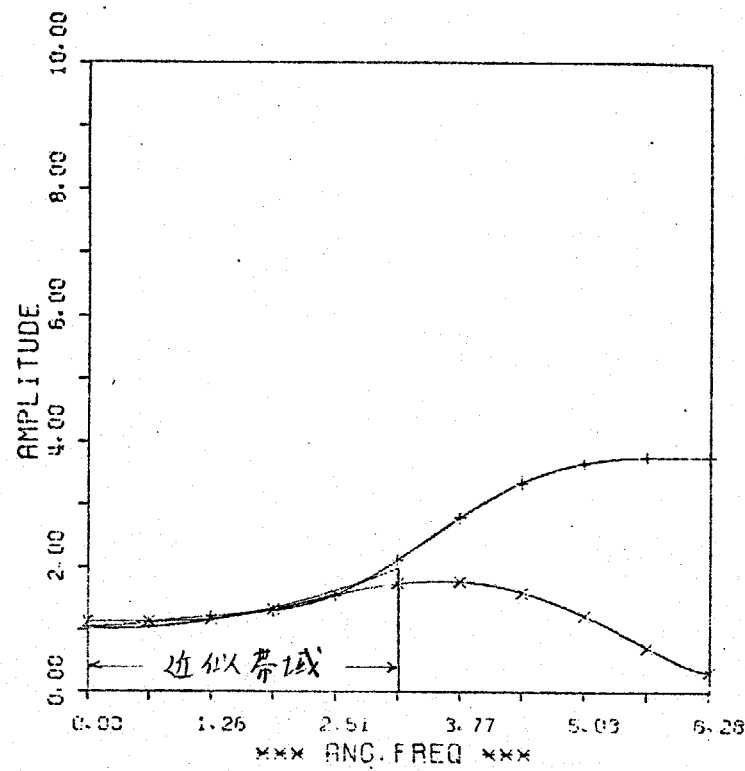
(図2.8) 最小2乗誤差とタッフ利得2乗和

(161-1)

(図2.9)(a) $C = 1.0$ — : $G(\omega)$ 希望特性---+--- : $F_{opt}(\omega)$ ダップリ得2乗和压制限(原)

最小2乗近似特性

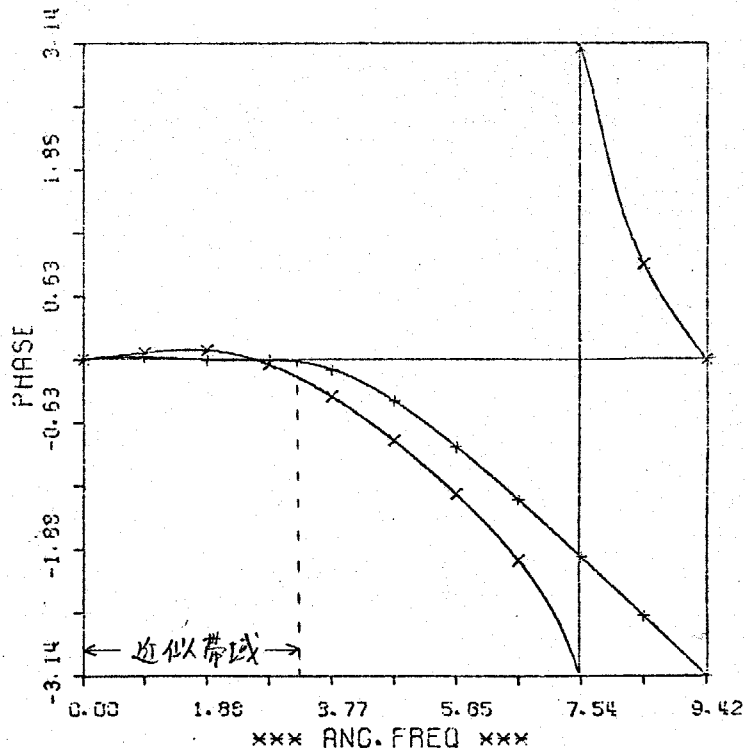
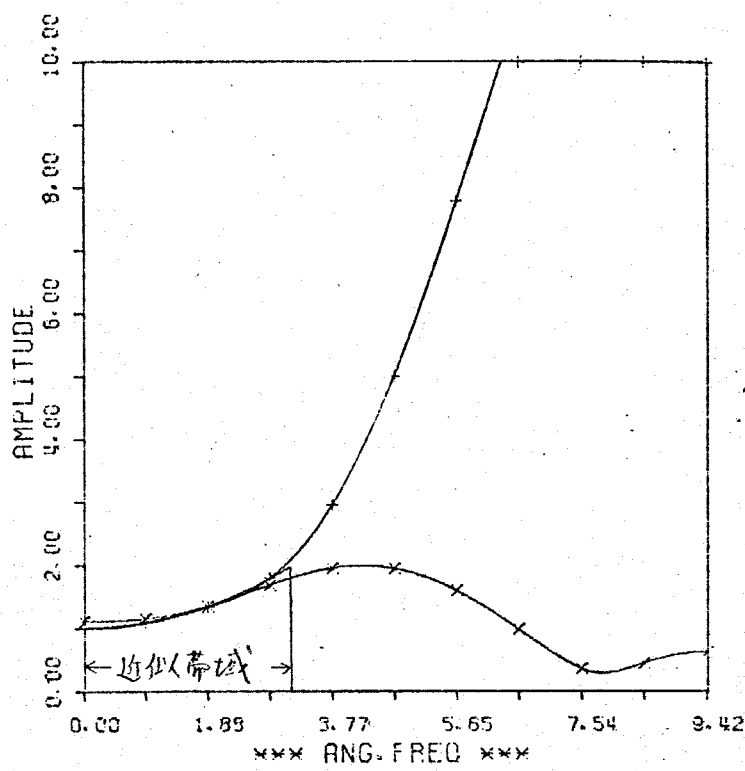
(例1-1)



(図2.9)(b) $C = 1/2$

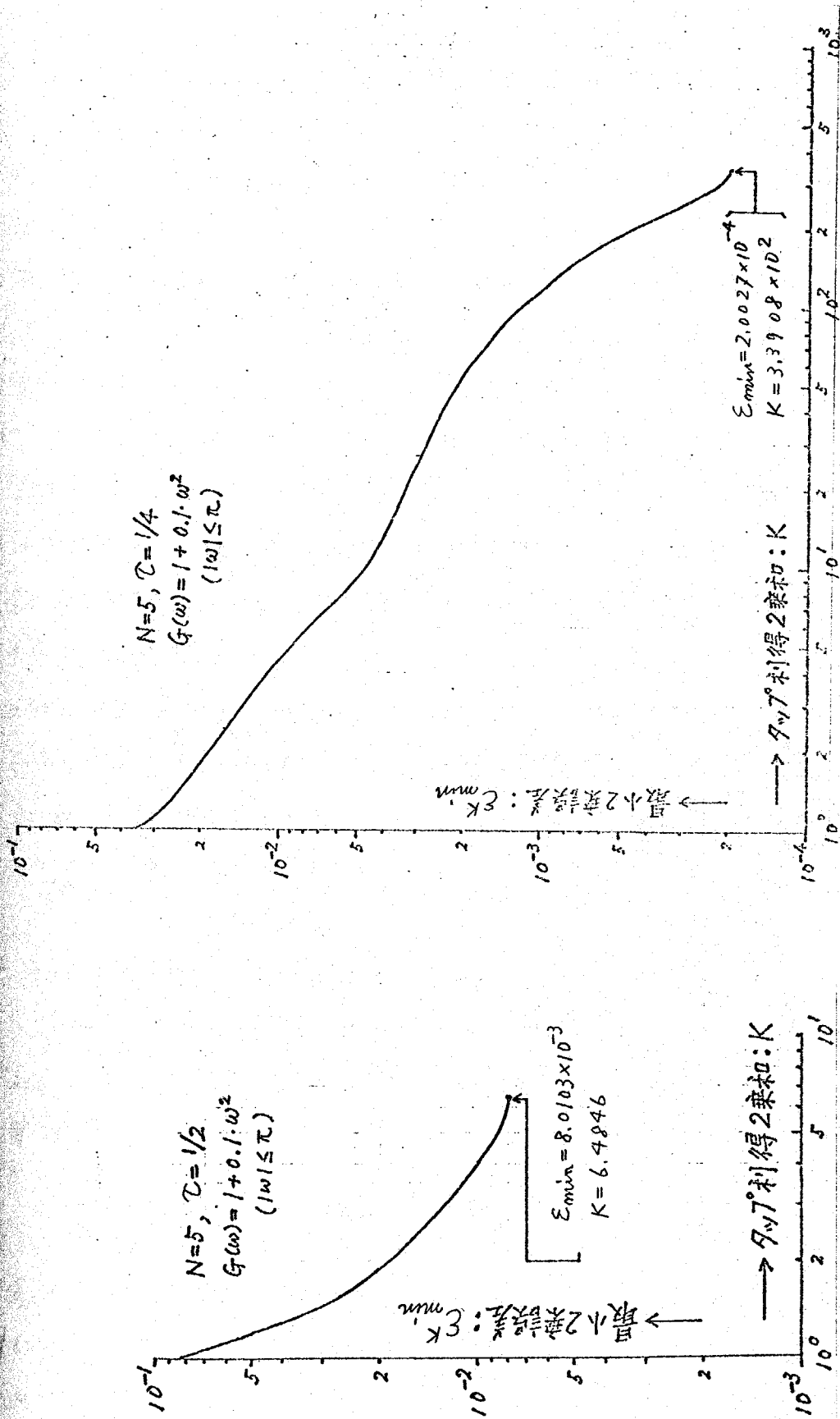
- : $G(\omega)$ 希望特性
- + - : $F_{opt}(\omega)$ ラジオノミカルと制限(2)
最小2乗近似特性
- x- : $F_{opt}^{K_0}(\omega)$ ラジオノミカルと K_0 の抑え
最小2乗近似特性

(3)-1)



(图2.9)(c) $C = 1/3$

- : $G(\omega)$ 希望特性
- + : $F_{opt}(\omega)$ タイフ削得2乗和压制限界
- x— : $F_{opt}^{K_0}(\omega)$ タイフ削得2乗和を K_0 に抑える
最小2乗近似特性



(図2.10). タンブリ得2乗和 K とそのときの最小2乗誤差

($H_{opt}(\omega)$) と、タップ利得2乗和を $K_0 K$ 抑えて場合 ($H_{opt}^{K_0}(\omega)$) の両方について述べる。これから分かるようだ、 $\bar{\tau} = 1/2$ とか $1/3$ の時は、タップ利得を制限しない場合、近似帯域内では、希望特性 $G(\omega)$ を非常によく近似するが、その外では、非常に大きな利得を持つ特性になる。これに対し、タップ利得2乗和を $K_0 K$ 抑えて最小2乗近似特性では、近似帯域外でも、大きな利得を持つことはない。これから、タップ利得を制限しない場合、近似帯域外の雜音を大きく増幅してしまうために対し、タップ利得2乗和を抑えて設計にすれば、そのようなことがないということが理解出来る。

(図2.10)には、 $\bar{\tau} = 1/2$ 及び $1/4$ の場合について、タップ利得2乗和 K と、そのときの最小2乗誤差の関係を図示している。(省略)

尚、ここで述べたのは、2.3節で述べたタップ利得の大きさ $\alpha_1 = 2^{-4}(i)$ (23頁) の例を改めてみよ。

(例2-1・終)

(例2-2)

(図2.7) 未だトランシスルーカル型回路で、タップ数 $N=9$ とし、入力となる。

$$X(\omega) = \begin{cases} 1 & (|\omega| < 1) \\ 0 & (|\omega| > 1) \end{cases} \quad (2.8-5)$$

入力2乗であるとき、希望出力 G 。

$$G(\omega) = \exp(-j\omega) \quad (|\omega| < 1) \quad (2.8-6)$$

であるとする。このとき、周波数領域分岐統和型

2乗誤差

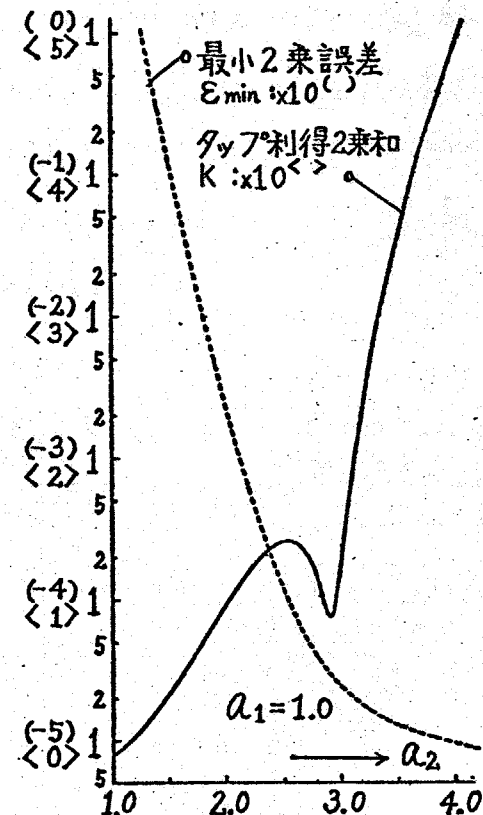
$$\epsilon = \sum_{i=-64}^{64} \left| G\left(\frac{i}{64}\right) - \sum_{k=1}^9 C_k H^k \left(\frac{i}{64}\right) \cdot X\left(\frac{i}{64}\right) \right|^2 \quad (2.8-7)$$

最小化する問題を考える。但し、単位回路

$H(\omega)$ については、次の3種類を考えておく。

○ 理想遮断器

$$\exp(-j\omega\bar{\tau})$$



(図2.11) 2次全域通過回路と用ひた時の ϵ_{min} とタップ利得2乗和。

○ 1次全域通過回路

$$(a - j\omega) / (a + j\omega) \quad (a > 0)$$

○ 2次全域通過回路

$$\{a_2 - a_1 j\omega + (j\omega)^2\} / \{a_2 + a_1 j\omega + (j\omega)^2\} \quad (a_1, a_2 > 0)$$

さて、まず、単位回路と 2 次全域通過回路を使った場合を若し、通常の最小2乗近似による設計で、タップ⁰利得2乗和が大きくなることを示す。(図2.11)(省略)に、2次全域通過回路の 11° ラメータ a_1, a_2 と $a_1 = 1$ と a_2 を変えてときの、最小2乗誤差 ε_{min} と、そのときのタップ⁰利得2乗和の関係を示している。これから分るように、近似を良くしようとすれば、 a_2 をある程度大きくしなくては必要があるが、すると、タップ⁰利得2乗和が非常に大きくなってしまうことになる。2次全域通過回路の遅延特性を描いてみれば、分子と2乗か、この場合にも、(例1-1)の場合と同様のことが起る(图2.11)に示す。タップ⁰利得2乗和が大きくなるほど近似誤差の大きさは、即ち、 a_2 の比較的大きいとき(3.2)は、相似領域内($|w| < 1$)において、2次全域通過回路の遅延特性は、平坦であるか? かなり不正確なものとなり。ほんとの小さい理想遅延線とどうぞようやく形となっていく。2.3節に示した(23項)(23項)の構造によると、タップ⁰利得2乗和が大きくなるといふと若しくなる。

次に、重ねた単位回路を用いたラス 11° 型回路と比較する2つの例と表2.5>①, ②に示す。まずでも、タップ⁰利得2乗和制限なし状態では、それより、程度の最小2乗誤差 ε_{min} を比べると、2次全域通過回路を用いたものは、タップ⁰利得2乗和が、他に比べて相当大きくなる方であることを若しくした。

表2.5>

タップ ⁰ 利得2乗和: K		制限なし	最小のものに合せたとき
単位回路の種類			
①	理想遅延線	$\varepsilon_{min} 1.1134 \times 10^{-5}$	—
	$C = 1.7$	K 7.6754×10^{-1}	—
②	2次全域通過回路	$\varepsilon_{min} 1.0528 \times 10^{-5}$	4.6133×10^{-4}
	$a_1 = 1.0, a_2 = 3.8$	K 2.8256×10^4	7.6754×10^{-1}
①	理想遅延線	$\varepsilon_{min} 5.2005 \times 10^{-5}$	1.6649×10^{-3}
	$C = 2.0$	K 9.0576×10^{-1}	8.1688×10^{-1}
②	1次全域通過回路	$\varepsilon_{min} 6.1780 \times 10^{-5}$	—
	$a = 0.6$	K 8.1688×10^{-1}	—
③	2次全域通過回路	$\varepsilon_{min} 5.3955 \times 10^{-5}$	1.0901×10^{-3}
	$a_1 = 0.9, a_2 = 2.8$	K 4.4011×10^1	8.1688×10^{-1}
cf. 無等化時(i.e. $C_1 = 1, C_2 \sim C_9 = 0$): $\varepsilon = 1.5104 \times 10^2$			

の最高種 K 、2.5節で示した設計方法(2.5)。タップ利得2乗和を、①、②どちらの内々、最小のものと抑えて場合の最小2乗誤差を求めるが、これは、単位回路の要とするトランジistor型回路の優劣を比較する一つの定量的尺度と見えたとも可能と思われる。又、表2.5 ②の、理想遮断線を用いた場合には、タップ利得2乗和を 9.0576×10^1 から $8.1688 \times 10^1 K$ わずかに大きく抑えていたが、最小近似誤差は 5.2005×10^{-5} から 1.6649×10^{-3} へと化している。一方、2次全域通過回路を用いた場合には、タップ利得2乗和を 4.4011×10^1 から $8.1688 \times 10^1 K$ がより大幅に小さく制限されるから、最小近似誤差は 5.3955×10^{-5} から 1.0901×10^{-3} へと理想遮断線を用いたトランジistor型回路の場合よりわずかではあるが、劣化が少く、しかも、単位回路との要とする特徴が見らる。即ち、この例では限り、理想遮断線を用いたトランジistor型回路はタップ利得の制限に対する感度が大きく、2次全域通過回路を用いたものは、小さいことが出来る。(例2-5)

(例2-3) 最小近似誤差の評価 (2.7節、式(2.7-3), (2.7-4), (2.7-8) の使用例)

(図2.7) に示す形の非巡回形ディジタル・フィルタ (i.e. $H(\omega) = \exp(-j\omega T)$) を考へ、タップ数 $N=5$ とする。

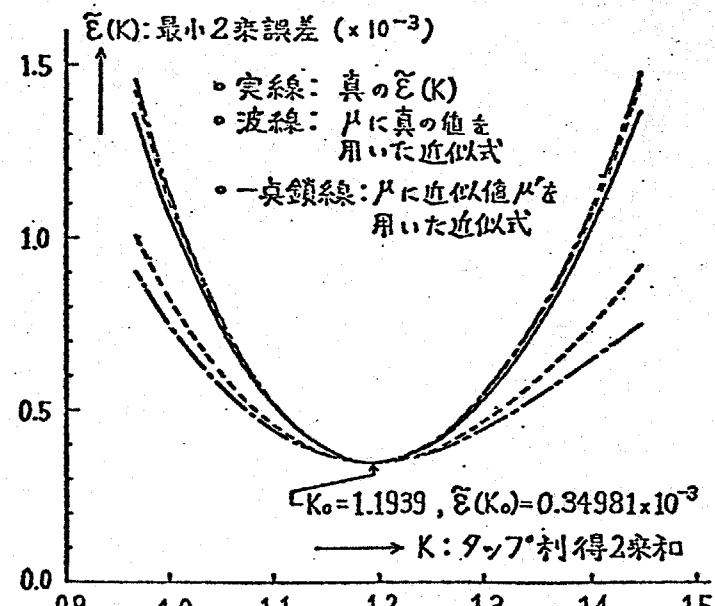
入力は $|w| \leq 1$ の帯域制限とする。

且つ、希望出力は

$$X(\omega) = 1 \quad (|w| \leq 1) \quad (2.8-8)$$

とする。又、2乗誤差評価式を

$$\begin{aligned} \varepsilon &= \sum_{n=-\infty}^{\infty} \left[g(nT) - \sum_{l=1}^5 C_l \cdot x[(n-l+1)T] \right]^2 \\ &= C' A C - 2 C' B + \varepsilon_0 \end{aligned} \quad (2.8-10)$$



(図2.12) 2.7節 式(2.7-3), (2.7-4) の使用例

とする。但し、 T はナベスト周期で $T=\pi$, $X(t)$, $g(t)$ は, $X(\omega)$ 及び $G(\omega)$ の $T=1$ 逆変換であるとする。

また、式(2.7-3), (2.7-4) の使用例について述べる。式(2.8-10)の 3 通り A の固有値 d_i ($i=1 \sim 5$) は,

$$\inf |X(\omega)/T|^2 \leq d_i (i=1 \sim 5) \leq \sup |X(\omega)/T|^2 \quad (2.8-11)$$

範囲内にあることか、表される μ' の 2 倍 μ' (式(2.7-6)の μ' (固有値の最大最小比 μ の近似値) とく簡単),

$$\mu' = 16/9 = 1.7778$$

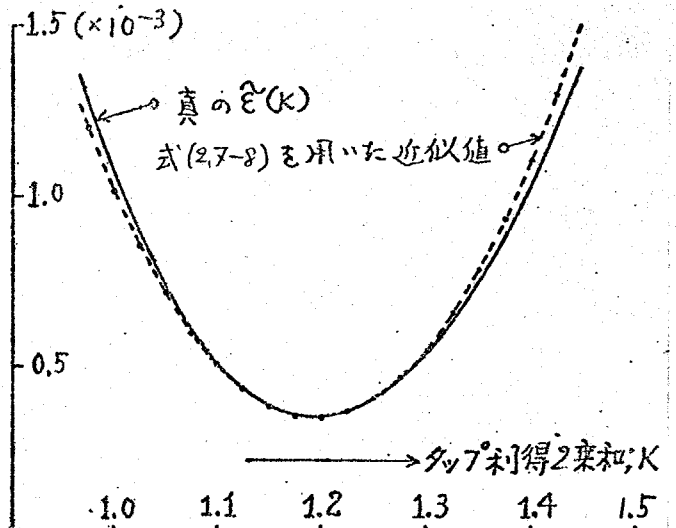
が得られる。尚、真の固有値最大最小比 μ は,

$$\mu = 1.4981$$

である。以上により、タップ利得 2 級和 K のときの最小 2 級誤差 $\tilde{\epsilon}(K)$ ($= \epsilon_{\min}^K$) の K の近傍における変化の様子と、式(2.7-3), (2.7-4) によれば、範囲内で結果を負 (図 2.12) である。特に、より重要な誤差を大き目に評価するのは、真の $\tilde{\epsilon}(K)$ が非常に小さく近似している。無等化時 (ie. $C_1=1$, $C_2 \sim C_5 = 0$) の場合の $\tilde{\epsilon}(K)$ が 1.26×10^{-3} であることから、それ以下のお $\tilde{\epsilon}(K)$ を与える K の範囲 ($K \approx 1.0 \sim 1.4$) では、 μ' を用いたものが十分使用可能と思われる。

次に、式(2.7-8) を用いた場合 (図 2.13) における $\tilde{\epsilon}(K)$ の計算は、2.7 頃でも述べて通り、タップ利得を制限する通常の易い手近似の設計における、自然に得られる値だけを用いた。計算可能な限りやすく、しかも、(図 2.13) に見られるように、近似度も優れている。

(例 1-3・参考)



(図 2.13) 2.7 頃 式(2.7-8) の使用例

2.9 あとがき。

本章では、タップ利得2乗和の抑えられたトランസバークル型回路の最小2乗近似による設計方法を述べた。即ち、2.3節で、通常の最小2乗近似による設計の結果と12.得られるタップ利得が大きくなる場合について述べ、2.4節で、タップ利得2乗和のもう物理的意味について述べ、タップ利得2乗和を抑えた設計方法が、難音を抑えた状態で、トランസバークル型回路の出力と希望出力の2乗誤差を最小とする最適設計になることを示した。又12.2.5節で、本章の基本定理により、タップ利得2乗和を一定値に抑えたトランസバークル型回路の最小2乗近似による設計方法を示した。2.6節では、2.5節で示した設計方法をMS形自動等化器に応用した場合の最適タップ利得設定アルゴリズムと、等化器の構成方法を述べた。又3で2.7節で示す、タップ利得2乗和を抑えた場合の最小近似誤差を知る目的で、テイラー展開を用いて簡単な近似式を導いた。最後に2.8節では、通常の最小2乗近似による設計で得られるタップ利得が大きくなるのは何故か、又2.5節で示したタップ利得2乗和を抑えた設計方法による設計例、又12.2.7節で導いたタップ利得2乗和を抑えたときの最小2乗誤差を与える近似式を用いて例などと示した。

残りの山丘問題とすれば、例では、タップ利得の大きさは4つを抑えた設計方法の検討などがあげられる。

第3章 集中定数遮断回路を用いて半無限トランスパーサル型回路の 伝達関数

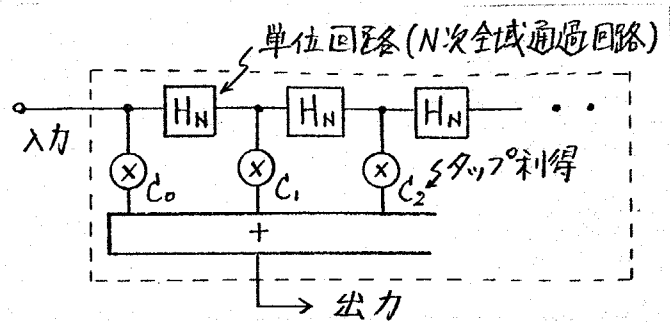
3.1 はじめに

物理的に実現可能なシステムは、必然的に因果律を満たさなければならない。その意味で“トランスパーサル型”回路も本質的に半無限の構造を持つものに限られ、両側に無限に延びて構造のつづきは許されない。従って、単位回路として、理想遮断線を用いてもよしも、普通のフーリエ級数理論で扱うことは出来ない。さらに、単位回路として、集中定数の全域通過回路などと用いた場合には、フーリエ級数理論がどのよどいは使えるのかは、明らかである。のうちで半無限トランスパーサル型回路が実現出来る伝達関数や、その量化能力を調べてみることは重要なことと思われるが、余り多くの研究が成らなかったように思われる。⁽¹⁶⁾この問題に関する最初の研究の多く Gibbs によるものが多さか、具体的な結果としては、単位回路として、1次全域通過回路を使って半無限トランスパーサル型回路では、必ず2乗誤差が零に収束する⁽¹⁷⁾といふことから、この程度である。入力が実質的に帯域制限されるとき、その帯域内での近似が問題となる場合の検討や、2次以上の全域通過回路を用いた場合、どのような特性であれば、近似出来るか⁽¹⁸⁾と云ふ問題に対する検討が為されていようである。

そこで、本章では、上記の問題に対する考察をする。具体的には、単位回路と、N次全域通過回路を用いて半無限トランスパーサル型回路により、タイプの2を無限にしたとき、2乗誤差が零になるという意味で“実現出来る伝達関数の満すべき必要十分条件”を求めていく。また、3.2節では、誤差の評価式を定義すると共に、記法の説明を行っていく。次いで、3.3節では、半無限トランスパーサル型回路で実現出来る伝達関数の満すべき必要十分条件を幾つかの場合に分けて述べ、3.4節では例題を示していく。

3.2 準備

本章で扱うトランジスタ二極管型回路は、(図3.1)に示すような半無限の構造を持つものとし、その単位回路としては、集中定数のN次全域通過回路



(図3.1) 半無限トランジスタ二極管型回路

$$H_N(j\omega) = \frac{P_N(-j\omega)}{P_N(j\omega)} = \exp\{-j\theta_N(\omega)\} \quad (3.2-1)$$

を用いるものとする。但し、式(3.2-1)は

$$\begin{aligned} P_N(s) &\triangleq 1 + a_1 s + a_2 s^2 + \dots + a_N s^N \\ &= \prod_r (\sigma_r + s) \cdot \prod_i (\sigma_i + j\omega_i + s)(\sigma_i - j\omega_i + s) \\ &(\sigma_r, \sigma_i, \omega_i > 0) \end{aligned} \quad \left. \right\} \quad (3.2-2)$$

$$\theta_N(\omega) \triangleq 2 \left\{ \sum_r \tan^{-1} \frac{\omega}{\sigma_r} + \sum_i \tan^{-1} \frac{\omega - \omega_i}{\sigma_i} + \sum_i \tan^{-1} \frac{\omega + \omega_i}{\sigma_i} \right\}$$

である。このとき、(図3.1)の半無限トランジスタ二極管型回路の伝達関数は、

$$F_N(j\omega) \triangleq \sum_{m=0}^{\infty} C_m \cdot H_N^m(j\omega) \quad (3.2-3)$$

表される。これで、誤差評価式を

$$\epsilon \triangleq \int_{-\omega_0}^{\omega_0} W(\omega) |G(j\omega) - F_N(j\omega)|^2 d\omega \quad (3.2-4)$$

$0 < \omega_0 \leq \infty$, $W(\omega) = W(-\omega)$: 密み関数

$G(j\omega)$: 希望伝達関数

定義する。又、希望伝達関数 $G(j\omega)$ とすれば、

$$G(j\omega) \in L_2(-\omega_0, \omega_0) \quad (3.2-5)$$

満足するものを考察の対象とする。さらに、密み関数 $W(\omega)$ は、

$$0 < W(\omega) \cdot (1 + \omega^2) < +\infty \quad (3.2-6)$$

滿足するものと仮定する。これらの条件は決して厳いものではない。

まず、伝達関数 $G(j\omega)$ が、半無限トランジスタ二極管型回路で実現可能であると

云うときの“実現可能”と言う言葉の定義を述べておく。

(定義3.1) $G(j\omega) \in L_2(-\omega_0, \omega_0)$ かつ、単位回路とし、 N 次全域通過回路を用いて(図3.1)の半無限トランスニカル型回路で“実現可能”であるとは、式(3.2-4)の2乗誤差を零とすることが出来るとして定義。(定義3.1-終)

さて、ここでは次節の準備として(図3.2)を示す。
山川変数変換を定義しておこう。即ち、式(3.2-2)
で与えられる N 次全域通過回路の位相関数 $\theta_N(\omega)$ により、 ζ を次のようく定義する。

$$\left. \begin{array}{l} \zeta \triangleq \theta_N(\omega) \quad \omega \in (-\infty, \infty) \\ \omega = \theta_N^{-1}(\zeta) \quad \zeta \in (-N\pi, N\pi) \end{array} \right\} (3.2-7) \quad (\text{図3.2}) \text{ 変数変換}.$$

$\theta_N(j\omega)$ は、狭義の単調増大奇関数であり、 ζ を $(-N\pi, N\pi)$ に限れば、逆関数 $\theta_N^{-1}(\zeta)$ が存在し、やはり狭義増大奇関数となる。尚且つ、このとき $\omega \in (-\infty, \infty)$ と $\zeta \in (-N\pi, N\pi)$ は、(図3.2)によるとより一対一に対応している。又、(図3.2)によると、半2の変数変換

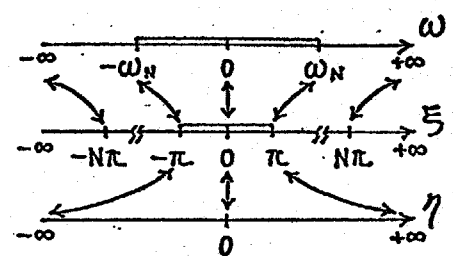
$$\left. \begin{array}{l} \zeta \triangleq \theta_1(\eta) = 2 \tan^{-1}(a/\eta) \quad \eta \in (-\infty, \infty) \\ \eta = \theta_1^{-1}(\zeta) = a \tan(\zeta/2) \quad \zeta \in (-\pi, \pi), \quad a > 0 \end{array} \right\} (3.2-8)$$

かつ“2も全く同様である。

次に記法の説明をしておく。本章では、 ω の関数を、英大文字で表し、式(3.2-7)の変数変換を施して ζ の関数を対応する英小文字で表す。さらに、式(3.2-8)の変数変換を行って η の関数を同じ英大文字に \sim を付けて表すとする。例えは、 $G(j\omega)$ に対して、

$$\left. \begin{array}{l} g(j\zeta) \triangleq G[j\theta_N^{-1}(\zeta)] \\ G(j\eta) \triangleq G[j\theta_N^{-1}(\theta_1(\eta))] = g(j\theta_1(\eta)) \end{array} \right\} (3.2-9)$$

である。又、以下本章では、 $'$ は微分を表すものとし、積分は主値積分とする。



3.3 伝達関数の満すべき必要十分条件.

本節では、問題を右表 <表3.1> 問題の分類。

以下に分け、各節(定義3.1)の意味で、実現可能な $G(j\omega)$ の満すべき必要十分条件を求めよ。尚、表3.1)は、 $\omega_0 \ll \theta_N(\omega)$

		$N \geq 2$	
$N=1$		$\theta_N(\omega_0) = k\pi$	$(k-1)\pi < \theta_N(\omega_0) < k\pi$
近似帯域 ω_0	有 限	$1 \leq k \leq N-1$	$1 \leq k \leq N$
		(3)	(2)
	無 限		(1)

表3.1). 考えられる全ての場合を含んでいます。以下、<表3.1> に従い、順次結果を述べいく。

(1) $\omega_0 = \infty, N \geq 1$ の場合

((定理3.1)) 伝達関数 $G(j\omega)$ が、(図3.1) の半無限トライアングル型回路で実現出来た為の必要十分条件は、次の(a-1)あるいは(b-1)が成り立つことである。

(a-1) $g(j\zeta) (\zeta \in (-N\pi, N\pi))$ が周期 $(-\pi, \pi)$ の周期関数で、且つ $(-\pi, \pi) \subset$ 2乗平均収束の意味で

$$g(j\zeta) = C_0 + C_1 \cos \zeta + C_2 \cos 2\zeta + \dots - j(C_1 \sin \zeta + C_2 \sin 2\zeta + \dots) \quad (3.3-1)$$

のような級数に展開出来ること。(これは、Wiener-Lee変換とよく知られています。⁽⁴⁾)

(b-1) $g(j\zeta) (\zeta \in (-N\pi, N\pi))$ が周期 $(-\pi, \pi)$ の周期関数で、 $G(j\omega)$ の実部及虚部に対するヒルベルト変換式

$$\left. \begin{aligned} G_I(\omega) &= -(1/\pi) \int_{-\infty}^{\infty} \{ G_R(\omega)/(w-x) \} dx \\ G_R(\omega) &= (1/\pi) \int_{-\infty}^{\infty} \{ G_I(\omega)/(w-x) \} dx \end{aligned} \right\} \quad w \in (-\infty, \infty) \quad (3.3-2)$$

但し、 $G_R(\omega) \triangleq \operatorname{Re}\{G(j\omega)\}$, $G_I(\omega) \triangleq \operatorname{Im}\{G(j\omega)\}$ (以下同様) 成り立つこと。

尚、式(3.3-2) は、 $G(j\omega)$ のフーリエ逆変換が因果律を満すということに他ならない。

(定理3.1・終)

(証明) $\omega_0 = \infty$ とすと、式(3.2-4)は、

$$\varepsilon = \int_{-N\pi}^{N\pi} \eta(\xi) |f(j\xi) - \sum_{m=0}^{\infty} c_m e^{-j^m \xi}|^2 d\xi \quad (3.3-3)$$

$$\text{但し, } \eta(\xi) \geq \eta_0(\xi) \cdot \{\theta_N^{-1}(\xi)\}^2 \quad (3.3-4)$$

とする。一方、式(3.2-6)の条件から、

$$0 < \eta(\xi) < +\infty \quad \xi \in (-N\pi, N\pi) \quad (3.3-5)$$

の成立することが云え。よって、複素平面 $\eta(\xi)$ は本質的な意味をもたず、
 $\varepsilon \rightarrow 0$ と、

$$\varepsilon_1 \triangleq \int_{-N\pi}^{N\pi} |f(j\xi) - \sum_{m=0}^{\infty} c_m e^{-j^m \xi}|^2 d\xi \rightarrow 0 \quad (3.3-6)$$

とは、同値である。又、式(3.2-5)の条件から、

$$f(j\xi) \in L_2(-N\pi, N\pi) \quad (3.3-7)$$

より、直ちに (a-1) が得られる。

(b-1) についは、式(3.3-1)が $G(j\omega)$ のフーリエ逆変換の因果性と同値であることから、明らかであるが、次の(定理3.2)の証明と同様に、ラーベル関係の $L_2(0, \infty)$ の完備性を用いても示すことも出来る。(証明終)

(定理3.1) 2'. 特に $N=1$ の場合には、 $f(j\xi)$ が、周期関数であると云う条件は不要で、式(3.3-1)、(3.3-2)は、式(3.3-2)の条件(即ち、 $G(j\omega)$ のフーリエ逆変換が、因果律を満すと云うこと)で“け2”良いことになる。

(2) $0 < \omega_0 < +\infty$, $N \geq 2$, $\theta_N(\omega_0) = k\pi$ ($k=1 \sim N-1$) の場合

((定理3.2)) 伝達関数 $G(j\omega)$ が、(図3.1)の半無限トランスリーオル型回路を実現出来るための必要十分条件は、次の (a-2) および (b-2) が成立つてある。

(a-2) $f(j\xi)$ ($\xi \in (-k\pi, k\pi)$) が、周期 $(-\pi, \pi)$ の周期関数で、且つ $(-\pi, \pi)$ で式(3.3-1)のように振開出来ること。

(b-2) $f(j\xi)$ ($\xi \in (-k\pi, k\pi)$) が、周期 $(-\pi, \pi)$ の周期関数であり、
 その積分変換対

$$\left. \begin{aligned} X(w) \cos^2 \frac{\theta_N(w)}{2} &= -\frac{1}{2\pi} \int_{-w_0}^{w_0} \frac{R(x) \cdot \theta'_N(x) dx}{\tan\{\theta_N(w)/2\} - \tan\{\theta_N(x)/2\}} \\ R(w) \cos^2 \frac{\theta_N(w)}{2} &= \frac{1}{2\pi} \int_{-w_0}^{w_0} \frac{X(x) \cdot \theta'_N(x) dx}{\tan\{\theta_N(w)/2\} - \tan\{\theta_N(x)/2\}} \end{aligned} \right\} \quad (3.3-8)$$

$w \in (-w_0, w_0)$

$$\left. \begin{aligned} \text{但し, } X(w) &\triangleq G_I(w) - \tan\{\theta_N(w)/2\} \cdot G_R(w) \\ R(w) &\triangleq G_R(w) + \tan\{\theta_N(w)/2\} \cdot G_I(w) \end{aligned} \right\}$$

が成り立つこと。

(定理3.2.4終)

(証明) 式(3.2-4)と式(3.2-7)の変数変換を施すと

$$\varepsilon = \int_{-k\pi}^{k\pi} U(\zeta) |g(j\zeta) - \sum_{m=0}^{\infty} C_m e^{-jm\zeta}|^2 d\zeta \quad (3.3-9)$$

このとき、 $U(\zeta)$ は式(3.3-4)と等しい。又、式(3.2-6)の条件から

$$0 < \theta_N(\zeta) < +\infty, \quad \zeta \in (-k\pi, k\pi) \quad (3.3-10)$$

が成り立つ、 $\varepsilon \rightarrow 0$ と同値の条件と/or

$$\varepsilon_2 \triangleq \int_{-k\pi}^{k\pi} |g(j\zeta) - \sum_{m=0}^{\infty} C_m e^{-jm\zeta}|^2 d\zeta \rightarrow 0 \quad (3.3-11)$$

が得られる。さらには、式(3.2-5)の条件から

$$g(j\zeta) \in L_2(-k\pi, k\pi) \quad (3.3-12)$$

が成り立ち、直ちに(3.3-11)が得られる。

次に、式(3.3-11)と式(3.3-8)の変数変換を行なうと、

$$\varepsilon_2 = 2a \int_{-\infty}^{\infty} \left| \frac{\tilde{G}(j\eta)}{a+j\eta} - \sum_{m=0}^{\infty} C_m \frac{(a-j\eta)^m}{(a+j\eta)^{m+1}} \right|^2 d\eta \quad (3.3-13)$$

が得られる。このとき、式(3.2-5)の条件と

$$0 < \theta'_N(w) < +\infty \quad w \in (-w_0, w_0) \quad (3.3-14)$$

が成り立つ。

$$\tilde{H}(j\eta) \triangleq \frac{\tilde{G}(j\eta)}{a+j\eta} \in L_2(-\infty, \infty) \quad (3.3-15)$$

が成り立つ。一方、式(3.3-12)より

$$\frac{1}{\sqrt{2a}} L_n(j\omega, a) \triangleq \frac{(a-j\omega)^m}{(a+j\omega)^{m+1}} \quad (3.3-16)$$

は、ラグール関数のフーリエ変換であり、ラグール関数系か。 $L_2(0, \infty)$ が完備であることと、 1° -セバルの等式が成り立つことを便えは、式(3.3-13) が、 $\epsilon_2 \rightarrow 0$ となる条件は、式(3.3-15) が定義される $\tilde{H}(j\eta)$ のフーリエ逆変換が因果律を満す時間関数であることになり、次の上レベルト変換対

$$\left. \begin{aligned} \tilde{H}_I(\eta) &= -\frac{1}{\pi} \int_{-\infty}^{\infty} \frac{\tilde{H}_R(\eta)}{\eta-x} dx \\ \tilde{H}_R(\eta) &= \frac{1}{\pi} \int_{-\infty}^{\infty} \frac{\tilde{H}_I(\eta)}{\eta-x} dx \end{aligned} \right\} \quad \eta \in (-\infty, \infty) \quad (3.3-17)$$

但し、 $\tilde{H}_R(\eta) \triangleq \operatorname{Re}\{\tilde{H}(j\eta)\}$, $\tilde{H}_I(\eta) \triangleq \operatorname{Im}\{\tilde{H}(j\eta)\}$
が成り立つことと同値である。^{(42), (43)} 式(3.3-17)の条件を ω の世界で書き直すと、式(3.3-8)の条件が得られる。
(証明終)

尚、おと同様、(定理3.2) が、特に $k=1$ の場合には、 $g(j\omega)$ が、周期関数であると云う条件は不要である。

((定理3.2の系)) (定理3.2)の条件 (b-2) が成立する、 $G(j\omega)$ が

$$G(j\omega) \sec^2\{\theta_N(\omega)/2\} \in L_2(-\omega_0, \omega_0) \quad (3.3-18)$$

を満たす場合は、式(3.3-8)の条件は、次の積分変換対。

$$\left. \begin{aligned} G_I(\omega) &= -\frac{1}{2\pi} \int_{-\omega_0}^{\omega_0} \frac{G_R(x) \cdot \sec^2\{\theta_N(x)/2\} \cdot \theta'_N(x)}{\tan\{\theta_N(x)/2\} - \tan\{\theta_N(\omega)/2\}} dx \\ G_R(\omega) &= \frac{1}{2\pi} \int_{-\omega_0}^{\omega_0} \frac{G_I(x) \cdot \sec^2\{\theta_N(x)/2\} \cdot \theta'_N(x)}{\tan\{\theta_N(x)/2\} - \tan\{\theta_N(\omega)/2\}} dx \end{aligned} \right\} \quad \omega \in (-\omega_0, \omega_0) \quad (3.3-19)$$

が成り立つことと云う条件に置き換わるよ。

(証明). 式(3.3-18)から、

$$\tilde{G}(j\eta) \in L_2(-\infty, \infty) \quad (3.3-20)$$

が云え、式(3.3-15) が、 $H(j\eta)$ と $\tilde{G}(j\eta)$ のフーリエ逆変換の因果性は、同値

とする。従つて式(3.3-17)より、 $\tilde{A}(j\omega)$ の代りに $\tilde{G}(j\omega)$ を用ひよせか出来、
これが ω の世界へ書き直して、式(3.3-19)が得られる。(証明終)

$G(j\omega)$ が式(3.3-18)を満す場合にても、当然 式(3.3-8)の条件が便りに成る事であるが、式(3.3-19)の条件の方は、より簡単である。

(3) 及び (4) の場合

もし L 、 $G(j\omega)$ が、 $\omega \in (-\omega_N, \omega_N)$ ($\omega_0 < \omega_N$) で与えられていれば、
 $G(j\omega) \in L_2(-\omega_N, \omega_N)$ で、 $\theta_N(\omega_N) = k\pi$ ($k=1 \sim N$) が満足される
とすれば、 ω_0 及び ω_N が拡張され、上に述べた場合に帰着されることが
わかるが、一般の場合には、簡単な条件は得られないようである。

3.4 例題

本節では、前節の(定理3.2)及び(定理3.2の系)を用いて例題を示す。

(例題-1) 今、(図3.1)の半無限トランステーナル型回路²⁾、単位回路を

$$H_2(s) \triangleq \frac{s^2 - 2s + 1}{s^2 + 2s + 1} = e^{-j\theta_2(\omega)} \quad (3.4-1)$$

$$\text{但し, } s = j\omega$$

とする。さて、このとき、次の2つの伝達関数

$$G_1(s) \triangleq (s^2 + 1)/(s^2 + 3s + 1) \quad (3.4-2)$$

$$G_2(s) \triangleq (s^2 + 1)/(2s^2 + 3s + 1) \quad (3.4-3)$$

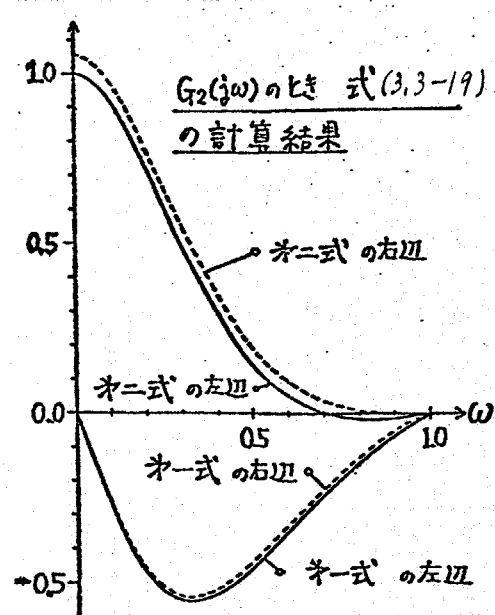
$$\text{但し, } s = j\omega$$

²⁾ $|w| \leq w_0 = 1$ の3帯域²⁾ 実現出来るとどうか判定してみよ。この場合、 $w_0 = 1$ は有限で²⁾あり、又、 $\theta_2(1) = \pi$ が成り立つ²⁾ので、(定理3.2)が使える。従って(a-2)と(b-2)のいずれかの条件を用いても判定出来ることは分かるが、これは、さらく $G_1(j\omega)$, $G_2(j\omega)$ が、共に式(3.3-18)を満たさないから、(定理3.2の系)を用い、式(3.3-19)によって判定してみようとする。實際に、式(3.3-19)を計算してみよう。 $G_1(j\omega)$ は実現出来、 $G_2(j\omega)$ は実現出来ないことが分かる。ちなみに、 $G_2(j\omega)$ に関する、式(3.3-19)の右辺及び左辺を計算して結果を(図3.2)に示してある。明らかに等号の成り立たないことが分かる。

次に、 $G_1(j\omega)$, $G_2(j\omega)$ を 次に示す誤差評価式によって、有限段のトランステーナル型回路²⁾近似した場合の最小近似誤差 $\varepsilon_{L\min}$ の減り方の様子を(図3.2)(次頁)に示してある。但し、誤差評価式は、

$$\varepsilon_L \triangleq \int_{-1}^1 \overline{W}(\omega) |G_p(j\omega) - \sum_{m=0}^{L-1} C_m H_2^m(j\omega)|^2 d\omega \quad (3.4-4)$$

$$p=1 \text{ 又は } 2, \quad \overline{W}(\omega) \triangleq 4/(1+\omega^2)$$



(図3.2) (定理3.2の系)の適用例

である。〈表3.2〉によると、 $G_1(j\omega)$ は実現出来、 $G_2(j\omega)$ は実現不可能であることが容易に想像される。(例1-1・終)

(例1-2) (例1-1)と同じ単位回路を用いて半無限トランスペアーチル型回路で、次の2つの伝達関数

$$G_3(s) \triangleq \frac{2s}{s^2 + 4s + 1} \quad (s=j\omega) \quad (3.4-5)$$

$$G_4(s) \triangleq \frac{2s}{3s^2 + 4s + 1} \quad (s=j\omega) \quad (3.4-6)$$

が、 $|s| \leq \omega_0 = 1$ の帯域で実現出来るとか判定出来る。この場合、(例1-1)のときと異なり、 $G_3(j\omega)$, $G_4(j\omega)$ は、必ずしも(定理3.2の系)が使える為の条件、式(3.3-18)を満たさない(2)は、(a-2)を用いて判定出来るとしている。式(3.4-5)及び式(3.4-6)から、変換変換によつて、 $g_3(j\zeta)$, $g_4(j\zeta)$ を求めることとし、

$$g_3(j\zeta) = \sum_{n=0}^{\infty} r_n e^{-jn\zeta}, \quad \left\{ \begin{array}{l} r_0 = 1/3 \\ r_n = -2/3^{n+1} \quad (n=1, 2, \dots) \end{array} \right\} \quad (3.4-7)$$

$$g_4(j\zeta) = \sum_{n=0}^{\infty} \delta_n e^{-jn\frac{\zeta}{2}} \quad \left\{ \begin{array}{l} \delta_0 = 1/4, \quad \delta_1 = 1/8 \\ \delta_n = -3/2^{n+2} \quad (n=2, 3, \dots) \end{array} \right\} \quad (3.4-8)$$

得られ、 $G_3(j\zeta)$ は実現出来、 $G_4(j\zeta)$ は実現出来ないことが分る。

(例1-2・終)

〈表3.2〉 近似誤差の比較

近似度 数L	近似誤差 $E_L \min$	
	$G_1(j\omega)$ の比	$G_2(j\omega)$ の比
0	1.0000×10^0 (0.60000)	1.0000×10^0 (0.66337)
1	4.0000×10^{-1}	4.1958×10^{-1}
2	1.6000×10^{-2}	1.6694×10^{-2}
3	6.4000×10^{-4}	2.0114×10^{-4}
4	2.5600×10^{-5}	1.9421×10^{-4}
5	1.0240×10^{-6}	1.6652×10^{-4}
10	1.0486×10^{-13}	1.5746×10^{-4}
20	1.0995×10^{-27}	1.5675×10^{-4}
30	1.1529×10^{-41}	1.5669×10^{-4}
40	1.2089×10^{-55}	1.5668×10^{-4}
50	1.2677×10^{-69}	1.5667×10^{-4}

注) $\gamma \neq 0$ は、 $C_0 = 1, C_i = 0$
($i=1, 2, \dots$) における誤差
各々、この比の値((C)内)を規格化してある。

(a-2) は、(b-2) によらぬければならぬ。これでは、(a-2)を用いて判定出来るとしている。

3.5 あとがき

本章では、 $G(j\omega) \in L_2(-\omega_0, \omega_0)$ のときのことを、 $G(j\omega)$ が、単位回路といふ。集中定数 N 次全域通過回路を用いて半無限トランシバーサル型回路の伝達関数として、実現出来る為の必要十分条件について考察し、幾つかの判定条件を示し、その適用例を述べた。

残された問題としては、

- i) 周期周波数に対するヒルベルト変換を用いて条件式を導出すること。
 - ii) ヒルベルト変換の微分形とも考へらるコリー・リーマンの条件を用いて判定条件を検討すること。
 - iii) 単位回路といふ、全域通過回路に限らず、一般の集中定数回路を用いて場合に対する判定条件を検討すること。
 - iv) 近似帯域が $0 < \omega_1 \leq |\omega| \leq \omega_2$ のような、いわゆる 帯域通過型の場合への理論の拡張に関する検討
- などが挙げられる。

第4章 希望特性の分差値をタップ利得とする分差統合型2重誤差最小 トランスパーカル型回路

4.1 はじめに

トランスパーカル型回路の代表的な設計方法の一つに 分差(標準差)一致型の設計方法があり、可変遮断等化器を利用してものの⁽¹⁸⁾⁽¹⁹⁾や、タップ開閉が必要(もしくは)回路に拡張したもの⁽²⁰⁾⁽²¹⁾がある。しかし、分差一致型の設計では、タップの数が“分差の数か”決まれば、各分差では希望特性と一致するか、分差以外では、近似度が明確でないということがある。このことは、2重誤差等を評価式として用いることによる。かなり解決済みか? 未だらぬか? 2重誤差を評価式として用いると、通常はタップ利得の希望特性をF₁で簡単に表せないという事態が起り、希望特性が複雑化され、極値問題を解くと、タップ利得を求められないのは、可変等化器などにとっては、甚く不便で、希望特性が“付”洗子調整部を持つ構成が望まれる。

本章は、上記の問題に対する一つの解決策として、誤差評価式として、分差が多くとまる分差統合型2重誤差を採用し、しかも、希望特性の分差値をタップ利得として構成される 分差統合型2重誤差最小のトランスパーカル型回路について述べる。すな、4.2節で“希望特性の分差値をタップ利得とする分差統合型2重誤差最小のトランスパーカル型回路の基本的な構成方法と、周波数領域の近似の場合と、時間領域の近似の場合について述べる。4.3節では、同じ考え方で得られる別の構成方法とし、タップ利得調整構造をもち、希望特性の分差値をタップ利得制御入力とする分差統合型2重誤差最小のトランスパーカル型回路を示す。4.4節では、次の二節で使われるマトリクス回路の構成に因る、それを簡単化する方法を例示する。4.5節では、7°1セット型等化器との応用方法について簡単に考察する。最後に4.6節では、主にデータにより 分差統合型2重誤差の性質を調べ、適当なタップ数と分差値の関係、適当なタップの数、単位回路の最適遮断時間、重み関数の影響などについて述べる。

4.2 構成方法(I)

本節では、希望特性の分母値をタップ利得とする分母統和型2乗誤差最小のトランシスハーネル型回路の基本的な構成方法と、周波数領域の近似の場合と、時間領域の近似の場合について述べる。本構成方法は、分母の数を任意に多くとることで出来、しかも、タップ利得が希望特性の分母値とのかけ算、足し算というから、可変等化器等として便利な形式と考えられる。

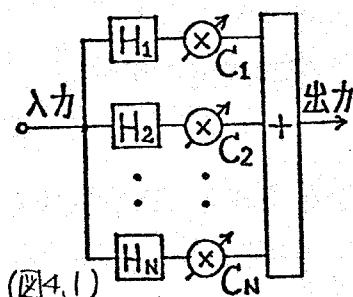
(i) 周波数領域での近似の場合

基礎となるトランシスハーネル型回路(図4.1)の拡張式

を形を省略する。この回路の伝達関数は、

$$F(\omega) = \sum_{k=1}^N C_k H_k(\omega) \quad (4.2-1)$$

である。但し、 $C_1 \sim C_N$ はタップ利得であり、 $H_k(\omega)$ は通常の遅延係数である。この回路では、 $e^{-j(k-1)\omega\tau}$ とあるものとする。(図4.1)



今、周波数領域での分母統和型2乗誤差を、

$$\varepsilon_w \triangleq \sum_{i=-M}^M \bar{W}(\omega_i) |G(\omega_i) - F(\omega_i)|^2 \quad (4.2-2)$$

但し、 $G(\omega)$ ：希望特性、 $\bar{W}(\omega) = W(-\omega) > 0$ ：重み関数

ω_i ($i = -M \sim M$)：分母 ($\omega_{-i} = \omega_i$, $\omega_0 = 0$)

定義する。これはマトリクスを利用して

$$\varepsilon_w = \mathbb{C}^T A \mathbb{C} - 2 \mathbb{C}^T b + \varepsilon. \quad (4.2-3)$$

但し、 $\mathbb{C} = (C_1, C_2, \dots, C_N)^T$ ：タップ利得、 $A = (a_{kl})_{k,l=1 \sim N}$ 、

$$b = (b_1, b_2, \dots, b_N)^T$$

とする。

$$\left. \begin{aligned} a_{kl} &= a_{lk} = \bar{W}(0) H_k(0) H_l(0) + 2 \sum_{i=1}^M \bar{W}(\omega_i) \operatorname{Re}\{H_k(\omega_i) \overline{H_l(\omega_i)}\} \\ b_k &= \bar{W}(0) G(0) H_k(0) + 2 \sum_{i=1}^M \bar{W}(\omega_i) \operatorname{Re}\{G(\omega_i) \cdot \overline{H_k(\omega_i)}\} \\ \varepsilon_0 &= \bar{W}(0) \cdot G^2(0) + 2 \sum_{i=1}^M \bar{W}(\omega_i) |G(\omega_i)|^2 \end{aligned} \right\} \quad (4.2-4)$$

である。但し、 \cdot は積算、 $\operatorname{Re}\{\cdot\}$ は実部、 $\operatorname{Im}\{\cdot\}$ は虚部、 \cdot^* は複素共役を表すとする(以下同様)。

又、式(4.2-3)の行列 A は、正値とし、 A の半正値とする外的立場

合は除いてみることにする。

この通り、基本と同様構成方法といふ。次の定理が成立つ。

(定理4.1)

任意の希望特

$G(\omega)$ を対し、

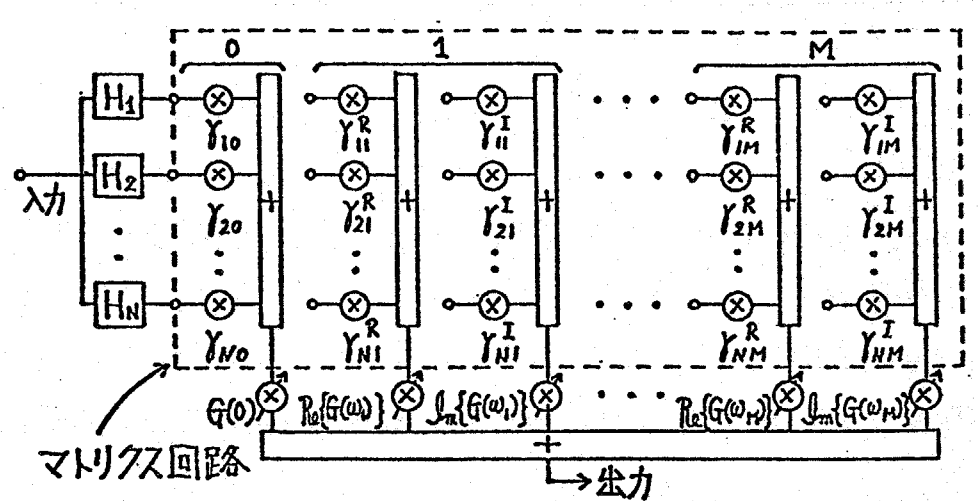
$\Delta(4.2-2)$ を満たす

とき ϵ_{ω} を最小

とするトランジス

タル型回路は、

$W(\omega)$ と $H_k(\omega)$ (



$k=1 \sim N$) で "サ" (図4.2) 希望特性の分担値をタップ利得とする分担系統型で実現差最小
とする固定マトリク

のトランジス-タル型回路 (周波数領域の近似の場合)

る回路と、 $G(\omega)$

の分担値をタップ利得とする回路² (図4.2) のように構成出来る。但し、 R_{10}, R_{11}^R
 R_{11}^I ($k=1 \sim N, i=1 \sim M$) は、

$$\left. \begin{aligned} r_{10} &= W(0) \sum_{k=1}^N \alpha_{k0} H_k(0) \\ r_{11}^R &= 2W(\omega_i) \sum_{k=1}^N \alpha_{k0} \cdot \operatorname{Re}\{H_k(\omega_i)\} \\ r_{11}^I &= 2W(\omega_i) \sum_{k=1}^N \alpha_{k0} \cdot \operatorname{Im}\{H_k(\omega_i)\} \end{aligned} \right\} \quad (4.2-5)$$

"与えられ、こ"。

$$A^{-1} \triangleq (\alpha_{k0}) \quad k, 0 = 1 \sim N, \quad (\alpha_{k0} = \alpha_{0k}) \quad (4.2-6)$$

"ある。

(定理4.1・終)

(証明) ϵ_{ω} を最小とする最適タップ利得 C_{opt} は。

$$C_{opt} = A^{-1} b. \quad (4.2-7)$$

右のうねから、これを式(4.2-4) の b_k と式(4.2-6) を用いて書き下し、式(4.2-5)

記号を復すと、

$$C_{opt}^{opt} = r_{10} G(0) + \sum_{i=1}^M r_{11}^R \cdot \operatorname{Re}\{G(\omega_i)\} + \sum_{i=1}^M r_{11}^I \cdot \operatorname{Im}\{G(\omega_i)\} \quad (4.2-8)$$

$(k=1 \sim N)$

となり。従ってこのときの伝達関数は、 w_i と C_l に関する和の順序を交換する
ことにより、

$$F_{opt}(\omega) = G(0) \sum_{l=1}^N \gamma_{l0} H_l(\omega) + \sum_{i=1}^M \operatorname{Re}\{G(w_i)\} \sum_{l=1}^N \gamma_{li}^R H_l(\omega) \\ + \sum_{i=1}^M \operatorname{Im}\{G(w_i)\} \sum_{l=1}^N \gamma_{li}^I H_l(\omega) \quad (4.2-9)$$

となり。これから直ちに (図4.2) の構成が得られる。尚、 γ_{l0} , γ_{li}^R , γ_{li}^I ($l=1 \sim N$,
 $i=1 \sim M$) が、 $G(\omega)$ に依らずなるのは、明らかである。
(証明終)

次に、特別な場合である、基本的な場合と/or、理想遮断系を用いたトレス
ルーパル型回路において、重み係数が $W(\omega)=1$ である。すなはち、各支路 w_i が等間隔で
ある場合には、式(4.2-5) によればマトリクス回路の係数値は、次のようになりますように簡単に表される。但し、一般性を失うことなく、理想遮断系の遮断時間
 $T=1$ とします。

(定理4.1の系) (定理4.1) より、

$$\left. \begin{aligned} H_k(\omega) &= e^{-j(k-1)\omega} \quad (k=1 \sim N) \\ W(\omega) &= 1 \\ w_i &= -w_{-i} = i\pi/M \quad (i=0 \sim M) \\ 2M+1 &> N \end{aligned} \right\} \quad (4.2-10)$$

すると、式(4.2-5) によればマトリクス回路の係数値は、具体的に

$$\left. \begin{aligned} \gamma_{l0} &= \frac{-2M+N+(-1)^{N-l-1}}{2M(2M+N)} \\ \gamma_{li}^R &= \frac{1}{M} \cos((l-1)\frac{i\pi}{M}) + \frac{(-1)^l}{2M(2M+N)} \left\{ 1 + (-1)^{N-1} \frac{\cos(N-\frac{1}{2})\frac{i\pi}{M}}{\cos(i\pi/2M)} \right\} \\ \gamma_{li}^I &= -\frac{1}{M} \sin((l-1)\frac{i\pi}{M}) + \frac{(-1)^l}{2M(2M+N)} \left\{ \tan \frac{i\pi}{2M} + (-1)^N \frac{\sin(N-\frac{1}{2})\frac{i\pi}{M}}{\cos(i\pi/2M)} \right\} \\ \gamma_{lM}^R &= (-1)^{l-1} \cdot 2 / (2M+N), \quad \gamma_{lM}^I = 0 \end{aligned} \right\} \quad (4.2-11)$$

となる。

(定理4.1の系・終)

証明) 式(4.2-10) から従つて実際 K 行列 A を計算すると、

$$A = (a_{KL}) = \begin{bmatrix} 1+2M & -1 & 1 & \cdots & (-1)^{N-1} \\ -1 & 1+2M & -1 & \cdots & (-1)^{N-2} \\ 1 & -1 & 1+2M & \cdots & (-1)^{N-3} \\ \vdots & \vdots & \vdots & \ddots & \vdots \\ (-1)^{N-1} & (-1)^{N-2} & (-1)^{N-3} & \cdots & 1+2M \end{bmatrix} \quad (4.2-12)$$

より、逆行元 A^{-1} が

$$A^{-1} = (\alpha_{KL}) = \frac{1}{2M(2M+N)} \begin{bmatrix} 2M+N-1 & 1 & -1 & \cdots & (-1)^{N-2} \\ 1 & 2M+N-1 & 1 & \cdots & (-1)^{N-3} \\ -1 & 1 & 2M+N-1 & \cdots & (-1)^{N-4} \\ \vdots & \vdots & \vdots & \ddots & \vdots \\ (-1)^{N-2} & (-1)^{N-3} & (-1)^{N-4} & \cdots & 2M+N-1 \end{bmatrix} \quad (4.2-13)$$

と之よりは、容易に確かめられ。この α_{KL} を用いて式(4.2-10)を従い、式(4.2-5)を実際に計算することにより、式(4.2-11)が得られる。(証明終)

尚、(定理4.1)によく積成法は、その証明から分るが如く、誤差評価式が式(4.2-3)のよう表示され、 $A = (a_{KL})$ が希望特性を保有す、分是のとくに利得 C_L に対する総和の順序加え換可能と山は、常に可能である。次に述べる時間領域での分是総和型 2乗誤差評価式は L 場合も同じであるが、他 L, 例えは、周波数領域で実部と虚部を別々の重み関数を用いて評価式を採用 L 場合、即ち、

$$\varepsilon'_w \triangleq \sum_{i=-M}^M \left\{ \overline{W}_R(w_i) |G_R(w_i) - F_R(w_i)|^2 + \overline{W}_I(w_i) |G_I(w_i) - F_I(w_i)|^2 \right\} \quad (4.2-14)$$

$$\left. \begin{aligned} \text{但し, } G(w) : \text{希望特性}, \quad G_R(w) \triangleq \operatorname{Re}\{G(w)\}, \quad G_I(w) \triangleq \operatorname{Im}\{G(w)\} \\ F_R(w) \triangleq \operatorname{Re}\{F(w)\}, \quad F_I(w) \triangleq \operatorname{Im}\{F(w)\}, \quad F(w) \text{ は式(4.2-1)} \\ \overline{W}_R(w) = \overline{W}_R(-w) > 0, \quad \overline{W}_I(w) = \overline{W}_I(-w) > 0, \quad \text{重み関数} \end{aligned} \right\} \quad (4.2-15)$$

の場合も、従先分是特性を用いて評価式を採用 L 場合、即ち、

$$\varepsilon''_w \triangleq \sum_{i=-M}^M \left\{ \overline{W}_1(w_i) |G(w_i) - F(w_i)|^2 + \overline{W}_2(w_i) |G'(w_i) - F'(w_i)|^2 \right\} \quad (4.2-16)$$

$$\left. \begin{array}{l} \text{但し, } G'(w) \triangleq 2G(w)/2w, F'(w) \triangleq 2F(w)/2w \\ W_1(w) = W_1(-w) > 0, W_2(w) = W_2(-w) > 0 \end{array} \right\} \quad (4.2-17)$$

の場合なども、(定理4.1)と同様の構成が可能であることを付けて示す。

(ii) 時間領域²の近似の場合

トランジistor型回路の一般形を考へ、入力 $x(t)$
が、定数 ω のとき、各 τ_i の利得のあと観測
した時間波形を (図4.3) の通り、 $y_k(t)$ ($k=1 \sim N$) とすると、出力波形 $y(t)$ は、

$$y(t) = \sum_{k=1}^N C_k \cdot y_k(t) \quad (4.2-18)$$

これらから、時間領域²の分次總和型 (図4.3)

2乗誤差を、

$$\varepsilon_t \triangleq \sum_{i=1}^M w(t_i) |g(t_i) - y(t_i)|^2 \quad (4.2-19)$$

但し、
 $\begin{cases} g(t) : \text{希望出力波形} \\ w(t) > 0 : \text{重み波形} \end{cases}$

2' 定義すと、

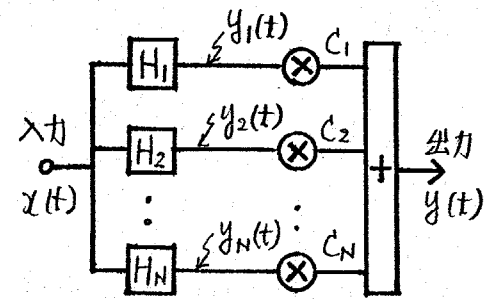
$$\varepsilon_t = C' A C - 2 C' I b + \varepsilon_0 \quad (4.2-20)$$

但し、
 $\begin{cases} C \triangleq (C_1, C_2, \dots, C_N) : \text{各利得ベクトル} \\ A \triangleq (a_{kl})_{k,l=1 \sim N} : \text{実対称行列} \\ I \triangleq (I_1, I_2, \dots, I_N) \end{cases}$

と書け、
 $\varepsilon_0 = \sum_{i=1}^M w(t_i) g^2(t_i)$

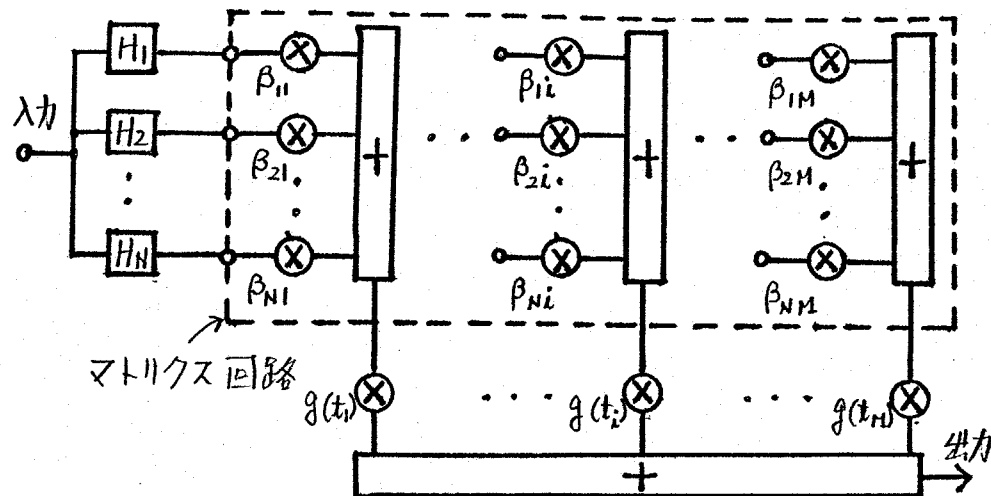
$$\left. \begin{array}{l} a_{kl} = a_{lk} = \sum_{i=1}^M w(t_i) y_k(t_i) y_l(t_i) \\ b_k = \sum_{i=1}^M w(t_i) y_k(t_i) \cdot g(t_i) \\ \varepsilon_0 = \sum_{i=1}^M w(t_i) g^2(t_i) \end{array} \right\} \quad (4.2-21)$$

2' と3'. 従って、式(4.2-19)の行列 A が半正値となる例外的な場合を除けば、周波数領域の場合の(定理4.1)に対応して、次の定理が成立する。
 ((定理4.2)) 入力 $x(t)$ が定数 ω とき、任意の希望出力波形 $g(t)$ に対し



2. 式(4.2-19)

2" これらを合
計最小とすると
トランジスタ型回路は、希
望出力波形に
依らずに固定
マトリクス回路



と希望出力波形 (図4.4) 希望特性の分量値をタップ利得とする分量系和型
誤差最小のトランジスタ型回路 (時間領域の近似の場合)。

得とする回路2" (図4.4) のように構成出来る。但し, $\beta_{l,i}$ ($l=1 \sim N$, $i=1 \sim M$) は,

$$\beta_{l,i} = \sum_{k=1}^N \alpha_{R,k} w(t_k) y_k(t_i) \quad (l=1 \sim N, i=1 \sim M) \quad (4.2-22)$$

2" これら, すなはち

$$A^{-1} \triangleq (\alpha_{R,l})_{R,l=1 \sim N} \quad (\alpha_{R,l} = \alpha_{l,R}) \quad (4.2-23)$$

となり。 (定理4.2・終)

(証明) 2" と最小とする最適タップ利得 $C_{opt} = A^{-1} b$ を式(4.2-21) の右端と
式(4.2-23)を用いて書き下すと, 式(4.2-22)の $\beta_{l,i}$ を用いることにより,

$$c_l^{opt} = \sum_{i=1}^M \beta_{l,i} g(t_i) \quad (4.2-24)$$

を得る。このときの出力 $y^{opt}(t)$ を計算し, t_i と c_l に関する総和の順序を交換すれば,

$$y^{opt}(t) = \sum_{i=1}^M \left\{ \sum_{l=1}^N \beta_{l,i} c_l \right\} g(t_i) \quad (4.2-25)$$

となり, このから直ちに (図4.4) の構成が得られる。 (証明・終)

2" 2" も, 同じく, 従来特性を用いて評価式

$$g'_t \triangleq \sum_{i=1}^M \left\{ w_1(t_i) |g(t_i) - y(t_i)|^2 + w_2(t_i) |g'(t_i) - y'(t_i)|^2 \right\} \quad (4.2-26)$$

但 1, $\begin{cases} g'(t) \hat{=} \partial g(t)/\partial t, \quad g'(t) \hat{=} \partial y(t)/\partial t, \\ g(t): \text{希望出力波形}, \quad y(t): \text{式 (4.2-17)} \\ w_1(t) > 0, \quad w_2(t) > 0 : \text{重み関数} \end{cases}$

所以实用化の場合 k_t , (定理 4.2) と同様の構成が可能となる。

4.3 構成方法(II).

本節では、前節(定理4.1)および(定理4.2)と同じ考え方で得られるタップ利得調整構造と固定マトリクス回路を用い、希望特性の分母値をタップ利得制御入力とする分母統和型2乗誤差最小のトランジスタパーカル型回路の構成方法を周波数領域の近似の場合と、時間領域の近似の場合について述べる。

(i) 周波数領域の近似の場合

前節(i))と同じ仮定、同じ記号のもとに(式(4.2-1))～(式(4.2-6)), 次の定理が成り立つ。

(定理4.3) 任意の希望特性 $G(\omega)$ に対する式(4.2-2)で与えられた $\varepsilon\omega$ を最小とするトランジスタパーカル型回路は、タップ利得制御構造と、 $W(\omega)$ と $H_k(\omega)$ ($k=1 \sim N$) によって決まる固定マトリクス回路をもち、希望特性の分母値をタップ利得制御入力とする回路

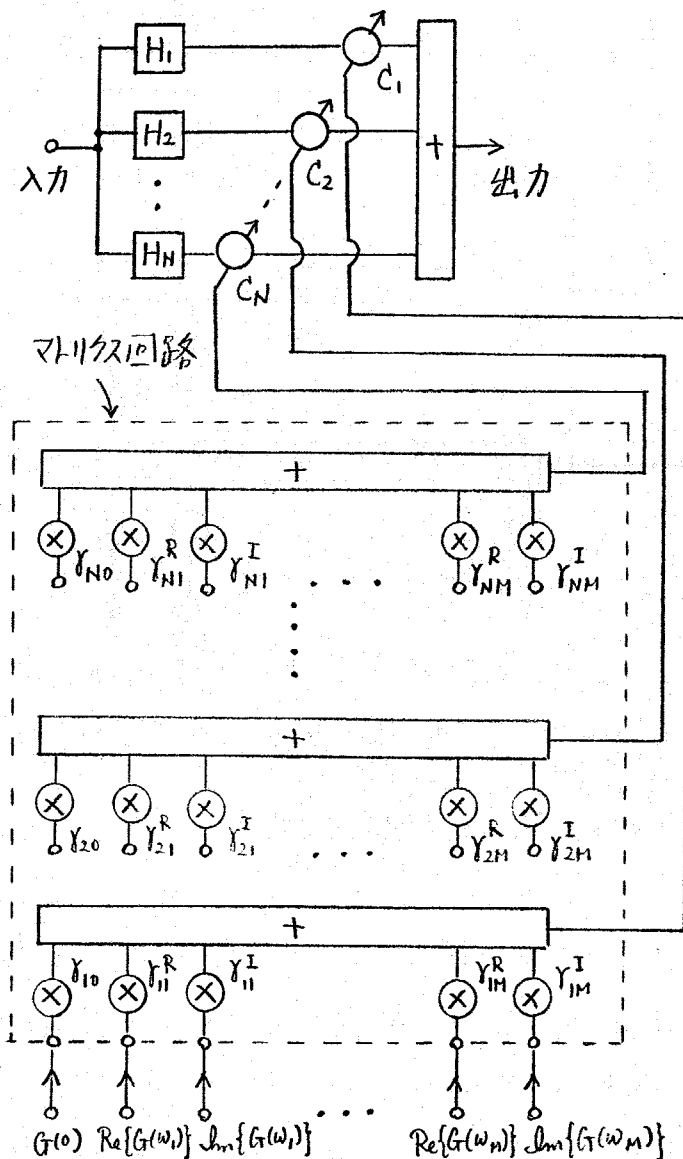
2° (図4.5) のように構成出来

3° 但し、 $Y_{l0}, Y_{li}^R, Y_{li}^I$ ($l=1 \sim N, i=1 \sim M$) は、式(4.2-5)

で与えられる。(定理4.3・終)

(証明) (定理4.1) の3正明に仿って式(4.2-8)から、直ちに得られる。

(証明・終)



(図4.5) 希望特性の分母値をタップ利得制御入力とする分母統和型2乗誤差最小のトランジスタパーカル型回路(周波数領域の近似の場合)

(ii) 時間領域の近似の場合

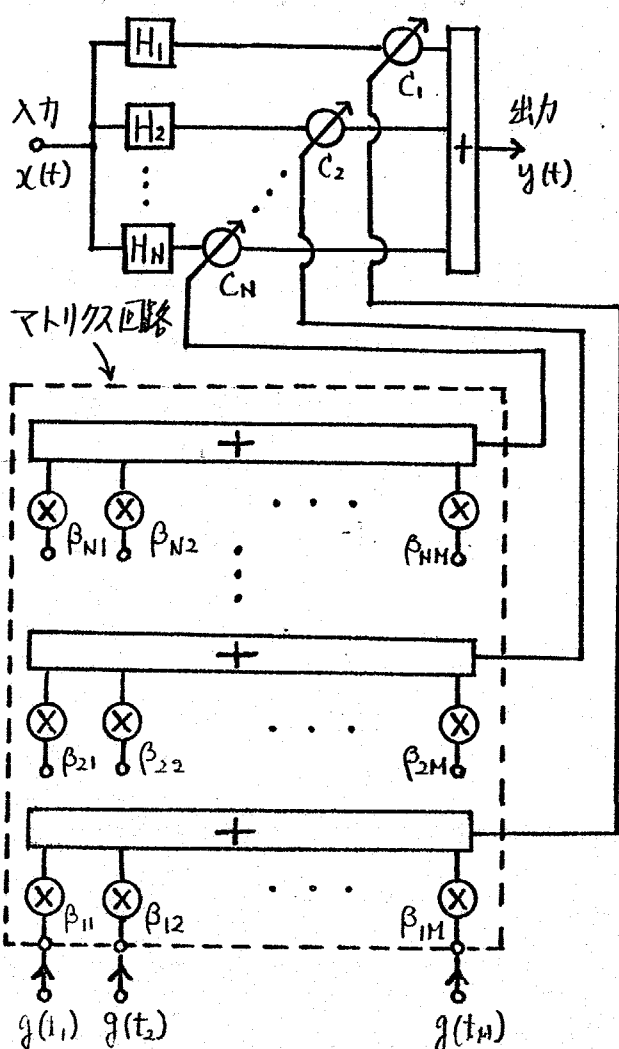
前節(ii)と同じ仮定、同じ記号のもとで(式(4.2-18)~式(4.2-23))、
Rの定理が成り立つ。

(定理4.4) 入力 $x(t)$ 加算器 H_1
とき、任意の希望出力波形 $g(t)$ が
式(4.2-19) 2" からすれば ϵ_1 を最
小にす トランジスターカル型回路は、
タップ利得調整構造とし、希望出力
波形によらずに 固定マトリクス回路をも
ち、希望出力波形 $g(t)$ の分量値をタ
ップ利得制御入力とする回路²。(図
4.6) のように構成出来る。但し、 β_{ei}
($e=1 \sim N$, $i=1 \sim M$) は、式(4.2-22)
2" からなる。
(定理4.4. 終)

(証明) (定理4.2) の証明における
式(4.2-24) から直ちに得られる。

(証明・終)

本節で示した構成方法は、前節と
異なり、固定マトリクス回路を含む
タップ利得調整構造をもち、希望特性の分量値をタップ利得制御入力とす
るの²であるが、マトリクス回路の係数値は、前節の(定理4.1)又、(定理4.2)
のものと、それと、同一である。従って、前節の(定理4.1の系)などは、本節に
關してもそのまま成立する。又、前節の構成方法は、式(4.2-14), (4.2-16), (4.2-
26)などの誤差評価式を採用した場合にも適用可能²であると同様、本
節で示したタップ利得調整構造をもつ構成方法を、これらの誤差評価式
を採用した場合に適用することのできるといえよう。



(図4.6) 希望特性の分量値をタップ利得制御
入力とする分量総和型 2" 事務機最小の
トランジスター型回路(時間領域の近似)

さらに、各節点として構成方法は、タップ利得が、希望特性の分真値をもつ“
ト”というとこうに特徴があり。本節で示した構成方法は、タップ利得調整機
構を必要とするが、信号経路とマトリクス回路を必要とせず、実用上際には、
演算誤差の影響などから少く有利ではないかと思われる。

本節及び各節点として構成方法は、可変等化器等との便利な形式を取ら
れ、プリセレクト型等化器との応用方法については、との4.6節で簡単に述べる。
又、これまで比較的多くマトリクス回路を必要とする為、マトリクス回路より
多く簡単に構成する事が望ましいが、その点に関しては、次節で考察する。

4.4 マトリクス回路の構成に関する検討

本節では、4.2節及び4.3節で述べたトランジistor-カーリ型回路の構成の検討必要となるマトリクス回路の簡単化について、例題により考察する。マトリクス回路の大まかは、 $(タップ数) \times (分岐数)$ で、一般にかなり大きくなる場合、その場合は構成LCの場合は、伝送器の数が増えて、経済的ではなく、出力のノイズ簡略化を小さくすることが望ましい。 \therefore これは、基本的な場合の例題より相当の簡略化が出来ることを示す。

代表として、4.2節(定理4.1)と4.3節(図4.2)の構成方法による場合を考える。又、最も基本的なものとして、理想遮断器を用いたトランジistor-カーリ型回路を想定し、(定理4.1の系)の仮定(式(4.2-10))が成立する場合を考えることとする。 $N(\text{タップ数})=5$ 、分岐数 $(2M+1)=9$ の場合を例題にとると、(定理4.1の系)式(4.2-11)によると、マトリクス回路の係数は、計算によると、

$$\begin{aligned} \Gamma_{l0} (l=1 \sim N) &= \frac{1}{26} \begin{pmatrix} 3 \\ 7/2 \\ 3 \\ 7/2 \\ 3 \end{pmatrix} \downarrow^l \quad | \\ \gamma_{li}^R (l=1 \sim N, i=1 \sim M) &= \frac{1}{4} \begin{pmatrix} 1 & 1 - 1/3 & 1 & 1 - 5/3 \\ 1/\sqrt{2} & 1/3 & -1/\sqrt{2} & -1 + 5/3 \\ 0 & -1 - 1/3 & 0 & 1 - 5/3 \\ -1/\sqrt{2} & 1/3 & 1/\sqrt{2} & -1 + 5/3 \\ -1 & 1 - 1/3 & 1 & 1 - 5/3 \end{pmatrix} \downarrow^l \quad | \quad (4.4-1) \\ \gamma_{li}^I (l=1 \sim N, i=1 \sim M) &= -\frac{1}{4} \begin{pmatrix} \frac{1}{13} \tan(3\pi/8) & 0 & \frac{1}{13} \tan(3\pi/8) & 0 \\ 1/\sqrt{2} - \frac{1}{13} \tan(3\pi/8) & 1 & 1/\sqrt{2} - \frac{1}{13} \tan(3\pi/8) & 0 \\ 1 + \frac{1}{13} \tan(3\pi/8) & 0 & 1 + \frac{1}{13} \tan(3\pi/8) & 0 \\ 1/\sqrt{2} - \frac{1}{13} \tan(3\pi/8) & -1 & 1/\sqrt{2} - \frac{1}{13} \tan(3\pi/8) & 0 \\ \frac{1}{13} \tan(3\pi/8) & 0 & \frac{1}{13} \tan(3\pi/8) & 0 \end{pmatrix} \downarrow^l \quad | \end{aligned}$$

(*) 次節で述べるように、実用上、分岐数は、タップ数のほぼ2倍とされる。分岐数と並んで。

4回。従って、このマトリクス回路をそのまま実現しようとすると、35回の計算と27回の加算が必要となる（但し、係数値が零となるのは最初から除いた）。しかし、式(4.4-1)をみてみると、マトリクス回路の係数は、係数方向及係数値方向で、同一のものがあり、これらは、適当にまとめることが出来ます。例えは、系統方向（上の方向）K=1目にして計算器を減らさないと、(図4.7)のように構成せり。14回の計算と、22回の加算で済むことになります。
係数方向と並目にて簡単化を行ふことを可能にします。さく各係数値を適当な係数の和や差で表すなどの工夫を加えても可能で、例えは、式(4.4-1)では、 γ_{li}^R 及び γ_{li}^I に現れる数値は、 $\pm\sqrt{4}$ の定数を除くと、1, $\sqrt{2}$, $1/3$, 及び

(図4.7) マトリクス回路の簡略化(1)

使って表すことか

出来、これを利用すと、(図4.8)

のように構成され

て、以下を得て12.

$\frac{1}{4} \operatorname{Re}\{G(\omega_i)\}$,

$\frac{1}{4} \operatorname{Im}\{G(\omega_i)\}$ を

用ひるごとに方

は、マトリクス

回路とは、

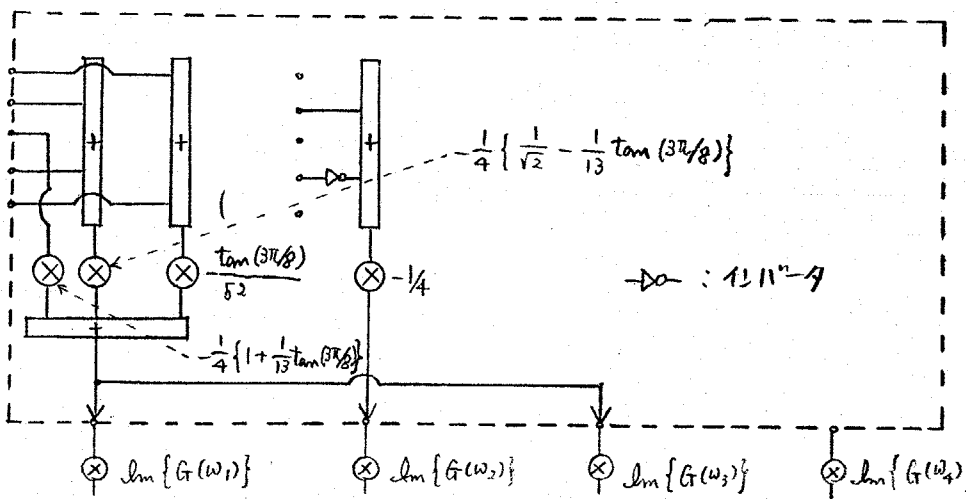
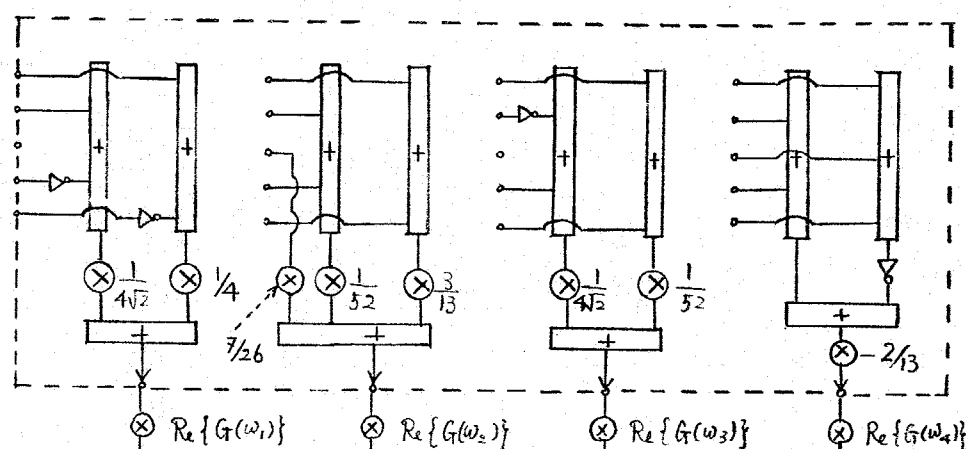
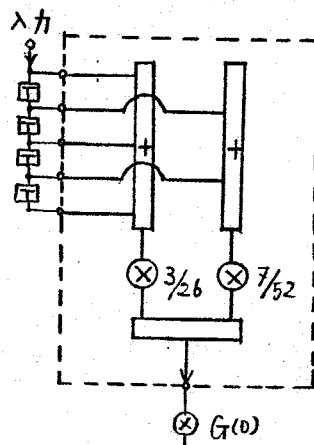
7回の計算と、

15回の加算で

実現されることは

です。

以上は、ほ



(図4.8) マトリクス回路の簡単化(2)

$$\gamma_{l0} = \frac{1}{4} \begin{bmatrix} 6/13 \\ 7/13 \\ 6/13 \\ 7/13 \\ 6/13 \end{bmatrix}$$

(l=1~5)

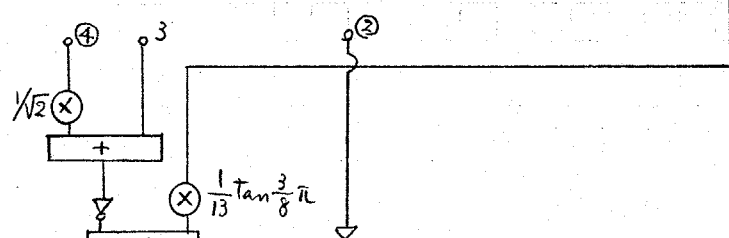
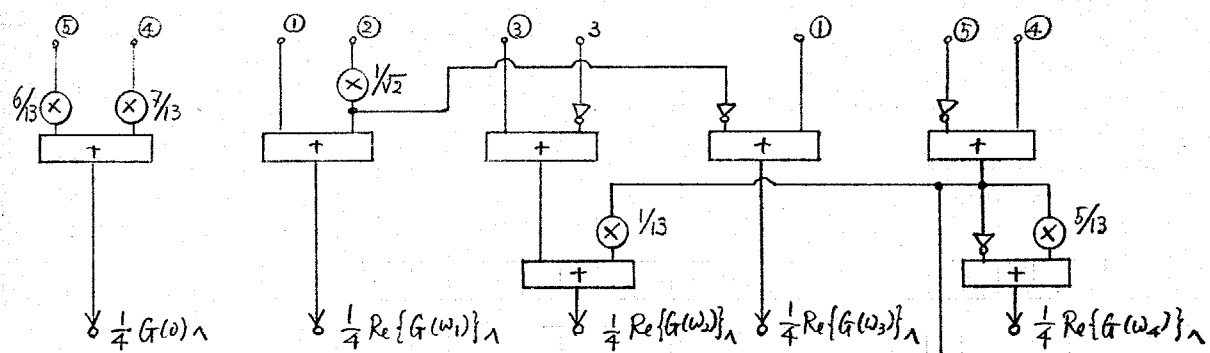
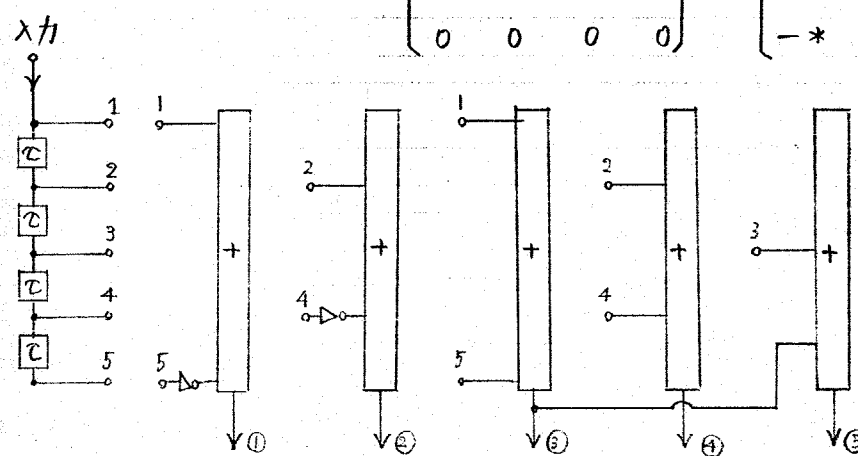
$$\gamma_{ll}^R = \frac{1}{4} \begin{bmatrix} 1 & 1 & 1 & 1 \\ 1/\sqrt{2} & 0 & -1/\sqrt{2} & -1 \\ 0 & -1 & 0 & 1 \\ -1/\sqrt{2} & 0 & 1/\sqrt{2} & -1 \\ -1 & 1 & -1 & 1 \end{bmatrix}$$

(l=1~5)
(n=1~4)

$$\begin{bmatrix} 0 & -1/3 & 0 & -5/13 \\ 0 & 1/3 & 0 & 5/13 \\ 0 & -1/3 & 0 & -5/13 \\ 0 & 1/3 & 0 & 5/13 \\ 0 & -1/3 & 0 & -5/13 \end{bmatrix}$$

$$\gamma_{li}^I = -\frac{1}{4} \begin{bmatrix} 0 & 0 & 0 & 0 \\ 1/\sqrt{2} & 1 & \sqrt{2} & 0 \\ 1 & 0 & 1 & 0 \\ \sqrt{2} & -1 & \sqrt{2} & 0 \\ 0 & 0 & 0 & 0 \end{bmatrix} + \frac{1}{4} \begin{bmatrix} -* & 0 & -* & 0 \\ * & 0 & * & 0 \\ -* & 0 & -* & 0 \\ * & 0 & * & 0 \\ -* & 0 & -* & 0 \end{bmatrix}$$

$* = \frac{1}{13} \tan \frac{3}{8}\pi$



$$\begin{aligned} & \frac{1}{4} \text{Im}\{G(\omega_1)\}_1 & \frac{1}{4} \text{Im}\{G(\omega_2)\}_1 & \frac{1}{4} \text{Im}\{G(\omega_3)\}_1 & \frac{1}{4} \text{Im}\{G(\omega_4)\}_1 \\ & \downarrow & \downarrow & \downarrow & \downarrow \end{aligned}$$

人の一段目に過ぎないか、マトリクス回路か、見掛けよりは、比較的簡単に構成されることが多い。ただし、十分である。

又、デジタル回路を用いる場合には、ROMを用いたり⁽²⁴⁾、行加算形構成⁽²⁵⁾などの方法を採用して、マトリクス回路を簡単にすることは可能であるが、これは、深く立ち入らねばとれ。

4.5. π 型等化器との混用

4.2節及4.3節で述べたトランジスターカル型回路の構成方法は、タップ利得が3dBは、タップ利得調整機構の制御入力が、希望特性の分岐値そのものより、可変等化器等との便利な形式と考えられる。そこで、本節では、周波数領域2の π 型等化器との混用することを考へ、 1° イロット信号と $\cos \omega_i t$ （ ω_i は $\sin \omega_i t$ ）を用いた場合、希望出力 $Y(\omega)$ に対するトランジスター型回路のタップ 1° 利得（ ω_i はタップ 1° 利得の制御入力） $\operatorname{Re}\{G(\omega_i)\}$ 及 $\operatorname{Im}\{G(\omega_i)\}$ を求めた方法を検討する。

(図4.9)によると、被等化回線の特性を、

$$Z(\omega) = R(\omega) + jS(\omega) \quad (4.5-1)$$

もし、送信端から 1° イロット信号と $\cos \omega_i t$ を送出すれば、受信端で観測される受信信号は、簡単な計算により

$$r(t) = R(\omega_i) \cos \omega_i t - S(\omega_i) \sin \omega_i t \quad (4.5-2)$$

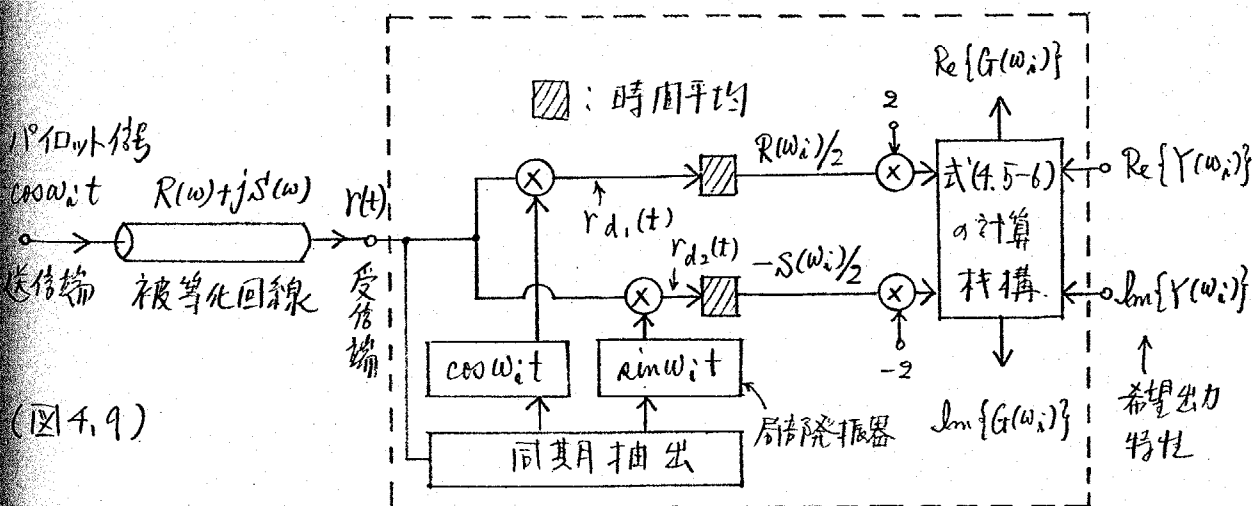
ここで、従って2つめから、 $R(\omega_i)$, $S(\omega_i)$ を得るには、次式は、(4.5-3)の方法がある。

① $r(t)$ を $\cos \omega_i t$ 及 $\sin \omega_i t$ で重積積波(2.平均)す。実際、

$$r_{d1}(t) \triangleq r(t) \cos \omega_i t = \left\{ R(\omega_i)/2 \right\} \{ 1 + \cos 2\omega_i t \} - \left\{ S(\omega_i)/2 \right\} \sin 2\omega_i t \quad (4.5-3)$$

$$r_{d2}(t) \triangleq r(t) \sin \omega_i t = \left\{ R(\omega_i)/2 \right\} \sin 2\omega_i t - \left\{ S(\omega_i)/2 \right\} \{ 1 - \cos 2\omega_i t \}$$

ここで、これらを時間平均すれば



$$\left. \begin{array}{l} \langle r_{d_1}(t) \rangle = R(\omega_i)/2 \\ \langle r_{d_2}(t) \rangle = -S(\omega_i)/2 \end{array} \right\} \quad (4.5-4)$$

が得られる。

② $r(t) \in t = nT_i$ 及び $t = nT_i + T_i/4$ (但し, $T_i \triangleq 2\pi/\omega_i$) の場合

す。実際、

$$\left. \begin{array}{l} r(nT_i) = R(\omega_i) \cdot \cos 2n\pi - S(\omega_i) \sin 2n\pi = R(\omega_i) \\ r(nT_i + T_i/4) = R(\omega_i) \cdot \cos \{2n\pi + \pi/2\} - S(\omega_i) \sin \{2n\pi + \pi/2\} = -S(\omega_i) \end{array} \right\} \quad (4.5-5)$$

が得られる。

こうして、被等化回線の特性 $Z(\omega)$ が分れば、希望出力特性 $Y(\omega)$ は 1.2. トランス II-オール型回路の伝達特性 $G(\omega)$ 及び受け手べき特性は、その比で与えられ、

$$G(\omega) = \frac{Y(\omega)}{Z(\omega)} = \frac{\{Y_R(\omega)R(\omega) + Y_I(\omega)S(\omega)\} + j\{Y_I(\omega)R(\omega) - Y_R(\omega)S(\omega)\}}{R^2(\omega) + S^2(\omega)} \quad (4.5-6)$$

但し、 $Y_R(\omega) \triangleq \text{Re}\{Y(\omega)\}$, $Y_I(\omega) \triangleq \text{Im}\{Y(\omega)\}$

よりから、この実部 $\text{Re}\{G(\omega_i)\}$ 及び虚部 $\text{Im}\{G(\omega_i)\}$ を計算する構造を設け、4.2節及び4.3節で述べたトランス II-オール型回路のタップ利得および、タップ利得調整構造の制御入力をすればよことになる。この場合の構成の框図略を(図4.9)に示しておく。

尚、ハリエット信号は、適当な同期信号を有するものと12つ。

4.6 計算例

本節では、同波形領域の2重誤差評価式による設計方法を規定し、また、伝達関数の近似と、振幅・位相特性の近似との関係について、簡単に考察し、(1)、(2)、(3)タワースフィルタを、分立総和型2重誤差評価式との近似に問題の計算データを示し、その上、(1) 分支数は、タップ数のは2倍とする十分であることを、(2)タワースフィルタの次数とそれを近似するのに必要なタップ数との関係、及び、単位回路の最適な時延時間などについて述べる。又、重み関数の影響を示す例も示す。

(1) 伝達関数の近似と振幅、位相特性の近似との関係。

本章2回(2)の2重誤差評価式は、伝達関数そのものを対象としており、通常よく取り扱われる振幅特性、位相特性といったものを直接扱っていません。そのため、次式とも表されますが、伝達関数に施す2重誤差を対象振幅特性と位相特性を用いて表します。

$$W(\omega) \cdot |G(\omega) - F(\omega)|^2 = 4 e^{\alpha_W + \alpha_G + \alpha_F} \left\{ \sinh^2 \frac{\alpha_G - \alpha_F}{2} + \sin^2 \frac{\theta_G - \theta_F}{2} \right\} \quad (4.6-1)$$

但し、
 $\begin{cases} W(\omega) \triangleq e^{\alpha_W} & : \text{重み関数} \\ G(\omega) \triangleq e^{\alpha_G - j\theta_G} & : \text{希望伝達関数} \\ F(\omega) \triangleq e^{\alpha_F - j\theta_F} & : \text{トランスルーパル型回路の伝達関数} \end{cases}$

となります。従って、比較的近似がよくなります。 $\alpha_G \approx \alpha_F$, $\theta_G \approx \theta_F$ となるときには、式(4.6-1)は近似的です。

$$W(\omega) \cdot |G(\omega) - F(\omega)|^2 \approx e^{\alpha_W + \alpha_G + \alpha_F} \{ (\alpha_G - \alpha_F)^2 + (\theta_G - \theta_F)^2 \} \quad (4.6-2)$$

となり、 $\alpha_W(\omega) \approx 0$ となる。

$$\alpha_W(\omega) \approx -2\alpha_G(\omega) \quad (4.6-3)$$

これをみてみると、対象振幅と位相特性の2重誤差の和を評価していることになります。一方、 $\alpha_W(\omega)$ を一定に選んでおくと、 $\alpha_G(\omega)$ の大きさは、重みが小さくなることになり、対象振幅及び位相特性に寄与は、その値($\alpha_G(\omega)$ の大きさ)の近似度が比較的悪くなることが予想されます。

(ii) 計算データ.

ここでは、バタワースフィルタを分次統和型2乗誤差を評価式とし、最小2乗近似にて計算例を示し、並んで分次統和型2乗誤差の特徴及び、トランスバタワースフィルタ型回路の近似特性についても図示する。

使用するトランスバタワースフィルタ型回路は、最も基本的なものとし、理想遮断線を用いて通常型のものを仮定する。即ちトランスバタワースフィルタ型回路の伝達関数を

$$F(w) \triangleq \sum_{k=1}^N C_k e^{-j(k-1)w} \quad (4.6-4)$$

とする。又、近似の対象とする周波数帯域を(図4.10)に示すように $(-\pi, \pi)$ とおく。之に希望特性をカットオフ周波数 $\omega_c = 1$ のバタワースフィルタ $B_m(j\omega)$ とする。即ち、

$$G(w) = B_m(j\omega) \quad |B_m(j\omega)| = 1/\sqrt{1+w^{2m}} \quad (4.6-5)$$

又、ここは、便宜上、分次統和型2乗誤差を、

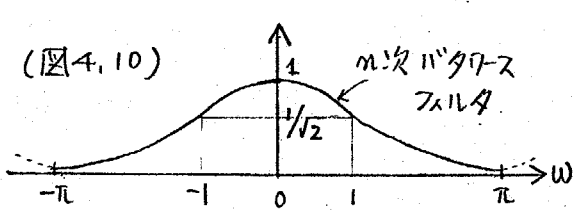
$$\varepsilon = \frac{1}{2M+1} \sum_{i=-M}^M W(\omega_i) |G(\omega_i) e^{j\omega_i \cdot T_{an}} - F(\omega_i)|^2 \quad (4.6-6)$$

と定義しておく。式(4.6-6)は、式(4.2-2)と本質的に変りないが、 $e^{j\omega \cdot T_{an}}$ は、トランスバタワースフィルタ型回路の入力に対し、出力の時間原点を T_{an} とするとき意味し、有限の時間遅れを問題となる場合には、必ずしも $T_{an} = 0$ である必要はない、 T_{an} を適当に選んで、近似誤差を小さくすることが望ましい。又、分差は、等間隔である。即ち、

$$\omega_i = -\omega_{-i} = i\pi/M \quad (i=0 \sim M) \quad (4.6-7)$$

次に、各種の計算例を示すが、式(4.6-6)の ε を最小とする $F(w)$ を $F_{opt}(w)$ とし、又、このときの分次統和型最小2乗誤差を ε_{min} と記す。さらに、分次統和型2乗誤差の性質を図4-2に、積分型2乗誤差と比較する。即ち、式(4.6-6)の ε を最小とする $F_{opt}(w)$ に対する ε_{min}

$$\varepsilon_{min} \triangleq (1/2\pi) \int_{-\pi}^{\pi} W(w) |G(w) e^{jw \cdot T_{an}} - F_{opt}(w)|^2 dw \quad (4.6-8)$$



を完義しておく。

以下、幾つかの計算例についてまとめておく。

① タップ^θ数 (N) と分査数 (2M+1) の関係 ((図4.11))

(図4.11)(a) から (図4.11)(d) まで、1次、3次、5次のバタワース・フィルタを希望特性とし、決してタップ^θ数 (N) に対して M と表したときの ϵ_{min} 及び ϵ_{ms} の計算結果を示している。図中、M=∞ で示されたものは、積分型 2乗誤差。

$$\epsilon' \triangleq \frac{1}{2\pi} \int_{-\pi}^{\pi} |W(\omega)| |G(\omega) e^{j\omega T_m} - F(\omega)|^2 d\omega \quad (4.6-9)$$

を最小とする設計により得られる最小近似誤差を表している。式(4.6-6)のとくに、計算の容易さと云う点から、式(4.6-9)の ϵ' の代りに用いらるべきものと考へられ、この点を考慮して、(図4.11)の結果をみると、分査数 (2M+1) は、タップ^θ数 (N) の 2 倍を下回すよりかかる。即ち、M ≈ N の場合に比べて、M > N の場合、 ϵ_{ms} の改善度は比較的小さい。

このことから、以下の計算例では、M=N-1 とさせておこう。

② タップ^θ数と最小近似誤差の関係 ((図4.12))

(図4.12) は、1次、3次、5次のバタワース・フィルタを希望特性としたときのタップ^θ数と最小近似誤差の関係を示している。タップ^θ数を 8 以上増やすと、最小近似誤差の改善度が顕著である。又 ϵ_{ms} は、平均 2乗誤差が 10^{-4} 以下になると ^(*) という目安である。必ずタップ^θ数を決めることにするか、バタワース・フィルタの次数に対する、その 3 倍から 4 倍のタップ^θ数を用いるよ」と云ふとか。(図4.12) から、得られる。

③ 単位回路の遅延時間 C と最小近似誤差の関係 ((図4.13))

(図4.13)(a) から (図4.13)(c) まで、1次、3次、5次のバタワース・フィルタを希望特性とし、タップ^θ数 N を 5, 9, 15 として場合の単位回路の遅延時間 C と、最小近似誤差の関係を示している。但し、相似の対象とする周波数帯域は $(-\pi, \pi)$ で変りはない。各場合に応じて最適な遅延時間 C が存在するが、(図4.13)(c) の 5 次バタワース・フィルタを近似する場合には、C=1 がいい。

(*) ナイキストレットの符号開干涉が、1/4 未満ではあることに何の相違し、この程度の誤差を抑えるのが一般的のようである。⁽²²⁾

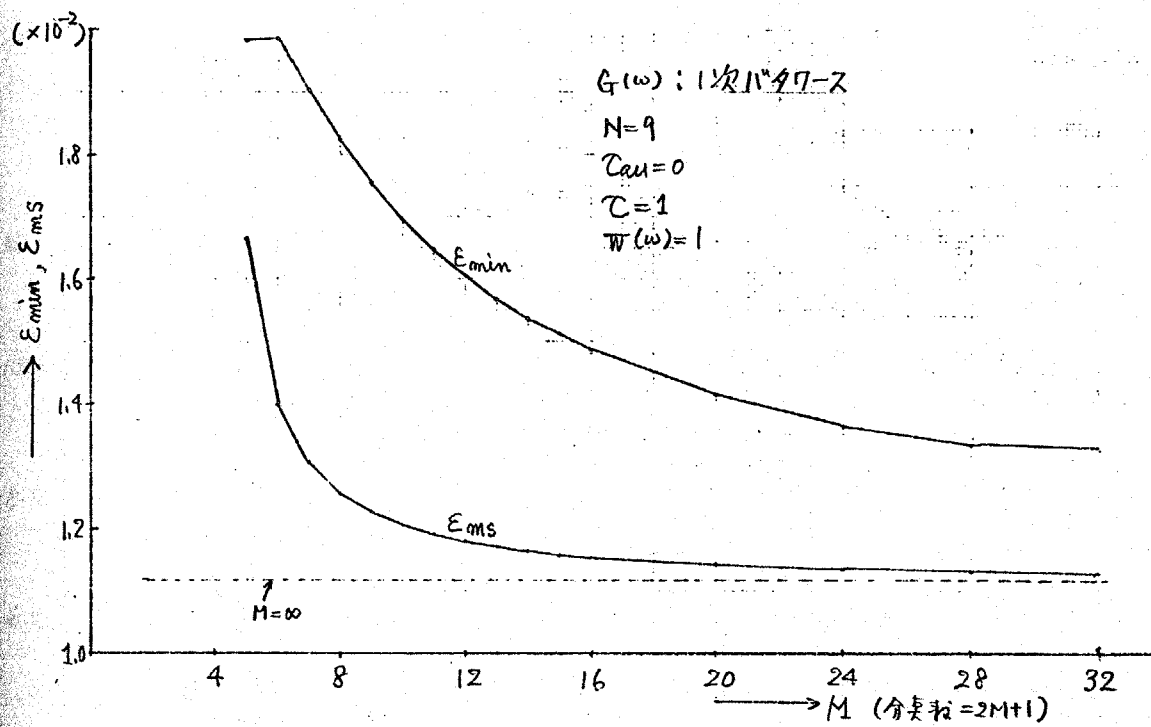
す 最適であるのに對し、1次及ぶ3次ハタワース・フィルタを近似する場合
は、 \bar{C} の最適値は、タップ数 N に依存し、一般に、タップ数 N が大きくなるに従い、最適な遅延時間 \bar{C} の値は、小さくなる。これと並んで、単位回路の遅延時間を最適な値にすることにより、最小近似誤差を相当改善することが出来ると、第2章 2.3節で述べたように $\bar{C} < 1$ の場合には、タップ利得が大きくなることが起り得る⁽²⁾、そのため注意を要する。

④ 出力の時間原点 C_{an} と最小近似誤差の関係 (図4.14)

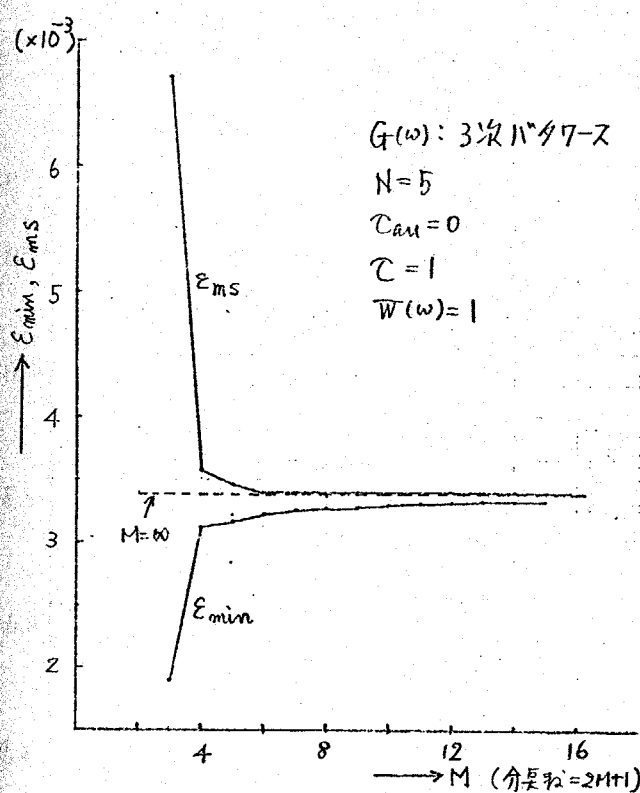
(図4.14)(a) から (図4.14)(c) に 1 次、3 次、5 次 ハタワース・フィルタを希望特性とし、タップ数 N を 5, 9, 15 とした場合の C_{an} の選び方と最小近似誤差の関係を示している。 C_{an} の選び方により、最小近似誤差が相当改善される場合があることが分かる。この C_{an} を根拠的にお求めた方法が提案された⁽²³⁾が、あくまでも、どのような最適値が得られるか⁽²⁴⁾、一般には、不完全のようである。正確により実際の計算を行ふことが必要と思われる。

⑤ 近似特性の例 (図4.15)

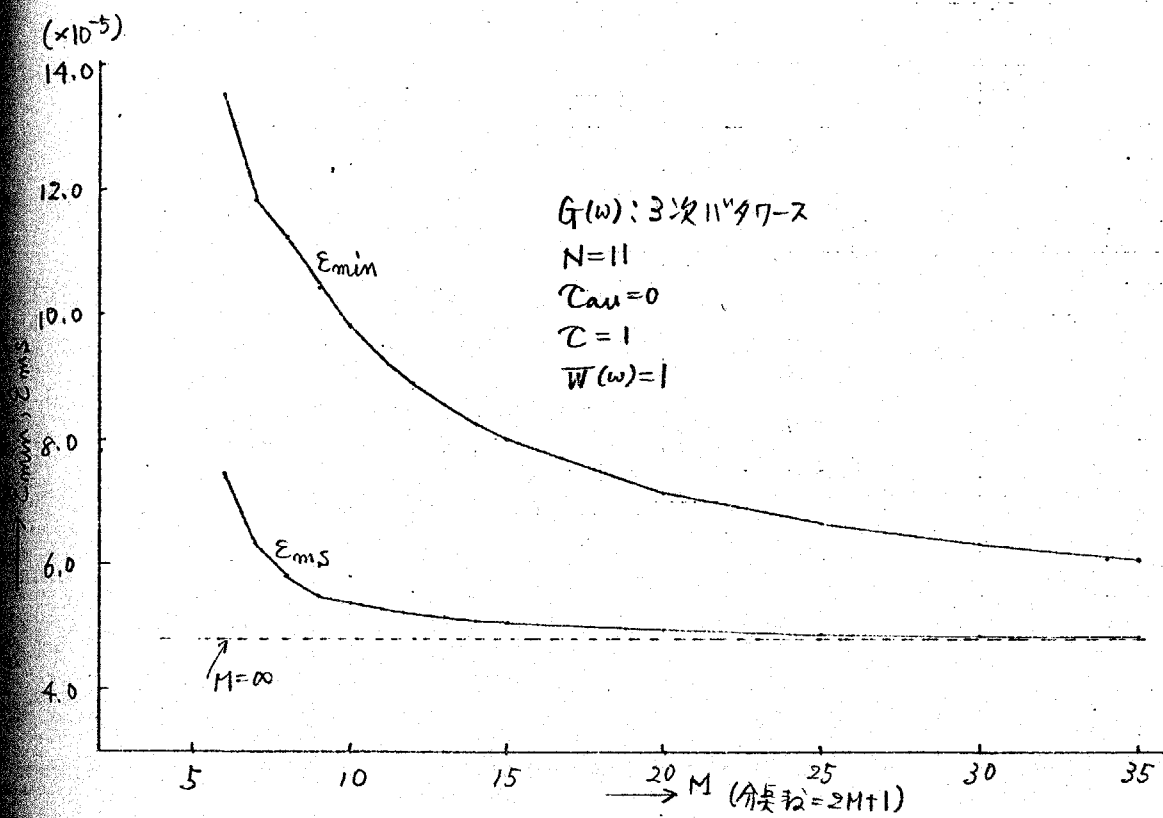
(図4.15)(a) から (図4.15)(c) に 5 次ハタワース・フィルタを希望特性とし、タップ数 N を ② に従って、次の 3 倍の 15 とした場合の近似特性を示す。
(図4.15)(a) は、 $C_{an} = 0$, $W(\omega) = 1$ の場合であり、阻止帯域での位相特性の近似度がやや悪くなる⁽²⁵⁾。(図4.15)(b) は、 $C_{an} = 0$, $W(\omega) = \sqrt{1 + \omega^{10}}$
 $= 1/|B_5(j\omega)|$ とした場合の例⁽²⁶⁾であり、(図4.15)(a) の場合に対し、阻止帯域での位相特性の近似度は良くなる⁽²⁷⁾。通過帯域内では、多少低中周特性的近似度が劣化する⁽²⁸⁾。(図4.15)(c) は、④ で示した (図4.14)
(c) から、 C_{an} を 12、最適値 $C_{an} = 1.340$ を選び、 $W(\omega) = 1$ と 12、近似度が最も良い⁽²⁹⁾。相当よい近似特性が得られており、 $\delta_{ms} \leq 2.6744 \times 10^{-5}$ である⁽³⁰⁾。(図4.15)(a) の場合に比べ、1 行大きくなる⁽³¹⁾。



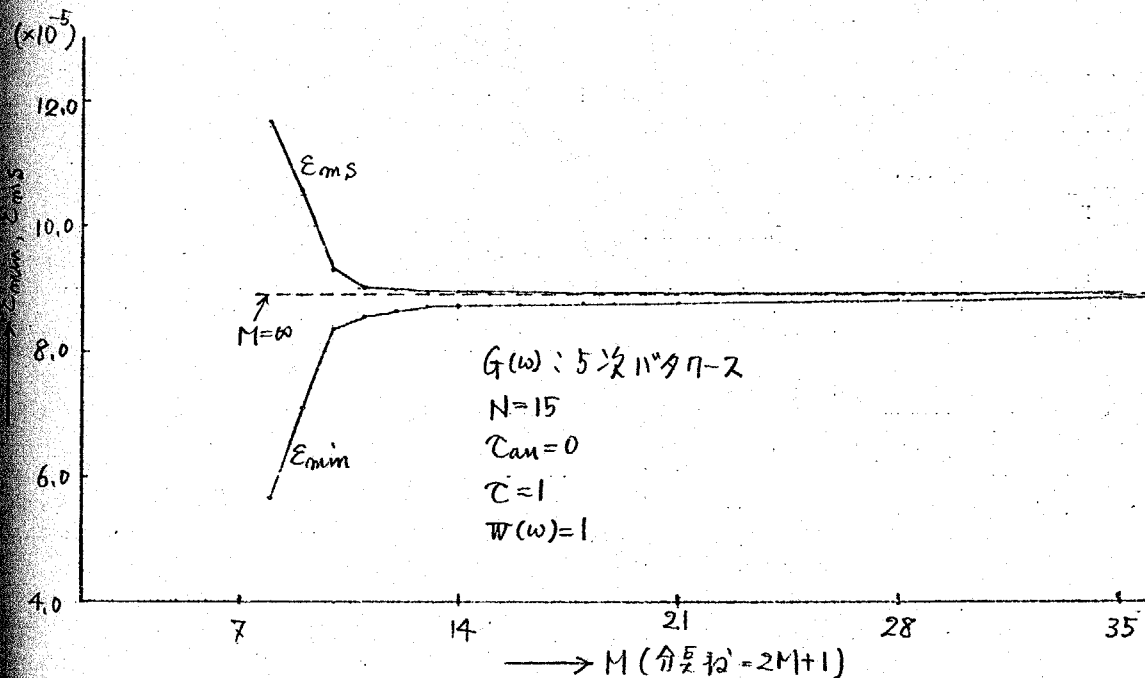
(図4.11)(a)



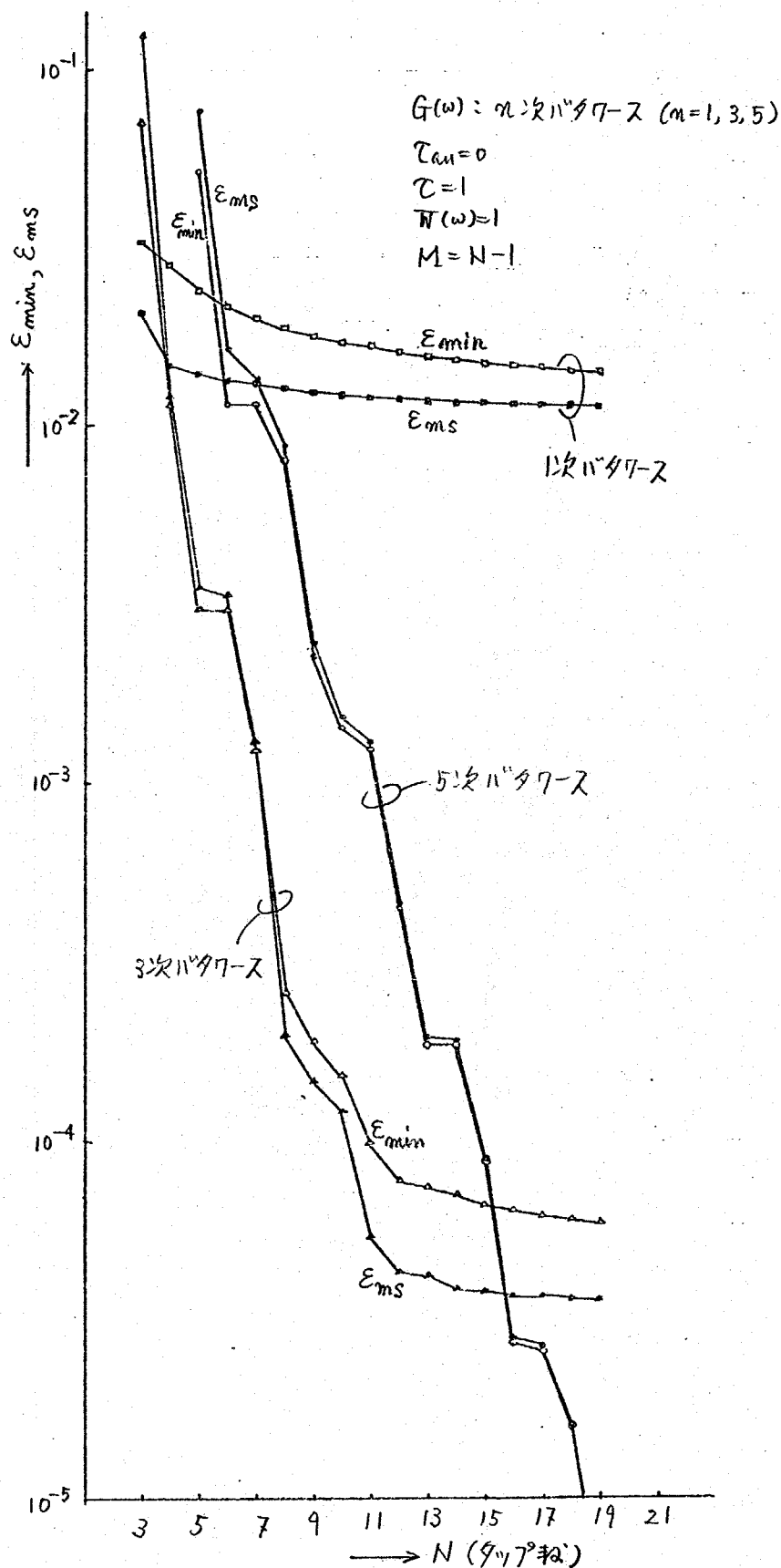
(図4.11)(b)



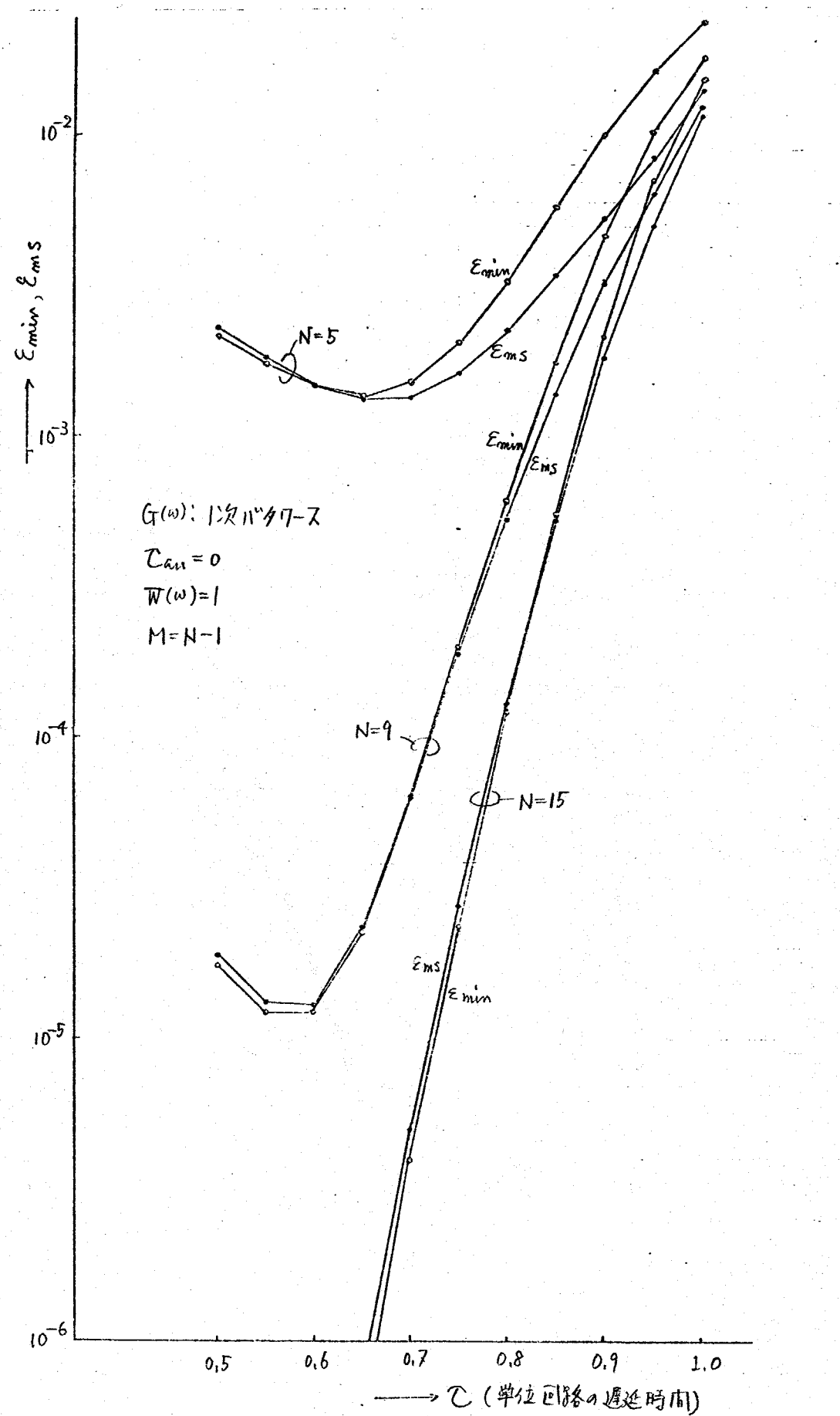
(図4.11)(c)



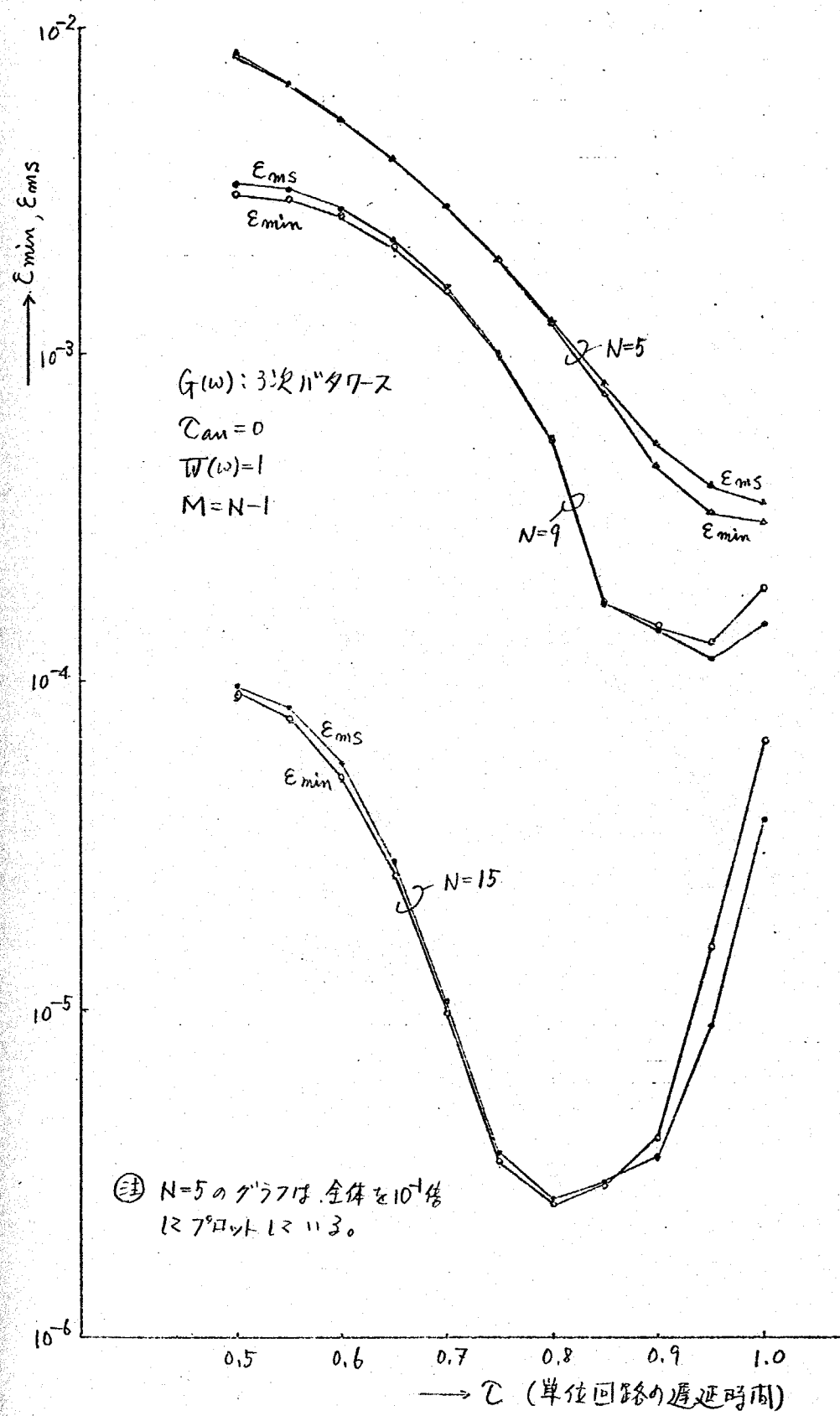
(図4.11)(d)



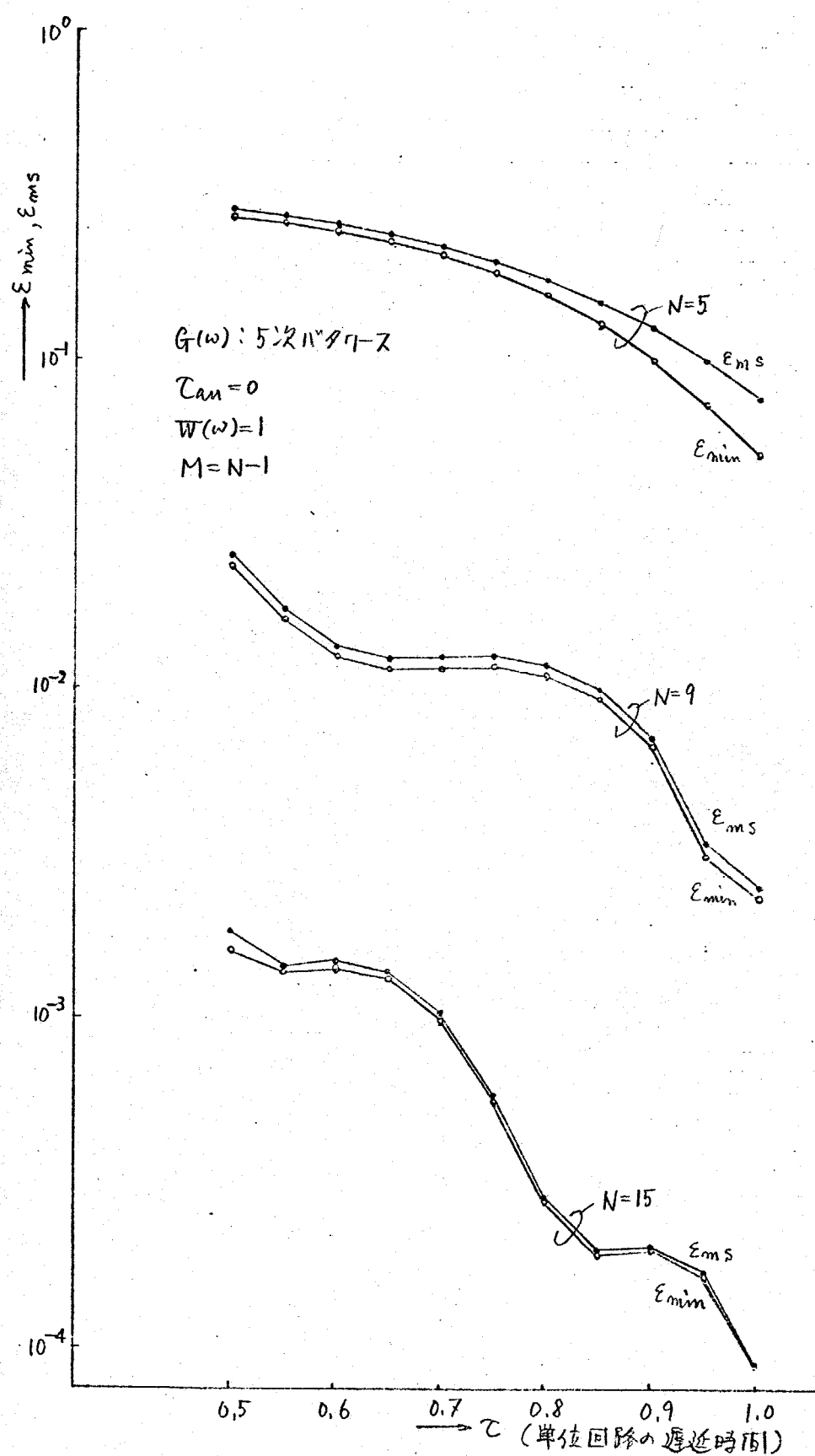
(4.12)



(図 4.13)(a)

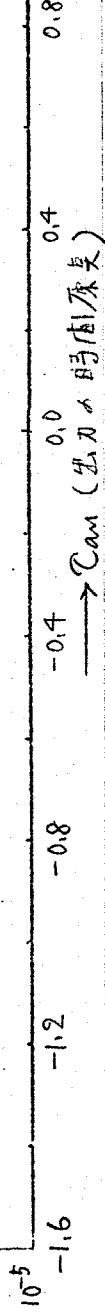


(図4.13)(b)



(図4.13) (c)

(IV.14)(a)

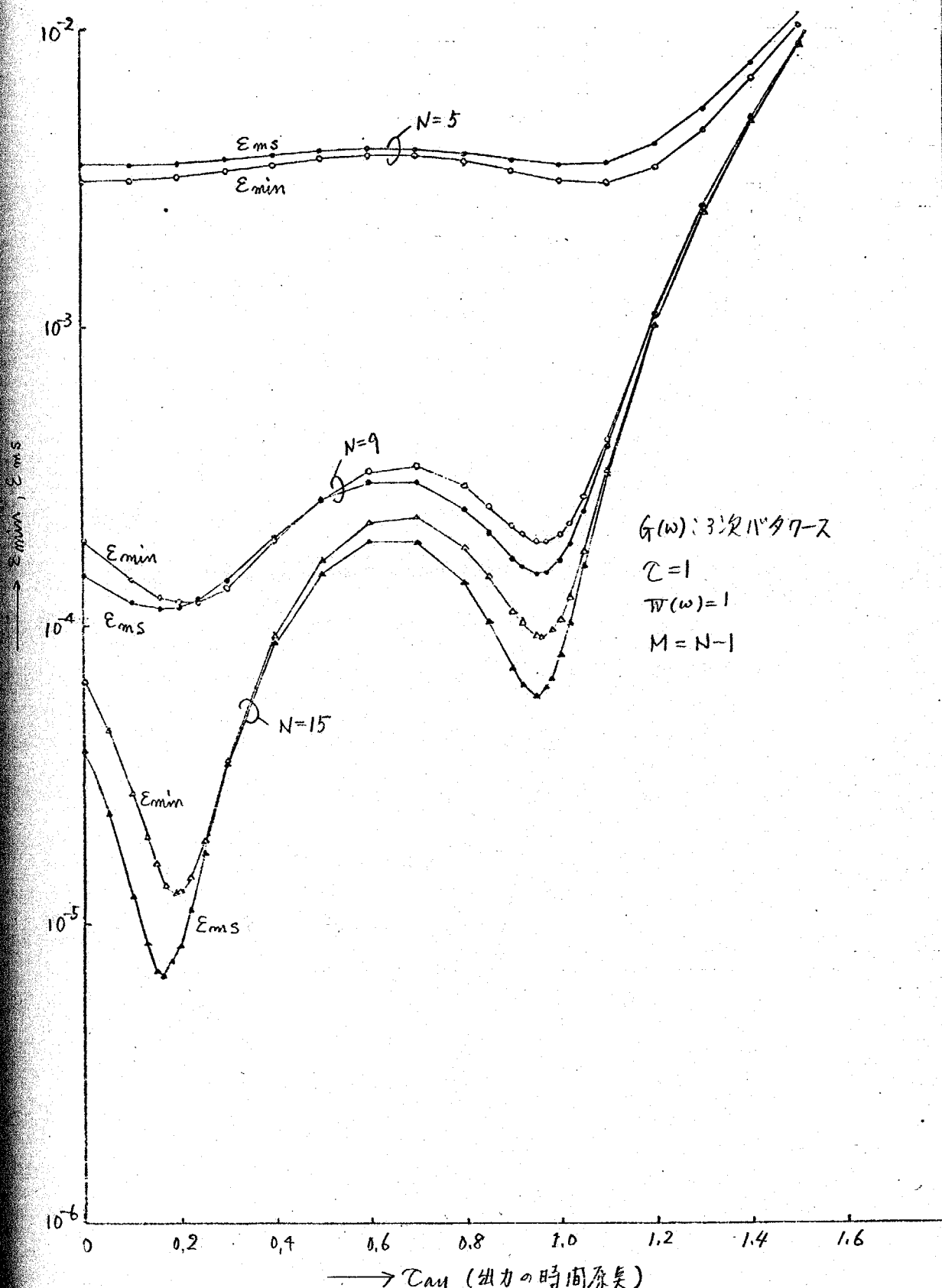
 $G(w) : 1/\omega^2$

$C = 1$

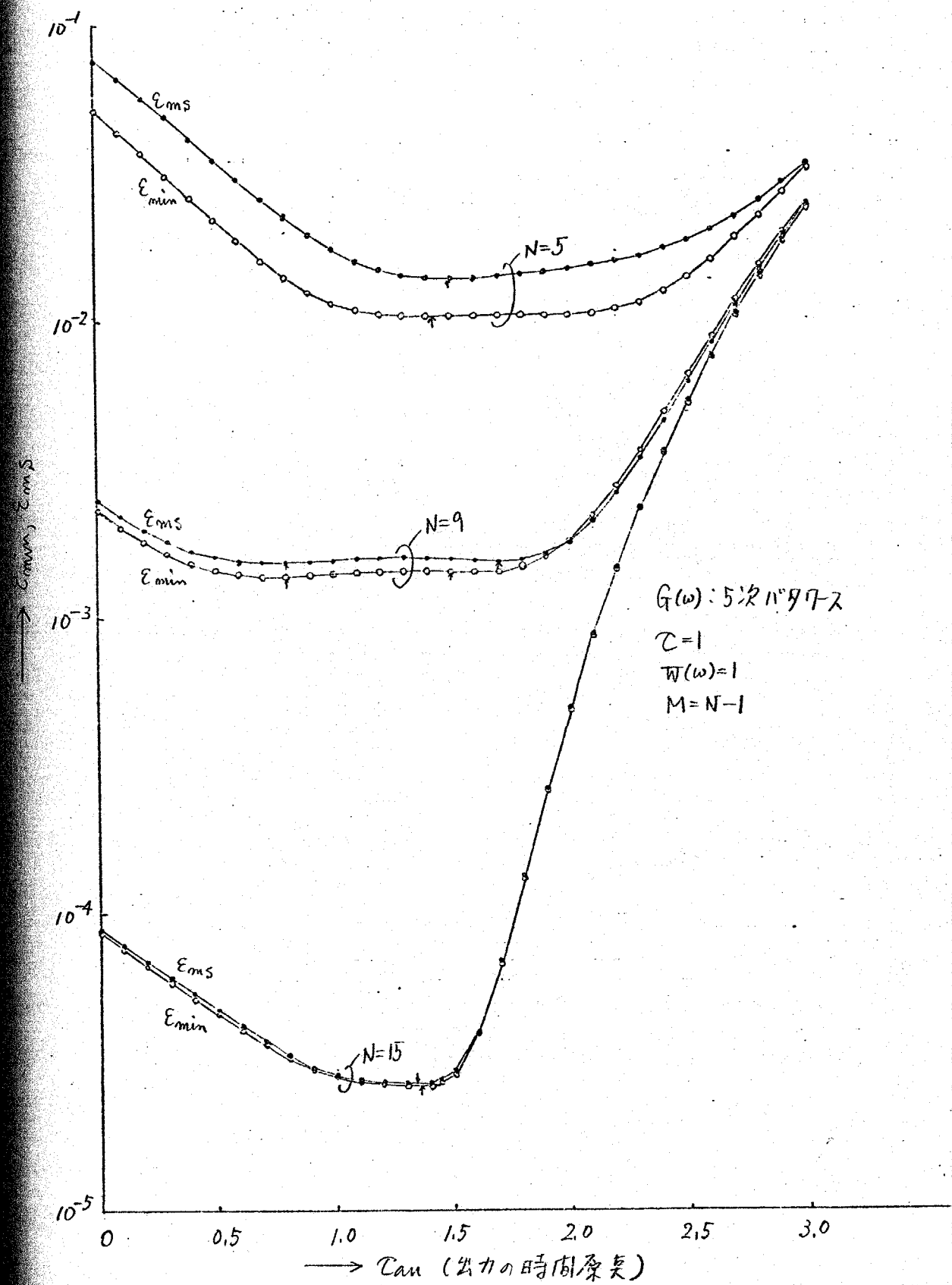
$W(w) = 1$

$M = N - 1$

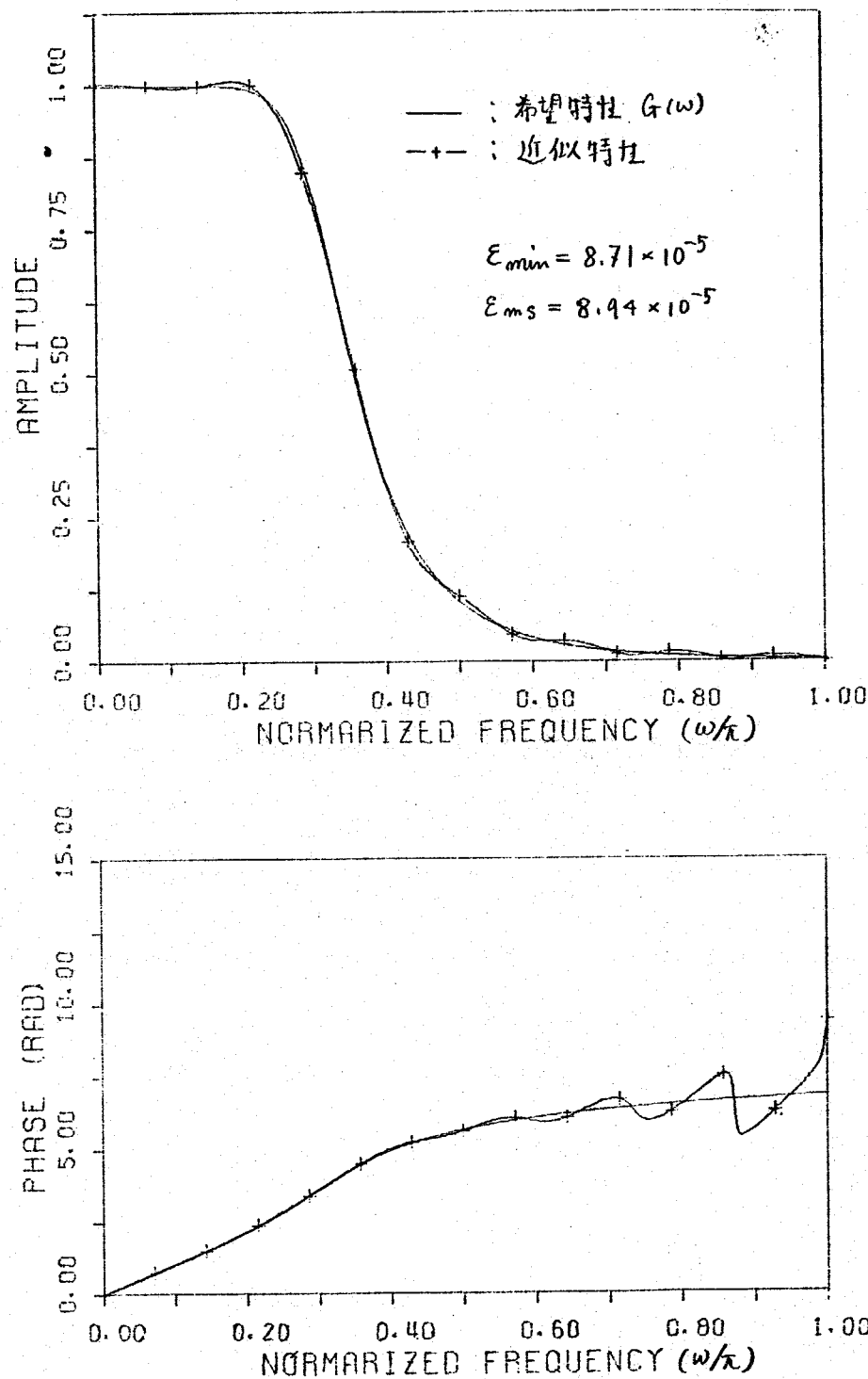
 $\rightarrow C_m (\text{ガルスの関数})$ $0.4 \quad 0.0 \quad -0.4 \quad -0.8$ 0.8



(図4.14)(b)



(図4.14)(c)



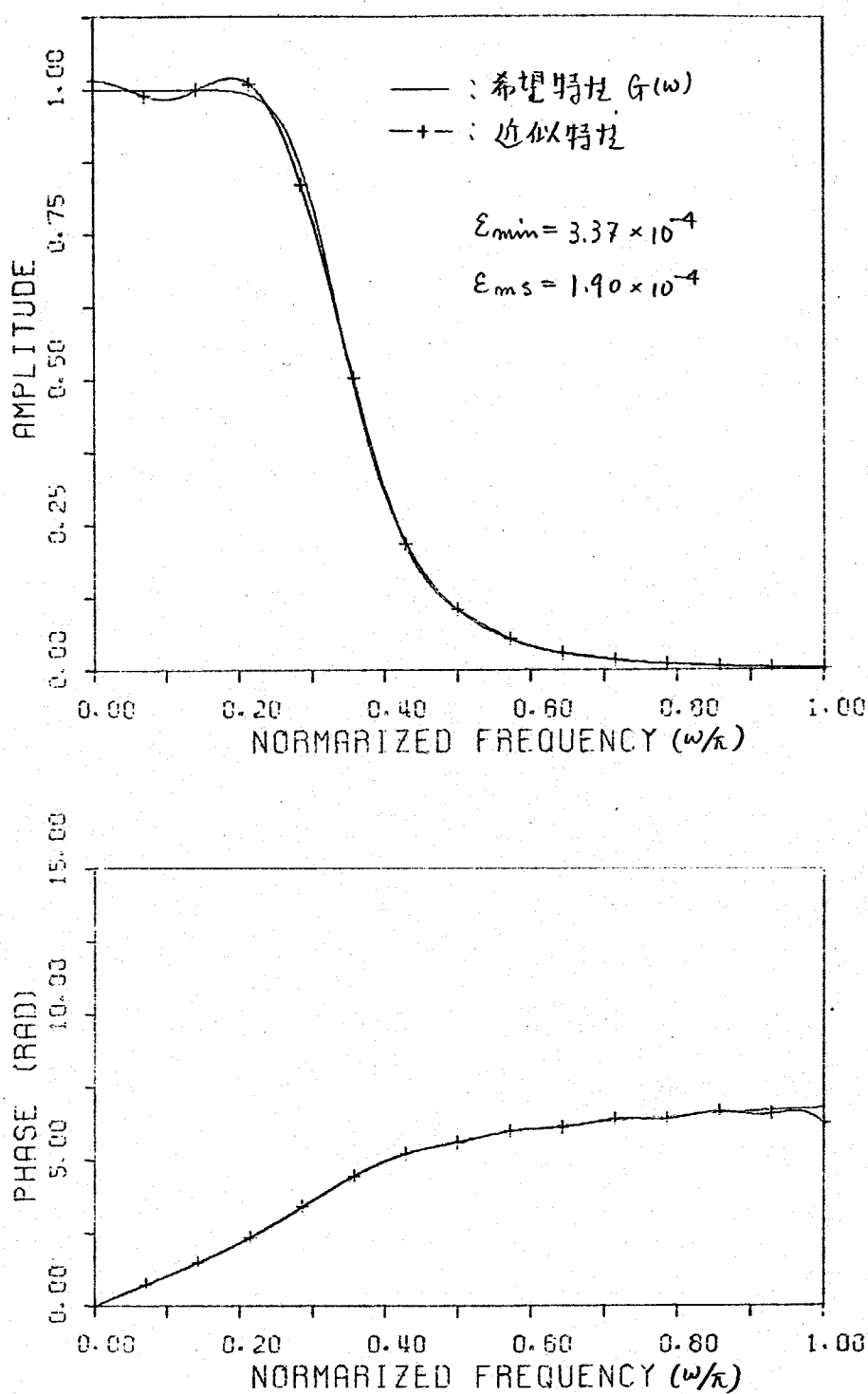
(図4.15)(a) $G(\omega) : 5 \times 10^{-7} - 2$

$$\mathcal{T}_{\text{an}} = 0$$

$$\mathcal{T} = 1$$

$$W(\omega) = 1$$

$$N = 15, M = 14$$



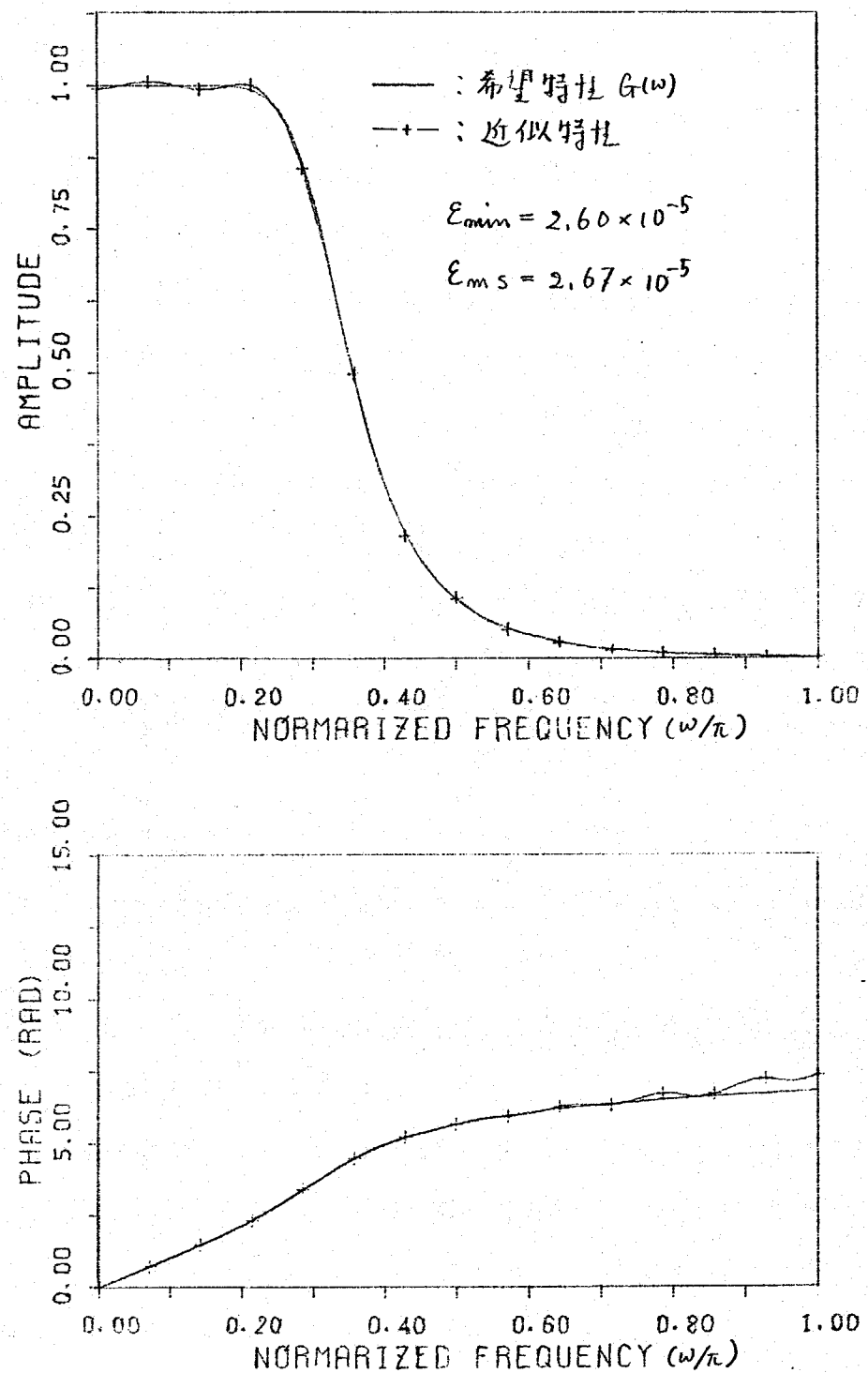
(図4.15)(b) $G(\omega)$: 5次ルターン-2

$$\mathcal{T}_{\text{an}} = 0$$

$$C = 1$$

$$W(\omega) = \sqrt{1 + \omega^{2N}}$$

$$N = 15, M = 14$$

(図 4.15)(c) $G(\omega)$: 5 次 ハタケス

$$C_{an} = 1.340$$

$$C = 1$$

$$W(\omega) = 1$$

$$N = 15, M = 14$$

4.7 まとめ

本章では、タップ⁰および分岐⁰が決まれば、分岐一級型の設計方法に対し、分岐の数が任意に多く取れる。分岐統和型⁰を誤差評価式と用い、しかもタップ⁰利得、エコノミー⁰タップ⁰利得制御入力が、希望特性の分岐値のものと⁰を定められる。分岐統和型⁰を誤差最小、トランジistor型回路の構成方法を周波数領域の近似の場合と時間領域の近似の場合について示す。又、そのとき、必要となるマトリクス回路の簡略化を例により示す。さらに、本章で示した構成方法が、可変等化器⁰、便利な形式⁰であることを注目し、 π^0 イロット信号との、 $\cos \omega_n t$ を用いた⁰リセット型等化器との組合せについて考察する。最後に、バタワース・スルタを希望され⁰して近似して場合の計算データにより、分岐統和型⁰を誤差の特徴を調べ、タップ⁰および分岐⁰の適当な関係、適当なタップ⁰の値、単位回路の最適な遅延時間、重み関数の影響等についてもあわせて設計指針を示す。

残された問題点としては、

- i) 4.4節⁰述べたマトリクス回路の簡略化に対し、さらに系統的検討を加えうこと。
- ii) 4.5節③、④⁰述べた単位回路の最適遅延時間、及ぶ最適な出力時間分岐の決定法を確立すること。
- iii) 4.2節⁰あるいは、4.3節⁰示した構成方法によるトランジistor型回路を伝達関数のシミュレータと⁰用ひることから考へられか、その可能性の検討及び他の方法（例えば、FFTなど）との比較検討を行うこと。
- iv) 振幅等化器⁰は、位相及ぶ遅延等化器⁰と用ひて場合のデータの積み上げ等による実際的検討が、いか⁰うか。

第5章 トランジistor型回路の偏差解析

5.1 はじめに

現在、各種通信路の走を等化する目的で、トランジistor型回路が広く利用されていよいよである。その特徴には、非常に厳しい精度が要求される。回路パラメータの微小な偏差による特性のずれも無視出来ない時代、2113。従来のタップ付遅延線等を用いて通常の固定等化器における、偏差の影響加算問題となるのは、云うまでもないが、最近注目を浴びてゐる電荷転送素子を用いてトランジistor型回路である。一種の電子偏差を1つ扱うことか、可能と見らる。電荷転送損失などが大きいためと題され、⁽²⁷⁾ 2つある。⁽²⁸⁾ さらに、ある種のパラメータの偏差は、等化を行なう帯域⁽²⁹⁾、トランジistor型回路が才を具備すべき、実現率の完全性を損なうと考へられ⁽¹⁶⁾⁽²⁹⁾、ノット利得の調整⁽²⁹⁾は補償出来ないと言ふことが起り、偏差解析をしなくてはならぬ意味を持つこととなる。又、通信上の問題⁽²⁹⁾はタイミングの位相ずれなど、入力端と挿入した遅延素子⁽²⁹⁾との位相ずれが出来ると考へられ、偏差解析がものさす応用面を持つこととなる。

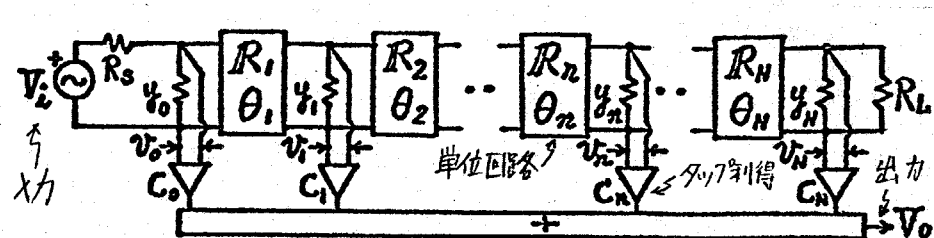
以上のようすを背景から、本章では、トランジistor型回路の各種パラメータの偏差⁽²⁹⁾、その特徴と与える影響と一次近似によく調べてみる。まず、5.2節⁽²⁹⁾は、本章⁽²⁹⁾扱うトランジistor型回路の構成と、偏差の生じる回路パラメータについて説明⁽²⁹⁾。次に、5.3節⁽²⁹⁾は、基本的方特性⁽²⁹⁾と伝達関数への影響と一次近似による調べ、その主要な特徴を述べ⁽²⁹⁾。5.4節⁽²⁹⁾は、5.3節の結果を振幅及び位相特性への影響として形に書き出し、計算例を付けて、一次近似による式が、使用に耐えうることを示して⁽²⁹⁾。5.5節⁽²⁹⁾は、時間領域標本値への影響を、標本誤差⁽²⁹⁾と評価する⁽²⁹⁾。その一次近似による式を導くと共に、例⁽²⁹⁾を示す。偏差の生じるパラメータ及びその位置による影響の特徴を示す。

113。5,6節では、偏差の影響が、 ΔT° 利得の調整によって、測定出力が高めたり、偏差の種類を分類することと提唱している。又、5,7節では、 ΔT° 利得が、統計的平均値をもつて場合の影響と伝達関数の変化分の2乗絶対値の平均で評価することにし、通常型構成によるトランジistor型回路と、総範型構成によるものとの比較を行なってい。

5.2 準備.

本節では、本章、特に5.6節で扱うトランジスタ型回路の構成と、偏差の生じる回路パラメータについて説明し、以下の準備とする。

トランジスタ型
回路の構成と、
カオナリ-般的の因
れだす。PTDの要素



適用例(図5.1) (図5.1) トランジスタ型回路の構成
構成を想定する。

ここで、 R_S, R_L は、始終端抵抗、 $C_0 \sim C_N$ は、タップ利得、 $y_0 \sim y_N$ は、タップ利得を構成する増幅器の入力アドミタンス、 $R_1 \sim R_N$ 及び $\theta_1 \sim \theta_N$ は、単位回路の影像化ヒューリスティクス及び影像伝播定数である。但し、

$$R_n \triangleq (R_m^1, R_m^2) \quad m=1 \sim N \quad (5.2-1)$$

又、正規状態では、整合が取れて、

$$\left. \begin{aligned} R_S &= R_1' = R_1^2 = \cdots = R_m' = R_m^2 = \cdots = R_N' = R_N^2 = R_L \triangleq R \text{ (純抵抗)} \\ \theta_1 &= \theta_2 = \cdots = \theta_N = \theta \text{ (純虚数)} \\ y_0 &= y_1 = \cdots = y_N = 0 \end{aligned} \right\} \quad (5.2-2)$$

が、成立しているものとし、このときの伝達関数を

$$\begin{aligned} F_0(\omega) &\triangleq \sum_{m=0}^N C_m e^{-j\omega\theta} \\ &= 2V_o/V_n \end{aligned} \quad (5.2-3)$$

これが、基準の伝達関数とする。

又、偏差の生じる回路パラメータと
(2) <表5.1> におけるものと若らず
ことにする。但し、(vi)は、単位回路
と(2) 基本定数の全域通過回路
を用いる場合と、1つの単位回路

<表5.1> 偏差の生じる回路パラメータ

A)	(i)	タップ利得 : C_g	
	(ii)	単位	影像伝播定数 : θ_p
B)	(iii)	回路	影像化ヒューリスティクス : R_p
	(iv)	増幅器の入力アドミタンス : y_g	
	(v)	始終端抵抗	: R_s, R_L
	(vi)	単位回路の半次偏差	

A)は、段階の整合条件が崩れる場合。

B)は、" " 崩れる場合。

$$g: 0 \sim N, p: 1 \sim N$$

を構成する インタクタス 及び キャパシタが それそれに 関して 一様の 偏差を持つ場合である。

以下、5.3節から 5.5節までに於ける、表5.1 における 各種回路パラメータの偏差 + 偏差が トランジistor型回路の各種特性に 与える影響を、一次近似により 2.3回へと いくつづけする。表5.2 一次近似による 5.3及び 5.4節の議論に於けるは、同時に 2つ以上の回路パラメータに 偏差が 与じた場合の影響は、単に 各々の場合の 特性への影響の和として 考えられることが 理意である。

又、(5.2)より議論を一般化しても、無意味であるので、表5.1 の(vi)を除き、他の場合には、トランジistor型回路の 単位回路の 影像伝播定数は、

$$\theta_n = j\omega T_n, \quad \theta = j\omega T \quad (T=1) \quad (5.2-4)$$

であるものとする。さらに、煩雑さをさける為、細かい式の説明は、多く省略する。

5.3. 伝達関数への影響.

本節では、〈表5.1〉にみる如く、トランスistor型回路の各種構成パラメータの偏差が、伝達関数に与える影響を、式(5.2-3)の基準特性 $F_0(\omega)$ からのずれとし、一次近似によって調べよう。尚、本節の書き方としては、見易さを考慮し、まず、式との結果を列挙して、その後でまとめ、注釈を加えながら説明を進めていく。式の導出や証明は廻りには、節の最後で簡単に述べることにする。又、本節の結果は、後に続く節の議論の基本となるものである。

まず、 $F(\omega)$ が、偏差の起る場合の伝達関数を表すことに以て、式との結果を示しておく。

(i) タップ利得の偏差 : $C_g \rightarrow C_g + \Delta C_g$

$$\begin{aligned} F(\omega) &= F_0(\omega) + \Delta C_g e^{-j\theta_g \omega} \\ &= F_0(\omega) + (\Delta C_g / C_g) \cdot C_g e^{-j\theta_g \omega} \end{aligned} \quad (5.3-1)$$

(ii) 単位回路の遅延時間の偏差 (影像伝播時間の偏差)

$$\textcircled{1} \quad T_p = 1 \rightarrow 1 + \delta$$

$$F(\omega) = F_0(\omega) - j\delta\omega \sum_{k=p}^N C_k e^{-jk\omega} \quad (5.3-2)$$

$$\textcircled{2} \quad T_p = 1 \rightarrow 1 + \delta \cdot i\omega$$

$$F(\omega) = F_0(\omega) - j\delta\omega^2 \sum_{k=p}^N C_k e^{-jk\omega} \quad (5.3-3)$$

(iii) 影像インピーダンスの偏差 : $R_p = (R, R) \rightarrow (R+r_1, R+r_2)$.

$$F(\omega) = F_0(\omega) + (1/2R) (r_1 e^{j2\omega} - r_2) \sum_{m=0}^{p-1} C_m e^{-j(2p-m)\omega} \quad (5.3-4)$$

$$= F_0(\omega) + j(r/2R) \sin \omega \sum_{m=0}^{p-1} C_m e^{-j(2p-m)\omega} \quad (r_1 = r_2 = r) \quad (5.3-5)$$

(iv) タップ利得を構成する増幅器の入力アドミタンスの偏差 : $y_g = 0 \rightarrow y_g (> 0)$

$$F(\omega) = F_0(\omega) - \frac{y_g \cdot R}{2 + y_g \cdot R} \left\{ \sum_{m=0}^{q-1} C_m e^{-j(2g-n)\omega} + \sum_{n=q}^N C_n e^{-jn\omega} \right\} \quad (5.3-6)$$

但し、 $\theta_g = 0$ の場合、 $\sum_{n=0}^q (\cdot) \equiv 0$ とする。

(v) 始終端抵抗の偏差

$$\textcircled{1} \quad R_s = R \rightarrow R+r$$

$$F(\omega) = F_0(\omega) - \{r/(2R+r)\} \cdot F_0(\omega) \quad (5.3-7)$$

$$\textcircled{2} \quad R_L = R \rightarrow R + r$$

$$F(\omega) = F_0(\omega) + \{r/(2R+r)\} \cdot \sum_{m=0}^N C_m e^{-j(2N-m)\omega} \quad (5.3-8)$$

(vi) 基本定数 多次元全周通過回路 ($e^{-j\theta(\omega)}$) を単位回路に用いた場合。

① p番目の単位回路への半-称損失付加 (即ち、全ての伝達ゲインを α キャリブレート)

$$\text{すなはち } L \rightarrow L(1 + \sigma_e/j\omega), C \rightarrow C(1 + \sigma_c/j\omega)$$

$$\begin{aligned} F(\omega) &= F_0(\omega) + \frac{1}{2} \frac{\sin \theta(\omega)}{\omega} (\sigma_e - \sigma_c) \sum_{m=0}^{p-1} C_m e^{-j(2p-m+1)\theta(\omega)} \\ &\quad - \frac{1}{2} C(\omega) (\sigma_e + \sigma_c) \sum_{m=p}^N C_m e^{-j(m-p)\theta(\omega)} \end{aligned} \quad (5.3-9)$$

但し、

$$C(\omega) \triangleq \partial \theta(\omega) / \partial \omega \quad (5.3-10)$$

又、特に、半-称損失が加わる前の状態で、各単位回路が、近似帯域内 ($|\omega| < \pi$) で n 次の理想遮断線 ($e^{-j\omega}$) を十分よく近似しているとすれば、式 (5.3-9) は、

$$\begin{aligned} F(\omega) &= F_0(\omega) + (1/2) (\sin \omega / \omega) (\sigma_e - \sigma_c) \sum_{m=0}^{p-1} e^{-j(2p-m+1)\omega} \\ &\quad - (1/2) (\sigma_e + \sigma_c) \sum_{m=p}^N C_m e^{-j(m-p)\omega} \end{aligned} \quad (5.3-9')$$

と表される。

② p番目の単位回路の半-称素子偏差 (即ち、全ての伝達ゲインをキャリブレートする) が、 $L \rightarrow L(1 + \delta_e)$, $C \rightarrow C(1 + \delta_c)$ の

$$\begin{aligned} F(\omega) &= F_0(\omega) + (1/2) j \sin \theta(\omega) (\delta_e - \delta_c) \sum_{m=0}^{p-1} C_m e^{-j(2p-m+1)\theta(\omega)} \\ &\quad - (1/2) j \omega \cdot C(\omega) (\delta_e + \delta_c) \sum_{m=p}^N C_m e^{-j(m-p)\theta(\omega)} \end{aligned} \quad (5.3-11)$$

特に、半-称素子偏差の生じる以前の状態で、各単位回路が、近似帯域内に n 次の理想遮断線 ($e^{-j\omega}$) を十分よく近似しているとすれば、式 (5.3-11) は、

$$\begin{aligned} F(\omega) &= F_0(\omega) + (1/2) \sin \omega (\delta_e - \delta_c) \sum_{m=0}^{p-1} C_m e^{-j(2p-m+1)\omega} \\ &\quad - (1/2) j \omega (\delta_e + \delta_c) \sum_{m=p}^N C_m e^{-j(m-p)\omega} \end{aligned} \quad (5.3-11)'$$

となる。

さて、ここで、以上の結果について、多少注意を述べておく。まず「表 5.1」
に示したように、(i), (ii) の場合は、反射相位が整ういかず、(iii) ~ (vi) は、一般

の反射現象が生じる。例えは、(ii) では、偏差の影響とし、 $\sum_{k=p}^N C_n e^{-jk\omega}$ という項がなく、時間領域のインバース・レスポンスを考えると、 $j\delta\omega$ が $j\omega$ と $j\delta\omega^2$ の項を除いて省略され、元々のインバース・レスポンスが、 $t = p \sim N$ の部分で多少変化すと、(iii) では、 $\sum_{n=0}^{N-p} C_n e^{j(2p-n)\omega}$ という反射による分と、 $\sum_{n=p}^N C_n e^{jn\omega}$ という透過量の影響を与える 2つの項が生ずるに至り、時間領域で差違がある。 $G_0(\omega)$ のインバース・レスポンスには省略した部分、 $t = N+1$ 以後にて、反射が生じにくくなることが起る。

又、上の結果から、回路パラメータが、伝達関数とその影響 $\Delta F(\omega) - F_0(\omega)$ の実部及び虚部の和より構成されることが出来る。即ち、(i) では、タップ開端の偏差の大きさと、影響の大きさも決り、そのうちの回路の、偏差を起すタップの位置が完全に決る。(ii) では、偏差による影響の包絡線は $\delta\omega$ であり、それは ω によってずつずれるが、周波数に対する直線性を増大し、特に、近似帯域の末端の部分で大きな影響の理由となることが予想される。(②)の場合は、さらに、2乗で増大する包絡線(1つ)、帯域端部の影響がそのまま大きくなると考えられる。(iii) では、 $r_1 = r_2 = r$ の場合(式(5.3-5))をみると、偏差の影響の包絡線は $\sin\omega$ であり、この場合は、(i) では、近似帯域の中程で、影響が大きくなることになる。尚(iv) では、透過量による影響を表す項 $\sum_{n=p}^N C_n e^{-jn\omega}$ がないが、この場合この項は 2 次微小項となる(2? 清之2-13)ことである。さらに(iv) では、偏差の影響の包絡線は平坦である。v) は、vi) の特別の場合とみなすことができる。vi) の場合には、全体の利得が必ず ω^2 である。(vi) ②の式(5.3-11)' の影響分 $\Delta F = F(\omega) - F_0(\omega)$ は、

$$\Delta F | (\text{半-斜音子偏差}) = \Delta F | (\text{遅延時間 } T_p = 1 \rightarrow 1 + (\delta_e + \delta_c)/2) \\ + \Delta F | (\text{影響-インバース } R_p = R \rightarrow R + iR, \frac{1}{R} = (\delta_e - \delta_c, \delta_e - \delta_c))$$

のような 2つの素子偏差の影響を加えたものに等しい。すなはち、(i) の式(5.3-9)' 及び(5.3-11)' の実線は、

$\Delta F | (\text{半-斜音子偏差}) = j\omega \Delta F | (\text{半-斜音子偏差})$ 、但し、 $\delta_e = \bar{\sigma}_e$, $\delta_c = \bar{\sigma}_c$ である。特に、(vi) では、一様偏差の場合、即ち、 $\sigma_e = \sigma_c$ の場合、 $\delta_e = \delta_c$ の場合(すなはち、式(5.3-9)' (5.3-9)', 式(5.3-11), (5.3-11)' 2), 2項目は、なくなり、反射は

生じる。图(i)～(vi)に图12 偏差影響のうちの回路を示す。一般的な論理では、難いように見えるが、通常、多くのトランジスタ型回路では、中央タップのタップ利得が他の比でかなり大きいのが普通で、そのような場合に主として限定される。(ii)～(vi)に图12でも、偏差の影響のうちには、その様子を知ることができます。即ち、反射を表す項 $\sum_{m=0}^{p-1} C_m e^{-j(2p-n)\omega}$ および透過量に影響する項 $\sum_{m=p}^N C_m e^{-j\omega\theta}$ のいずれも、その大きさは主としてタップ利得が大きいほど大きい。従って、偏差の影響の包絡線が決り、それは、大きな値とタップの位置で決ることになります。

最後に、(i)～(vi)に示した式の導出に图12 多少説明ておく。反射の起因の場合は簡単であるので省略し、代表として、n番目の単位回路に偏差が、图12の場合について述べておく。今、偏差が生じた n番目の単位回路を、(图5.2) に示すように、その回路と偏差分を表す回路の総系統接続として形式的に表してみることにする。图12. 偏差分を表す回路の散乱行列 (正规化係数 = R) を (A_{ij}) とすると (图5.1) に示した η_m (タップ利得を構成する接続部の入力電圧) は。

$$\begin{aligned}\eta_m &= \eta_m^0 + (1/2) A_{11} e^{-(2p-m)\theta} V_i \quad (m < p) \\ \eta_m &= \eta_m^0 - (1/2) (1-A_{21}) e^{-m\theta} V_i \quad (m \geq p)\end{aligned}\quad \left.\right\} \quad (5.3-12)$$

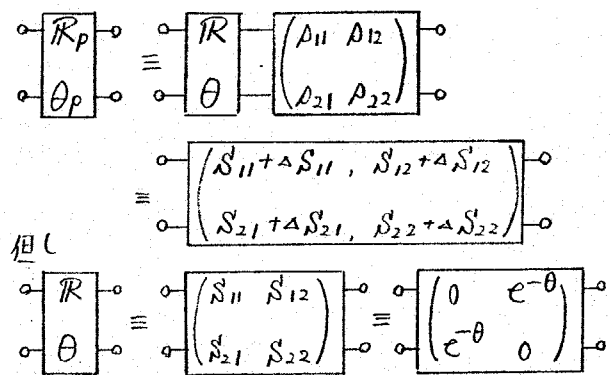
但し、 $\eta_m^0 \equiv (1/2) e^{-m\theta} V_i$ は基準状態の η_m のようになります。結果

$$F(\omega) = F_0(\omega) + A_{11} \sum_{m=0}^{p-1} C_m e^{-(2p-m)\theta} - (1-A_{21}) \sum_{m=p}^N C_m e^{-m\theta} \quad (5.3-13)$$

を得る。証明は簡単である。又、単位回路の散乱行列を (S_{ij}) (正规化係数 = R) とし (图5.2) の下側の表現を用いるは、

$$A_{11} = \Delta S_{11} e^{2\theta}, \quad (1-A_{21}) = \Delta S_{21} e^\theta \quad (5.3-14)$$

の実数部分を立てる。



(图5.2) 偏差分の分解

$$H(\omega) = H_0(\omega) + \Delta S_{11} \sum_{m=0}^{P-1} C_m e^{-(2p-2-m)\theta} + \Delta S_{21} \sum_{n=p}^N e^{-(m-1)\theta} \quad (5.3-13)$$

を得る。式(5.3-13) (5.3-13)' は、近似 X_2' とく成り立つ式 X_2 、本節 (ii) ~ (v) の結果 (7) 式(5.3-13) (5.3-13)' を用いた同様の式における。 A_{11} および ΔS_{11} , 及び A_{21} および ΔS_{21} を求めることによって得られる。

次に、(vi) の場合の式の導出について説明を加えよう。① 半一極損失付加の場合を差し、偏差の生じる前の単位回路の伝達関数を $H(\alpha)$ とする、省略し行列 $S(\alpha)$ は

$$S(\alpha) = \begin{pmatrix} S_{11} & S_{12} \\ S_{21} & S_{22} \end{pmatrix} = \begin{pmatrix} 0 & H(\alpha) \\ H(\alpha) & 0 \end{pmatrix} \quad (5.3-14)$$

∴ 2) 半一極損失が加わった後の省略行列を S^d とすると、 $S^d(\alpha)$ は

$$S^d(\alpha) = \left[D(\alpha) \cdot 1 + S(N(\alpha+\sigma_e)(\alpha+\sigma_c)) \right] \left[1 + D(\alpha) S(N(\alpha+\sigma_e)(\alpha+\sigma_c)) \right] \quad (5.3-15)$$

$$\text{但し, } D(\alpha) \triangleq \frac{\sqrt{\alpha+\sigma_e} + \sqrt{\alpha+\sigma_c}}{\sqrt{\alpha+\sigma_e} - \sqrt{\alpha+\sigma_c}}, \text{ 且つ 2 次単位行列}$$

2) 与えられた $D(\alpha)$ の (44) のように、式(5.3-14)を代入し、 σ_e, σ_c は $1/(2\pi f)$ で表すと、
半1近似を取ると、

$$\left. \begin{aligned} \Delta S_{11}^d &\triangleq \frac{1-H^2(\alpha)}{4\alpha} (\sigma_e-\sigma_c) = S_{11} + \Delta S_{11} \Rightarrow \Delta S_{11} \triangleq \frac{1-H^2(\alpha)}{4\alpha} (\sigma_e-\sigma_c) \\ \Delta S_{21}^d &\triangleq H(\alpha) + \frac{1}{2} H'(\alpha) (\sigma_e+\sigma_c) = S_{21} + \Delta S_{21} \Rightarrow \Delta S_{21} \triangleq \frac{1}{2} H'(\alpha) (\sigma_e+\sigma_c) \end{aligned} \right\} \quad (5.3-16)$$

を得る。但し、 $H'(\alpha) \triangleq \partial H(\alpha)/\partial \alpha$ 。∴ 2) $H(\alpha)$ が 全域通過回路であることを示す。

$$H(j\omega) = e^{-j\theta(\omega)}, \quad C(\omega) \triangleq \partial \theta(\omega)/\partial \omega \quad (5.3-17)$$

とすれば、

$$\left. \begin{aligned} \Delta S_{11} &\triangleq (1/2) (\sin \theta(\omega)/\omega) e^{-j\theta(\omega)} (\sigma_e-\sigma_c) \\ \Delta S_{21} &\triangleq -(1/2) C(\omega) \cdot e^{-j\theta(\omega)} (\sigma_e+\sigma_c) \end{aligned} \right\} \quad (5.3-18)$$

となる。式(5.3-13)' を代入する。式(5.3-9)の結果が得られる。②の半一極
素子偏差の場合を全く同様である。さらにここで述べた方法は、反射現象を
扱えており、2次以上の近似式の場合にも拡張出来るものである。

5.4 振幅及く位相特性への影響

本節では、前節の結果に基づき、トランジスタ二极管型回路の各種構成 $10^3 \times$ 一タ偏差の影響を、振幅及く位相特性に及ぼす影響と見直し、一次近似による式を導くと共に、位相等化器の場合を例にとって計算例を付けて。一次近似による式が十分使用出来ることを確認する。尚、本節の書き込みと12は、まず、多少一般的な場合について考察し、その結果と前節の結果を用いてトランジスタ二极管型回路の各種構成 $10^3 \times$ 一タの偏差が、振幅及く位相特性に与える影響を、表5.1に従って述べ、最後に、計算例及び諸般を加えておこう。

(I) 一般論

この節は、伝達関数とその振幅、位相特性の実験を簡単に述べる。即ち、

$$F_0(\omega) \cong A_0(\omega) \cdot e^{-jB_0(\omega)} \quad (5.4-1)$$

で、

$$F(\omega) = F_0(\omega) + \sum_{i=1}^K \alpha_i(\omega) e^{-j\beta_i(\omega)} \quad (\cong A(\omega) e^{-jB(\omega)}) \quad (5.4-2)$$

に変化した場合、 $F(\omega)$ の振幅 $A(\omega)$ 及び ω 位相 $B(\omega)$ を表す一次近似式を導く。但し、細かい証明は省く。

$$\textcircled{A} \quad A_0(\omega) \gg |\sum_{i=1}^K \alpha_i(\omega) e^{-j\beta_i(\omega)}| \quad \text{とする。}$$

この条件を用いて式(5.4-2)の一次近似式を計算すれば、容易に、

$$A(\omega) \cong |F(\omega)| \cong A_0(\omega) + \sum_{i=1}^K \alpha_i(\omega) \cos\{\beta_0(\omega) - \beta_i(\omega)\} \quad (5.4-3)$$

$$B(\omega) \cong -\arg F(\omega) \cong B_0(\omega) - \left\{ 1/A_0(\omega) \right\} \sum_{i=1}^K \alpha_i(\omega) \sin\{\beta_0(\omega) - \beta_i(\omega)\} \quad (5.4-4)$$

を得る。

$$\textcircled{B} \quad A_0(\omega) \approx |\sum_{i=1}^K \alpha_i(\omega) e^{-j\beta_i(\omega)}| \quad \text{とする。}$$

この場合 \textcircled{A} の程度を小さくするとことは、出力の「 $\pm 2\%$ あるが?

$$\alpha(\omega) e^{-j\beta(\omega)} \cong \sum_{i=1}^K \alpha_i(\omega) e^{-j\beta_i(\omega)}$$

$$= \sqrt{\sum_{i,j=1}^K \alpha_i(\omega) \alpha_j(\omega) \cos\{\beta_i(\omega) - \beta_j(\omega)\}} \exp\left\{-j \tan^{-1} \frac{\sum_{i=1}^K \alpha_i(\omega) \sin\beta_i(\omega)}{\sum_{i=1}^K \alpha_i(\omega) \cos\beta_i(\omega)}\right\} \quad (5.4-5)$$

となると、 $A_0(\omega) \approx \alpha(\omega)$ を用いて、

$$A(\omega) = (1/2) \{ A_0(\omega) + \alpha(\omega) \} \sqrt{2 + 2 \cos \{ B_0(\omega) - \beta(\omega) \}} \quad (5.4-6)$$

$$B(\omega) = \frac{1}{2} \{ B_0(\omega) + \beta(\omega) \} - \tan^{-1} \left\{ \frac{\alpha(\omega) - A_0(\omega)}{\alpha(\omega) + A_0(\omega)} \tan \frac{B_0(\omega) - \beta(\omega)}{2} \right\}$$

$$\doteq \frac{1}{2} \{ B_0(\omega) + \beta(\omega) \} - \frac{\alpha(\omega) - A_0(\omega)}{2 A_0(\omega)} \tan \frac{B_0(\omega) - \beta(\omega)}{2} \quad (5.4-7)$$

を得る。但し、式(5.4-7)を²つ

$$\left| \frac{\alpha(\omega) - A_0(\omega)}{\alpha(\omega) + A_0(\omega)} \tan \frac{B_0(\omega) - \beta(\omega)}{2} \right| \ll 1$$

を仮定^{12) 13) 14)}とす。 $A_0(\omega) \approx \alpha(\omega)$ とするとき、 $B_0(\omega) - \beta(\omega) = m\pi \Rightarrow$ 位相^{2) 15) 16)}が成り立つ。

⑤ $A_0(\omega) \ll |\sum_{i=1}^k \alpha_i(\omega) e^{-j\beta_i(\omega)}|$ のとき、

式(5.4-5)を²つ 定義^{17) 18)} $\alpha(\omega), \beta(\omega)$ を用いよと。

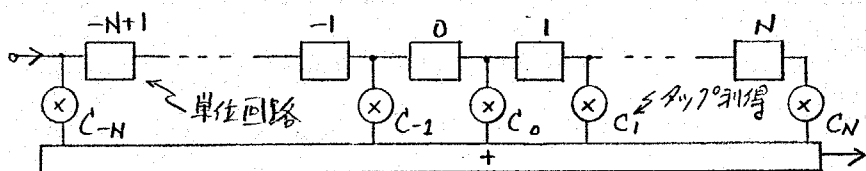
$$A(\omega) \doteq \alpha(\omega) + A_0(\omega) \cos \{ \beta(\omega) - B_0(\omega) \} \quad (5.4-8)$$

$$B(\omega) \doteq \beta(\omega) - \{ A_0(\omega)/\alpha(\omega) \} \sin \{ \beta(\omega) - B_0(\omega) \} \quad (5.4-9)$$

が得られる。

(II) トランジistor型回路の各構成要素の偏差が、振幅及び位相特性に及ぼす影響。

ここでは、第2章
本節(I)の結果を用い



2. <表5.1>によれば 各
種偏差の影響を調べ

(図5.3) 単位回路及びタップ²⁾回路の番号付け。

3. 但し、本節では、単位回路とタップ²⁾回路の番号付けを(図5.3)のように定めた²⁾。注意されたい。又、(I)と同様に、①、②の場合は、式(5.4-5)が簡単になる。しかし、結果が複雑となること、さらに偏差角解析については、 $A_0(\omega) \gg \alpha(\omega)$ の場合が重要となるから、以下では、①の条件が成り立つ場合に限って議論する。これは、多くの帯域内では、位相等化器などの場合の偏差角解析を行うことより、重要な点である。以下に一次近似による結果を列挙しておく。式の導出は、第2章(i)~(vi)

の結果と、本節式(5.4-3),(5.4-4)を組み合せれば、直ちに得られる。左記略記入。

$$\left. \begin{array}{l} A_0(\omega) e^{-jB_0(\omega)} \triangleq H_0(\omega) : \text{偏差前の基準特性} \\ A(\omega) e^{-jB(\omega)} \triangleq H(\omega) : \text{偏差後の特性} \end{array} \right\} \quad (5.4-10)$$

を用いよ。

(i) タイド利得の偏差: $C_g \rightarrow C_g + \Delta C_g$

$$A(\omega) \triangleq A_0(\omega) + \Delta C_g \cos g\omega = A_0(\omega) + (\Delta C_g / C_g) \cdot C_g \cos g\omega \quad (5.4-11)$$

$$B(\omega) \triangleq B_0(\omega) - \{\Delta C_g / A_0(\omega)\} \cdot \sin \{B_0(\omega) - g\omega\}. \quad (5.4-12)$$

(ii) 単位回路の遅延時間の偏差 (影像伝播定数の偏差)

$$\textcircled{1} T_p = 1 \rightarrow 1 + \delta$$

$$A(\omega) \triangleq A_0(\omega) + \delta \omega \sum_{m=p}^N C_m \sin \{B_0(\omega) - m\omega\} \quad (5.4-13)$$

$$B(\omega) \triangleq B_0(\omega) + \{\delta \omega / A_0(\omega)\} \sum_{m=p}^N C_m \cos \{B_0(\omega) - m\omega\} \quad (5.4-14)$$

$$\textcircled{2} T_p = 1 \rightarrow 1 + \delta \cdot |w|$$

$$A(\omega) \triangleq A_0(\omega) + \delta \omega^2 \sum_{m=p}^N C_m \sin \{B_0(\omega) - m\omega\} \quad (5.4-15)$$

$$B(\omega) \triangleq B_0(\omega) + \{\delta \omega^2 / A_0(\omega)\} \sum_{m=p}^N C_m \cos \{B_0(\omega) - m\omega\} \quad (5.4-16)$$

(iii) 影像化装置の偏差: $R_p = (R, R) \rightarrow (R+r_1, R+r_2)$

$$\begin{aligned} A(\omega) &\triangleq A_0(\omega) + (r_1/2R) \sum_{m=-N}^{p-1} C_m \cos [B_0(\omega) - \{2(p-1)-m\}\omega] \\ &\quad - (r_2/2R) \sum_{m=-N}^{p-1} C_m \cos \{B_0(\omega) - (2p-m)\omega\} \end{aligned} \quad (5.4-17)$$

$$\begin{aligned} B(\omega) &\triangleq B_0(\omega) - \{r_1/2R \cdot A_0(\omega)\} \sum_{m=-N}^{p-1} C_m \sin [B_0(\omega) - \{2(p-1)-m\}\omega] \\ &\quad + \{r_2/2R \cdot A_0(\omega)\} \sum_{m=-N}^{p-1} C_m \sin \{B_0(\omega) - (2p-m)\omega\} \end{aligned} \quad (5.4-18)$$

ここで $r_1 = r_2 = r$ とする。

$$A(\omega) \triangleq A_0(\omega) - (r/R) \sin \omega \sum_{m=-N}^{p-1} C_m \sin \{B_0(\omega) - (2p-m-1)\omega\} \quad (5.4-17')$$

$$B(\omega) \triangleq B_0(\omega) - (r/R) \cdot \{\sin \omega / A_0(\omega)\} \sum_{m=-N}^{p-1} C_m \cos \{B_0(\omega) - (2p-m-1)\omega\} \quad (5.4-18')$$

(iv) タイド利得を構成する増幅器の入力アドミタンスの偏差: $y_g = 0 \rightarrow y_g (> 0)$

$$A(\omega) \triangleq A_0(\omega) - \frac{y_g R}{2+y_g R} \left[\sum_{n=N}^{g-1} C_n \cos \{B_0(\omega) - (2g-n)\omega\} + \sum_{m=g}^N C_m \cos \{B_0(\omega) - m\omega\} \right] \quad (5.4-19)$$

$$B(\omega) \triangleq B_0(\omega) + \frac{1}{A_0(\omega)} \cdot \frac{y_g R}{2+y_g R} \left[\sum_{n=N}^{g-1} C_n \sin \{B_0(\omega) - (2g-n)\omega\} + \sum_{n=g}^N C_n \sin \{B_0(\omega) - n\omega\} \right] \quad (5.4-20)$$

但し、 $g = -N$ のとき、 $\sum_{n=N}^{g-1} (\cdot) = 0$ となる。

(V) 始終端損耗の偏差

$$\textcircled{1} R_s = R \rightarrow R + r$$

$$A(\omega) = \left\{ 2R / (2R+r) \right\} \cdot A_0(\omega) \doteq (1 - r/2R) \cdot A_0(\omega) \quad (5.4-21)$$

$$B(\omega) = B_0(\omega) \quad (5.4-22)$$

$$\textcircled{2} R_L = R \rightarrow R + r$$

$$A(\omega) \doteq A_0(\omega) + \left\{ r / (2R+r) \right\} \sum_{m=-N}^N C_m \cos \{ B_0(\omega) - (2N-m)\omega \} \quad (5.4-23)$$

$$B(\omega) \doteq B_0(\omega) - \left\{ r / (2R+r) \cdot A_0(\omega) \right\} \sum_{m=-N}^N C_m \sin \{ B_0(\omega) - (2N-m)\omega \} \quad (5.4-24)$$

(VI) 集中定数多段全域通過回路 ($e^{-j\theta(\omega)}$) を単位回路に用いた場合。

$$\textcircled{1} P 番目の単位回路への半-移損失付加 (i.e., L \rightarrow L(1 + $\sigma_L/j\omega$), C \rightarrow C(1 + $\sigma_C/j\omega$))$$

$$A(\omega) \doteq A_0(\omega) + \frac{\sigma_L - \sigma_C}{2} \cdot \frac{\sin \theta(\omega)}{\omega} \sum_{m=-N}^{P-1} C_m \cos \{ B_0(\omega) - (2P-m-1)\theta(\omega) \} \\ - \frac{\sigma_L + \sigma_C}{2} \cdot C(\omega) \sum_{m=P}^N C_m \cos \{ B_0(\omega) - m\theta(\omega) \} \quad (5.4-25)$$

$$B(\omega) \doteq B_0(\omega) - \frac{\sigma_L - \sigma_C}{2 A_0(\omega)} \cdot \frac{\sin \theta(\omega)}{\omega} \sum_{m=-N}^{P-1} C_m \sin \{ B_0(\omega) - (2P-m-1)\theta(\omega) \} \\ + \frac{\sigma_L + \sigma_C}{2 A_0(\omega)} \cdot C(\omega) \sum_{m=P}^N C_m \sin \{ B_0(\omega) - m\theta(\omega) \} \quad (5.4-26)$$

但し、

$$C(\omega) \doteq \partial \theta(\omega) / \partial \omega \quad (5.4-27)$$

又、特に、半-移損失が $\sigma_L > 3\sigma_C$ の状態で、各単位回路が近似帯域内 ($|w| < \pi$) である。理想通過線 ($e^{-j\omega}$) を十分小さく近似すれば “よく” 式(5.4-25), (5.4-26)は、

$$A(\omega) \doteq A_0(\omega) + \frac{\sigma_L - \sigma_C}{2} \cdot \frac{\sin \omega}{\omega} \sum_{m=-N}^{P-1} C_m \cos \{ B_0(\omega) - (2P-m-1)\omega \} \\ - \frac{\sigma_L + \sigma_C}{2} \sum_{n=P}^N C_m \cos \{ B_0(\omega) - n\omega \} \quad (5.4-25')$$

$$B(\omega) \doteq B_0(\omega) - \frac{\sigma_L - \sigma_C}{2 A_0(\omega)} \cdot \frac{\sin \omega}{\omega} \sum_{m=-N}^{P-1} C_m \sin \{ B_0(\omega) - (2P-m-1)\omega \} \\ + \frac{\sigma_L + \sigma_C}{2 A_0(\omega)} \sum_{m=P}^N C_m \sin \{ B_0(\omega) - n\omega \} \quad (5.4-26')$$

と出る。

$$\textcircled{2} P 番目の単位回路の半-移素子偏差 (i.e., L \rightarrow L(1 + δ_L), C \rightarrow C(1 + δ_C))$$

$$A(\omega) \doteq A_0(\omega) - \{(\delta_e - \delta_c)/2\} \cdot \sin \theta(\omega) \cdot \sum_{m=-N}^{P-1} C_m \sin \{B_0(\omega) - (2p-m-1)\theta(\omega)\} \\ + \{(\delta_e + \delta_c)/2\} \cdot \omega \cdot T(\omega) \cdot \sum_{m=p}^N C_m \sin \{B_0(\omega) - m\theta(\omega)\} \quad (5.4-28)$$

$$B(\omega) \doteq B_0(\omega) - \{(\delta_e - \delta_c)/2 \cdot A_0(\omega)\} \cdot \sin \theta(\omega) \cdot \sum_{m=-N}^{P-1} C_m \cos \{B_0(\omega) - (2p-m-1)\theta(\omega)\} \\ + \{(\delta_e + \delta_c)/2 \cdot A_0(\omega)\} \cdot \omega \cdot T(\omega) \cdot \sum_{m=p}^N C_m \cos \{B_0(\omega) - m\theta(\omega)\} \quad (5.4-29)$$

特に、一称偏差の生じる状況の状態は、各単位回路の近似帯域内にあり、理想遙延線($e^{-j\omega}$)を十分く近似するものとする。式(5.4-28), (5.4-29)は、

$$A(\omega) \doteq A_0(\omega) - \{(\delta_e - \delta_c)/2\} \cdot \sin \omega \sum_{m=-N}^{P-1} C_m \sin \{B_0(\omega) - (2p-m-1)\omega\} \\ + \{(\delta_e + \delta_c)/2\} \cdot \omega \sum_{m=p}^N C_m \sin \{B_0(\omega) - m\omega\} \quad (5.4-28')$$

$$B(\omega) \doteq B_0(\omega) - \{(\delta_e - \delta_c)/2 \cdot A_0(\omega)\} \cdot \sin \omega \sum_{m=-N}^{P-1} C_m \cos \{B_0(\omega) - (2p-m-1)\omega\} \\ + \{(\delta_e + \delta_c)/2 \cdot A_0(\omega)\} \cdot \omega \cdot \sum_{m=p}^N C_m \cos \{B_0(\omega) - m\omega\} \quad (5.4-29')$$

である。

こゝで、(i)～(vi)の結果について、多少説明を加えておく。本節の結果は、本質的には、前節の結果を直しておいたのである。前節に比べて、本質的に新しいのが含まれてゐる誤りはない。しかし、振幅及ぶ位相特性と云う形で見ると、多少の特徴が現れてゐる。以下(i)～(vi)を、順に述べていくことにする。(i)～(ii)，振幅特性は、タップ利得の偏差の大きさに比例し、その位置で決まりともつ影響をうけた。又位相特性は、タップ利得の偏差の大きさと、元の振幅特性の逆数に比例し、元の位相特性と、タップの位置で決まるよりともつ影響をうけたことになる。従つて、位相特性は、元の振幅特性の小さな部分で、比較的大きな影響が現われ、又、絶対値は、元の位相特性が比較的ゆるやかである。(iii)，偏差の生じるタップの位置で決まるよりもつ影響が現われることと云ふ事が分る。(iv)以降につづくは、振幅及ぶ位相特性への影響のうちの個々をとめて、実際の車両につづく、一般的に論ずることと、異なりが、各影響の包絡線につづくは、次のように分類される。(v)～(vii)，振幅特性上現れる影響の包絡線は、直線であり、帯域の端で大きな影響が現出するこれが予想される。又、位相特性上現れる影響の包絡線は、 $\delta\omega/A_0(\omega)$ 2°，振幅特性への影響と比べ、さらに、元の振幅特性 $A_0(\omega)$ の小さな部分で大きな影響を受ける可能性があることが分る。(viii)～(xii)は、 $\delta\omega$ 2°, $\pi/2 = 30^\circ$, $\delta\omega^2$ 1%程度

リ、帯域の端部 ω さらに大きめ影響 $A(\omega)$ をもつことが予想される。(iii)の場合 ω 、特に、 $r_1=r_2=r$ の場合をみると、振幅 $A(\omega)$ 位相特性 $B(\omega)$ は影響の包絡線は、 $\sin \omega$ 及 ω , $\sin \omega/A_0(\omega)$ である。(ii)～(v)、2.13. 帯域の中央 ω , $A_0(\omega)$ の大きさ部分 ω 大きな影響 $A(\omega)$ となることが予想される。(iv)では、振幅 $A(\omega)$ 位相特性 $B(\omega)$ は影響の包络線は、 $y_p R/(2+y_p R)$ 及 ω , $y_p R/(2+y_p R)A_0(\omega)$ である、(iii)では、 $A_0(\omega)$ が一定である。すなはち、一定の大きさの影響が現れることが予想される。(vi)の場合 ω は多少複雑であるが、(i)の式(5.4-25)', (5.4-26)'を用いて、振幅特性 $B(\omega)$ は、 $\sin \omega/\omega$ と、1を包絡線とすら2項から成り、周波数の加減り方によると、帯域中央 ω では、直角附近及び帯域端 ω 大きな影響 $A(\omega)$ をもつことが予想される。位相特性 $B(\omega)$ は、振幅 $A(\omega)$ に対し、各包絡線は $1/A_0(\omega)$ が掛かること、その分だけ遅延 τ となる。 (vi) (2) の式(5.4-28)', (5.4-29)'を用いて、偏差の影響の各包絡線は、(vi) (1) の場合に ω を直角形にすると、この場合は、帯域端 ω より大きな影響の現れる可能性のみでしか分らない。尚、(vi)の偏差による影響は、(ii) (1) と (iii) の偏差の影響の和と同一で、反射 δ_e 反射 δ_c と同様に実数付けるべきである。即ち、 $\Delta A(\omega) \cong A(\omega) - A_0(\omega)$, $\Delta B(\omega) = B(\omega) - B_0(\omega)$ とする。

$$\begin{aligned} \frac{\Delta A(\omega)}{\Delta B(\omega)} \Big|_{\substack{\text{(半)称要素} \\ \text{(偏差)}}} &= \frac{\Delta A(\omega)}{\Delta B(\omega)} \Big|_{\substack{\text{(遅延時間) } T_p=1 \rightarrow 1+(\delta_e+\delta_c)/2}} \\ &+ \frac{\Delta A(\omega)}{\Delta B(\omega)} \Big|_{\substack{\text{(影像化) } \bar{R}_p=\bar{R} \rightarrow \bar{R}+i\pi, \frac{i\pi}{\bar{R}}=(\delta_e-\delta_c, \delta_e-\delta_c)}} \\ \frac{\Delta A(\omega)}{\Delta B(\omega)} \Big|_{\substack{\text{(半)称要素の偏差}}} &= j\omega \cdot \frac{\Delta A(\omega)}{\Delta B(\omega)} \Big|_{\substack{\text{(半)称損失附加} \\ \text{但し, } \delta_e=\sigma_e, \delta_c=\sigma_c}}} \end{aligned}$$

が成立する。又、(vi) 2: 一様偏差の場合、即ち、 $\sigma_e=\sigma_c$ の時は、 $\delta_e=\delta_c$ の場合 ω は、反射 δ_e の項は消失する。尚、(v)は(iv)の特別の場合と見られるが、特に、(v) (1) では、振幅が一定倍されるだけと、位相による影響が現れる。さらに、(ii)～(vi)において、例えは、中央タップ ω のタップ ω 利得が他のタップ ω よりも大きいなどと。こう場合には、各偏差による影響のうちの何がどのくらい、何がどの程度を知ることが出来るか、出来ないか、反射 δ_e のと同様である。

(III) 計算例

ここでは、本節(II)に示した、各種偏差の影響を一次近似により求めた式を用いて計算例を示す。一次近似による式が、相当より近似を与えること、ならむ。(II)と述べた。このから偏差の影響が実際に現われることである。

例とすれば、位相等化器の場合あり、 $A_0(\omega) \approx 1$ が期待出来ること、従って偏差に対するは、本節(I) a@の仮定が成り立つことになる。以下、希望特性を、

$$G(\omega) \triangleq e^{-j\alpha \sin b\omega} \quad (|\omega| \leq \pi) \quad (5.4-30)$$

とし、これを、タップ数 $2N+1$ の人字スリーパル型回路((図5.3) 参照)

$$F_o(\omega) = \sum_{m=-N}^N C_m e^{-jm\omega} \quad (|\omega| \leq \pi) \quad (5.4-31)$$

とし、最小2乗近似、即ち、

$$\epsilon \triangleq (1/2\pi) \int_{-\pi}^{\pi} |G(\omega) - F_o(\omega)|^2 d\omega \rightarrow \text{最小} \quad (5.4-32)$$

とし、これを、基準伝達度 $F_0(\omega) = A_0(\omega) e^{-jB_0(\omega)}$ とする。このときの最適タップ利得は、簡単な計算により、一概に

$$C_m = \sum_{m=-\infty}^{\infty} (-1)^m J_m(a) \frac{\sin(m \cdot b + \alpha)\pi}{(mb + \alpha)\pi}, \quad J_m(z) \text{ は } 1 \text{ 次ベッセル関数} \quad (5.4-32)$$

とし、 a と b の場合、 b が整数の場合には、

$$C_n = \begin{cases} 0 & (n/b \text{ 加整数}) \\ J_{n/b}(a) & (n/b \text{ 加整数}) \end{cases} \quad (5.4-33)$$

とし、以下に示す計算例は、(i) "dit"、比較的良好な近似を得られる。

$$A_0(\omega) \approx 1, \quad B_0(\omega) \approx a \sin b\omega \quad (5.4-34)$$

とする。

(図5.4) から (図5.7) に幾つかの計算例を示す。但し、偏差後(exact)を示すのは、偏差後の正確な特性であり、これに対して、偏差後(approx.)は、本節(II)に示す一次近似による計算結果である。又、図中、位相(PHASE)の単位はラジアンである。

(図5.4) (a) ~ (d) は (i) タップ利得の偏差の場合の計算例を示している。"dit"、一次近似による計算結果は、十分よい近似を有していること分かる。

(図5.5) (a) (b) は (i) (ii) 単位回路の遅延系の遅延時間

偏差した場合の特性の計算例を示している。この場合、一次近似式による結果は、近似を用いた結果と非常によく一致しており、帯域端で影響が大きいといつて十分だ。

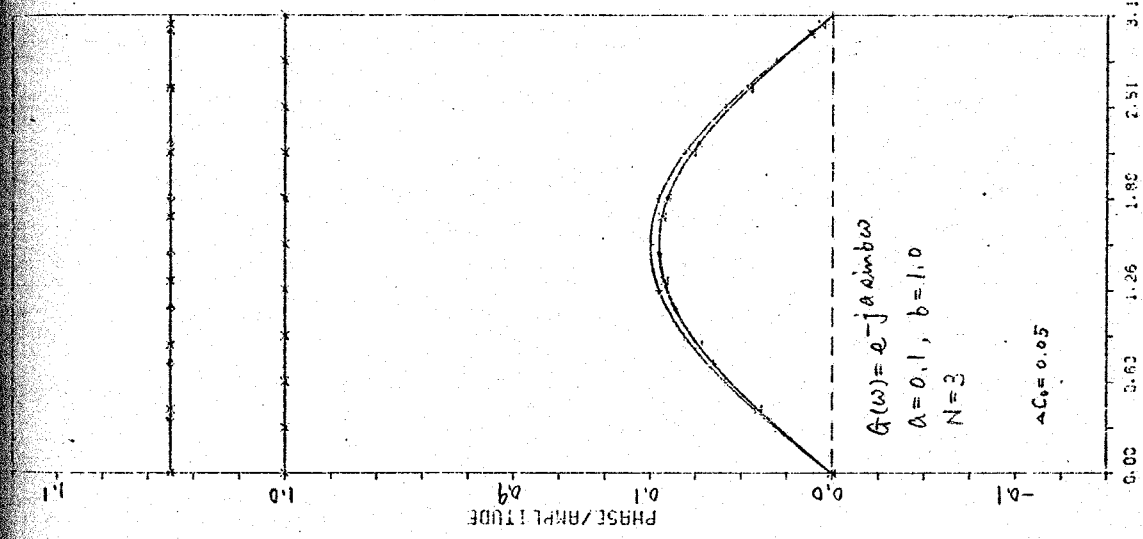
(図5.6) i. (iii) 単位回路の影像化システムが偏差した場合の特性の計算例を示している。この場合、一次近似による計算結果は、余りよい近似と見えていたとは言えないが、さらに、高次の近似式が必要であることを示している。

(図5.7) (a) (b) & (iv) タップオリ得を構成する増幅器の入力アドミタンスが偏差した場合の特性の計算結果を示している。この場合は、近似を用いた計算結果と一次近似式による結果とが非常によく一致をみせる。又、偏差による影響の範囲が予想どおりなど、(ii)で述べた近似式から得られた予想と是一致する傾向が見られる。

以上、計算例を幾つか示したが、一次近似による式(2)が、多くの場合が取り扱えると思われる。但し2次以上のおよび式(2)が、必要と思われる場合もあり、今後の検討を要するこも事実である。

(図5.4)(a)
(i) ダンピングの偏差

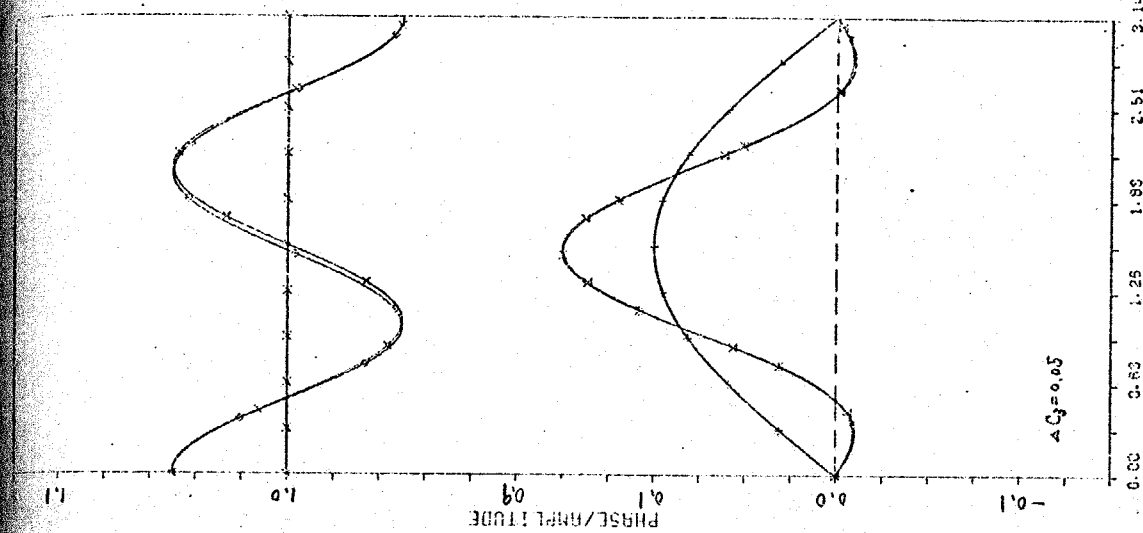
- : 希望特性 ($|G(\omega)|$)
- - - : 元特性 ($A_0(\omega)$)
- ◊ - : 偏差後 (exact)
- * - : 偏差後 (approx.)



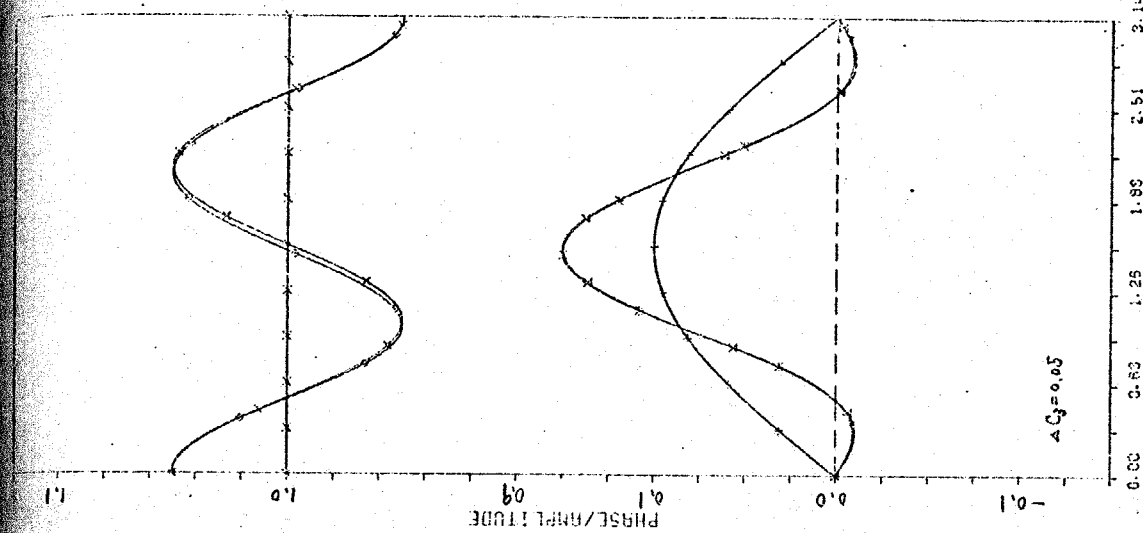
11

PHASE/MAGNITUDE

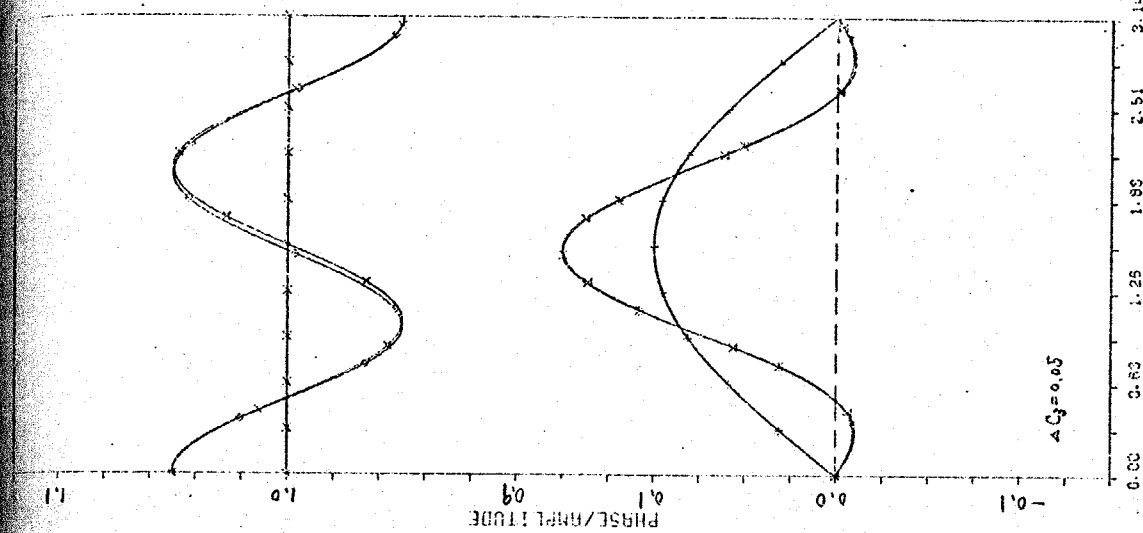
-0.1



-0.1



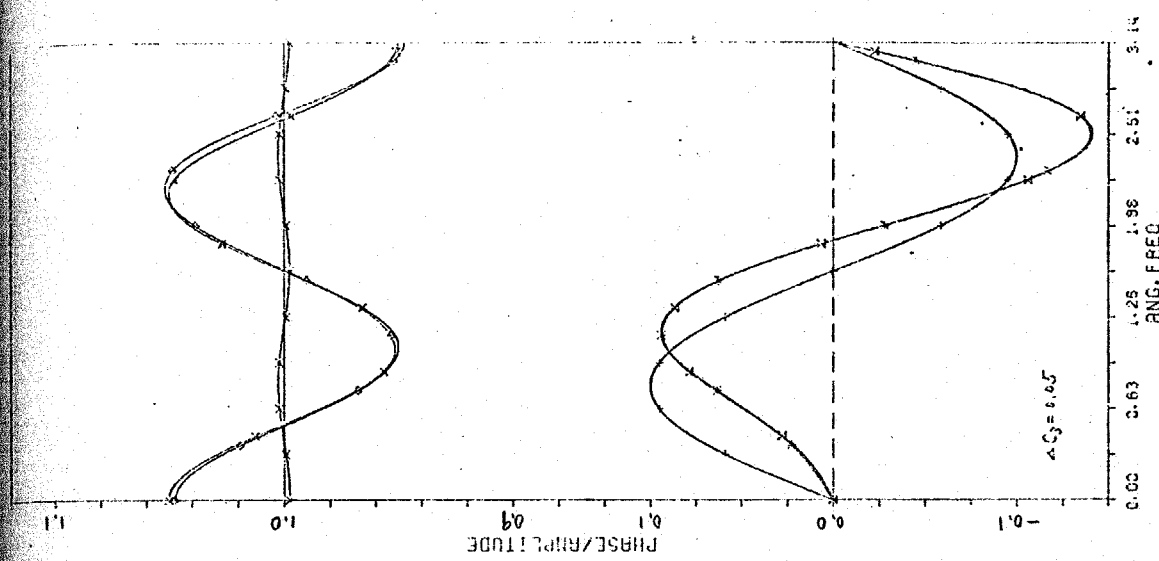
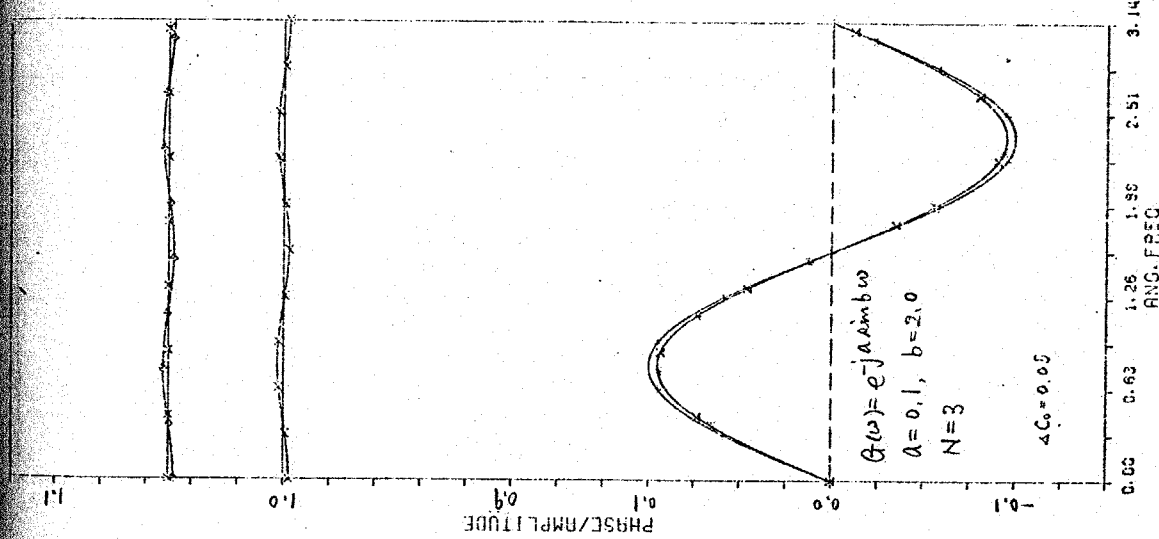
-0.1



-0.1

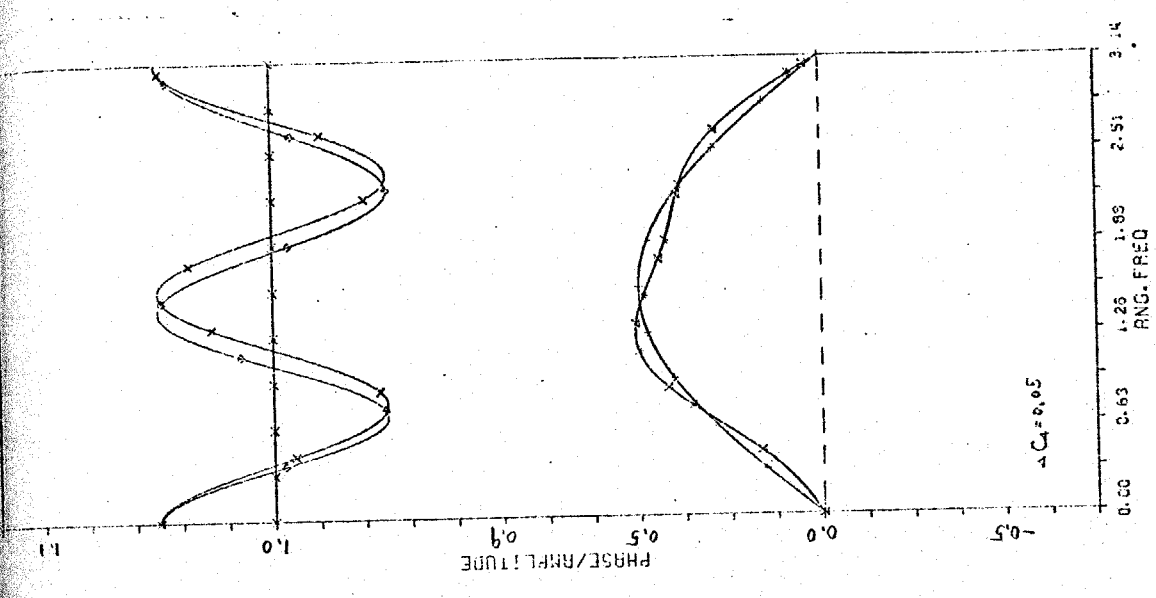
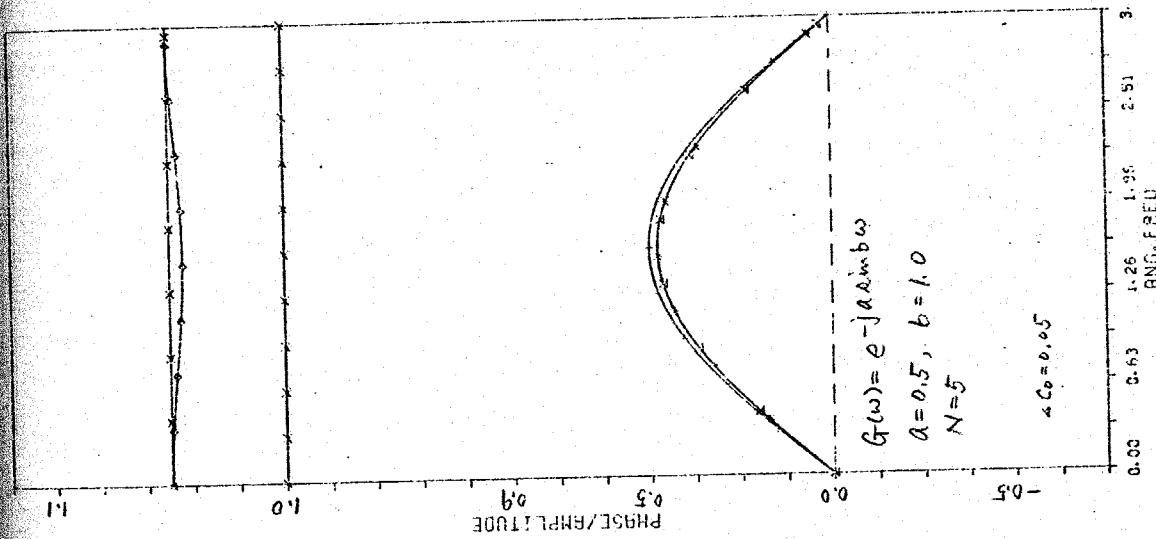
(图5.7) (b)
(ii) $\Delta\omega = 7^\circ$ 时的偏差

—：希望特性 ($|B(\omega)|$)
—+—：元特性 ($A_0(\omega)$)
—◇—：偏差 (exact)
—×—：偏差 (approx)

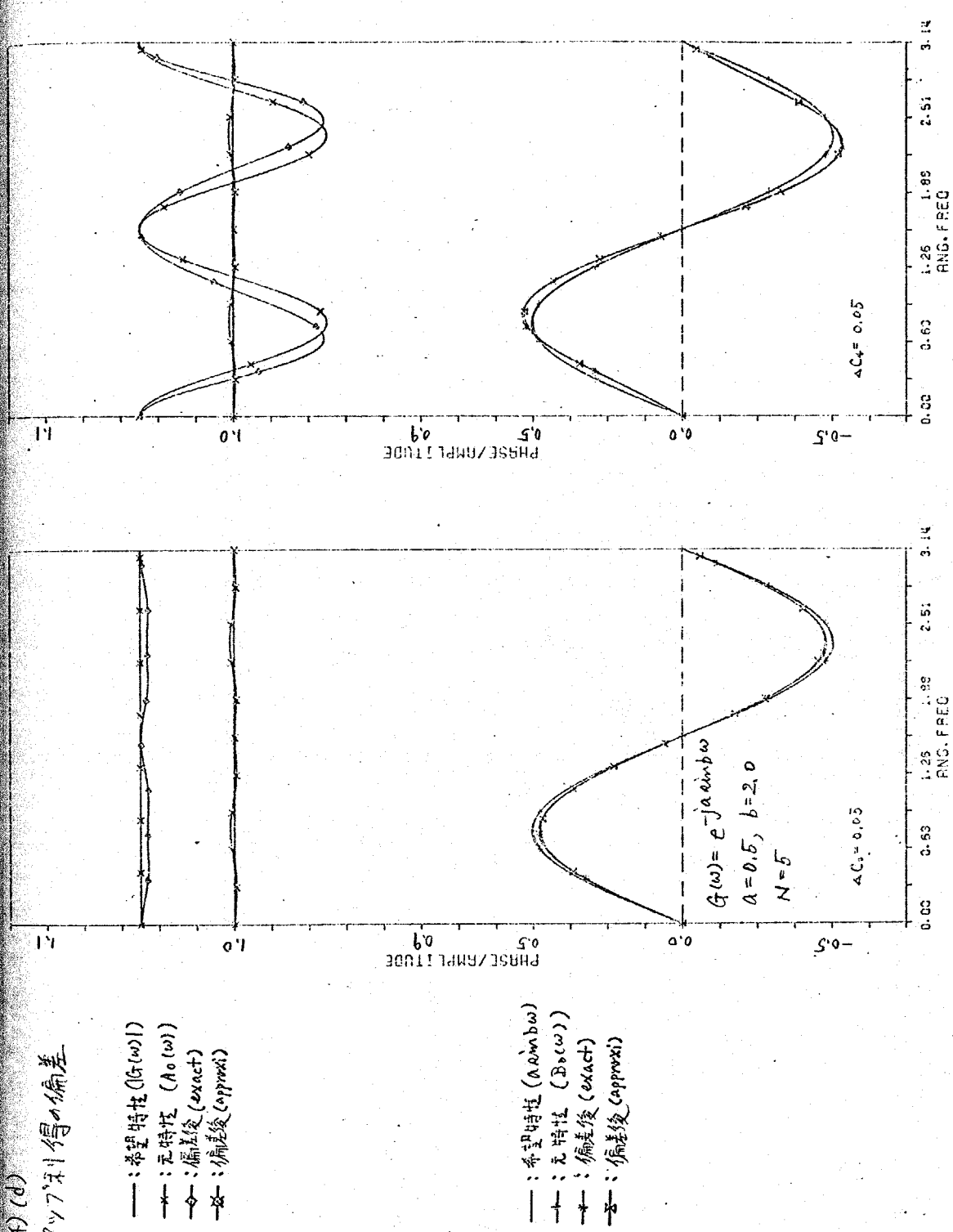


(12) 5,4 (c)
(i) 9,7° 11得め偏差

- ：希望特性 ($|G(\omega)|$)
- +—：元特性 ($A_0(\omega)$)
- ◇—：偏差後 (exact)
- ×—：偏差後 (approx.)

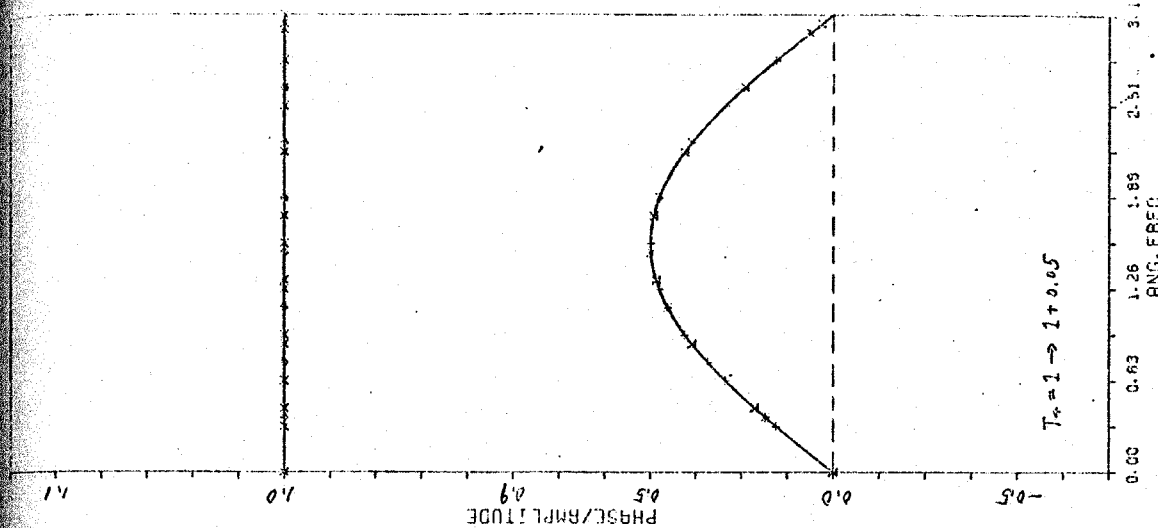
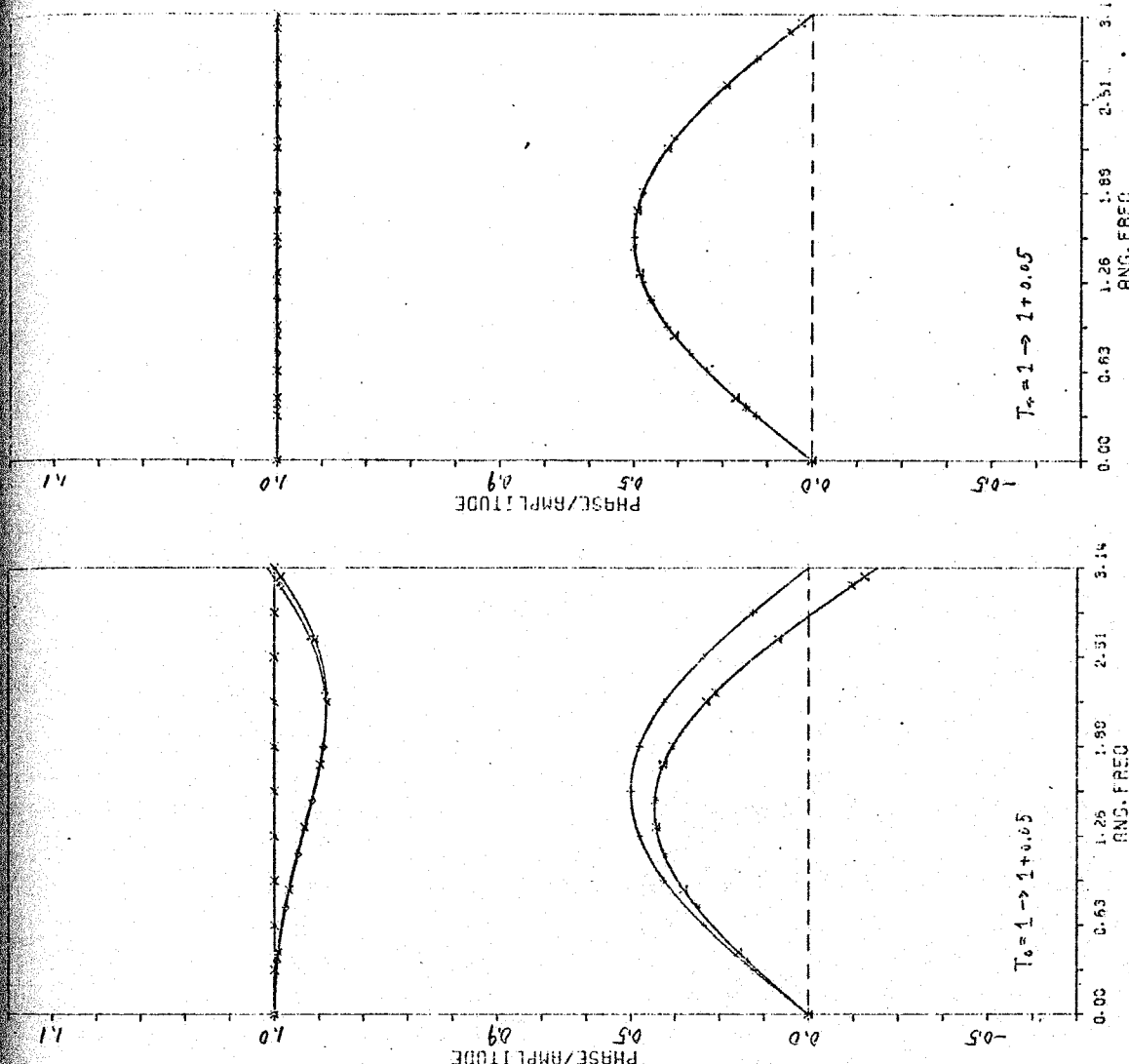
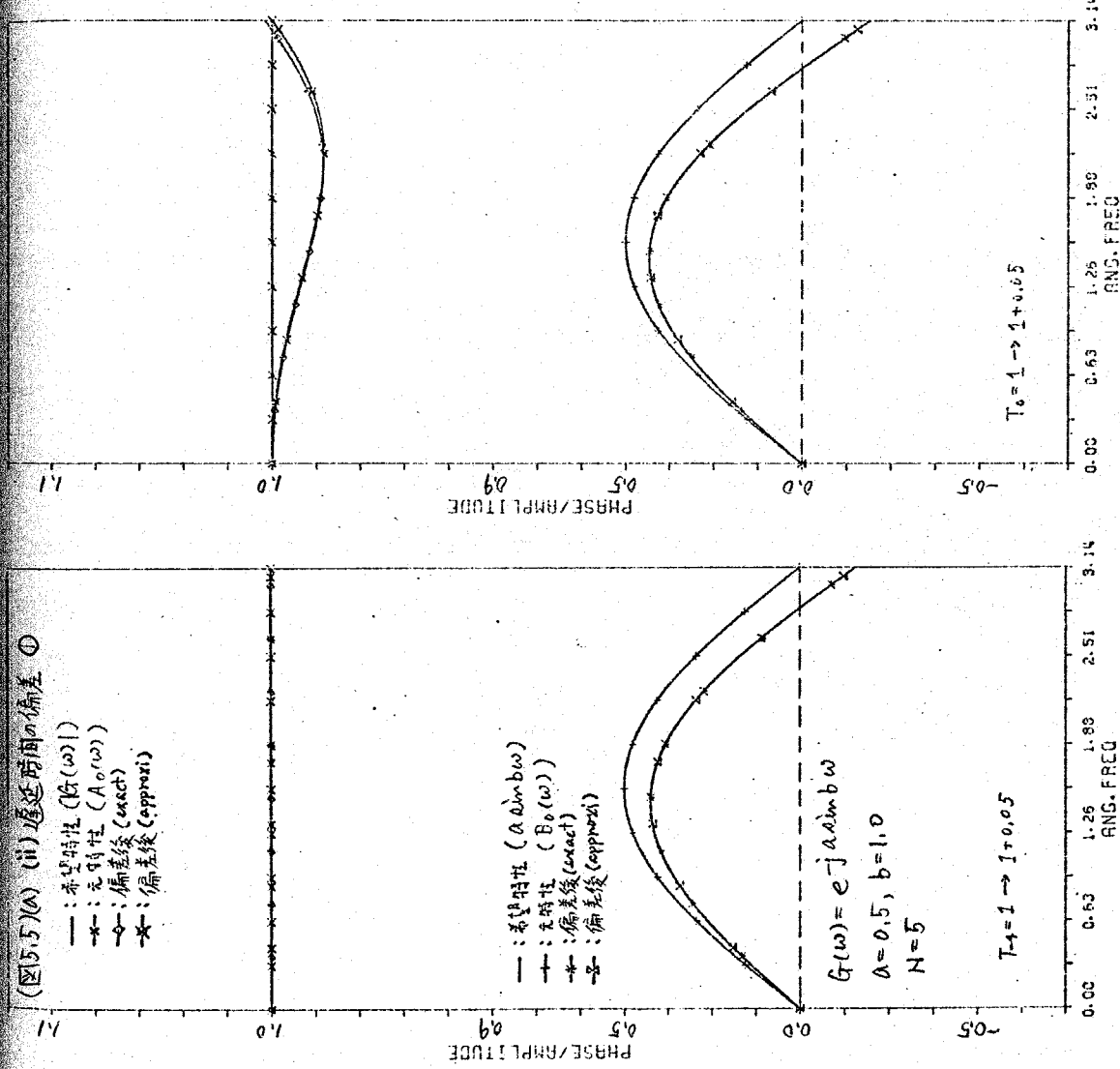


(図54) (d)
(i) テーブル得の偏差



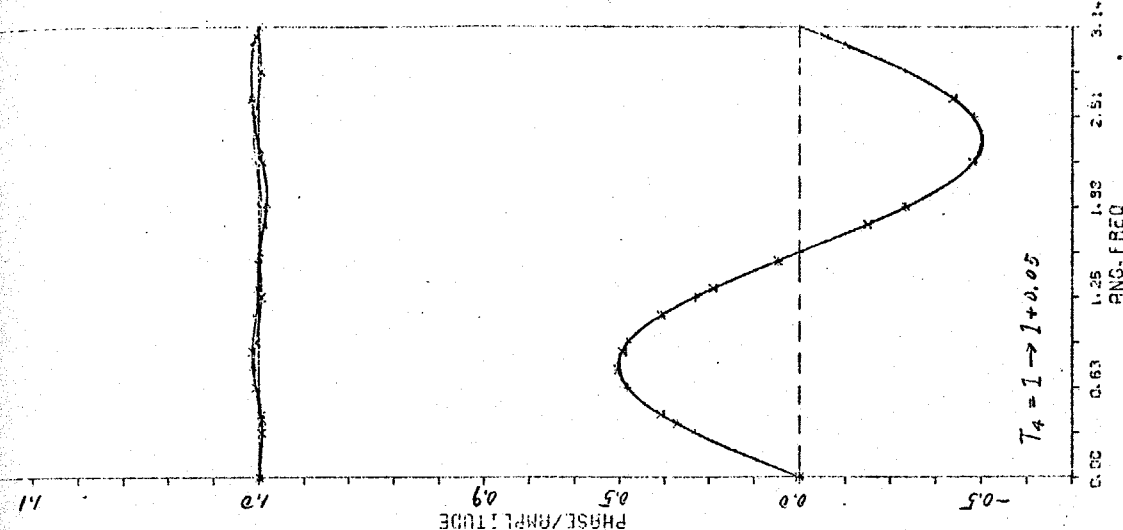
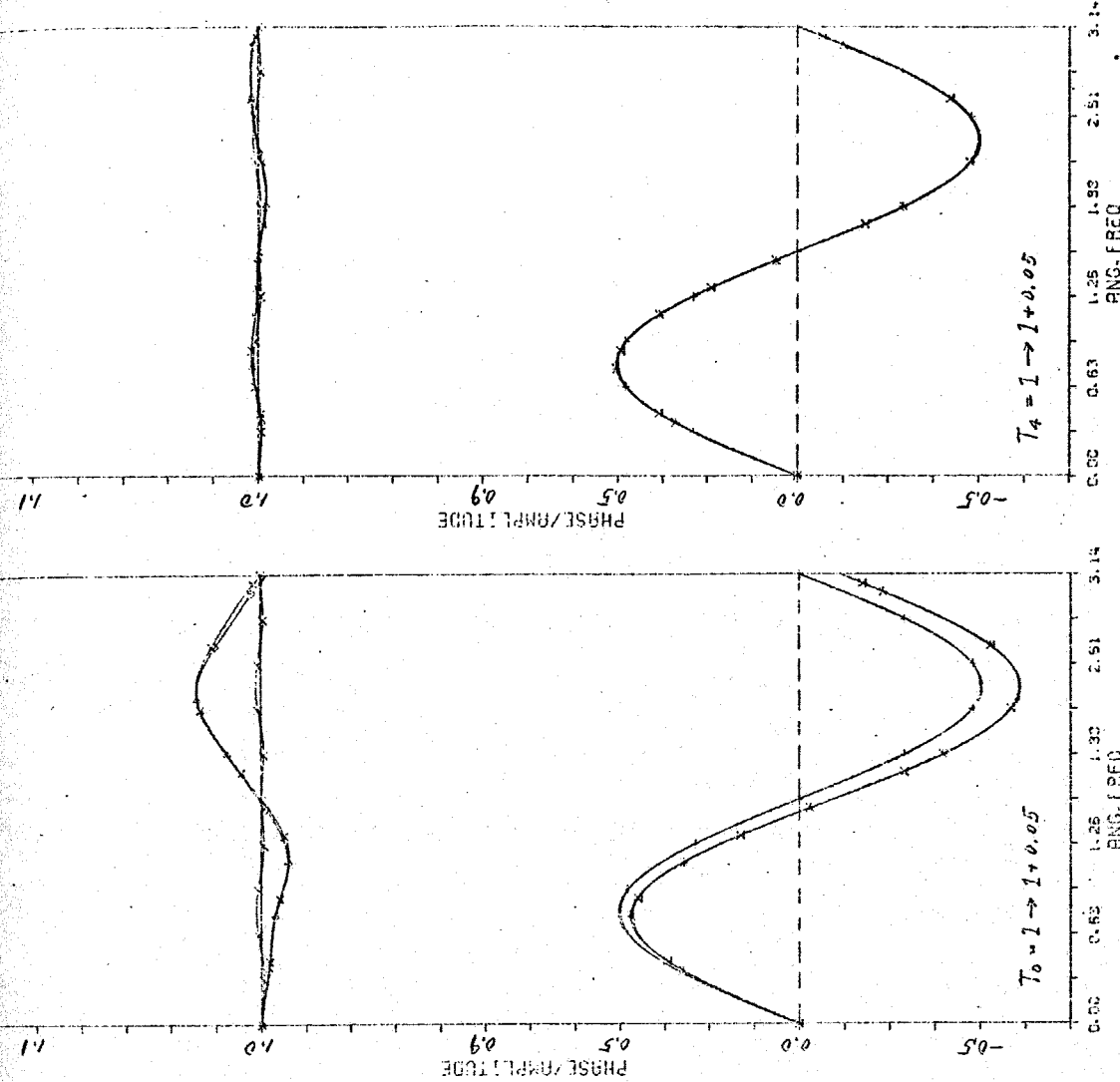
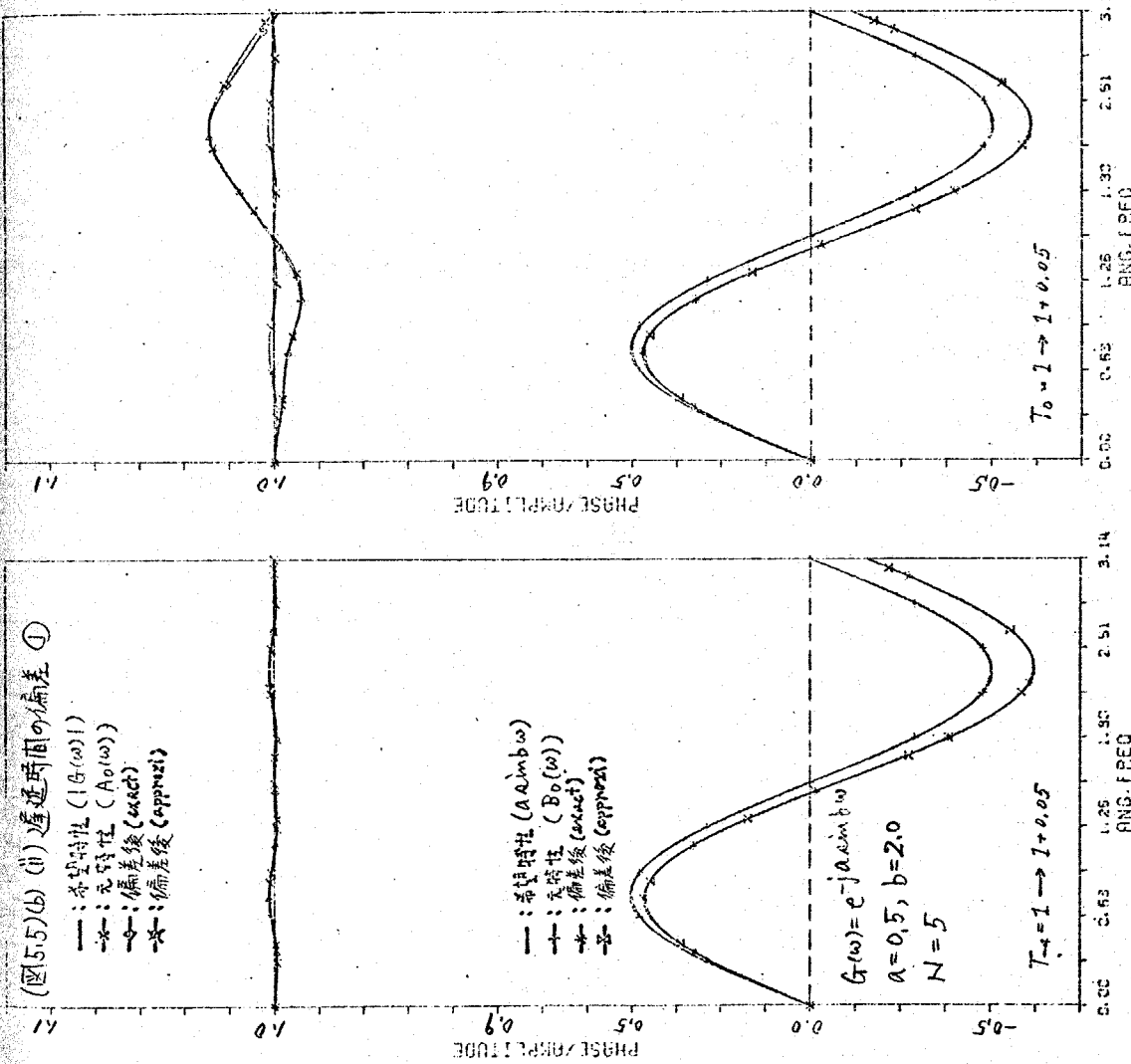
(図5.5)(a) (ii) 遠近距離の偏差 ①

- : 基準特性 ($|F(\omega)|$)
- * : 元特性 ($|A_0(\omega)|$)
- △ : 偏差絶 (exact)
- × : 偏差絶 (approx.)



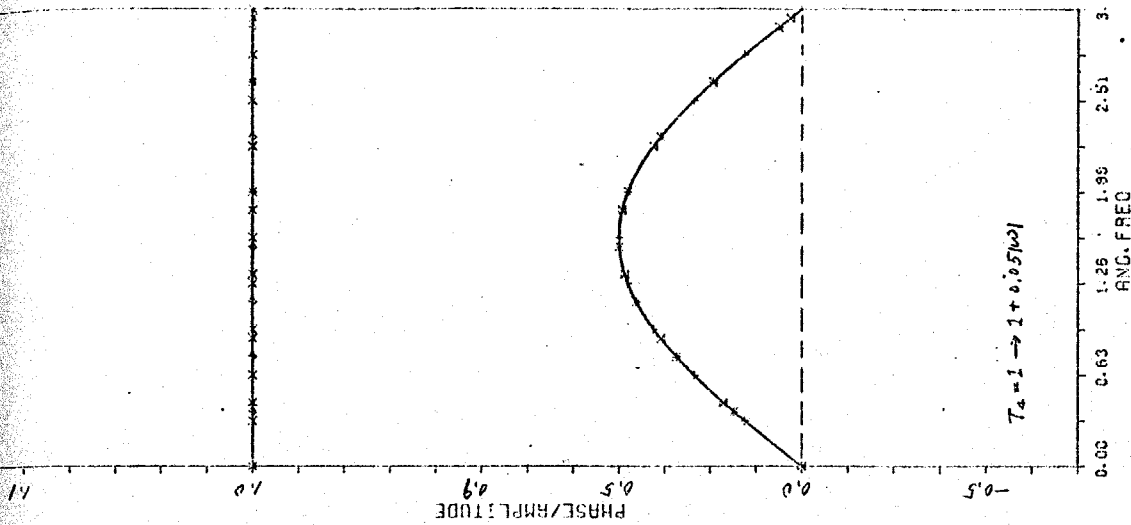
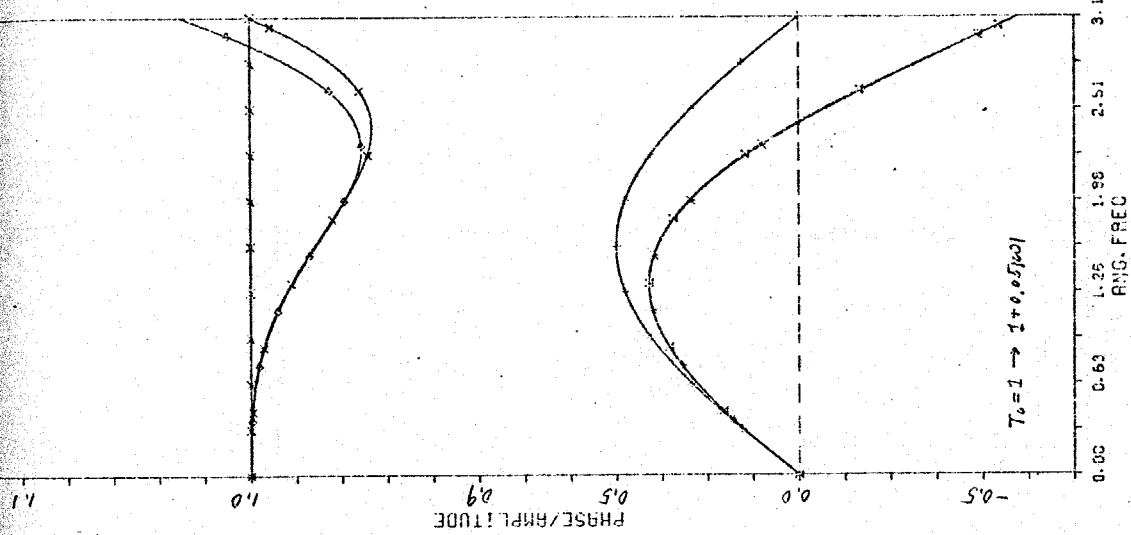
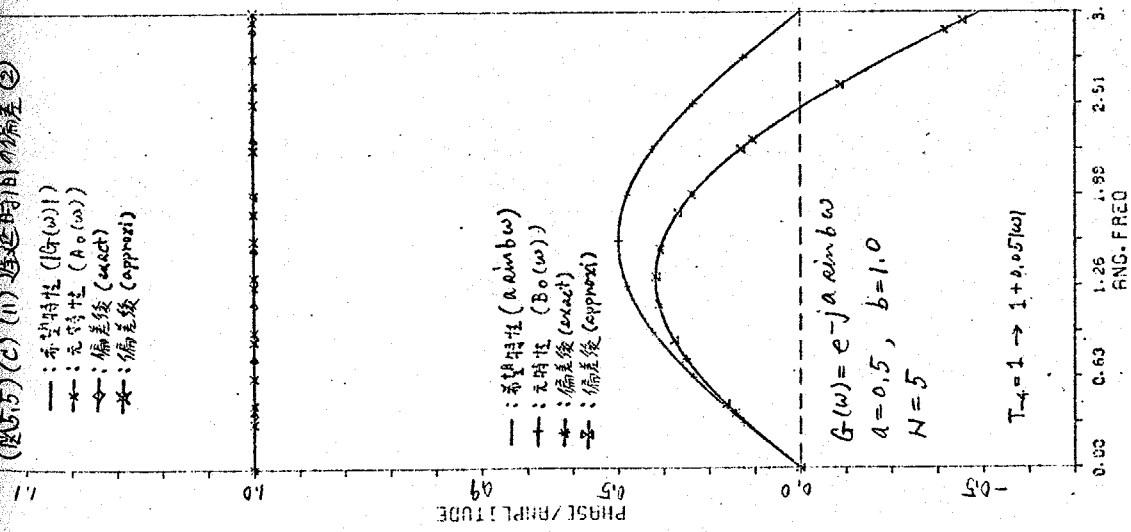
(図5.5)(ii) (ii) 通過時間の偏差 ①

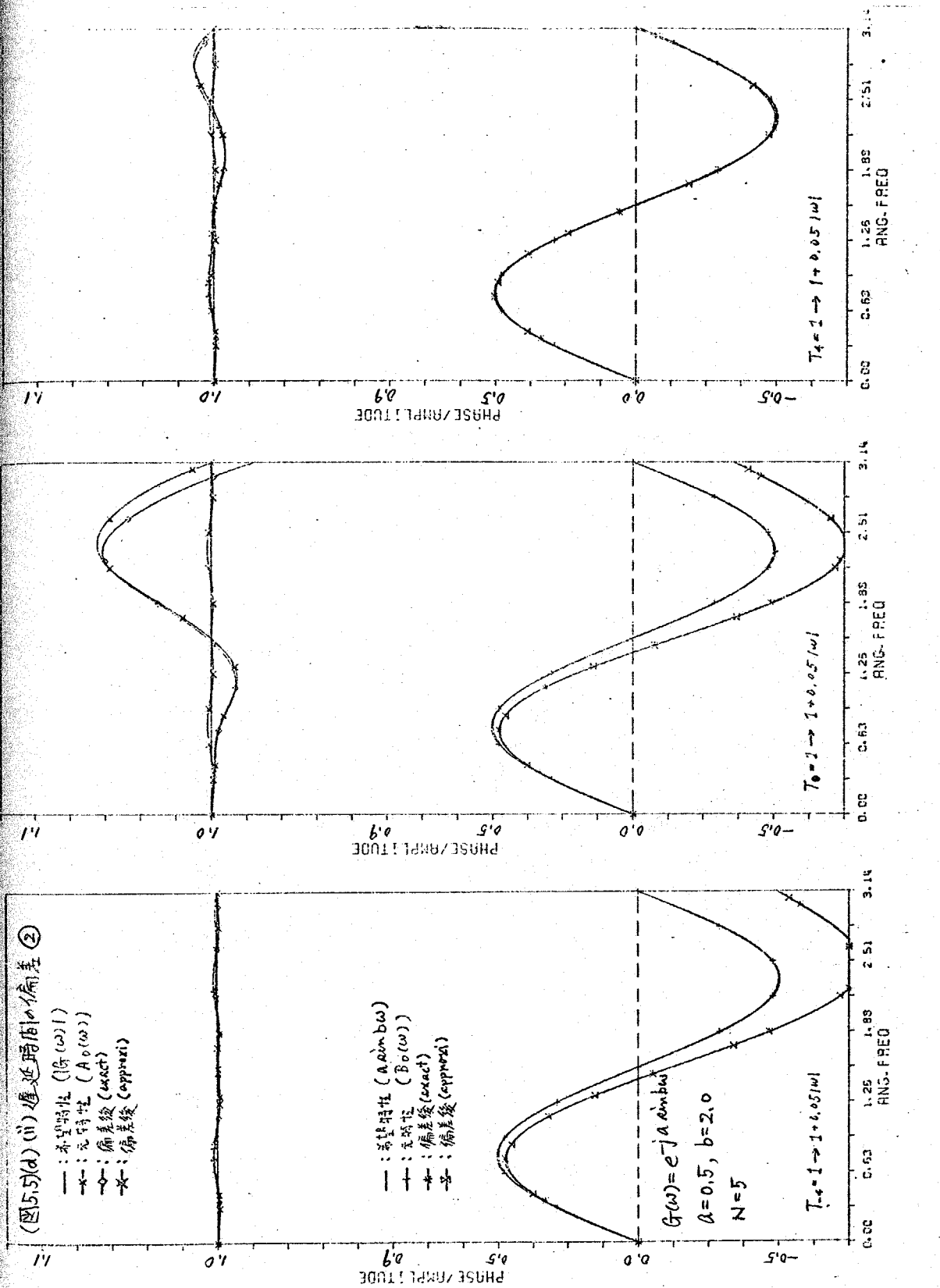
—：希望特性 ($|G(\omega)|$)
 ×：元特性 ($A_0(\omega)$)
 ↗：偏差後 (exact)
 *：偏差後 (approx.)

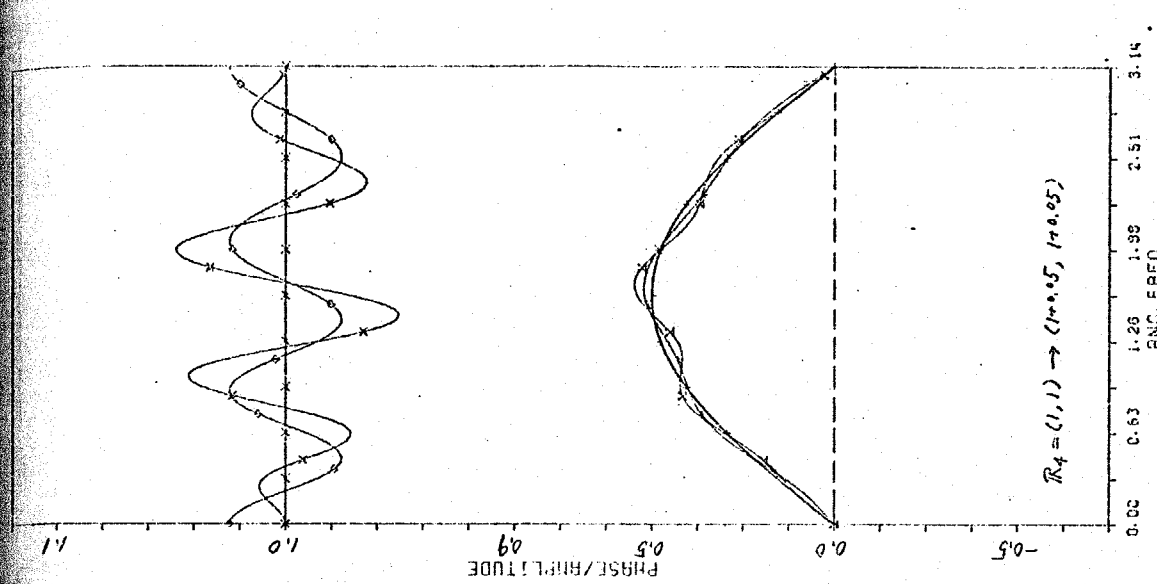
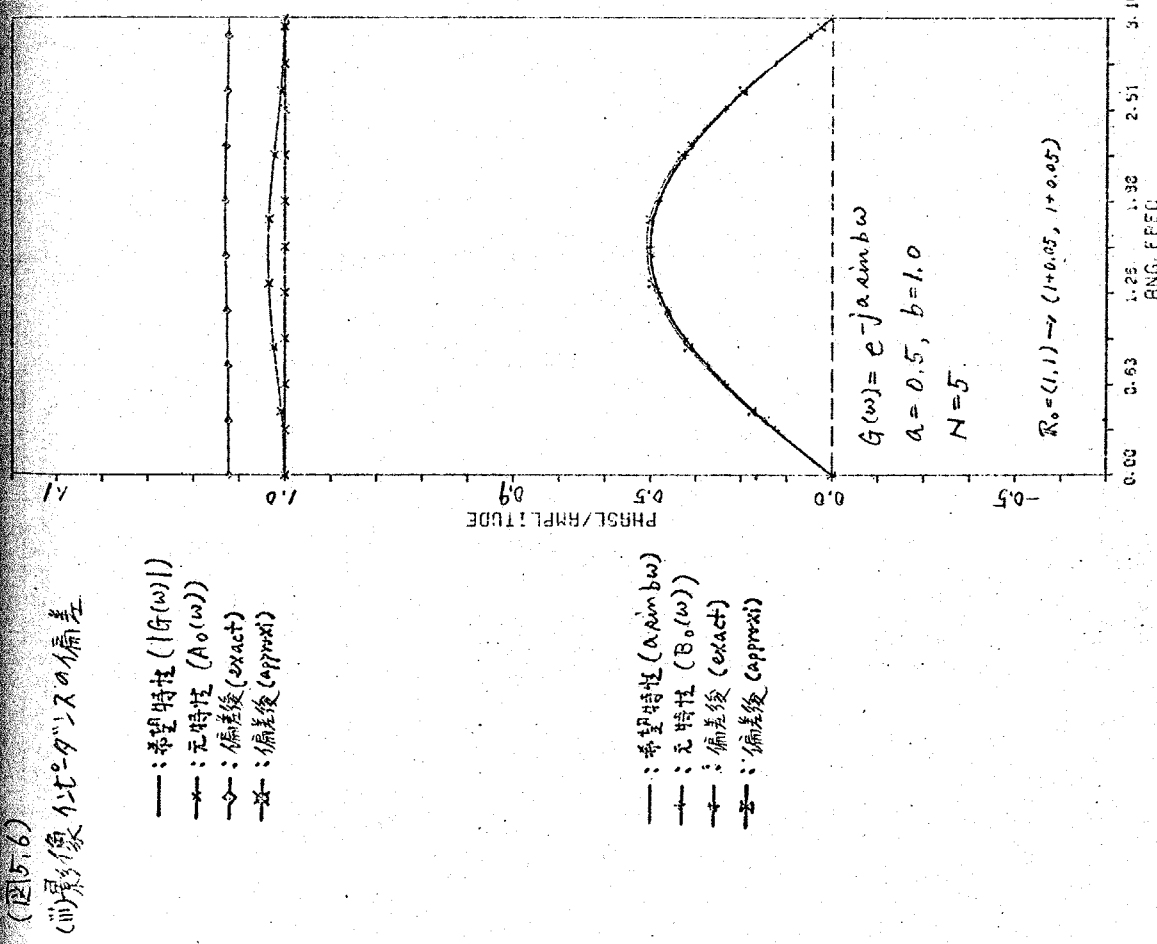


(題5.5)(c) (ii) 遲延時間の偏差 ②

- - : 希望特性 ($|G(\omega)|$)
- * - : 元特性 ($A_0(\omega)$)
- + : 偏差後 (exact)
- * : 偏差後 (approx.)



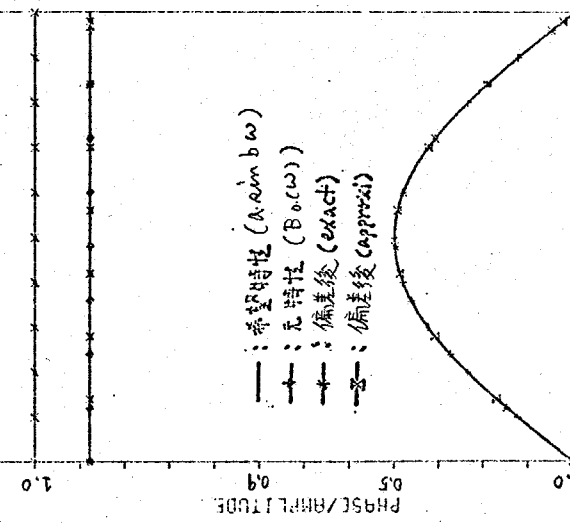




(図5.7)(a) (IV) 増幅器入力リニアス

① 偏差

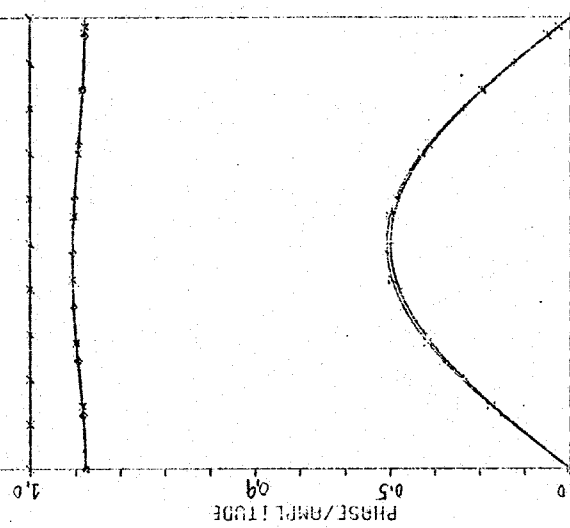
- ：希望特性 ($|G(\omega)|$)
- +—：元特性 ($A_0(\omega)$)
- ◇—：偏差後 (exact)
- ×—：偏差後 (approx)



(図5.7)(b) (IV) 増幅器入力リニアス

② 偏差

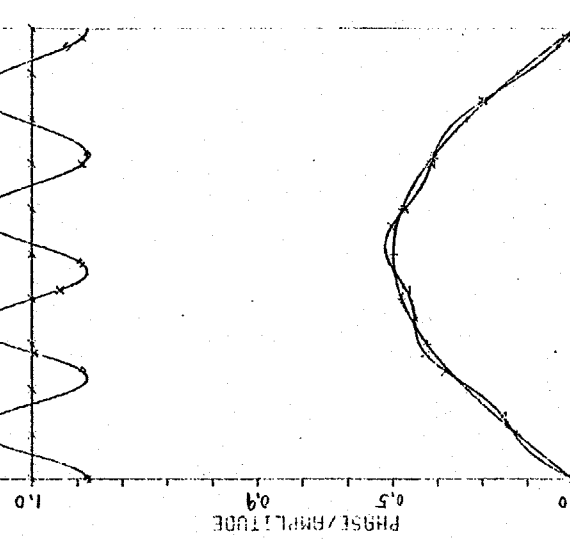
- ：希望特性 ($|G(\omega)|$)
- +—：元特性 ($B_0(\omega)$)
- ◇—：偏差後 (exact)
- ×—：偏差後 (approx)



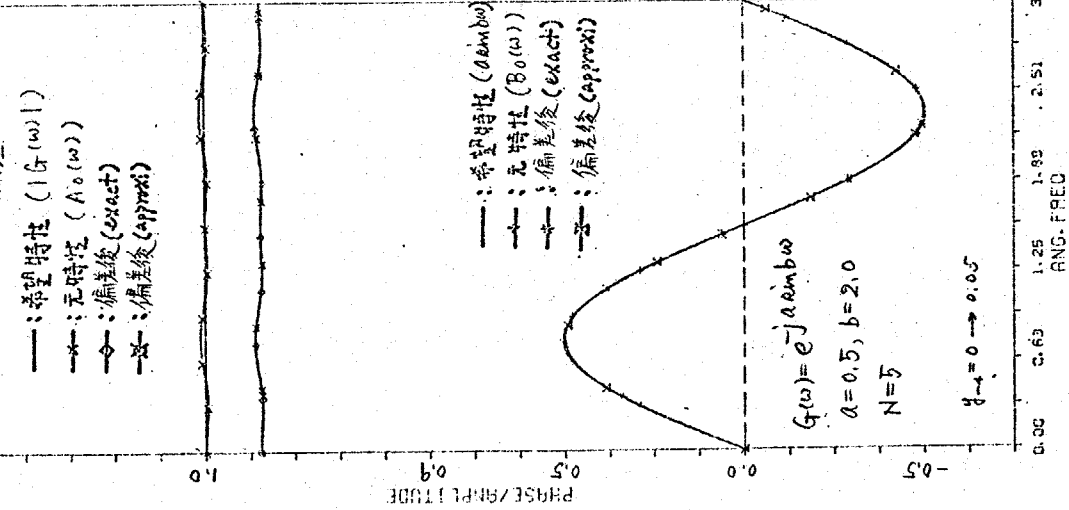
(図5.7)(c) (IV) 増幅器入力リニアス

③ 偏差

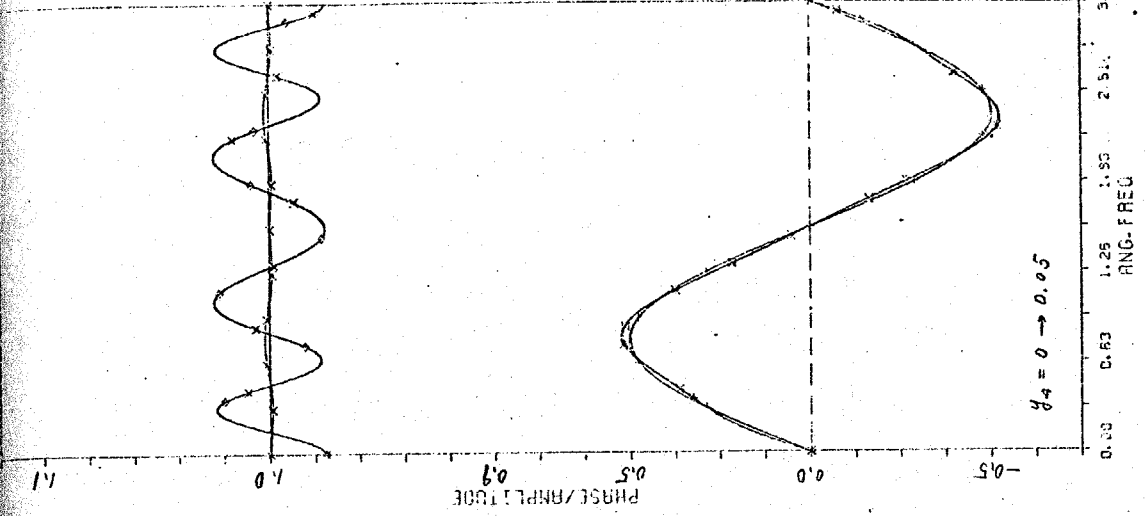
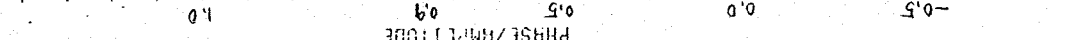
- ：希望特性 ($|G(\omega)|$)
- +—：元特性 ($A_0(\omega)$)
- ◇—：偏差後 (exact)
- ×—：偏差後 (approx)



(図5.7)(b) (iv) 基準値からの偏差



(図5.7)(b) (v) 基準値からの偏差



5.5 時間領域標本値への影響

本節では、トランジistor型回路の各種構成 110° ラメータの偏差が、時間領域標本値 X に与える影響を、基準特性との等価標本誤差 ΔF と ΔF の評価量と共にし、一次近似による式を導出すると共に、計算例を付けて、偏差の性質 110° ラメータの種類及びその位置による影響の特徴を調べる。尚、本節の書き込みには、 ΔF 一般的な場合について、多少省略し、次に、多少特殊な場合に付いて、5.3節の結果を比較し、トランジistor型回路の各種構成 110° ラメータの偏差の影響を表す ΔF を ΔF_0 とし、最後に、計算例と、偏差の種類と位置による影響の特徴を述べる。

本節で扱っている等価標本誤差 ΔF は、概ね、符号開ループ評価量と見ることも可能と思われる。

(I) 一般論

トランジistor型回路の基準の伝達関数を

$$F_0(\omega) \triangleq \sum_{m=0}^N C_m e^{-j m \omega} \quad (5.5-1) \quad (\text{図 } 5.8)$$

又、各種 110° ラメータに偏差が生じた場合の伝達関数を

$$F(\omega) = F_0(\omega) + \Delta F(\omega) \quad (5.5-2)$$

と表す。ここで、(図 5.8) に示すようにこの回路は入力 $x(t) \rightarrow X(\omega)$ とし、出力は

$$Y_0(\omega) \triangleq F_0(\omega) \cdot X(\omega) \rightarrow y_0(t) \quad (5.5-3)$$

$$Y(\omega) \triangleq F(\omega) \cdot X(\omega) \rightarrow y(t) \quad (5.5-4)$$

である。このとき、本節で採用する評価量、等価標本誤差 ΔF を

$$E \triangleq \sum_{m=-\infty}^{\infty} \{ y(m - T_{an}) - y_0(m - T_{an}) \}^2 \quad (5.5-5)$$

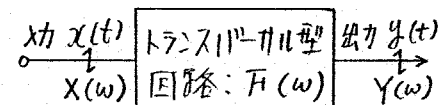
但し、 T_{an} は タイミング位相を表す実定数。

を定義する。これは、標本化定理から 110° -セルの等式を用いて、周波数領域で書く直せり。

$$E = (1/2\pi) \int_{-\pi}^{\pi} \left| \sum_{j=-\infty}^{\infty} \Delta F(\omega + jT_{an}) X(\omega + jT_{an}) e^{j(\omega + jT_{an}) \cdot T_{an}} \right|^2 d\omega \quad (5.5-6)$$

を用いて

得る。トランジistor型回路の偏差 ΔF の代表的な影響とし、式 (5.3-13) を



卷之三

$$\Delta F(w) = A_{11}(w) \sum_{k=0}^{p-1} C_k e^{-j(2p-k)\omega} - \{1-A_{21}(w)\} \sum_{k=p}^N C_k e^{-jk\omega} \quad (5.5-7)$$

2^つあり。この場合、

$$E = \sum_{k,l=0} \sum C_k C_l \cdot \frac{1}{2\pi} \int_{-\pi}^{\pi} |\mathcal{D}_1(\omega)|^2 e^{j(k-l)\omega} d\omega \\ + \sum_{k,l=p}^N C_k C_l \cdot \frac{1}{2\pi} \int_{-\pi}^{\pi} |\mathcal{D}_2(\omega)|^2 e^{j(k-l)} d\omega \\ - 2 \sum_{k=0, l=p}^{p-1} \sum C_k C_l \cdot \frac{1}{2\pi} \int_{-\pi}^{\pi} \operatorname{Re} \left\{ \overline{\mathcal{D}}_1(\omega) \mathcal{D}_2(\omega) e^{j(2p-k-l)\omega} \right\} d\omega \quad (5.5-8)$$

走得了。但心

$$\left. \begin{aligned} D_1(w) &\stackrel{\Delta}{=} \sum_{i=-\infty}^{\infty} A_{11}(w+2i\pi) \cdot X(w+2i\pi) e^{-j(w+2i\pi)\tau_{au}} \\ D_2(w) &\stackrel{\Delta}{=} \sum_{i=-\infty}^{\infty} \{1 - A_{21}(w+2i\pi)\} X(w+2i\pi) e^{-j(w+2i\pi)\tau_{au}} \end{aligned} \right\} \quad (5.5-9)$$

2783。二二七、さらに、偏差の多い3点の基準値を2715.十分良い等化が出来ない。

$$1 = \sum_{k=-\infty}^{\infty} Y_0(\omega + 2ik\pi) e^{-j(\omega + 2ik\pi)} e^{jk\pi} \\ = F_0(\omega) \cdot \sum_{k=-\infty}^{\infty} X(\omega + 2ik\pi) e^{-j(\omega + 2ik\pi)} e^{jk\pi} \quad (15-10)$$

由式(5.5-7)得 $\Phi(\omega) = \frac{1}{2} \left[1 + \frac{1}{\sqrt{1 - \rho^2}} \cos(\omega t_0) \right]$, 式(5.5-8)得 $\Phi(\omega) = \frac{1}{2} \left[1 + \frac{1}{\sqrt{1 - \rho^2}} \cos(\omega t_0) \right]$, 式(5.5-9)得 $\Phi(\omega) = \frac{1}{2} \left[1 + \frac{1}{\sqrt{1 - \rho^2}} \cos(\omega t_0) \right]$.

$$D_1(\omega) = A_{11} / F_o(\omega), \quad D_2(\omega) = (1 - A_{21}) / F_o(\omega) \quad (5.5-11)$$

由表 5-8 可知，若 $\rho_{11}, (1-\rho_{21})$ 为常数，则有 $\rho_{11} = 1$ ，式(5.5-8)即为

2. 相関関数 $(1/2\pi) \int_{-\infty}^{\infty} D_1(\omega) P e^{j\omega w} d\omega$ 等式

$$\frac{1}{2\pi} \int_{-\pi}^{\pi} |D_1(\omega)|^2 e^{j m \omega} d\omega = \frac{|A_{11}|^2}{2\pi} \int_{-\pi}^{\pi} \frac{e^{j m \omega}}{|F_0(\omega)|^2} d\omega = \frac{|A_{11}|^2}{2\pi j} \oint \frac{z^{m-1} dz}{\sum_{k=1}^N C_k C_{\ell} z^{k-\ell}} \quad (5.5-12)$$

練習) $\mathbb{Z}^{m+1}/\{\sum_{k,\ell=0}^N c_k c_\ell z^{k+\ell}\}$ の 単位円周の留数の和を求める。計算出
すよろしく有る。但し、式(5.5-8), (5.5-12) 等、一般の場合は、相当に計算が複雑であ
る。次に、多少、特殊の場合について、具体的な計算結果を示すことにする。

(II) 時間領域標本値への影響（位相等化器の場合）

入力 加、帶域制限で小なり。振幅変遷は好いものとす。即ち、

$$|X(\omega)| = 1 \quad (|\omega| < \pi), \quad 0 \quad (|\omega| > \pi) \quad (5.5-13)$$

∴ たゞ、式(5.5-5) は 2つ目、(5.5-6) は、 $\rho_{11} \neq 0$ のとき。

$$E = (1/2\pi) \int_{-\pi}^{\pi} |\Delta F(\omega)|^2 d\omega \quad (5.5-14)$$

次に表のとおり。特に、 $\Delta F(\omega)$ が 式(5.5-7) のように複数の項からなる場合。

$$\begin{aligned} E &= \sum_{m=-p}^{p-1} \left\{ \sum_{k=\max(0, m)}^{\min(p-1, p-1+m)} C_k C_{k-m} \right\} \frac{1}{2\pi} \int_{-\pi}^{\pi} |A_{11}(\omega)|^2 e^{j\omega k} d\omega \\ &\quad + \sum_{m=-(N-p)}^{N-p} \left\{ \sum_{k=\max(p, p+m)}^{\min(N, N+m)} C_k C_{k-m} \right\} \frac{1}{2\pi} \int_{-\pi}^{\pi} |1 - \rho_{21}(\omega)|^2 e^{j\omega k} d\omega \\ &\quad - 2 \sum_{m=-(N-p)}^p \left\{ \sum_{k=\max(0, 2p-m-N)}^{\min(p-1, p-m)} C_k C_{2p-k-m} \right\} \frac{1}{2\pi} \int_{-\pi}^{\pi} \operatorname{Re} [\overline{A_{11}}(\omega) \{1 - \rho_{21}(\omega)\}] e^{j\omega k} d\omega \quad (5.5-15) \end{aligned}$$

ここで $\rho_{11}, \rho_{21}, (1 - \rho_{21})$ が 定数である場合。

$$E = |A_{11}|^2 \sum_{k=0}^{p-1} C_k^2 + |1 - \rho_{21}|^2 \sum_{k=m}^N C_k^2 - 2 \operatorname{Re} \{ \overline{A_{11}} (1 - \rho_{21}) \} \cdot \sum_{k=\max(0, 2p-N)}^{p-1} C_k C_{2p-k} \quad (5.5-16)$$

を表す。以下、(表 5.1) 以後、上の方程式を用いて、各種偏差に対する影響率を一括して示す。

(i) ダイヤルの偏差 : $C_g \rightarrow C_g + \Delta C_g$

$$E = (\Delta C_g)^2 = \{ \Delta C_g / C_g \}^2 \cdot C_g^2 \quad (5.5-17)$$

(ii) 単位回路の遅延時間の偏差 (累積伝播定数の偏差)

$$\textcircled{1} \quad T_p = 1 \rightarrow 1 + \delta$$

$$\begin{aligned} E &= 2 \left\{ 1 - \frac{\sin \delta \pi}{\delta \pi} \right\} \sum_{k=p}^N C_k^2 + 4 \delta \sin \delta \pi \sum_{m=1}^{N-p} \left\{ \sum_{k=p+m}^N C_k C_{k-m} \right\} \frac{(-1)^m}{m^2 \pi + \delta^2} \\ &\doteq \left[(\pi^2/3) \sum_{k=p}^N C_k^2 + 4 \sum_{m=1}^{N-p} \left\{ \sum_{k=p+m}^N C_k C_{k-m} \right\} (-1)^m / m^2 \right] \cdot \delta^2 \quad (5.5-18) \end{aligned}$$

$$\textcircled{2} \quad T_p = 1 \rightarrow 1 + \delta / \omega$$

$$E \doteq \left[(\pi^4/5) \sum_{k=p}^N C_k^2 + 4 \sum_{n=1}^{N-p} (-1)^n (\pi^2/m^2 - 6/m^4) \left\{ \sum_{k=p+n}^N C_k C_{k-n} \right\} \right] \cdot \delta^2 \quad (5.5-19)$$

(iii) 影像位置の偏差 : $R_p = R \rightarrow R + \Delta R = (r, r)$

$$E \doteq (1/2) \left\{ \sum_{k=0}^{p-1} C_k^2 - \sum_{k=2}^{p-1} C_k C_{k-2} \right\} (r/R)^2 \quad (5.5-20)$$

(iv) ダイヤル構成可変増幅器の入力アドミタンスの偏差 : $y_g = 0 \rightarrow y_g (> 0)$

$$E \doteq \left\{ \sum_{k=0}^N C_k^2 + 2 \sum_{k=\max(0, 2g-N)}^{2g-1} C_k C_{2g-k} \right\} \{ y_g R / (2 + y_g R) \}^2 \quad (5.5-21)$$

但し、 $g = 0$ のとき、 $\sum_{k=\max(0, 2g-N)}^{2g-1} C_k C_{2g-k} = 0$ となる。

(V) 始終端抵抗の偏差

$$\textcircled{1} \quad R_s = R \rightarrow R+r$$

$$E = \left\{ \frac{r}{(2R+r)} \right\}^2 \sum_{k=0}^N C_k^2 \quad (5.5-22)$$

$$\textcircled{2} \quad R_L = R \rightarrow R+r$$

$$E = \left\{ \frac{r}{(2R+r)} \right\}^2 \sum_{k=0}^N C_k^2 \quad (5.5-23)$$

(vi) 集合全般多次全域通過回路を単位回路に用いた場合、但し、偏差の起る位置は複数個である。多次全域通過回路の伝達関数は、帯域内 $(-\pi, \pi) \times$ 理想遮断線 $(e^{-j\omega})$ を十分よく近似できるものとする。

① p番目の単位回路への半一杯損失付加 (i.e. $L \rightarrow L(H\delta_e/j\omega)$, $C \rightarrow C(H\delta_c/j\omega)$)

$$\begin{aligned} E &= (\delta_e - \delta_c)^2 \frac{1}{8\pi} \left[(2S_i 2\pi) \sum_{k=0}^{p-1} C_k^2 + \{(m+2)S_i(m+2)\pi + (m-2)S_i(m-2)\pi - 2mS_i m\pi\} \sum_{m=1}^{p-1} \left\{ \sum_{k=m}^{p-1} C_k C_{k-m} \right\} \right] \\ &\quad + (\delta_e + \delta_c)^2 (1/4) \sum_{k=p}^N C_k^2 \\ &\quad - (\delta_e^2 - \delta_c^2) \frac{1}{4} \left[\sum_{m=-(N-p+1)}^p \{S_i m\pi - S_i(m-2)\pi\} \left\{ \sum_{k=\max(0, 2p-m-N)}^{\min(p-1, p-m)} C_k C_{2p-k-m} \right\} \right] \end{aligned} \quad (5.5-24)$$

$$\text{但し}, \quad S_i x \triangleq \int_0^x (\sin t/t) dt$$

② p番目の単位回路の半一杯系数子偏差 (i.e. $L \rightarrow L(H\delta_e)$, $C \rightarrow C(H\delta_c)$)

$$\begin{aligned} E &= (\delta_e - \delta_c)^2 (1/8) \left\{ \sum_{k=0}^{p-1} C_k^2 - \sum_{k=2}^{p-1} C_k C_{k-2} \right\} \\ &\quad + (\delta_e + \delta_c)^2 (1/4) \left[(\pi/3) \sum_{k=p}^N C_k^2 + 4 \sum_{m=1}^{N-p} \left\{ \sum_{k=p+m}^N C_k C_{k-m} \right\} (-1)^m / m^2 \right] \\ &\quad - (\delta_e^2 - \delta_c^2) \frac{1}{8} \left[\sum_{k=\max(0, 2p-N)}^{p-1} C_k C_{2p-k} + \sum_{k=\max(0, 2p-2-N)}^{p-2} C_k C_{2p-2-k} + 4 \sum_{m=-(\N-p+1)}^p \frac{(-1)^{m+1}}{m(m-2)} \left\{ \sum_{k=\max(0, 2p-N-k)}^{\min(p-1, p-m)} C_k C_{2p-N-k} \right\} \right] \quad (5.5-25) \\ &\quad m \neq 0, 2 \end{aligned}$$

ここで、上の結果を \rightarrow 12. 以下の諸統計値を計算する。
(i) E は $\Delta \approx 7^\circ$ の偏角の大きさで $\Delta \approx 2^\circ$ 未満、その位置にはよらない。
(ii) E は (i), (ii) の場合と δ の正負によらず、偏角の生じる単位回路の位置 δ の絶対値で $\Delta \approx 2^\circ$ 未満。
(iii) の場合と (ii) と同様である。
又、(iv) E は始終端抵抗の偏差が小さいも、同一の累積値を有する。
(v) E は半一杯偏差 (*i.e.* $\delta_e = \delta_c$ または $\delta_e = -\delta_c$) の場合は、式 (5.5-24), (5.5-25) は、第1項及第3項は消え、第2項が H が残る。
(vi) E は半一杯偏差 (*i.e.* $\delta_e = \delta_c$ または $\delta_e = -\delta_c$) の場合は、通常の等価電抗の概ね $\Delta \approx 3^\circ$ 未満、中央タップのタップ角が得られる。

さらに、通常の等価電抗の概ね $\Delta \approx 3^\circ$ 未満、中央タップのタップ角が得られる。

C_k と C_{k-i} の場合には、(ii), (iii), (iv), (vi) の $\sum_k C_k^2$ の項に対する $\sum_k C_k C_{k-i}$ と $\sum_k C_k^2$ の項は比較的小さくなるのが普通である。Eを周する主要な部分は前者の総和である。又、 $\sum_k C_k^2$ の項では、その総和に大きなタップ利得を有する中央タップが入るか否かで大きくかほりが決まる。偏差のない状態で十分良好な等化を行なうためには山は $\sum_{k=0}^N C_k^2 \approx (1/2\pi) \int_{-\pi}^{\pi} |F_0(\omega)|^2 d\omega \approx 1$ が成り立つ。2つの条件から、中央タップが全総和に合する山は $\sum C_k^2 \approx 1$ 、合す山は $\sum C_k^2 \approx 0$ といふことか、非常に大きな山は見出されないことがわかった。

(Ⅲ) 計算例

第3章と同じく、希望特性を

$$G(\omega) = e^{-j a \sin b \omega}, \quad (|\omega| < \pi)$$

そして、(i) タップ 7° の $N=10$ の 3 端子回路

$$F_0(\omega) = \sum_{n=0}^N C_n e^{-j n \omega}$$

2° 最小二乗近似、BPS

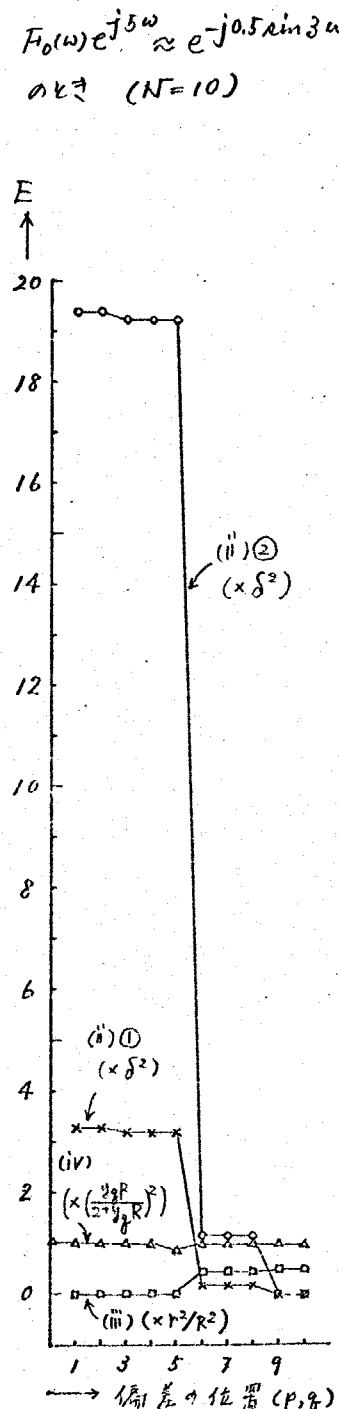
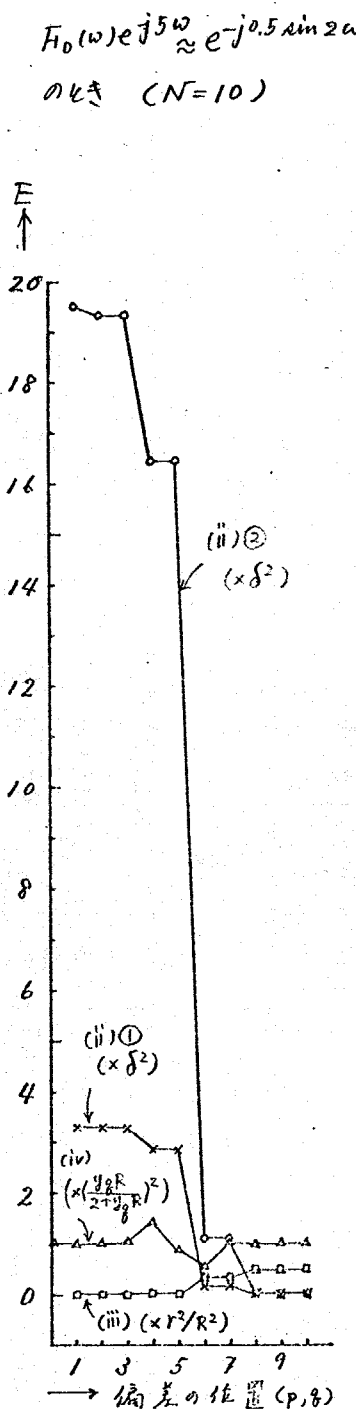
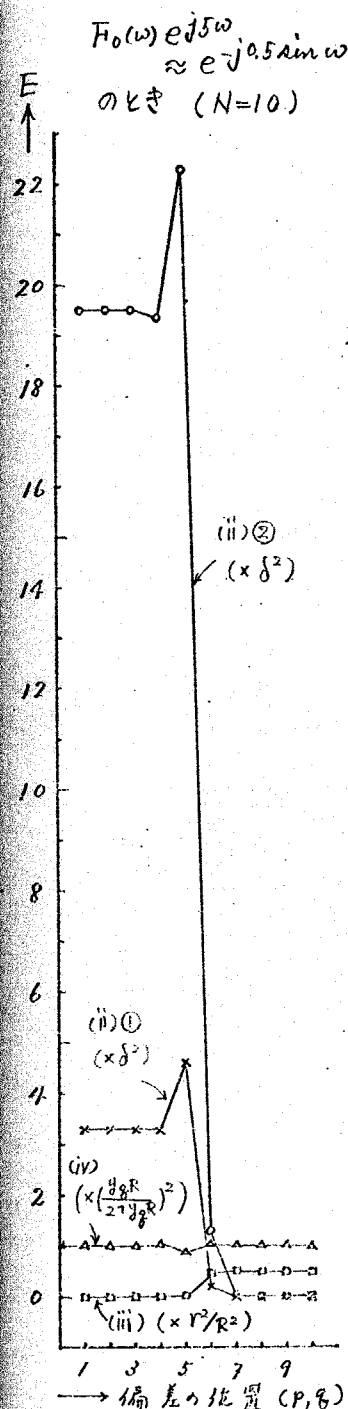
$$\epsilon \triangleq (1/2\pi) \int_{-\pi}^{\pi} |F_0(\omega) e^{j \omega T_{au}} - G(\omega)|^2 d\omega \rightarrow \text{最小}$$

ここで、タップ 7° の $N=10$ の場合、 $N=10$, $T_{au}=5$ の場合 2°, $a=0.5$, $b=1, 2, 3$ の各場合について計算した結果である。この3つの例では、中央タップ 7° C_5 が他の比で大きく、又、(ii), $\sum_{k=0}^{10} C_k^2 \approx 1$ が成立する。

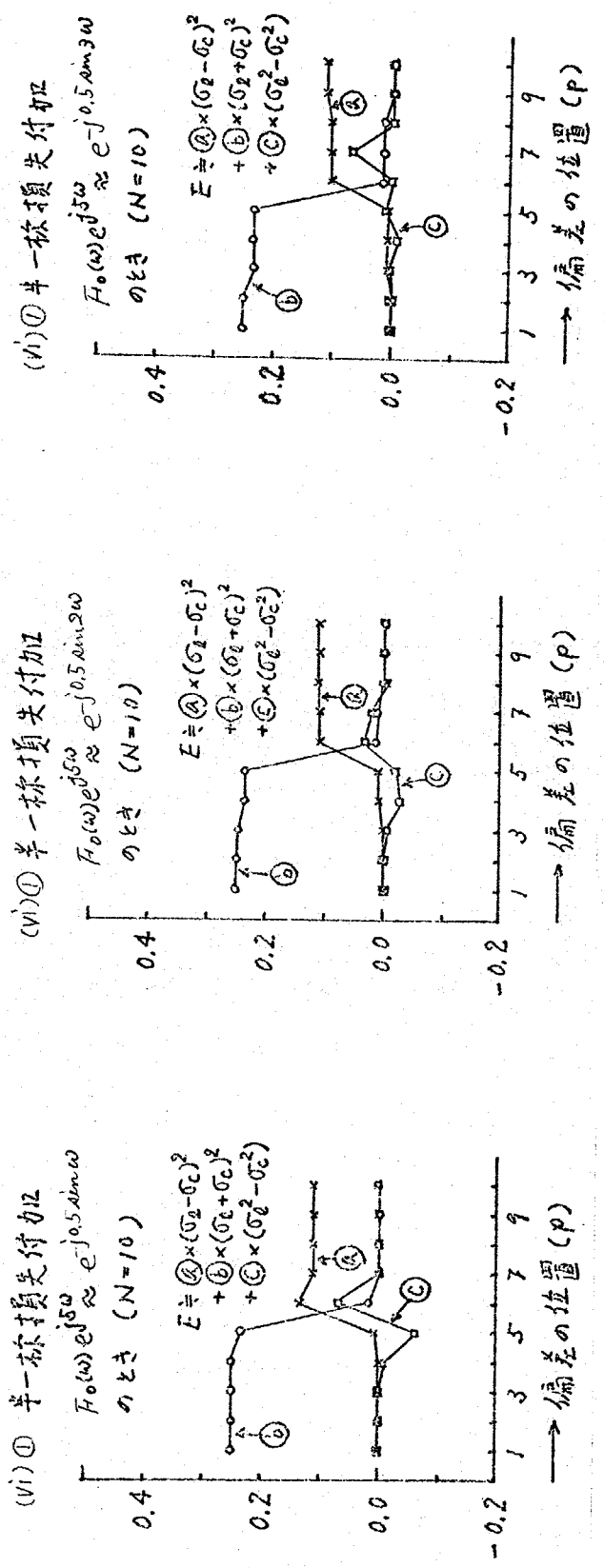
(図5.9) は、(i) ①, ②, (iii), (iv) の計算結果である。まず (i) 2° 述べた考察によく一致しており、偏差の種類及び、偏差の位置により、Eの値と大きさの特徴があり興味深い。即ち、(ii) 2° は、Eを周する主要項は、式(5.5-18), (5.5-19) 2°, $\sum_{k=p}^N C_k^2$ 2° あり。 $p=1 \sim 5$ 2° は、ほり 1, $p=6 \sim 10$ 2° は、非常に小さな値となることが予想される。(図5.9) の結果とよく合っている。さらには、(ii) ① 2° は、 $(\pi^2/3) \div 3.3$, ② 2° は、 $(\pi^4/5) \div 19.5$ 2° あり。数値的によく一致を見せる。 (iii) 2° は、逆に、式(5.5-20) 2°, Eを周する主要項は、 $\frac{1}{2} \sum_{k=0}^{p-1} C_k^2$ 2° あり。 $p=1 \sim 5$ 2° は、非常に小さく、 $p=6 \sim 10$ 2° は、ほり 0.5 と著しくなるが、この場合も、(図5.9) の結果とよく一致をみる。 (iv) の主要項は、式(5.5-21) から、 $\sum_{k=0}^N C_k^2 \approx 1$ 2° ほり一定 2° あり。偏差の位置によらず常にこの場合である。(図5.9) の計算結果は、概ねよく合っていると見える。

(図5.10) (a), (b) K, (vi) の場合の計算結果を示す。この場合 T, 式(5.5-24)
 (5.5-25) K および EK は主要項目。第1項の $\sum_{k=0}^{p-1} C_k^2$ は、第2項の $\sum_{k=p}^N C_k^2$
 と比較され、前者は $p=1 \sim 5$ の場合、後者は $p=6 \sim 10$ の場合とされる。
 (図5.10) (a), (b) K は $K = 2t$, エントロピー $-T \ln T$ の算出が得られる。2, (図5.10)
 の (a), (b) を比較して、半一枚植付かれた比で、半一枚養子偏りの場合の方が。
 $\delta_e = \sigma_e$, $\delta_c = \sigma_c$ となると、E が大きくなる。即ち時間領域標本値への影響が大きい
 ことである。又 K, (図5.9) および (図5.10) を合せて見て場合、(ii) (2) の偏
 差が最も顕著な影響を及ぼすことが可知する。

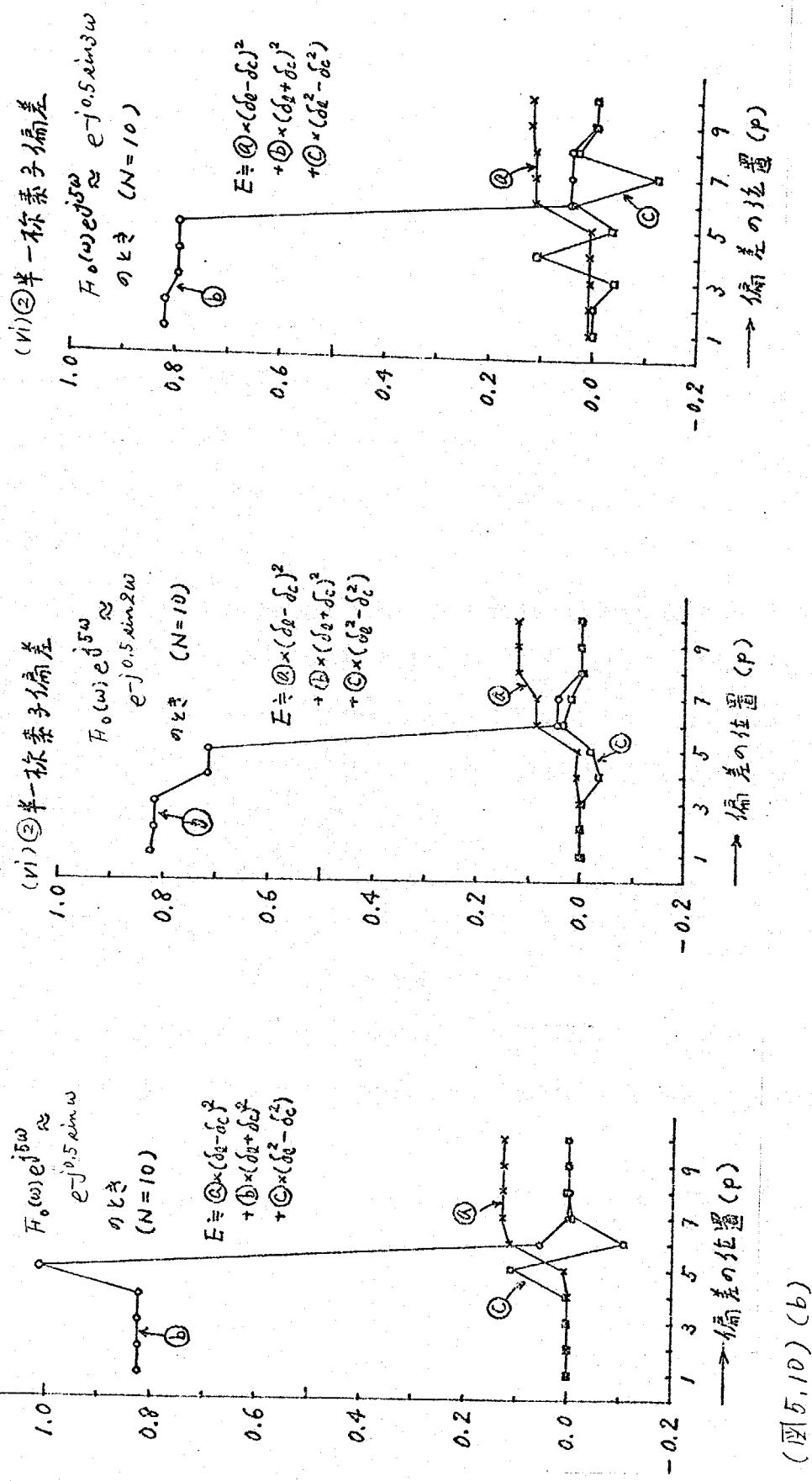
尚、以上計算結果 (図5.9) (図5.10) は、本節 (II) で示した近似式に基づく
 ところである。一次近似による偏差解析が十分よく近似を与えたと見て可い
 は、本節の計算結果と比較する。本節の計算結果 (図5.9) (図5.10) が得
 たる結論は、十分信頼出来ると言えられる。



(図5,9)



(VI) ② 半一極素子偏差



(125, 10) (b)

5.6. 偏差の分類

本節では、トランスミッターカル型回路の各種構成パラメータの偏差に対する、その影響が、タップ利得の調整によって補償出来るか否により、偏差の種類を分類すると提案する。タップ利得の調整による補償と、うな観点に立つ理由は、トランスミッターカル型回路が、可変等化器等と比べて用ひられることは少く、タップ利得が可変である場合が多いと思われるからである。

まず、タップの数を増やすなどすると、5.3節に述べた結果(式(5.3-1)～式(5.3-11))から、タップ利得の調整によって補償出来ない偏差は、(i)タップ利得の偏差、(ii)①始端抵抗の偏差に限らずと若しくある。その他の場合、偏差の影響は全周波数帯域において零にはならないとすると、例えば、(iii)では、 $\sum_{k=p}^N C_k e^{-jk\omega} \equiv 0$ とだけれども“ならず”。一般にこれは、 $C_k = 0$ ($k = p \sim N$) を意味し、補償不可能である。

次に、タップ数を増やすことを許した場合を問題にすると、これは、第3章と密接に関連し、もともとトランスミッターカル型回路が近似帯域を有する一種の実現法の完全性を、パラメータの偏差が損失か否かという問題になる。これに関しては、トランスミッターカル型回路が有する一種の実現法の完全性を損失と若しく報告があり⁽²⁹⁾、又、手近かな限りとしては、

- 全ての遅延線が $T \rightarrow T - \delta$ ($\delta > 0$) に偏差して場合。この場合、T-11級組合の固有周期が広がることになり、タップ数を増やせば、タップ利得の調整によって近似度をいくらでも上げることが出来る。
- 全ての遅延線が $T \rightarrow T + \delta$ ($\delta > 0$) に偏差して場合。T-11級組合の固有周期が狭くなる。タップ数を増やし、タップ利得を調整しても、近似誤差が小さくなることが起る。

といった異種の偏差が存在する事実もあり、興味深い問題と思われる。

これは、上に述べたように異種の偏差が存在することを指摘し、タップ数を増し且つ、タップ利得を調整して、偏差の影響が補償出来るか否かによる偏差の分類を提案するに留め、これに関する検討は、今後の課題として残しておくことにする。

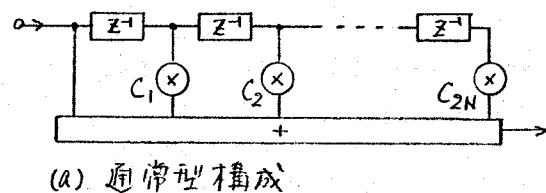
5.7 統計的偏差が伝達特性に及ぼす影響

本節では、偏差が統計的ばらつきをもつ場合について多くの考察を行う。即ち、タップ⁰利得が設計値を中心として一様にはらつくと仮定した場合について、それが伝達特性に与える影響を、現実の特性と理想特性の差の2乗絶対値の平均で評価することにし、通常型構成と、⁽²⁸⁾2次系統型構成の比較を行ふことを目的とする。これは、タップ⁰利得の打ち切り誤差や、信号の量子化誤差を統計的に評価したことと相当すると考えられ、考察の価値が十分あるものと若し。

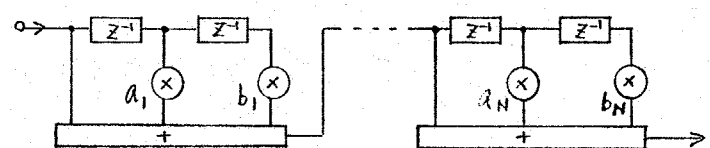
— 通常型構成と2次系統型構成の比較 —

(図5.11) (a) 通常型構成の構造

1) 1次型回路と、2次系統型構成の例を示す。図(b)示すように、(a)は、兩者の比較を行ふ為に、タップ⁰の数が兩者で一致するよう $C_0 = 1$ として固定し、 C_n に度付くのは、ばらつきを仮定したこととする。



(a) 通常型構成



(図5.11) (b) 2次系統型構成

さて、タップ⁰利得の設計値を C_n で表し、現実のはらつきをもつタップ⁰利得を C_{nA} で表すことにし、 C_{nA} は次のように表すものと仮定する。

$$C_{nA} = C_n (1 + \Delta \cdot x_{C_n}) \quad (5.7-1)$$

ここで、 Δ は、はらつきの半偏を表し、 x_{C_n} は、 $(-1, 1)$ の一様分布確率変数で、互いに独立とする。即ち、結合確率密度関数を $P(x_{C_1}, x_{C_2}, \dots, x_{C_{2N}})$ とすると、

$$\begin{aligned} p(x_{C_1}, x_{C_2}, \dots, x_{C_{2N}}) &= \prod_{n=1}^{2N} P_m(x_{C_n}) \\ P_m(x_{C_n}) &= \begin{cases} 1/2 & |x_{C_n}| < 1 \\ 0 & |x_{C_n}| > 1 \end{cases} \end{aligned} \quad (5.7-2)$$

加減算を行ふものとする。又、系統鏡分解の場合の a_i, b_i ($i=1 \sim N$) は、互いに全く同じであると仮定する。

2) 以上に對応して、通常型構成による設計値 C_n の伝達割引及び現実の

伝達関数を、

$$K_I(z^{-1}) \triangleq 1 + \sum_{m=1}^{2N} C_m z^{-m} \quad (z^{-1} \triangleq e^{-j\omega T}) \quad (5.7-3)$$

$$K_A(z^{-1}) \triangleq 1 + \sum_{m=1}^{2N} C_m (1 + \Delta \cdot x_m) z^{-m} \quad (z^{-1} \triangleq e^{-j\omega T}) \quad (5.7-4)$$

とおく。これらは、これを、系統統型構成による場合のものと、それと並んで、

$$H_I(z^{-1}) \triangleq \prod_{i=1}^N H_{i,I}(z^{-1}) \quad (\equiv K_I(z^{-1})) \quad (5.7-5)$$

$$H_{i,I}(z^{-1}) \triangleq 1 + a_i z^{-1} + b_i z^{-2}$$

$$H_A(z^{-1}) \triangleq \prod_{i=1}^N H_{i,A}(z^{-1}) \quad (z^{-1} \triangleq e^{-j\omega T}) \quad (5.7-6)$$

$$H_{i,A}(z^{-1}) \triangleq 1 + a_i (1 + \Delta \cdot x_{ai}) z^{-1} + b_i (1 + \Delta \cdot x_{bi}) z^{-2}$$

とおくことにする。

ここで、通常型構成による場合の誤差及び、系統統型構成による場合の誤差を E 、 F と表すことにし、 E 、 F を

$$E \triangleq K_A(z^{-1}) - K_I(z^{-1}) \quad (5.7-7)$$

$$F \triangleq H_A(z^{-1}) - H_I(z^{-1}) \quad (5.7-8)$$

Z 定義する。このとき、 $\langle \cdot \rangle Z$ 平均を表すとするには、

$$\langle E \rangle = 0 \quad (5.7-9)$$

$$\langle F \rangle = 0 \quad (5.7-10)$$

が成り立つことは、簡単に示さる。以下では、 E 及び F の 2乗絶対値の平均

$$\langle |E|^2 \rangle = \langle |K_A|^2 \rangle - |K_I|^2 \quad (5.7-11)$$

$$\langle |F|^2 \rangle = \langle |H_A|^2 \rangle - |H_I|^2 \quad (5.7-12)$$

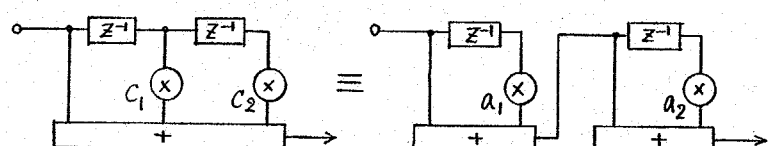
を評価量とし、用ひることにし、通常型構成と、系統統型構成の比較を行なうとする。まず、最も簡単な場合の例について考える。

(例題-1) (図5.12)に対する、2

次のトランスリード-ゲル型回路とく

れを、1次系統統型構成とし

場合を考えよと、



(図5.12) 2次トランスリード-ゲル型回路とその1次分解。

$$C_1 = a_1 + a_2, \quad C_2 = a_1 a_2 \quad (5.7-13)$$

が成り立つことを注意すると、簡単な計算により

$$\langle |E|^2 \rangle = (\Delta^2/3) (C_1^2 + C_2^2) \quad (5.7-14)$$

$$\langle |F|^2 \rangle = (\Delta^2/3) (C_1^2 + C_2^2) + (\Delta^2/3) \cdot C_2 \{ C_2 - 2 + 2C_1 \cos \theta \} + (\Delta^4/9) C_2^2 \quad (5.7-15)$$

$$\text{但し, } \cos \theta \triangleq (Z+Z^{-1})/2 \quad Z \triangleq e^{-j\omega T}$$

得る。以上比較すれば、

$$\max_{\theta} \langle |F|^2 \rangle = (\Delta^2/3) (C_1^2 + C_2^2) + (\Delta^2/3) (C_2^2 - 2C_2) + (\Delta^4/9) C_2^2 + (\Delta^2/3) \cdot 2|C_1 \cdot C_2|$$

$$\min_{\theta} \langle |F|^2 \rangle = (\Delta^2/3) (C_1^2 + C_2^2) + (\Delta^2/3) (C_2^2 - 2C_2) + (\Delta^4/9) C_2^2 - (\Delta^2/3) \cdot 2|C_1 \cdot C_2|$$

$\therefore \langle |E|^2 \rangle$ の大きさは、(5.7-14)と(5.7-15)より

$$\textcircled{1} \quad \langle |E|^2 \rangle \geq \max_{\theta} \langle |F|^2 \rangle \text{ の領域}$$

$$(\Delta^2/3) (C_2^2 - 2C_2) + (\Delta^4/9) C_2^2 + (\Delta^2/3) \cdot 2|C_1 \cdot C_2| \leq 0 \quad (5.7-16)$$

$$\textcircled{2} \quad (\max_{\theta} \langle |F|^2 \rangle \geq) \quad \langle |E|^2 \rangle \geq \min_{\theta} \langle |F|^2 \rangle \text{ の領域}$$

$$(\Delta^2/3) (C_2^2 - 2C_2) + (\Delta^4/9) C_2^2 - (\Delta^2/3) \cdot 2|C_1 \cdot C_2| \leq 0 \quad (5.7-17)$$

$$\textcircled{3} \quad \min_{\theta} \langle |F|^2 \rangle \geq \langle |E|^2 \rangle \text{ の領域}$$

$$(\Delta^2/3) (C_2^2 - 2C_2) + (\Delta^4/9) C_2^2 - (\Delta^2/3) \cdot 2|C_1 \cdot C_2| \geq 0 \quad (5.7-18)$$

今、(5.7-14)と(5.7-15)を図示する。(5.13)によると、(a)は、 C_1, C_2 が
共に正のとき、(5.7-14)と(5.7-15)は、1次系統分解(たとえば、 a_1, a_2 が実数とする)
とき、 $C_2 \leq C_1^2/4$ のとき小はくと、それ以上は大きい。 a_1, a_2 が複数のとき、
(b)は、 a_1, a_2 が複数のとき、(5.7-14)と(5.7-15)は、1次系統分解による構成か、全ての帯域
を渡る。通常型構成より優れることは、(1)の領域で、 a_1, a_2, \dots は、 C_1, C_2
がかり、小さな所と限らず大きな所とが分る。

(13.1-1. 終)

次に、(5.11)と(5.12)、通常型構成と、2次系統型構成の場合について、一般的な考察を行う。この場合も、式(5.7-4), (5.7-6)より、 x_{cm}, x_{ai}, x_{bi} が $(-1, 1)$
を一様に分布する独立な確率変数とすると、簡単な計算により、

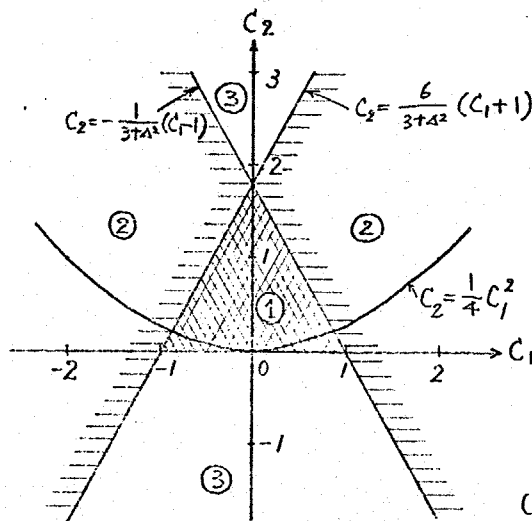
$$\langle |E|^2 \rangle = (\Delta^2/3) \sum_{m=1}^{2N} C_m^2 \quad (5.7-19)$$

$$\langle |F|^2 \rangle = |H_i|^2 \left\{ \sum_{i=1}^N P_i + \sum_{i < j} P_i P_j + \sum_{i < j < k} P_i P_j P_k + \dots + \prod_{i=1}^N P_i \right\} \quad (5.7-20)$$

$$\text{但し, } P_i \triangleq \frac{\Delta^2}{3} - \frac{a_i^2 + b_i^2}{|H_{i,i}|^2} \quad (i=1 \sim N) \quad (5.7-21)$$

を得る。一方、(5.11)の通常型構成と2次系統型構成とのトランスヒゲン

(13.1-1)



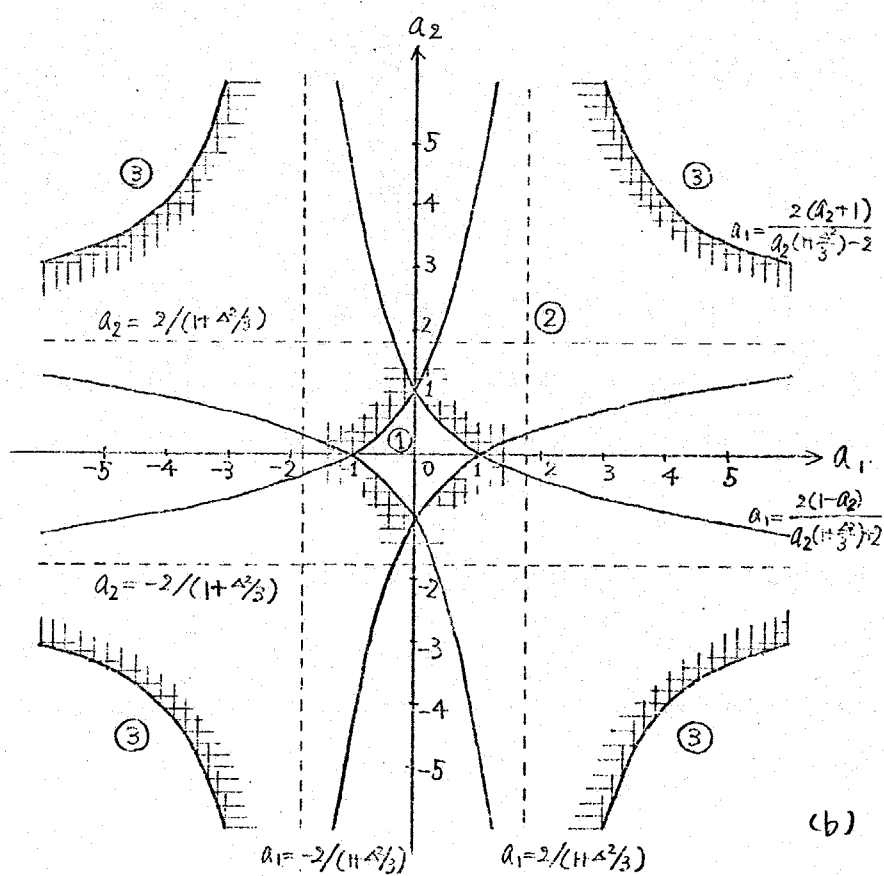
$$\textcircled{1} \quad \langle |E|^2 \rangle \geq \max \langle |F|^2 \rangle$$

$$\textcircled{2} \quad \max \langle |F|^2 \rangle$$

$$\geq \langle |E|^2 \rangle \geq \min \langle |F|^2 \rangle$$

$$\textcircled{3} \quad \min \langle |F|^2 \rangle \geq \langle |E|^2 \rangle$$

(a)



(b)

(図5.13) 通常型構成と3次トランスヒル型回路との1次従属性構成の比較

型回路各々、 \bar{H}_j の伝達度は各有り ($H_j = K_j$) から、 $\sum H_j^2 \propto \sum K_j^2$ が得られる。従屬回路加算式。

$$\left. \begin{aligned} C_1 &= \sum_{i=1}^N a_i \\ C_2 &= \sum_{i=1}^N b_i + \sum_{i < j} a_i a_j \\ C_3 &= \sum_{i < j} (a_i b_j + a_j b_i) + \sum_{i < j < k} a_i a_j a_k \\ C_4 &= \sum_{i < j} b_i b_j + \sum_k b_k \left\{ \sum_{i < j, i, j \neq k} a_i a_j \right\} + \sum_{i < j < k < l} a_i a_j a_k a_l \\ &\vdots \\ C_{2N} &= \prod_{i=1}^N b_i \end{aligned} \right\} \quad (5.7-22)$$

が成立りうことになる。

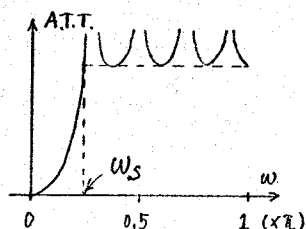
したがって、式(5.7-22)を式(5.5-13)と(12)、式(5.5-19)の $\langle |E|^2 \rangle$ と式(5.5-20)の $\langle |H|^2 \rangle$ の大小を比較してみよう。一般的に論じるのは(例1-1)が3次以上困難なようだ。次に計算例による比較例を示し、その後多少特別な場合と理論的考察を併せて記す。尚、式(5.5-20)及び(5.5-21)から分子より△が十分小さければ

$$\begin{aligned} \langle |H|^2 \rangle &\stackrel{(5.7-23)}{\approx} |H|^2 \sum_{i=1}^N P_i \\ &\equiv \sum_{i=1}^N Q_i \end{aligned}$$

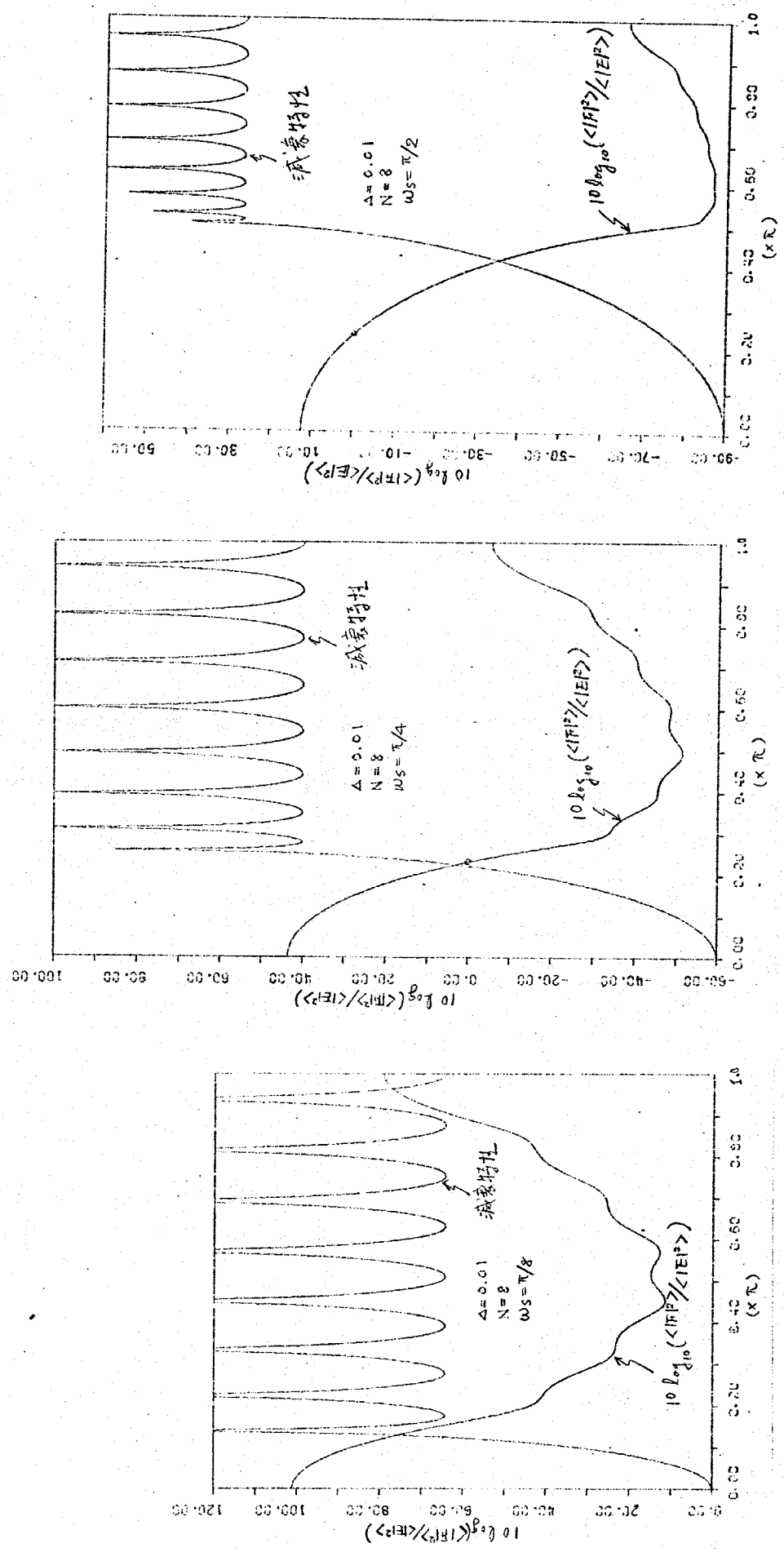
$$\text{但し, } Q_i \stackrel{(5.7-24)}{\approx} (\Delta^2/3) (a_i^2 + b_i^2) \prod_{j \neq i} |H_{j,i}|^2$$

が近似的に成立つと考えられ、これから、 $\prod_{j \neq i} |H_{j,i}|^2$ の減衰の大きさが $\langle |H|^2 \rangle$ の大きさとなることが予想される。この事実は次の計算例にてより理解出来るだろう。

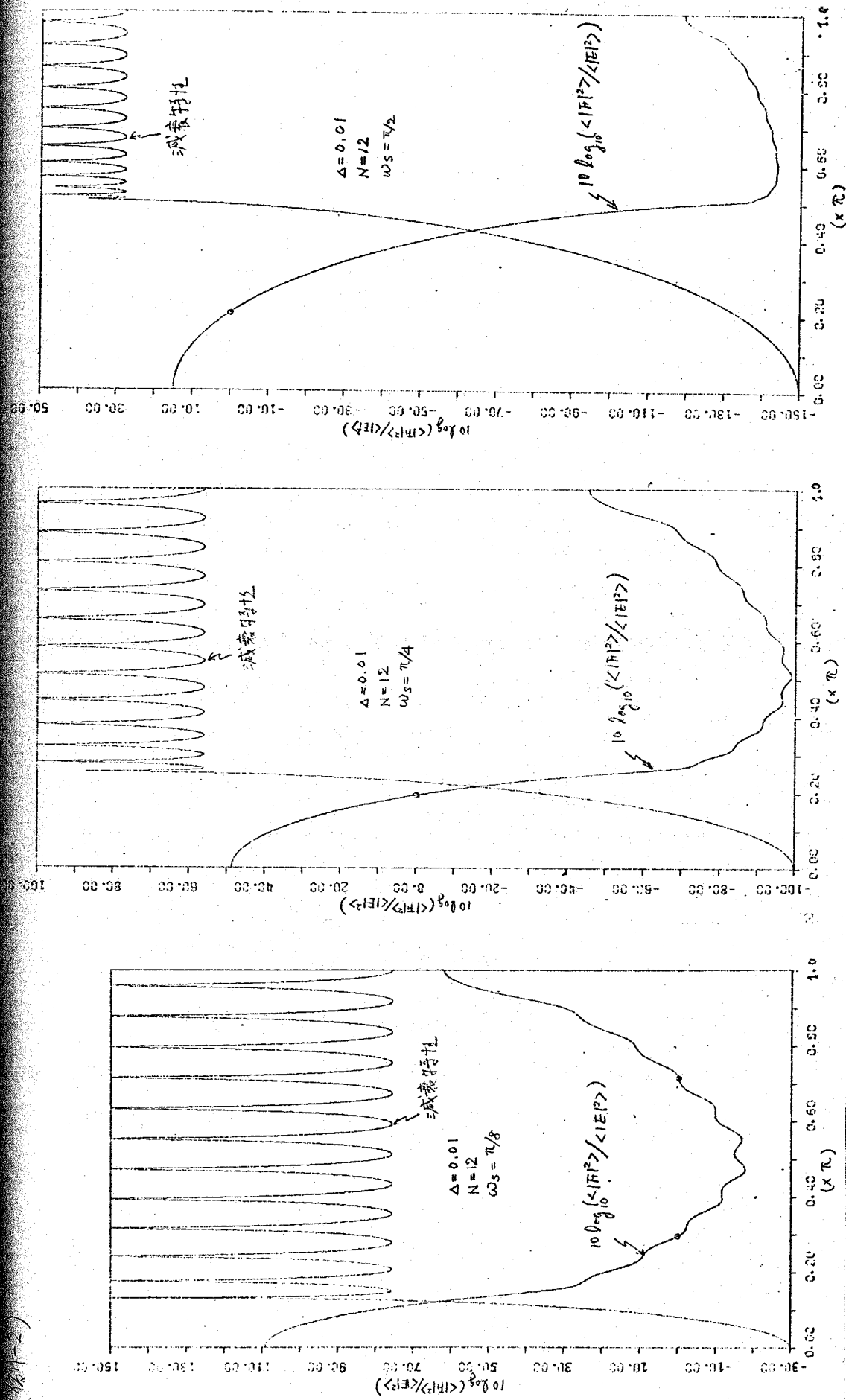
(例1-2) 線型位相阻抗域を持つシフ特性のトランスII-カーブ型フィルタを考究し、通常型構成と、2次系統統型構成による場合の比較を行ふ。(図5.15)(a), (b) は、 $\Delta=0.01$ とし、 $N=8$ 及び $N=12$ の場合について、 $\omega_s = \pi/8, \pi/4, \pi/2$ とし、 $\langle |E|^2 \rangle$ 及び $\langle |H|^2 \rangle$ を比較する。但し、 ω_s の定義は(図5.14)を参照せよ。図5.15(a), (b) から云ふことは、一般に通過帯域内では、2次系統統型構成の方が劣る、つまり、特性(図5.14) ω_s の定義



(13)(2)



(図5.15)(a) 分型位相阻抗域を示すトランジistor型モデル
通常型構成と2次系統型構成の比較 (減衰特性の単位はデシベル, 1 目盛 10 dB)



(図5.15)(b) 系統型位相遮止域におけるエラストシティ Γ_{12} の共振型分布図
通常型構成の2次系統模型基底の比較。
(減衰特性の単位は、度・ヘル.1目盛10dB.)

w_s が小さな場合、その傾向が顕著である。又、減衰域では、2次統続型構成の方がほとんどの場合、緩和されると言えども、これは必ずしも必ずしもである。特に減衰域における、2次統続型構成の方が緩和されると言えども、これは、諸長制限された FIR ディジタルフィルタのため、2次統続型構成の方が緩和されると言えども、減衰量が大きくなるという結果⁽³²⁾ と一致する。興味深い。

(5.11-2. 終)

最後に、多少特別な場合を除く、通常型構成と2次統続型構成の比較。 $\langle |E|^2 \rangle$ 及び $\langle |H|^2 \rangle$ の大小について観察から考察する。まず、仮定と 12、(图 5.11) の回路 Z 、各 2 次区間は線形位相 $0 - 11^\circ S$ であるとした。即ち、

$$b_i = 1 \quad (i=1 \sim N) \quad (5.7-25)$$

$$|H_{i,i}(e^{-j\omega T})|_{\omega=0} \geq |H_{i,i}(e^{-j\omega T})|_{\omega \neq 0} \quad (i=1 \sim N) \quad (5.7-26)$$

が成立する。次に、これらの条件から、各 2 次区間 Z 、

$$a_i \geq 0 \quad (i=1 \sim N) \quad (5.7-27)$$

が得られる。又、この通常型構成のラスバーカル型回路全体も線形位相 $0 - 11^\circ S$ である。式(5.7-22) から、その $-11^\circ S$ が得られる。

$$c_i \geq 0 \quad (i=1 \sim 2N) \quad (5.7-28)$$

が成立することに注意すべし。又、 $0 - 11^\circ S$ 特性といふことから、特に帯域内の特性がより重要と考えられ、代表と 12、直流点 ($\omega=0$ 、又は $Z=1$) に注目し、 $\langle |E|^2 \rangle$ 及び $\langle |H|^2 \rangle$ の大きさを比較するべし。すると、式(5.7-23) から、

$$\begin{aligned} \langle |E|^2 \rangle_{\omega=0} &> (\Delta^2/3) \sum_{i=1}^N \left\{ (a_i^2 + b_i^2) \prod_{j \neq i} |H_{j,j}|_{\omega=0}^2 \right\} \\ &= (\Delta^2/3) |H_1|_{\omega=0}^2 \cdot \sum_{i=1}^N \frac{a_i^2 + b_i^2}{(1 + a_i + b_i)^2} \end{aligned} \quad (5.7-29)$$

が得られる。さらに、式(5.7-25) (5.7-27) が満足されば、

$$1/5 \leq (a_i^2 + b_i^2) / (1 + a_i + b_i)^2 \leq 1 \quad (5.7-30)$$

が成立する。

$$|H_1|_{\omega=0}^2 = (1 + \sum_{i=1}^{2N} c_m)^2 \quad (5.7-31)$$

を注意すれば、容易に

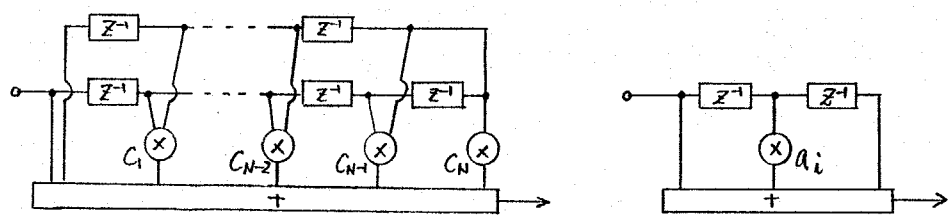
$$\langle |E|^2 \rangle_{\omega=0} > (\Delta^2/3) (1 + \sum_{i=1}^{2N} c_m)^2 (N/5) \quad (5.7-32)$$

を得る。よって、式(5.7-19)と合わせて、式(5.7-28)が満足される。

$$\frac{\langle |H|^2 \rangle}{\langle |E|^2 \rangle} \Big|_{\omega=0} > \frac{N}{5} \cdot \frac{(1 + \sum_{m=1}^{2N} C_m)^2}{\sum_{m=1}^{2N} C_m^2} > \frac{N}{5} \quad (5.7-33)$$

を得る。即ち、 $N \geq 5$ の時は、常に $\langle |H|^2 \rangle_{\omega=0} > \langle |E|^2 \rangle$ である。線型位相2次オーパス区間5区間以上では、 $\omega=0$ の常に、2次系統構成の方が通常型構成より劣る、ことはうなづく。この点(例題2)の(図5.15)の計算例が現れていった。

尚、線型位相
アルゴリズムを仮定した場合
で、(図5.16)に示
すような構造の
トランジスタ型回路



(図5.16) (a) 線型位相トランジスタ型回路 (b) 2次区間

路2. 構成出来、最初から、この構造を仮定して方程式を自然と導かれる。この場合だけは、

$$\langle |E|^2 \rangle = (\Delta^2 / 3) \sum_{n=1}^N C_n^2 \quad (5.7-19')$$

$$\langle |H|^2 \rangle = |H_I|^2 \left\{ \sum_{i=1}^N R_i^2 + \sum_{i < j} R_i R_j + \cdots + \prod_{i=1}^N R_i \right\} \quad (5.7-20')$$

$$\text{但し}, R_i \cong (\Delta^2 / 3) \cdot a_i^2 / |H_{i,I}|^2 \quad (i=1 \sim N) \quad (5.7-21')$$

となるが、上述の議論の通り、式(5.7-30)に対応する不等式が

$$0 \leq a_i^2 / (2 + a_i)^2 \leq 1$$

となり、式(5.7-33)に対応する不等式を得るとは出来ない。

又、逆に、(図5.11)2. 掛算器を置かない、タップ (例えは、 C_0 が零とせば) かつ全2掛算器が入るとしてすると、式(5.7-33)に対応する不等式となる。

$$\frac{\langle |H|^2 \rangle}{\langle |E|^2 \rangle} \Big|_{\omega=0} > \frac{3}{5} N \quad (5.7-34)$$

が得られ、線型位相オーパス2次区間2区間以上では、 $\omega=0$ の常に2次系統構成の方が、通常型構成より劣る、ことになるといふことを付加えておく。

尚、遙延線の統計的偏差を仮定すると、通常型構成のトランジスタ型回路

ζ''

$$K_A \triangleq \sum_{m=0}^N C_m e^{-j\omega \sum_{i=1}^m T_i (1+\alpha \cdot x_i)} \quad T_i = T \quad (i=1 \sim N)$$

(x_i は $(-1, 1)$ の一様分布を独立で確率変数)

この場合、平均は

$$\langle K_A \rangle = \sum_{m=0}^N C_m (\sin \omega T / \omega T)^m e^{-j\omega m T}$$

ここで $\zeta'' = K_A - \langle K_A \rangle$ とすれば、統計的偏差を有する ζ'' の期待値は零である。従って ζ'' の分散を計算する場合 K_A の期待値 $\langle K_A \rangle$ を用いて ζ'' の結果が得られる。 ζ'' の二乗の期待値は各項の期待値の和である。

5.8 略記

本章では、トランジistor型回路の各種構成パラメータの偏差による特性への影響について述べた。即ち、5.3節では、各種構成パラメータの総合偏差がトランジistor型回路の伝達特性に与える影響を一次近似によく求め、その大ささと特徴を述べた。5.4節では、振幅及位相特性に与える影響を一次近似により求め、典型的な計算例によく、一次近似による近似式が何を使用してよいかを示した。5.5節では、時間領域標本値の影響を、標本誤差と合わせて評価するにあたり、各種パラメータ偏差による影響を一次近似で求めたと共に、位相等化器を仮定した場合の計算例を示す。偏差の大きい 110° 及び、その位相による影響は大きくなる特徴があることを示した。さらに5.6節では、偏差の影響が 110° 利得の調整によって補償されるか否かに注目し、偏差の種類を分類することを提案した。最後に5.7節では、 110° 利得が統計的にはらつきをもつと仮定した場合の影響を、伝達特性の変化分の標準偏差の平均で評価するにあたり、通常型構成と従統型構成の比較を行った。特に、線型位相 2次系統従統型構成と、それを通常型構成した場合には、2次区間のほか、5以上では、通常型構成の方が優れることは示した。

残された問題としては、

- (i) 2次及び3次の高次近似式を求めること。
- (ii) 5.6節では、偏差の種類を提案するに留まつてあり、これを系統的にを行うこと。
- (iii) 5.7節に関する統計的のはらつきに相應する場合の検討、又、 110° 利得だけではなく、他の回路パラメータの統計的偏差の影響を利用するなど、近似する特性を組みつけて、通常型構成と、従統型構成の優劣を比較すること。

第6章 离散的タップ利得をもつトランジistor型回路

6.1 はじめに

最近、デジタルフィルタの設計において、係数値が本質的に離散値に限られることを考慮した設計方法が幾つか発表されたようになり、(30),(31)しかし、該差の評価が明確でないに(31)、かくは、一般的な評価式を扱い、計算機による手法を用いることは現実的最適化を得るためという数学的保証がある限り(30)問題集も多々。一方、係数値がある有限の離散値に制限される場合、その組み合せは有限で、理論的には、その全てについても同様により実現的最適化を見つけることが可能であるが、実際に大型計算機を用いても計算時間が膨大となり、不可能と近づく状況が、容易に起り得る。

本章では、このような背景から、トランジistor型回路のタップ利得と離散化された場合の設計と関連して多少の考察を行なう。即ち、6.2節では、離散空間における最小2乗近似と関連して、実現的最適化を得るのに十分な調査範囲を、直流利得を含めた近似の場合と、直流利得を問題とし近似の場合について求めている。又、CAEにおける局所的最小値を求める場合の助けとなる目的の連続空間上の2乗誤差評価関数の形状を調べている。6.3節では、タップ利得が、2進並行制限された系統型構成によるトランジistor型回路の根元系統的を求め、設計の際のデータを与える。

6.2 異次元空間における2乗誤差の最小化

(大域的最小値を得るのに十分な調査範囲の決定)

本節では、タップ利得と ϵ 、片付いた値が有限な離散集合の集合に限られる場合を考へ、離散空間における、2乗誤差を最小とする、大域的最小値を得るのに十分な調査範囲を求める。すなはち、6.2.1項で、直流利得も含めた最小2乗近似の場合を考察した。統一して、6.2.2項では、直流利得の問題とせず、規格化された特性だけを問題とする最小2乗近似の場合について考察する。特に、このときには、連続空間上においても、誤差評価式が西園和とはならず、CADによって得られる局所的最小値 ϵ^* を満足する場合を考へても、その探索が問題となる。そこで、連続空間上での誤差評価式の形状を調べ、CADによる極値探索の階級立てを考へらるる資料を提供しておくこととする。

6.2.1 直流利得も含めた近似の場合

まず、連続空間におけるトランジistor型回路の2乗誤差について簡単に記しておく。1.3.2項に述べたように、連続空間におけるトランジistor型回路の2乗誤差は、一般に、マトリクスを用いて、

$$\epsilon = \mathbf{C}' \mathbf{A} \mathbf{C} - 2 \mathbf{C}' \mathbf{b} + \epsilon_0 \quad (\epsilon_0 > 0) \quad (6.2.1-1)$$

と書ける。但し、 \mathbf{A} は転置を表す、

$$\mathbf{C} \triangleq (C_1, C_2, \dots, C_N)^T : \text{タップ利得ベクトル}$$

$$\mathbf{C} \in \mathbb{R}^N \quad (N \text{ 次元 ユークリッド空間})$$

$$\mathbf{A} \triangleq (a_{k,l})_{k,l=1 \sim N} : \text{実対称(自己相成)行列}$$

$$\mathbf{b} \triangleq (b_1, b_2, \dots, b_N)^T : N \text{ 次元実(相互相成)ベクトル}$$

である。又、同じく1.3.2項に述べたように、例外的な場合を除き、行列 \mathbf{A} は、正値 λ 、 λ のときには、最適タップ利得 C_{opt} が一意的に定まる。

$$C_{opt} = \mathbf{A}^{-1} \mathbf{b} \quad (6.2.1-3)$$

λ を定めると、以下、行列 \mathbf{A} は、正値 λ であるとする。

次に、本項で用いる記号の定義をておく。

- (Def. 1) $\tilde{M} \triangleq \{m_1, m_2, \dots, m_d\}, (m_1 < m_2 < \dots < m_d)$: タップ利得と呼ばれる離散値の有限集合。
- (Def. 2) $\tilde{\mathcal{C}} \triangleq (\tilde{c}_1, \tilde{c}_2, \dots, \tilde{c}_N)', \tilde{c}_i \in \tilde{M} (i=1 \sim N)$: 离散値から成るタップ利得ベクトル。
- (Def. 3) $\tilde{\mathcal{C}} \triangleq \{\tilde{c}\}_{all}$: (Def. 2) で与えられた $\tilde{\mathcal{C}}$ 全ての集合(有限)
- (Def. 4) $\tilde{\Sigma} \triangleq \tilde{\mathcal{C}}' A \tilde{\mathcal{C}} - 2 \tilde{\mathcal{C}}' b + \varepsilon_0, \tilde{c} \in \tilde{\mathcal{C}}$: 离散空間における二乗誤差評価式。
- (Def. 5) $0 < d_{min} \leq d_1 \leq d_2 \leq \dots \leq d_N \leq d_{max}$, 但し, $d_1 \sim d_N$ は行列 A の固有値。
- (Def. 6) $\|\mathcal{C}\|^2 \triangleq \mathcal{C}' \mathcal{C}$: ノルムの定義。離散空間における同一性。
- (Def. 7) $\tilde{c}_{ad} : \tilde{c}_{ad} \in \tilde{\mathcal{C}}^2, \forall \tilde{c} \in \tilde{\mathcal{C}} \text{ に対して}, \|\tilde{c}_{ad} - c_{opt}\| \leq \|\tilde{c} - c_{opt}\|$ となる。即ち、式(6.2.1-3)の c_{opt} が離散空間上の最も近い。

このとき、本項の基本定理とく、次の定理が成立する。

((定理 6.1)) 異構的タップ利得を持つトランジスタ-ガル型回路において、 $\tilde{\Sigma}$ を最小とする最適タップ利得 $\tilde{c}_{opt} \in \tilde{\mathcal{C}}$ を求めることは。

$$\|\tilde{c} - c_{opt}\| \leq (d_{max}/d_{min})^{1/2} \cdot \|\tilde{c}_{ad} - c_{opt}\| \quad (6.2.1-4)$$

を満たす $\tilde{c} \in \tilde{\mathcal{C}}$ についてである。証明やれば十分である。即ち、これは c_{opt} を中心とし、最寄りの離散格子点 \tilde{c}_{ad} までの距離の $(d_{max}/d_{min})^{1/2}$ 倍の半径をもつ球の内部に必ず格子点 \tilde{c} が存在するということを示している。 (定理 6.1 終)

((正明)) 行列 A は正値実数係数だから、適當な直交行列 U を用いて、

$$A = U D U', D = \text{diag}(d_1, d_2, \dots, d_N) \quad (6.2.1-5)$$

と表される。このとき、新しい変数 \tilde{x} を

$$\tilde{x} \triangleq D^{1/2} U' \tilde{c}, D^{1/2} \triangleq \text{diag}(\sqrt{d_1}, \sqrt{d_2}, \dots, \sqrt{d_N}) \quad (6.2.1-6)$$

によると定義する。 \tilde{x} は、

$$\tilde{c}_{opt} \triangleq D^{1/2} U' c_{opt}$$

$$\tilde{c}_{ad} \triangleq D^{1/2} U' \tilde{c}_{ad}$$

$$\left. \begin{array}{l} \\ \end{array} \right\} (6.2.1-7)$$

$$\tilde{\mathbf{f}} \triangleq D^{\frac{1}{2}} U \tilde{\mathbf{c}} \quad \tilde{\mathbf{c}} \in \hat{\mathbb{C}}$$

(6.2.1-7)

などと置く。よろづて。Def. 4) と等しい。とは。

$$\tilde{\Sigma} = \| \tilde{\mathbf{f}} - \mathbf{f}_{opt} \|^2 + \varepsilon_0 - \| \mathbf{f}_{opt} \|^2 \quad (6.2.1-8)$$

と書き表される。この $\varepsilon_0 - \| \mathbf{f}_{opt} \|^2$ は定数であることに注意され。

さて、この式(6.2.1-4)を満たす格子点を $\hat{\mathbf{c}}_{ext}$ で表すことし、 d_1 を式(6.2.1-6)の座標変換したものを $\hat{\mathbf{f}}_{ext}$ とする。よろづて、 $\hat{\mathbf{f}}_{ad}$ は $\hat{\mathbf{c}}_{ext}$ に等しい。

$$\tilde{\Sigma}|_{\hat{\mathbf{c}}_{ext}} - \tilde{\Sigma}|_{\hat{\mathbf{c}}_{ad}} = \| \hat{\mathbf{f}}_{ext} - \mathbf{f}_{opt} \|^2 - \| \hat{\mathbf{f}}_{ad} - \mathbf{f}_{opt} \|^2 \quad (6.2.1-9)$$

一方、式(6.2.1-6)から、

$$\| \mathbf{f} \|^2 = \mathbf{C}' \mathbf{A} \mathbf{C} \quad (6.2.1-10)$$

であり、行列のノルムと直角関係。

$$d_1 \leq \frac{\mathbf{C}' \mathbf{A} \mathbf{C}}{\|\mathbf{C}\|^2} \leq d_N \quad (6.2.1-11)$$

と用いれば、

$$d_1 \cdot \|\mathbf{C}\|^2 \leq \|\mathbf{f}\|^2 \leq d_N \cdot \|\mathbf{C}\|^2 \quad (6.2.1-12)$$

が得られる。式(6.2.1-12)を用いて、 \mathbf{C} の代入すれば、 $\hat{\mathbf{f}}_{ext} - \mathbf{f}_{opt}$ は $\hat{\mathbf{f}}_{ad} - \mathbf{f}_{opt}$ を代入すれば、

$$\left. \begin{aligned} d_1 \cdot \|\hat{\mathbf{f}}_{ext} - \mathbf{f}_{opt}\|^2 &\leq \|\hat{\mathbf{f}}_{ext} - \mathbf{f}_{opt}\|^2 (\leq d_N \cdot \|\hat{\mathbf{f}}_{ext} - \mathbf{f}_{opt}\|^2) \\ (d_1 \cdot \|\hat{\mathbf{f}}_{ad} - \mathbf{f}_{opt}\|^2 \leq) \|\hat{\mathbf{f}}_{ad} - \mathbf{f}_{opt}\|^2 &\leq d_N \cdot \|\hat{\mathbf{f}}_{ad} - \mathbf{f}_{opt}\|^2 \end{aligned} \right\} \quad (6.2.1-13)$$

が成り立つこと分かる。よって、式(6.2.1-9)は。

$$\tilde{\Sigma}|_{\hat{\mathbf{c}}_{ext}} - \tilde{\Sigma}|_{\hat{\mathbf{c}}_{ad}} \geq d_1 \cdot \|\hat{\mathbf{f}}_{ext} - \mathbf{f}_{opt}\|^2 - d_N \cdot \|\hat{\mathbf{f}}_{ad} - \mathbf{f}_{opt}\|^2 \quad (6.2.1-9')$$

である。従って、 $\hat{\mathbf{f}}_{ext}$ は、式(6.2.1-4)を満たす点である。 $d_{min} \equiv d_1$ 、
 $d_{max} \equiv d_N$ である。よって、 $d_1, d_N > 0$ は任意である。

$$d_1 \cdot \|\hat{\mathbf{f}}_{ext} - \mathbf{f}_{opt}\|^2 > d_N \cdot \|\hat{\mathbf{f}}_{ad} - \mathbf{f}_{opt}\|^2 \quad (6.2.1-4)'$$

となる。よって、式(6.2.1-9)は成り立つ。

$$\tilde{\Sigma}|_{\hat{\mathbf{c}}_{ext}} > \tilde{\Sigma}|_{\hat{\mathbf{c}}_{ad}} \quad (6.2.1-14)$$

を得る。即ち、 $\hat{\mathbf{f}}_{ext}$ は満足する。すなはち、 $\hat{\mathbf{c}}_{ext}$ は満足する。この矛盾を取

かは、直ちに定理が得られる。

(証明終)

式(6.2.1-8)においてより、今、直交変換を施して標準形に直せば、新しい座標系に直しては、 \hat{C}_{opt} に最も近い点を求める問題となるが、 \hat{C} の格子点が規則正しい配列をしているのに対し、変換後の点は一般に回転伸縮されたもので複雑な配列となり、勢い全ての点について調べるよりなりかねない。その点、 $\hat{C} \in \hat{\mathbb{C}}$ に属する距離計算は簡単であると考えられる。但し、式(6.2.1-4)より固有値の最大最小比 (d_{max}/d_{min}) が非常に大きくなるのは、式(6.2.1-4)より与えられる球が、全ての離散格子点を含むようになる場合に本定理は意味を持たなくなる。

次に、特別の場合であるか、意味深い場合とに、行列 A が、単位行列 E の時は、その対称性をもつ場合であるから。この場合には、(定理6.1)から直ちに次の定理が得られる。

(定理6.1の系) (Def. 4) に於いて、

$$A = \alpha \cdot E \quad (\alpha > 0, E \text{ の単位行列}) \quad (6.2.1-15)$$

このときには、 C を最小とする大域的最適離散点 $\hat{C}_{opt} \in \hat{\mathbb{C}}$ は、(Def. 7) により与えられる \hat{C}_{ad} のその一つである。さらに、この場合、

$$C_{opt} = b/\alpha \quad (6.2.1-16)$$

であるから、 \hat{C}_{opt} は、 b/α の各要素に対して最小である $m_i \in M$ の要素とするベクトルとして求められることになる。 (定理6.1の系・終)

行列 A が、式(6.2.1-15) のように書けられる。若しくして零誤差評価式における、トランシスルーカル型回路の伝達度が直交級数による場合である。例えば、理想遙延線 $e^{j\omega C}$ を用いてトランシスルーカル型回路の誤差評価式が、

$$\Sigma \triangleq (1/2\pi) \int_{-\pi/C}^{\pi/C} |G(\omega) - \sum_{m=1}^N c_m e^{-j(m-1)\omega C}|^2 d\omega, \quad (6.2.1-17)$$

の場合などがあげられ、かなり応用可能な場合があるものと思われる。

尚、(定理6.1の系) から、FIR ディジタルフィルタなどに於いて、係波器の非零ゼットの数を M 個以下に制限したとき、式(6.2.1-13) の零誤差と最小とする係波器を決定するとか出来るか? これは、その議論については省略することにする。

最後に、 d_{\max}/d_{\min} が非常に大きくなってしまう。(定理 6.1) が、効力を發揮出来ない場合を考慮し、次善の筆とし、計算耗によく一次元探索のくり返しによる。局所的最小値を求める場合について一言述べておく。連続空間上式(6.2.1-1) の左は、 A が正値であるから、狭義の凸関数であり、特に各タップ利得 C_p ($p=1 \sim N$) は、 γ 次曲線である。実際

$$\varepsilon = \gamma \cdot C_p^2 - 2(\alpha - \delta)C_p + \beta - 2\beta + \varepsilon_0. \quad (6.2.1-18)$$

但し、 $\alpha = b_p$, $\beta = \sum_{i \neq p} C_i b_i$, $\gamma = a_{pp} > 0$, $\delta = \sum_{i \neq p} a_{pi} C_i$
 $\beta = \sum_{i,j \neq p} C_i a_{ij} C_j (> 0)$, $\delta^2 - \gamma \beta < 0$
 となる。よって、 $\partial \varepsilon / \partial C_p = 0$ す。

$$C_p^{opt} = (\alpha - \delta) / \gamma = (b_p - \sum_{i \neq p} a_{pi} C_i) / a_{pp} \quad (6.2.1-19)$$

が得られ、離散空間上的一次元探索においては、上式(6.2.1-19) で与えられた C_p^{opt} の周囲の格子点だけを調べればよいこと分かる。この一次元探索 $p=1 \sim N$ を 1 サイクルとし、反復可ならば、局所的最小値が得られることになる。但し、当然のことながら、大域的最小値が得られるとは保証はない。

6.2.2 直流利得を問題とする近似の場合

前項での議論は、直流利得を含めて、与えられた特性をそのまま離散値でタップ利得とともにトランシルバル型回路の最小2乗近似を行うとする場合についていた。然しながら、実際には、一定の利得差は余り問題とならない、相対的な周波数特性が問題となる場合も多いようにならぬ。それは、一定の利得差は、外部に増幅器あるいは掛算器を1台選ねることで、比較的容易に調整出来るからであると考えられる。

之に對して、本項では、直流利得を問題とする近似の場合について、前項と同じ議論を行うことにする。

この場合には、前項 (Def.4) の $\hat{\varepsilon}$ の代りに、 K を実数とす。

$$\hat{\varepsilon}_K \triangleq K^2 \hat{A}' A \hat{C} - 2 \cdot K \hat{A}' \cdot b + \varepsilon_0. \quad (6.2.2-1)$$

を考へ、これが最小化することを考へなければならない。このとき、 $\hat{\varepsilon}_K$ を最小とする K は、

簡単に求めらるべ、

$$K_{opt} = \tilde{C}' b / \tilde{C}' A \tilde{C} \quad (6.2.2-2)$$

となり。

$$\tilde{\epsilon}_{K_{opt}} = \epsilon_0 - (C' b)^2 / \tilde{C}' A \tilde{C} \quad (6.2.2-3)$$

を得る。これは、前項式(6.2.1-6)を定義する座標変換を行った後の変数として“書けば”。

$$\begin{aligned} \tilde{\epsilon}_{K_{opt}} &= \epsilon_0 - (\tilde{C}' \cdot \tilde{X}_{opt})^2 / \|\tilde{X}\|^2 \quad (\tilde{X}_{opt} \text{ は式}(6.2.1-7)) \\ &= \epsilon_0 - \|\tilde{X}_{opt}\|^2 \cos^2 \gamma \quad (\gamma: \tilde{C} \text{ と } \tilde{X}_{opt} \text{ の成す角}) \quad (6.2.2-3)' \end{aligned}$$

と表され、 \tilde{X}_{opt} と最小の固有値の離散度 \tilde{X}_{opt} を見つけた問題となる。但し、このうち、 \tilde{C} が規則正しい配列とみなされる場合のみ可い。すなはち、 \tilde{C} は、回転伸縮加減の形の複雑な配列となり、 \tilde{X}_{opt} は不可。そのと最小角を成す \tilde{C} を求めると、容易でなく、最悪の場合は、全ての格子点 $\tilde{X} = D^{1/2} U' \tilde{C}$ ($\tilde{C} \in \tilde{C}$) について計算するに至りかねない。そこで、本項において、 $\tilde{C} \in \tilde{C}$ に対する大域的最適性を得るために十分な調査範囲を示すこととする。

本項では、まず、簡単な場合とし、式(6.2.2-3)の、行の A が、単位行列に等しい場合について述べる。又、タップ利得と許される離散値とは、2のべきを考へることにする。但し、この条件は、本質的なものではなく、以下の議論は、離散値と2進各行の粒度が許される場合に、容易に拡張可能と考えられる。

尚、以下では、一般性を失うことなく、 b におけり、

$$b \triangleq (b_1, b_2, \dots, b_N)', |b_1| \geq |b_2| \geq \dots \geq |b_N| \quad (6.2.2-4)$$

とおく。

(I) $A = E$ (単位行列) の場合

まず、この用いる記号の定義を述べよう。

(Def. 1') $\tilde{M}_2 \triangleq \{-2^n, -2^{n-1}, \dots, -1, 0, 1, 2, \dots, 2^n\}$: タップ利得と許される離散値 (2進1行) の集合。ここで、2の箇所を考へていかず、式(6.2.2-1)に定めた K があるのか、一般を失うものかはないと大意しておこう。

(Def. 2') $\tilde{\mathbf{C}} \triangleq (\tilde{C}_1, \tilde{C}_2, \dots, \tilde{C}_N)', \tilde{C}_i \in \tilde{M}_2 (i=1 \sim N)$: 離能値から成るベクトル
利得ベクトル。但し、0ベクトルは除く。

(Def. 3') $\tilde{\mathbf{C}} \triangleq \{\tilde{\mathbf{C}}\}_{all}$: (Def. 2') で与えられた $\tilde{\mathbf{C}}$ 全ての集合 (有限)

(Def. 4') $\|\mathbf{C}\|^2 = \mathbf{C}' \cdot \mathbf{C}$: ノルムの定義

(Def. 5') $\tilde{\Sigma}_{K_{opt}} \triangleq \varepsilon_0 - (\tilde{\mathbf{C}}' \cdot \mathbf{b})^2 / \|\tilde{\mathbf{C}}\|^2, \tilde{\mathbf{C}} \in \tilde{\mathbf{C}}$
 $= \varepsilon_0 - \|\mathbf{b}\|^2 \cos^2 \theta$, 但し, $\cos \theta \triangleq \tilde{\mathbf{C}}' \cdot \mathbf{b} / (\|\tilde{\mathbf{C}}\| \cdot \|\mathbf{b}\|)$

これは、最小化はとする 2 桁誤差評価式である。

(Def. 6') $\tilde{\mathbf{C}}_1 \triangleq \{\tilde{\mathbf{C}} \mid |C_i| < 2^m, i=1 \sim N\}$

(Def. 7') $\tilde{\mathbf{C}}_0 \triangleq \tilde{\mathbf{C}} - \tilde{\mathbf{C}}_1$

(Def. 8') $MC_i^+ \triangleq \{C \mid C = (*, \dots, *, 2^m, *, \dots, *)\} \quad (i=1 \sim N)$

$MC_i^- \triangleq \{C \mid C = (*, \dots, *, -2^m, *, \dots, *)\} \quad (i=1 \sim N)$

但し、* は任意の実数を表す。 MC_i^+, MC_i^- は N 次元空間の超平面である。

(Def. 9') $\tilde{MC}_i^+ \triangleq MC_i^+ \cap \tilde{\mathbf{C}}_0 (= MC_i^+ \cap \tilde{\mathbf{C}}_0) \quad (i=1 \sim N)$

$\tilde{MC}_i^- \triangleq MC_i^- \cap \tilde{\mathbf{C}}_0 (= MC_i^- \cap \tilde{\mathbf{C}}_0) \quad (i=1 \sim N)$

EPS. $\tilde{MC}_i^+, \tilde{MC}_i^-$ は 超平面 MC_i^+, MC_i^- 上にある離能格子点の集合を表す。

(Def. 10') $\tilde{\mathbf{C}}_{ref,i} : \tilde{\mathbf{C}}_{ref,i} \in \tilde{MC}_i^+ \text{ 且}, \forall \tilde{\mathbf{C}} \in \tilde{MC}_i^+ \text{ かつ } \| \tilde{\mathbf{C}} - \tilde{\mathbf{C}}_{ref,i} \| \leq \| \tilde{\mathbf{C}} - (2^m/b_i) \cdot \mathbf{b} \|$

$\| \tilde{\mathbf{C}}_{ref,i} - (2^m/b_i) \cdot \mathbf{b} \| \leq \| \tilde{\mathbf{C}} - (2^m/b_i) \cdot \mathbf{b} \|$ となる。即ち、超平面 MC_i^+ と \mathbf{b} の延長射線の交点 $(2^m/b_i) \cdot \mathbf{b}$ から最も近い MC_i^+ 上の離能格子点が $\tilde{\mathbf{C}}_{ref,i}$ である。 $(i=1 \sim N)$

(Def. 11') $\mathbf{b} \triangleq (b_1, b_2, \dots, b_{i-1}, 0, b_{i+1}, \dots, b_N)' \quad (i=1 \sim N)$

ベクトル \mathbf{b} で、 i 番目の要素を零としたものである。

さ2. 以上の仮定のもとに、(Def. 5') の $\tilde{\Sigma}_{K_{opt}}$ を最小とする離能格子点を得るために十分な調査範囲をつけて考察する。すると、まず、次の事柄が云える。

① 任意の $\tilde{\mathbf{C}} \in \tilde{\mathbf{C}}_1$ を取ると、適当な $p (= 1, 2, \dots, n-1)$ が存在して、

$\exists p. \tilde{\mathbf{C}} \in \tilde{\mathbf{C}}_0$.

(6.2.2-5)

$\hat{\mathcal{C}}^*$ 成り立つ。なぜならば、 $\hat{\mathcal{C}}^* (\in \hat{\mathcal{C}}_1)$ の絶対値最大の要素を \hat{c}_i とするが、

$$|\hat{c}_i| = 2^{n-p} \quad (p=1, 2, \dots, n-1), \quad |\hat{c}_j| \leq |\hat{c}_i| \quad (j \neq i) \quad (6.2.2-6)$$

$\hat{\mathcal{C}}^*$ は、よって全体を、 2^p 倍し、 $\hat{\mathcal{C}}_0$ の定義 (Def. 7') に注意すれば、式 (6.2.2-5) が成り立つが明らか。これと、 $\hat{\mathcal{E}}_{K_{opt}}$ は $\hat{\mathcal{C}}^*$ は、 $\hat{\mathcal{C}}^*$ を定数倍した値

が変らないことから、すなはち、 $\hat{\mathcal{C}}_0$ の長さ $\hat{\mathcal{C}}_0$ は $\hat{\mathcal{C}}^*$ と等しいことから

である。

② $\|b\| = (b_1, b_2, \dots, b_N)' \in \mathbb{R}^n$ は、 $b_j = 0$ とすると、 $\hat{\mathcal{C}}$ と $\hat{\mathcal{C}}^*$ の最初から $\hat{c}_j = 0$ は $\hat{\mathcal{C}}_0$ の長さ $\hat{\mathcal{C}}_0$ が十分大きい。実際、 $\hat{c}_j \neq 0$ は $\hat{\mathcal{C}}_{opt,1}$ が $(\hat{c}_1^{opt}, \hat{c}_2^{opt}, \dots, \hat{c}_j^{opt}, \dots, \hat{c}_N^{opt})'$ であるときとすると、任意の $\hat{\mathcal{C}} \in \hat{\mathcal{C}}$ は $\hat{\mathcal{C}}_{opt,1}$

$$\hat{\mathcal{E}}_{K_{opt}}(\hat{\mathcal{C}}) \geq \hat{\mathcal{E}}_{K_{opt}}(\hat{\mathcal{C}}_{opt,1}) = \|b\|^2 - (\hat{c}_{opt,1}' b)^2 / \|\hat{\mathcal{C}}_{opt,1}\|^2 \quad (6.2.2-7)$$

である。

$$\hat{\mathcal{C}}_{opt,2} \triangleq \hat{\mathcal{C}}_{opt,1} - (0, \dots, 0, \hat{c}_j^{opt}, 0, \dots, 0) \quad (6.2.2-8)$$

とすると、

$$\begin{aligned} \hat{\mathcal{E}}_{K_{opt}}(\hat{\mathcal{C}}_{opt,2}) &= \|b\|^2 - (\hat{c}_{opt,2}' b)^2 / \{\|\hat{\mathcal{C}}_{opt,2}\|^2 - (\hat{c}_j^{opt})^2\} \\ &< \hat{\mathcal{E}}_{K_{opt}}(\hat{\mathcal{C}}_{opt,1}) \end{aligned} \quad (6.2.2-9)$$

である。この矛盾である。したがって、 $b_j = 0$ となる場合の最初から $\hat{c}_j = 0$ と $\hat{\mathcal{C}}$ の次元の他の空間は、 $\hat{\mathcal{C}}_0$ の長さ $\hat{\mathcal{C}}_0$ が十分大きい。

$$b_i \neq 0 \quad (i=1 \sim N) \quad (6.2.2-10)$$

と仮定しておこう。

③ $\hat{\mathcal{E}}_{K_{opt}}$ は $\hat{\mathcal{C}}^*$ は、 b の代りに $-b$ (ただし $\hat{\mathcal{C}}$ の代りに $-\hat{\mathcal{C}}$) とすれば、

値は変わらない。従って、①より $\hat{\mathcal{C}}_0$ の長さ $\hat{\mathcal{C}}_0$ が十分大きい。十分大きいこと

を示すのが、さきに、 $\hat{\mathcal{C}}_0$ の各子長が存在する $2N$ 個の超平面 MC_i^+ , MC_i^-

$(i=1 \sim N)$ のうち、例えれば、 $MC_i^+ (i=1 \sim N)$ 上の各子長、すなはち、 $\hat{MC}_i^+ (i=1 \sim N)$ は十分大きい。

④ 以上と、(Def 5') の $\hat{\mathcal{E}}_{K_{opt}}$ が、各 \hat{MC}_i^+ は、商々

$$\frac{(\hat{c}_i^* \cdot b)^2}{\|\hat{\mathcal{C}}\|^2} \geq \max_i \left\{ \frac{(\hat{c}_{ref,i}^* \cdot b)^2}{\|\hat{\mathcal{C}}_{ref,i}\|^2} \right\} \triangleq \mu \cdot \|b\|^2 \quad (0 < \mu < 1) \quad (6.2.2-11)$$

$$\text{但し, } \mu \equiv \max_i (\cos^2 \theta_i)$$

$$\cos \theta_i \equiv \frac{\tilde{C}_{\text{ref},i} \cdot b}{\|\tilde{C}_{\text{ref},i}\| \cdot \|b\|} \quad (\tilde{C}_{\text{ref},i} \text{ と } b \text{ の成す角}) \quad (6.2.2-12)$$

を満す. $\tilde{C} \in \tilde{MC}_n^+ (i=1 \sim N)$ に対しては十分である. 尚, 式(6.2.2-12)は \tilde{C}_{opt} から直ちに得られる条件であると自明である。

次に, 式(6.2.2-11)の条件をより具体的に表すと, 次の定理を得る。

(定理 6.2) 各 $\tilde{MC}_n^+ (i=1 \sim N)$ に対し, 式(6.2.2-11)の条件を具体的に書き直すと次のようになる。今, $p_i (i=1 \sim N)$ を

$$p_i \equiv \frac{\|b\|}{\|b\|} \quad (6.2.2-13)$$

で定義し, μ を式(6.2.2-12)とすると,

(i) $\mu - p_i^2 \leq 0$ のとき, \tilde{MC}_n^+ の全ての離散格子点に \tilde{C} が周囲で囲まれる。

(ii) $\mu - p_i^2 > 0$ のとき,

$$R_i \equiv \frac{|2^n/b_i| \cdot \|b\| \cdot \{(1-\mu) \cdot p_i + \sqrt{(1-\mu^2)p_i^2 + (\mu - p_i^2)}\}}{\mu - p_i^2} \quad (6.2.2-14)$$

とおくと, \tilde{MC}_n^+ は周囲に $(2^n/b_i) \cdot b$ を中心とし, R_i を半径とする。

(超) 円の中に含まれる格子点に \tilde{C} が周囲で囲まれる。

が成立立つ。

(定理 6.2 終)

(証明) a_i を $(2^n/b_i) \cdot b$ を始点とする MC_n^+ 上のベクトルとすると,
 MC_n^+ 上の長さは,

$$l = (2^n/b_i) \cdot \|b\| + a_i$$

と表される。式(6.2.2-11)の \tilde{C} を代入すると,

$$(\mu - \cos \theta_i) \|a_i\|^2 + 2 \cdot |2^n/b_i| (\mu - 1) \cos \theta_i \|b\| \|a_i\| - |2^n/b_i|^2 \|b\|^2 \leq 0$$

$$\text{但し, } \cos \theta_i \equiv b^T \cdot a_i / \|b\| \cdot \|a_i\| \quad (6.2.2-15)$$

を得る。したがって, a_i が MC_n^+ 上のベクトルであることがから,

$$a_i \equiv (a_{i1}, a_{i2}, \dots, a_{iN})^T, a_{iN} \equiv 0 \quad (6.2.2-16)$$

となる。

$$\check{a}_i \triangleq (a_{i1}, a_{i2}, \dots, a_{i,i}, a_{i,i+1}, \dots, a_{iN})' \quad (6.2.2-17)$$

とすると、

$$\cos^2 \theta_i = \frac{(b' \cdot a_i)^2}{\|b\| \cdot \|a_i\|} = \frac{\|b\|^2}{\|b\|^2} \frac{(b' \cdot \check{a}_i)^2}{\|b\|^2 \|a_i\|^2} = \frac{\|b\|^2}{\|b\|^2} \cos^2 \eta \quad (6.2.2-18)$$

但し、 $\cos \eta \triangleq b' \cdot \check{a}_i / \|b\| \cdot \|\check{a}_i\|$, b と \check{a}_i の成す角の余弦。

となる。従って, s_i を、

$$s_i \triangleq \max |\cos \theta_i| = \|b\| / \|b\|$$

と定義し、式(6.2.2-15)を、 $\cos \theta_i$ の代りに用いると、

$$f_i(\|a_i\|) \triangleq (\mu - s_i^2) \|a_i\|^2 - 2|2^n/b_i| \cdot (1-\mu) s_i \|b\| \cdot \|a_i\| \\ - |2^n/b_i|^2 \cdot \|b\|^2 \leq 0 \quad (6.2.2-15)'$$

を得る。ここで、 $\|a_i\|$ が、式(6.2.2-15)を満たさない時は、必ず、式(6.2.2-15)'を満たさないから、式(6.2.2-15)'を満たす a_i についても周へ山は十分である。

(i) $\mu - s_i^2 \leq 0$ のとき、式(6.2.2-15)'の左辺は、 $\|a_i\|$ に随い、上に凸の二次式²、 $f_i(\|a_i\|) = 0$ は、正根を持つ。全ての a_i がこの不等式を満たす。即ち、 \tilde{MC}_i^\dagger の全ての格子点について周へ山は“ならない”。

(ii) $\mu - s_i^2 > 0$ のとき、 $f_i(\|a_i\|) \leq 0$ 下に凸の二次式²、 $f_i(\|a_i\|) = 0$ は、正負の2次根を持ち、正根は、式(6.2.2-14)と一致する。この場合は、式(6.2.2-11)と、 \tilde{C} の代りに $C \in R^N$ として、決して N 次元円錐と、超平面 MC_i^\dagger との交りがつく(超)楕円の長半径を考へなければならない。よって、この場合 K. は、本定理の(ii)が成り立つ。
(証明終)

式(6.2.2-11)の条件をより具体化して(定理6.2)2²の基準となる離散点を、式(6.2.2-12)の $\cos^2 C_i$ を最大とする $\tilde{C}_{ref,i}$ を用いて³、この部分のラジスを省こうとすれば、 μ を、 $\cos^2 C_i \equiv (\tilde{C}_{ref,i}' \cdot b)^2 / \| \tilde{C}_{ref,i}' \| \|b\|^2$ に選ぶのが、式(6.2.2-4)から考え2. 最大値と見られる。

尚、(6.2)1. $A = E$ の場合を考へたが⁴、 $A = \alpha \cdot E$ ($\alpha > 0$) の場合も全く同様であることを付け加えておく。

(II) $A = E (\text{左} \times \text{右}, \alpha \cdot E)$ の場合.

$A = E$ の場合 \tilde{C} は $\tilde{C}^T A \tilde{C}$ の形で成り立つ。即ち $\tilde{C}^T A \tilde{C}$ と $\tilde{C}^T \tilde{C}$ が成り立つ。即ち $\tilde{C}^T A \tilde{C}$ は、全く $\tilde{C}^T \tilde{C}$ と同様の性質を有する。従って、 $\tilde{MC}_i^+ (i=1 \sim N)$ についても同様に成り立つ。十分な μ と d_{\min} を用いて、 $\tilde{C}^T A \tilde{C}$ の最大固有値と最小固有値を d_{\max} 及び d_{\min} とすれば、一般に $\tilde{C}^T A \tilde{C}$

$$0 < d_{\min} \leq \frac{\tilde{C}^T A \tilde{C}}{\|\tilde{C}\|^2} \leq d_{\max} \quad (6.2.2-19)$$

が成り立つ。これを用いては、式(6.2.2-3) 2"

$$\frac{1}{d_{\max}} \frac{(\tilde{C}^T b)^2}{\|\tilde{C}\|^2} \leq \frac{(\tilde{C}^T b)^2}{\tilde{C}^T A \tilde{C}} \leq \frac{1}{d_{\min}} \frac{(\tilde{C}^T b)^2}{\|\tilde{C}\|^2} \quad (6.2.2-20)$$

が成り立つ。式(6.2.2-11) が成り立つ。

$$\begin{aligned} \frac{1}{d_{\min}} \frac{(\tilde{C}^T b)^2}{\|\tilde{C}\|^2} &\geq \max_i \left\{ \frac{(\tilde{C}_{\text{ref},i}^T b)^2}{\tilde{C}_{\text{ref},i}^T A \tilde{C}_{\text{ref},i}} \right\} \\ &\cong \mu' \cdot \|b\|^2 \end{aligned} \quad (6.2.2-21)$$

を得る。但し、

$$\mu' \triangleq \max_i \left\{ \frac{1}{\|b\|^2} \frac{(\tilde{C}_{\text{ref},i}^T b)^2}{\tilde{C}_{\text{ref},i}^T A \tilde{C}_{\text{ref},i}} \right\} \quad (6.2.2-22)$$

である。従って、式(6.2.2-21) を満たす $\tilde{C} \in \tilde{MC}_i^+ (i=1 \sim N)$ は、十分な μ と d_{\min} が存在する。

$$\frac{\tilde{C}^T b}{\|\tilde{C}\|^2} \geq \mu' \cdot \|b\|^2, \quad \mu' \triangleq d_{\min} \cdot \mu' \quad (6.2.2-21)'$$

を書く直せば、(定理 6.2) は、 μ の代わりに、上の μ' を用いて、そのままで適用出来ることになる。

尚、(I), (II) の議論は、調査する超平面の数を増すことにより、離散値と p 進字形を許した場合にも、容易に拡張可能と考えられる。

(II) CADによる極値探索法^{1) 2)},

最後に、計算機による一次元探索のくり返し²⁾。局所的最小値を得ることを満足する場合を考慮して、式(6.2.2-3)の $\tilde{C}_{k,pt}$ に対し、 \tilde{C} を $C \in R^N$ とおき換える。連続空間上での座標の形状を同一²⁾。一次元探索の際 復数データを与えられる。但し、式(6.2.2-3)を見るとように、 ϵ_0 は定数であるから、 \tilde{C}^{kopt} を最大にすることと、 $(\tilde{C}'b)^2 / \tilde{C}'A\tilde{C}$ を最大にする同じことである。従って²⁾は、 $(\tilde{C}'b)^2 / \tilde{C}'A\tilde{C}$ に座標を同一²⁾にする²⁾とする。

今、

$$g(\tilde{C}_1, \tilde{C}_2, \dots, \tilde{C}_N) \triangleq (\tilde{C}'b)^2 / \tilde{C}'A\tilde{C} \quad (6.2.2-23)$$

とすると、計算機による最適化²⁾は、適当な初期値から出発して、 \tilde{C}_1 を座標²⁾。 g を最大に、 \tilde{C}_2 を座標²⁾。 g を最大に、…、 \tilde{C}_N を座標²⁾。 g を最大にすること²⁾。一次元探索を行い、 $\tilde{C}_1 \sim \tilde{C}_N$ を1サイクル²⁾。この反復をくり返し、終の $\tilde{C}_1 \sim \tilde{C}_N$ と同一²⁾であつたならば、それを準最適解とする²⁾。この場合、もちろん大域的最適解が得られる²⁾。保証はないが、少なくとも局所的最適解は得られる²⁾。

以下、連続空間における、 x ²⁾、 α ²⁾、 γ ²⁾、 δ ²⁾を得 C_p ($p=1 \sim N$)を代表し、

$$f(x) \triangleq g(C_1, C_2, \dots, C_{p-1}, x, C_{p+1}, \dots, C_N) \quad (6.2.2-24)$$

の形状を同一²⁾おく。このとき、

$$\left. \begin{aligned} x &\equiv C_p, \quad \alpha \equiv b_p, \quad \beta \equiv \sum_{i \neq p} C_i b_i, \quad \gamma \equiv a_{pp} (>0) \\ \delta &\equiv \sum_{i \neq p} a_{pi} C_i, \quad \zeta \equiv \sum_{i,j \neq p} C_i a_{ij} C_j (>0) \\ (\delta^2 - \gamma \zeta) &< 0 \quad ((\text{()内の条件は}, A \text{の正値から導かれる})) \end{aligned} \right\} \quad (6.2.2-25)$$

とおくと、

$$f(x) = (\alpha x + \beta)^2 / (\gamma x^2 + 2\delta x + \zeta) \quad (>0) \quad (6.2.2-24)'$$

となる。これから、 $f(x)$ の形状を同一²⁾と簡単な計算により、次のようない結果が得られる。但し、以下²⁾は、

$$x_1 \triangleq -(\alpha \zeta - \beta \delta) / (\alpha \delta - \beta \gamma) \quad (\text{極大値をとる}) \quad (6.2.2-26)$$

$$x_2 \triangleq -\beta / \alpha \quad (\text{極小値(零)をとる}) \quad (6.2.2-27)$$

$$x_3 = \frac{\alpha^2 \beta - \gamma \beta^2}{2\alpha(\beta\gamma - \alpha\delta)} \quad (6.2.2-28)$$

となる。

① $\alpha(\alpha\delta - \beta\gamma) > 0$ のとき、

$$x_1 < x_3 < x_2$$

となり、(図 6.1) ① に示すようすが形状となる。従って、 $\hat{x} < x_3$ となるが、高々 x_1 の兩隣りにあり離差散査について比較を行えば、一次元探索は終了となる。

② $\alpha(\alpha\delta - \beta\gamma) < 0$ のとき、

$$x_2 < x_3 < x_1$$

となり、(図 6.1) ② に示すようすが形状となる。従って、 $\hat{x} > x_3$ となるが、高々 x_1 の兩隣りにあり離差散査について比較すれば、一次元探索は終了となる。

③₁ $\alpha(\alpha\delta - \beta\gamma) = 0$, $\alpha \neq 0$, $\beta \neq 0$ のとき、

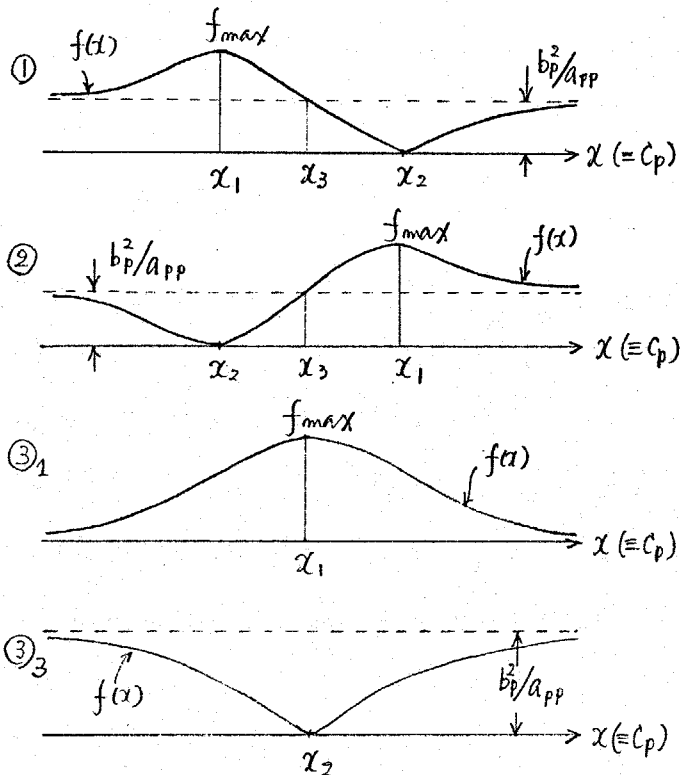
x_2 は存在せず、 $f(x)$ は (図 6.1) ③₁ に示すようすが形状となる。従って、 x_1 の兩隣りにあり離差散査について比較すれば、一次元探索は終了する。

③₂ $\alpha(\alpha\delta - \beta\gamma) = 0$, $\alpha = 0$, $\beta = 0$ のとき、

これは、 $b = 0$ あるいは、 $C_i (i \neq p) = 0$ の場合であり、実際には起り得ない状況と見らる。尚、このときは、 $f(x) \equiv 0$ となり、最適点は決定しない。

③₃ $\alpha(\alpha\delta - \beta\gamma) = 0$, $\alpha \neq 0$, $\alpha\delta - \beta\gamma = 0$ のとき、

x_2 が存在し、 $f(x)$ の形状は (図 6.1) ③₃ に示すようすとなる。従って、この場合は、 x_2 から左右に最もはなれた離差散査について比較すれば、一次元探索は終了する。



(図 6.1) $f(x)$ (式 (6.2.2-24)') の形状

以上のように、①, ②, ③_{1, 2, 3} の判定を行ふよしすかは？ 計算耗によると一次元探索は、いすゞ車 高さ 2 の離散度について、 ΔK_{opt} を計算し、比較すと 3222。終了し、簡単である。

以上、本節では、6.2.1 项及び 6.2.2 项における、直流利得も含めた近似の場合と、直流利得を問題とする「近似の場合」について、離散度約 1° 利得をもつトランシバーガル型回路の最小 2 变近似による設計について述べた。その主な内容は、離散格子を規則正しく配列され、距離を計算の簡単にするために座標系について、大域的最適度を得るために十分な格子度の調査範囲を示したことと、CAD の場合の一次元探索に寄与する目的で、誤差評価式の形状を簡略化したことである。

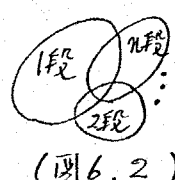
6.3. 縦続型構成に関する考察

本節では、タップ利得が工進ル行に制限された縦続型構成によるトランシット・カーリ型回路の零点の位置を求め、設計データとする目的とする。零点に関する設計方法としては、例えば、 $Z = e^{-j\omega T}$ の多项式とみなして仕様特性の零点に対して、タップ利得を工進ル行に制限したときの零点から最も近いものを選んで組み合せるという方法が考へられる。

尚、本節の構成とは、(I) トランシット・カーリ型回路の几段縦続型構成による設計に處する多少の注釈を加え、(II) とて、タップ利得が工進ル行に制限されたトランシット・カーリ型回路の零点を示す。又、本節では、単位回路は全て理想遅延線($e^{-j\omega T}$)として暗いディジタル・回路の場合を想定する。従ってその伝達度数は、 $Z = e^{-j\omega T}$ の多项式とみなすことになる。

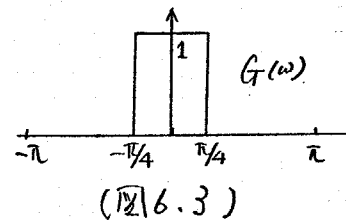
(I) トランシット・カーリ型回路の几段縦続構成。

トランシット・カーリ型回路を縦続型構成(例えば2次巴因に分解)にすると、タップ利得を零点とする空間があり、2乗誤差評価式は一般に凸となる。局所的最小値を有する(参考参照)。これは、タップ利得が離散値に制限されの場合、2乗誤差の最小化が甚く難しい問題であることを意味する。タップ利得を1段縦続加許さない場合には、1段2nd構成とし、それを等価な2段に分解した縦続構成とし、全く同一の特性を得られる次第²。最適タップ利得を求める評価度数の凸性が保証されるのは1段構成の場合だけであれ、それを因数分解した縦続型構成の最適タップ利得を求めるのが出来ない。しかし、タップ利得が離散値に限られた場合、この方法は採用出来ない。因数分解によって得られるタップ利得が、方と同じ離散値集合に含まれる場合など、ほとんど起るとと思われる事例ばかりである。そこで、実際問題としては、適当な初期値を与えて計算によって離散空間上での最適化を行ひ、得られた結果を準最適解と用ひようとするところと思われる。但し、タップ利得を離散値に制限した場合は、構成方法によつて得られる特性の範囲が異なり((図6.2)参考)、逆にその裏面のものもあると言える。タップ利得をより程度制限 (図6.2)



120. 構成方法と自由度を身につけ、そのだけ得る山特性の範囲が広くなり、その中から最適なものを選ぶことが出来る。

一例として、タツ $^{\circ}$ 利得が $\{0, 1\}$ に限られた6次以下
のトランジistor-カーリ型回路で、(図6.3)のように特性を
最小化する近似して得る。誤差評価式は6.2.2項
の式(6.2.2-1)の場合と同様。具体的には、



$$\tilde{\epsilon}_K = \frac{1}{2\pi} \int_{-\pi}^{\pi} |G(w) - K \cdot F(w)|^2 dw \quad \left(\begin{array}{l} G(w): \text{希望特性 (図6.3)} \\ K: \text{定定数} \end{array} \right) \quad (6.3-1)$$

2つ目、 $F(w)$ は、6次 (タツ $^{\circ}$ 利得 = 7) のトランジistor-カーリ型回路を n 段 ($n=1 \sim 6$) に分
解し、系統統型構成で近似すればとする。このとき、系統の段数 $n=1 \sim 6$ のそれぞれ
に応じて、式(6.3-1)の $\tilde{\epsilon}_K$ を最小とする系統統型構成とそのタツ $^{\circ}$ 利得、又、任意定
数 K の最適値 K_{opt} が表6.1に示す。この結果は、全ての組み合せに対し、
計算結果である。さらに表6.1より、 $n=1 \sim 6$ 相互で比較すると、この場合、他の
条件を考慮すれば、2次と4次の2段系統統型構成の場合と最小の近似
誤差が得られることが判明。これが「最適」と云う所以である。

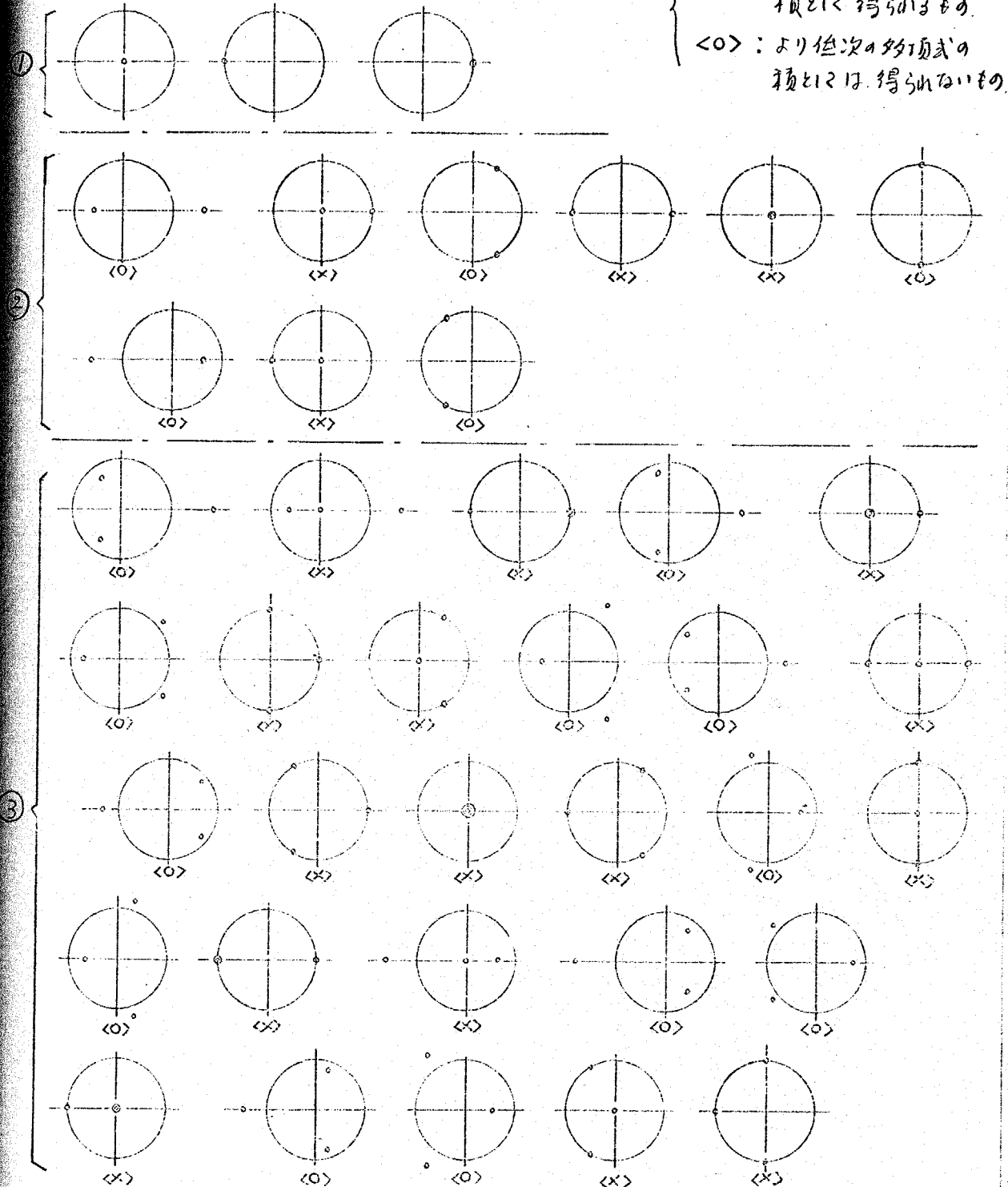
<表6.1> n 段系統統型構成によるトランジistor-カーリ型回路の比較表

段数 (n)	最適タツ $^{\circ}$ 利得	$\tilde{\epsilon}_{K_{opt}, min}$	K_{opt}
1	(0, 1, 1, 1, 1, 1, 0)	4.25446×10^{-2}	2.03694×10^{-1}
2	(1, 1, 1)(1, 1, 1, 1, 1)	2.47131×10^{-2}	7.80310×10^{-2}
3	(1, 1)(1, 1)(1, 1, 1, 1, 1)	2.56790×10^{-2}	7.12987×10^{-2}
4	(1, 1)(1, 1)(1, 1)(1, 1, 1, 1)	2.94759×10^{-2}	3.35429×10^{-2}
5	(1, 1)(1, 1)(1, 1)(1, 1)(1, 0, 1)	2.94759×10^{-2}	3.35429×10^{-2}
6	(1, 1)(1, 1)(1, 1)(1, 1)(1, 1)(1, 1)	4.35290×10^{-2}	1.49484×10^{-2}

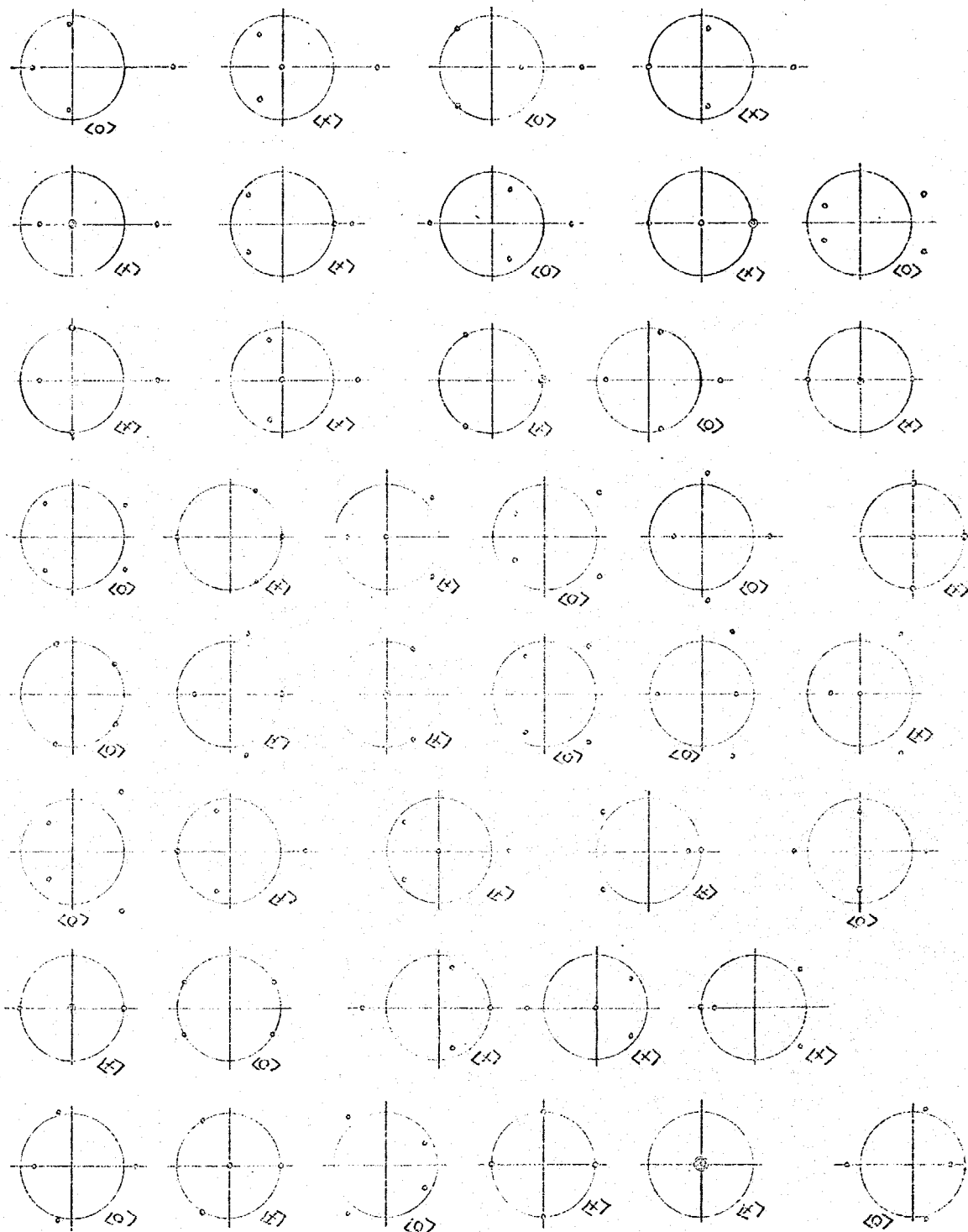
(II) タツ $^{\circ}$ 利得が進化桁制限された場合の零点

ここでデータを求める目的とする。

まず、タツ $^{\circ}$ 利得が $\{-1, 0, 1\}$ に限られた場合、トランジistor-カーリ型回路

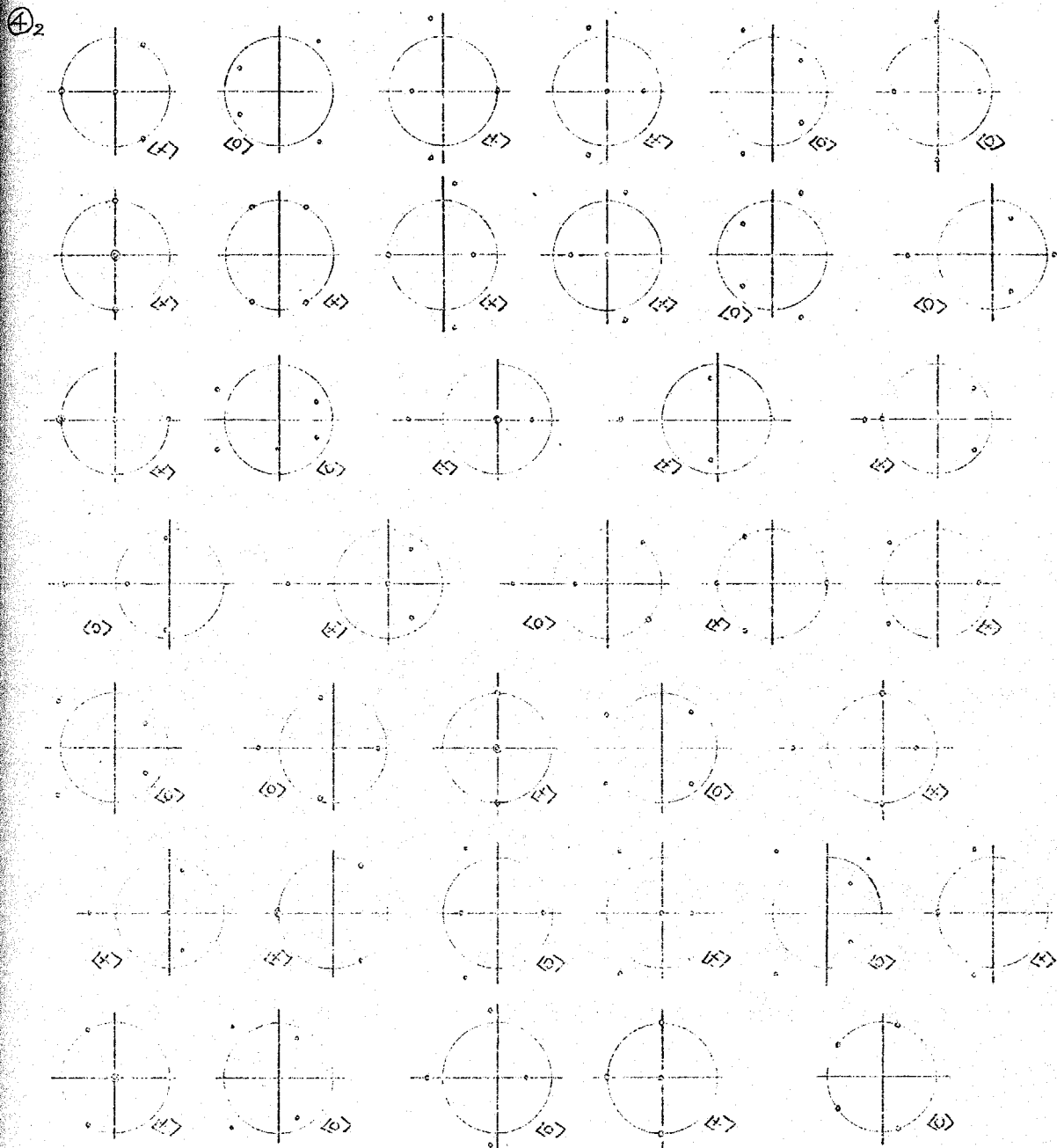


- (1) 6.4)(a)
- ① $z + a = 0$ ($a \in \{-1, 0, 1\}$) の零点
 - ② $z^2 + az + b = 0$ ($a, b \in \{-1, 0, 1\}$) の零点
 - ③ $z^3 + az^2 + bz + c = 0$ ($a, b, c \in \{-1, 0, 1\}$) の零点

④₁(図 6.4) (b)₁ ④ $Z^4 + aZ^3 + bZ^2 + cZ + d = 0$ ($a, b, c, d \in \{-1, 0, 1\}$)

の零点

$\left\{ \begin{array}{l} \langle x \rangle : \text{より低次の多項式の積とくに得られる} \\ \langle 0 \rangle : \text{の} \quad \text{積とくには得られない} \end{array} \right.$



(図6.4) (b)₂ ④ $z^4 + az^3 + bz^2 + cz + d = 0$ ($a, b, c, d \in \{-1, 0, 1\}$)

の零点

$\left\{ \begin{array}{l} \langle xx \rangle : \text{より低次の多項式の積とくに得らぬもの} \\ \langle oo \rangle : \text{の積とくには得らぬいもの。} \end{array} \right.$

の零点と $j\omega$ 、 $-j\omega$ 程度のものが得られるから。 $(\text{図 } 6.4)$ に示す。尚、 $\theta = 70^\circ$ 利得を $\{-1, 0, 1\}$ とすれば、 $Z = e^{-j\omega T}$ の 3 项式である。最高次の係数は 1 で $j\omega$ 一般性を失わない。これは 1 次～4 次までについて $\theta = 70^\circ$ で $Z = e^{-j\omega T}$ 。

次に、比較的利用の広いと考えられる。線型位相フィルタを 2 次分角單に上へ。構成した場合の零点について述べる。すなはち線型位相といふことから、各 2 次区間を掛け合せた多项式は、鏡像多项式にならなければならぬ。以下、实用上重要なと思われる複素根の場合を主とすると、鏡像多项式で複素根をもつところから、一つの 2 次式

$$\left. \begin{aligned} Z^2 + a_1 Z + b_1, \quad & 4b_1 - a_1^2 > 0 \\ Z_1, Z_2 = (-a_1 \pm j\sqrt{4b_1 - a_1^2})/2 \end{aligned} \right\} \quad (6.3-2)$$

とする。

$$\left. \begin{aligned} Z^2 + a_2 Z + b_2, \quad & 4b_2 - a_2^2 > 0 \\ Z_3, Z_4 = (-a_2 \pm j\sqrt{4b_2 - a_2^2})/2 \end{aligned} \right\} \quad (6.3-3)$$

が存在する。

$$x_3 = 1/Z_1, \quad x_4 = 1/Z_2 \quad (\Leftrightarrow b_1, b_2 = 1) \quad (6.3-4)$$

である。 $a_1 = 0$ ときは、 $a_2 = 0$ で、 $b_1, b_2 = 1$ でない時は、虚軸上の零点は

$$\pm j\sqrt{b_1}, \quad \pm j\sqrt{1/b_1}, \quad b_1 (> 0) \in \tilde{\mathbb{N}} \quad (2 \text{ 進の末行の数字集合}) \quad (6.3-5)$$

が限られる。以下、 $a_1, a_2 \neq 0$ とし、式(6.3-4)の条件を満足すると、

$$b_1^2 \cdot a_2^2 = a_1^2 \quad (6.3-6)$$

又、複素根が互いに異なるから。

$$b_1 = (A_1/4) a_1^2, \quad b_2 = (A_2/4) a_2^2, \quad A_1, A_2 > 1. \quad (6.3-7)$$

式(6.3-6), (6.3-7) より、 $b_1, b_2 = 1$ が。

$$A_1 = A_2 \triangleq A (> 1), \quad a_1^2 a_2^2 = (4/A)^2 \quad (6.3-8)$$

が得られる。今、

$$x_1 = r e^{j\theta}, \quad x_2 = r e^{-j\theta}, \quad x_3 = (1/r) e^{-j\theta}, \quad x_4 = (1/r) e^{j\theta} \quad (6.3-9)$$

とする。

$$\left. \begin{aligned} \theta &= \tan^{-1} \left\{ \sqrt{A b_1 - a_1^2} / a_1 \right\} = (|a_1| / a_1) \tan^{-1} \sqrt{A-1}, \quad r = \sqrt{b_1} \\ A &= 4b_1/a_1^2, \quad A > 1, \quad a_1, b_1 \in \tilde{\mathbb{M}} \end{aligned} \right\} \quad (6.3-10)$$

を得る。このとき、特に、 $\tilde{\mathbb{M}}$ と \mathbb{M} の関係は、

$$\tilde{\mathbb{M}}_1 = \{ z^n \mid n = \dots, -2, -1, 0, 1, 2, \dots \} \quad (6.3-11)$$

の場合を考へておくと、式(6.3-10)を満たすのは、

$$A = z^n \quad (n \geq 1), \quad a_1 \in \tilde{\mathbb{M}}, \quad (6.3-12)$$

となる限り、である。

$$b_1 = (A/4) a_1^2 \in \tilde{\mathbb{M}}_1, \quad a_2 = 4/(a_1 \cdot A) \in \tilde{\mathbb{M}}_1, \quad b_2 = 1/b_1 \in \tilde{\mathbb{M}}_1 \quad (6.3-13)$$

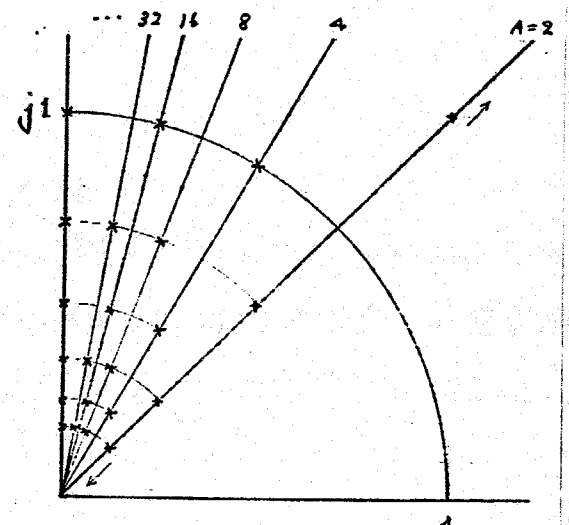
が満たされ、零点の位置は、(図6.5)に示すよう的位置で限られることが分る。但し、(図6.5)には、第1象限の零点について示してあるが、この実軸及び虚軸に近く複数の位置にも零点が存在する。又、虚軸に近づくにつれ、零点は集積する。

次に、より簡単な場合を示す。各2次区間か、その自己鏡像多项式による場合を考へておこう。

$$\left. \begin{aligned} z^2 + Az + 1 &= 0 \\ z_{1,2} &= e^{\pm j\theta}, \\ a &\in \tilde{\mathbb{M}}, \quad |a| < 2 \end{aligned} \right\} \quad (6.3-14)$$

である。このとき、

$$\theta = \frac{|a|}{a} \tan^{-1} \sqrt{\frac{4}{a^2} - 1} \quad (6.3-15)$$



(図6.5) ×: 零点の位置

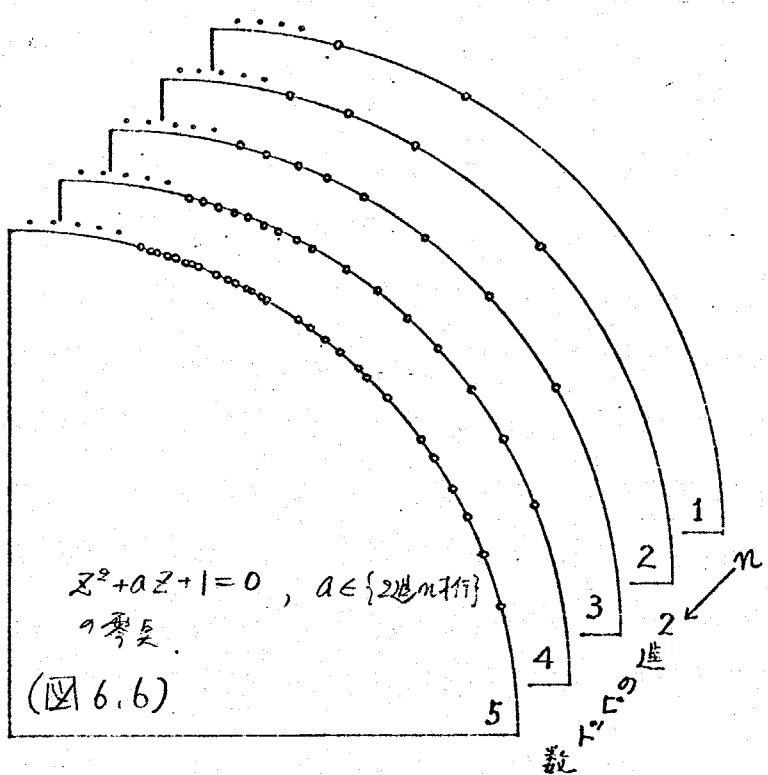
である。従って、 A が大きくなるにつれて、実軸に近い根が得られるようになる。一方で、式(6.3-15)より、 A が2進の倍数となると、最も実軸に近い複素根の偏角 θ_{\min} は。

$$\theta_{\min} = \tan^{-1} \sqrt{\frac{4}{(2^n - 1)/2^{n-1}} - 1} \quad (6.3-16)$$

を用いて A の2進の倍数で、 θ_{\min} の値を表6.2に示す。

<表6.2>

ビット数	θ_{min} (度)
1	60.00°
2	41.41°
3	28.95°
4	20.36°
5	14.36°
6	10.14°
7	7.17°
8	5.07°
9	3.58°
10	2.53°



又、(図 6.6)には、 $Z^2 + aZ + 1 = 0, \quad a \in \{2^{k-1}\}_{k=1}^n$ 得られる零点の位置を示してある。やはり、虚軸に沿って対称である。

尚、零点の n° ターンが、希望特性のそれと一致するに比し、巣密に構成出来る為の必要十分条件である。但し、2乗誤差近似と云ふ以外に、希望特性の零点に近づけると組み合せて構成すると云う方法も必ずしも 2乗誤差を最小とするものではない事に注意しなくてはならない。

6.4 あとがき

本章では、デバイタルスイッチングにおける、本質的に保護器のビット取扱い制限によることを考慮し、離散的かつタップ利得をもつトランジスターカル型回路の設計に関する考察を行った。即ち、前半では、離散的かつタップ利得をもつトランジスターカル型回路の最小2乗近似による設計において、大域的最小誤差を得るヒト分の調査範囲を、直流利得を含めた近似的な場合と、直流利得を問題とする近似的の場合に分け、求めた。又、次善の策として、計算機による一次元探索の反復の局所的最小値を得ることからもたらすか、その際に役立つ目的2、連続空間上での2乗誤差評価関数の形状を、特に、直流利得を問題とする設計の場合について調べた。後半では、タップ利得が2進ル行に制限されて離散型構成によるトランジスターカル型回路で得られる零点の位置を系統的に求め、設計の際役立つと思われるデータをまとめた。

残された問題集とくは、

- (i) 6.2節で得た結果に対する例題を調べ、実際どの程度の範囲を調査範囲に加へばよいかを検討すること。

(ii) 6.2節、特に 6.2.1 項では、本質的に利用した不等式が式(6.2.1-11)など、任意の離散的格子を考慮する場合には、これ以上の不等式はないか若くらむか離散的格子を定める場合、その情報と A, B の情報を利用して、より厳しい不等式を用いることにより、さらに調査範囲を限定することの検討

(iii) 6.3節で与えた零長パラメータを利用して設計、例えは：仕様で与えられた零長に対し、最も近い零長を採用するような設計の結果を 1) 得られる近似特性的特徴を示す。

ヨウホウガサゲル。

オフ章 2次系統型構成による自動等化器

7.1 はじめに

普通、自動等化器として用いられるトランジスタパーカル型回路は、通常型構成のもので、これを等価な2次区間の系統型構成による回路用いることは、少いようである。その理由として、i) 通常型構成の場合、誤差評価式がタップ利得の凸関数になつても、系統型構成によると、誤差評価式がタップ利得の凸関数になることは限らず、局所的最小値に落ち込む可能性がある。ii) タップ利得の自動設定が、通常型の場合のように簡単に行えるか。と云ふ問題のありますことを挙げられる。しかし、タップ利得が諸長制限される場合など、近似する特性によつては、2次系統型構成の方が優れてはいる(32)。2次系統型構成による自動等化器において、大域的最適値を得らるる条件とか、簡単な自動等化アルゴリズムを考察し、自動等化器として用いることの可能性を調べてみること、無意味などではないと思われる。

本章では、2乗誤差評価式とするMS形自動等化器に関する、上記の事柄を検討していく。7.2節では、まず準備として、1.3.3項を引用し、通常型構成によるMS形自動等化器の要領を述べ、次いで、7.3節で定理の基本となる離散行列式に関する補題及び2乗誤差評価式の凸性に関する補題を示していく。7.3節では、2次系統型構成によるトランジスタパーカル型等化器のタップ利得を変ねとする空間について、評価式による2乗誤差を停留させた大域的最適値である為の十分条件を示し、簡単な例を述べる。また、7.4節では、2次系統型構成による自動等化器のタップ利得を変ねとする空間において、2乗誤差を停留させた後へ収束する簡単な自動等化アルゴリズム及びその構成方法を示していく。

本章で得られた結果は、必ずしも、2次系統型構成によるトランジスタパーカル型回路が自動等化器として適していると言つてはないが、その可能性と限界を明らかにしておこう。意味があるものと考える。

(*) 停留という言葉は、全ての方向の偏微分が零となることの意味で用ひられる。
(分筋筋)

7.2 準備

本節では、まず 1.3.3 項を引用し、通常型構成による MS 形自動等化器の要旨を述べてから、次節の定理の基本となる周波行列式に関する補題及び、2乗誤差の凸性に関する補題を証明しておく。

1.3.3 項で述べたように、通常の MS 形自動等化器は、単位回路と 2. 遅延時間 T の理想遅延線を使って通常型構成によるトランジスターカル型回路(図 1.3)を用い、時間領域の等間隔標本長 2 乗誤差

$$\begin{aligned} \varepsilon_1(\mathbf{C}) &\triangleq \sum_{i=-\infty}^{\infty} \{y(iT) - g(iT)\}^2 \\ &= \mathbf{C}' \mathbf{A} \mathbf{C} - 2 \mathbf{C}' \mathbf{b} + \varepsilon_0 \end{aligned} \quad (7.2-1)$$

但し、 $\left\{ \begin{array}{l} y(t) \text{ はトランジスター型回路の出力} \\ g(t) \text{ は希望出力} \end{array} \right.$

$\mathbf{C}, \mathbf{A}, \mathbf{b}, \varepsilon_0$ は式 (1.3.3-2) に同じ、又 $'$ は転置を表す。

をタップ利得 \mathbf{C} に常に最小値をもつとするものとする。この式 (7.2-1) において、相関行列 \mathbf{A} が正値であることは、1.3.3 項で既に指摘に述べた。又、自動等化のタップ設定アルゴリズムは、1.3.3 項 (a) 基本形で述べたもの为基础とされる。この最急降下法を用いて自動等化アルゴリズムが収束して、最適タップ利得 \mathbf{C}_{opt} が得られるのは、式 (7.2-1) の ε_1 が \mathbf{C} の狭義凸関数であることに、あるいは、同値なこととし、 ε_1 の \mathbf{C} に関する n 次の行列である相関行列 \mathbf{A} が正値であることにによっている。更に注意しなくてはならない。即ち、このとき、式 (7.2-1) の ε_1 を最小とする最適タップ利得は、

$$\begin{aligned} \frac{\partial \varepsilon_1}{\partial \mathbf{C}} &\triangleq \left(\frac{\partial \varepsilon_1}{\partial C_0}, \frac{\partial \varepsilon_1}{\partial C_1}, \dots, \frac{\partial \varepsilon_1}{\partial C_N} \right)' \\ &= \mathbf{A} \mathbf{C} - \mathbf{b} = 0 \end{aligned} \quad (7.2-2)$$

の解となり、一意的に定まる。尚、式 (7.2-1) を周波領域で表すと、

$$\varepsilon_1(\mathbf{C}) = \frac{1}{2\pi} \int_{-\pi/T}^{\pi/T} |X^*(\omega) \cdot H_0(\mathbf{C}, e^{j\omega T}) - G^*(\omega)|^2 d\omega \quad (7.2-1')$$

となる。但し、

$$\begin{aligned}
 H_0(C, e^{-j\omega T}) &\triangleq \sum_{m=0}^N C_m e^{-jm\omega T} \\
 X^*(\omega) &\triangleq (1/T) \chi_{\pi/T}(\omega) \cdot \sum_{k=-\infty}^{\infty} X(\omega + 2k\pi/T) \\
 X(\omega) &\leftarrow x(t) : \text{入力} \\
 G^*(\omega) &\triangleq (1/T) \chi_{\pi/T}(\omega) \cdot \sum_{k=-\infty}^{\infty} G(\omega + 2k\pi/T) \\
 G(\omega) &\leftarrow g(t) : \text{希望出力}
 \end{aligned}
 \quad \boxed{\quad} \quad (7.2-3)$$

である。このとき、 $X^*(\omega)$, $G^*(\omega)$ は、 $x(t)$, $g(t)$ を $|\omega| < \pi/T$ の帯域制限内補して波形のフーリエ変換である。

次に、次節の定理の基本となる実数行列式に関する補題と、2乗誤差式の凸性に関する補題と統合で示す。特に(補題7.1)は、それ自体意味深いものである。

(補題7.1)) 最高次係係数が零である偶数次の実係数4次多项式 $F_N(z)$ が存在する。

$$\begin{aligned}
 F_N(z) &\triangleq C_{2N} z^{2N} + C_{2N-1} z^{2N-1} + \cdots + C_1 z + C_0 \\
 &\equiv A \cdot \prod_{i=1}^N (z^2 + a_i z + b_i) \quad (7.2-4)
 \end{aligned}$$

のように分解される。係数 A に関する実数行列式について、次の事実が成立する。

$$\circ z^2 + a_i z + b_i = 0 \text{ と } z^2 + a_j z + b_j = 0 \quad (i \neq j) \text{ が共通根をもつ。}$$

(これを式(7.2-4)の分解形が“素である”又は“素分解”)
“素である”と呼ぶこととする。

\Updownarrow

$$\circ |\mathcal{J}_N| \triangleq \frac{\partial (C_{2N}, C_{2N-1}, \dots, C_1, C_0)}{\partial (A, a_1, b_1, \dots, a_N, b_N)} \neq 0$$

(補題7.1終)

(証明) N に関する帰納法による。まず、 $N=1$ のとき、

$$F_1(z) \triangleq C_2 z^2 + C_1 z + C_0 \equiv A(z^2 + a_1 z + b_1), \quad C_2 \neq 0$$

$$C_2 = A, \quad C_1 = A \cdot a_1, \quad C_0 = A \cdot b_1$$

} (7.2-6)

△'.

$$|\bar{J}_1| \triangleq \frac{\partial (C_2, C_1, C_0)}{\partial (A, a_1, b_1)} = \begin{vmatrix} 1 & a_1 & b_1 \\ 0 & A & 0 \\ 0 & 0 & A \end{vmatrix} = A^2 \neq 0 \quad (7.2-7)$$

より、明らかに式(7.2-5)の事実が成り立つ。

次に、 $N (\geq 1)$ のとき主張が正しいとす、 $N+1$ のときも同様である。

$$\begin{aligned} F_{N+1}(z) &\triangleq d_{2N+2} z^{2N+2} + d_{2N+1} z^{2N+1} + \cdots + d_1 z + d_0 \\ &\equiv A \prod_{i=1}^{N+1} (z^2 + a_i z + b_i) \end{aligned} \quad (7.2-8)$$

しかし、この式は一般性を失うことなく、

$$\begin{aligned} F_N(z) &\triangleq A \cdot \prod_{i=1}^N (z^2 + a_i z + b_i) \\ &\equiv C_{2N} z^{2N} + C_{2N-1} z^{2N-1} + \cdots + C_1 z + C_0 \end{aligned} \quad (7.2-9)$$

における、 $C_{2N} = A = d_{2N+2} \neq 0$ は、式(7.2-9)と同一である。帰納法の仮定より、式(7.2-5)の主張が成り立つ。又、式(7.2-8)は、

$$F_{N+1}(z) \triangleq \sum_{i=0}^{2N+2} d_i z^i = (z^2 + a \cdot z + b) \cdot F_N(z) \quad (7.2-8)'$$

と書ける。但し、簡便の爲、 a_{N+1}, b_{N+1} の代りに a, b と書くこととする（以下同様）。このとき、實際に計算を行うこととする。

$$d_{2N+2} = C_{2N}$$

$$d_{2N+1} = C_{2N-1} + a C_{2N}$$

$$d_{2N} = C_{2N-2} + a C_{2N-1} + b C_{2N}$$

⋮

$$d_{2N-i} = C_{2N-i-2} + a C_{2N-i-1} + b C_{2N-i} \quad (i=0 \sim 2N-2)$$

⋮

$$d_2 = C_0 + a C_1 + b C_2$$

$$d_1 = a C_0 + b C_1$$

$$d_0 = b C_0$$

を得る。よって $N+1$ のときの廣義行列式は、次のようになる。

$$|\bar{J}_{N+1}| = \frac{\partial (d_{2N+2}, d_{2N+1}, \dots, d_1, d_0)}{\partial (A, a_1, b_1, \dots, a_N, b_N, a, b)}$$

$$= \left| \begin{array}{cccccc} \hat{C}_{2N} & \hat{C}_{2N-1} & \hat{C}_{2N-2} & \hat{C}_0 & & \\ + a\hat{C}_{2N} & + a\hat{C}_{2N-1} & \cdots & + a\hat{C}_1 & a\hat{C}_0 & \\ + b\hat{C}_{2N-2} & & & + b\hat{C}_2 & + b\hat{C}_1 & b\hat{C}_0 \\ \hline 0 & C_{2N} & C_{2N-1} & \cdots & C_1 & C_0 & 0 \\ 0 & 0 & C_{2N} & \cdots & C_2 & C_1 & C_0 \end{array} \right| \quad \left. \begin{array}{l} 2N+1 \text{ 行} \\ 2 \text{ 行} \end{array} \right\} \quad (7.2-11)$$

但し、

$$\hat{C}_{2N-i} = \left(\frac{\partial C_{2N-i}}{\partial A}, \frac{\partial C_{2N-i}}{\partial a_1}, \frac{\partial C_{2N-i}}{\partial b_1}, \dots, \frac{\partial C_{2N-i}}{\partial a_N}, \frac{\partial C_{2N-i}}{\partial b_N} \right)' \quad (7.2-12)$$

“左”と“右”、式(7.2-11)の列に関する基本変形を施す。即ち、第2列から第3列の a 倍を引く。続いて得られた行列の第3列から、第2列の a 倍と、第1列の b 倍を引く。以下、同様の操作をくり返すと、行列式の値は不变で、式(7.2-11)は、次のように変形された。

$$|J_{N+1}| = \left| \begin{array}{cccccc} \hat{C}_{2N} & \hat{C}_{2N-1} & \cdots & \hat{C}_0 & 0 & 0 \\ * & * & \cdots & * & \diagdown R_{N+1} & \\ * & * & \cdots & * & \diagup R_{N+1} & \end{array} \right| = |J_N| \cdot |R_{N+1}| \quad (7.2-13)$$

さらには、式(7.2-11)の形、ならびに基本変形の仕方の式(7.2-13)と $|R_{N+1}|$ の

$$\left| \begin{array}{cccccc} 1 & a & b & & & \\ 1 & a & b & & & \\ 1 & a & b & & & \\ \cdot & \cdot & \cdot & & & \\ \cdot & \cdot & \cdot & & & \\ 1 & a & b & & & \\ \hline C_{2N} & C_{2N-1} & \cdots & C_1 & C_0 & \\ C_{2N} & \cdots & C_2 & C_1 & C_0 & \end{array} \right| \quad \left. \begin{array}{l} 2N+1 \text{ 行} \\ 2 \text{ 行} \end{array} \right\} = \left| \begin{array}{cccccc} 1 & a & b & & & \\ 1 & a & b & & & \\ \cdot & \cdot & \cdot & & & \\ \cdot & \cdot & \cdot & & & \\ 1 & a & b & & & \\ C_{2N} & C_{2N-1} & \cdots & C_1 & C_0 & \\ C_{2N} & \cdots & C_2 & C_1 & C_0 & \end{array} \right| \quad \left. \begin{array}{l} 2N+1 \text{ 行} \\ 2 \text{ 行} \end{array} \right\} \quad (7.2-14)$$

を等しいことか、容易に分る。さて32、式(7.2-14)の右辺は、 $(z^2 + az + b)$ と $F_N(z)$ の終結式の行列式表現(左)、結局、

$$|R_{N+1}| = C_{2N}^2 \prod (\alpha_\mu - \beta_\nu), \quad C_{2N} = A \neq 0 \quad (7.2-15)$$

但し、 $(\alpha_\mu$ は $z^2 + az + b = 0$ の根、 β_ν は $F_N(z) = 0$ の根?)
 (左)、 \prod は $\mu = 1 \sim 2, \nu = 1 \sim 2N$ の全 z を渡すものとする。

が得られる⁽⁴⁵⁾。よし。

$z^2 + az + b = 0$ と $F_N(z) = 0$ が共通根をもつ $\Leftrightarrow |R_{N+1}| \neq 0$ (7.2-16)
が成り立つ。

以上より、 $F_{N+1}(z) \triangleq \sum_{i=0}^{2N+2} d_i z^i = A(z^2 + az + b) \prod_{i=1}^N (z^2 + a_i z + b_i)$ が“素分解”である。その一部²である $F_N(z) \triangleq A \prod_{i=1}^N (z^2 + a_i z + b_i) = \sum_{i=0}^{2N} C_i z^i$ が明らかに“素分解”となる。よし。式(7.2-16)より、 $|R_{N+1}| \neq 0$ 。又、帰納法の仮定から、 N のとき、式(7.2-5)の主張が成り立つ、 $|J_N| \neq 0$ 。よし。式(7.2-13)より、 $|J_{N+1}| \neq 0$ を得る。遂に、 $|J_{N+1}| \neq 0$ ならば、 $|J_N| \neq 0$ 且つ $|R_{N+1}| \neq 0$ 。よし。 N のとき、式(7.2-5)が成り立つとえう假定と、式(7.2-16)が²。 $F_{N+1}(z) = \sum_{i=0}^{2N+2} d_i z^i = A(z^2 + az + b) \cdot \prod_{i=1}^N (z^2 + a_i z + b_i)$ は“素分解”である。これで、 $N+1$ のときも、式(7.2-5)の主張が証明されたことになる。(証明終)

(補題7.1)から直接得られる特別の場合と同様の事が成り立つ。

((補題7.1の系)) (補題7.1)より

① 「式(7.2-4)の $F_N(z)$ が重根をもつ $\Rightarrow |J_N| \neq 0$ 」 (7.2-17)

② 式(7.2-4)の $F_N(z)$ が、0または2個の実根しかもつない場合、

「 $F_N(z) = 0$ が複素重根をもつ $\Leftrightarrow |J_N| \neq 0$ 」 (7.2-18)

が成り立つ。

(補題7.1の系)

尚、(補題7.1)は、一般に複数(併ね)の個数を変えない、実倍数の範囲での任意の分解に対する拡張であることを考へよう。

本節の最後に、凸性に関する補題を示しておく。

((補題7.2)) (凸性の十分条件)。 N 次元ユークリッド空間内の一つの凸領域 $K \subseteq \mathbb{R}^N$ 及び $F(C, z)$ が与えられたとき、任意の $C_1, C_2 \in K$ 、任意の λ ($0 \leq \lambda \leq 1$) に対して、

$$F\{(1-\lambda)C_1 + \lambda C_2, z\} = (1-\lambda)F(C_1, z) + \lambda F(C_2, z) \quad (7.2-19)$$

が成り立つは、任意の $G(z) \in K$ は、又、任意の $z = \varphi(\omega) \in K$ は、

$$(1-\lambda) \int_{\alpha}^{\beta} |F(C_1, z) - G(z)|^2 d\omega + \lambda \int_{\alpha}^{\beta} |F(C_2, z) - G(z)|^2 d\omega$$

$$\geq \int_{\alpha}^{\beta} |F\{(1-\lambda)C_1 + \lambda C_2, z\} - G(z)|^2 d\omega, \text{ 但し } 0 \leq \lambda \leq 1 \quad (7.2-20)$$

が成り立つ。即ち、 $\int_{\alpha}^{\beta} |F(C, z) - G(z)|^2 d\omega \quad (z = e^{j\omega T})$ は、 C が I の広義の凸関数である。さらに、 $C_1 \neq C_2$ のとき、区間 (α, β) に含まない測度が零となる集合 I が存在する。

$$C_1 \neq C_2 \Rightarrow F(C_1, \varphi(\omega)) \neq F(C_2, \varphi(\omega)), \quad \omega \in I \quad (7.2-21)$$

が成り立つは、 $0 < \alpha < 1 < \beta$ とし、式(7.2-20)は、不等号でなり立つ。

$$\int_{\alpha}^{\beta} |F(C, \varphi(\omega)) - G(\varphi(\omega))|^2 d\omega \text{ は } C \text{ が } I \text{ の狭義凸関数である。}$$

(補題 7.2. 終)

(証明) 式(7.2-19)の条件を用いて。実際 \leq 式(7.2-20)の左辺から右辺を引くと、

$$(左辺) - (右辺) = \alpha(1-\alpha) \int_{\alpha}^{\beta} |F(C_1, \varphi(\omega)) - F(C_2, \varphi(\omega))|^2 d\omega \geq 0 \quad (7.2-22)$$

が得られる。又、 \therefore 式(7.2-21)が成り立つは、 $0 < \alpha < 1 < \beta$ とし、式(7.2-22)は、不等号で成り立つ、狭義の凸関数となることが示された。(証明終)

次に、(補題 7.2)から直接に導かれる結果をまとめて述べておく。

((補題 7.2 の系 1)) $F(C, z) = \sum_i c_i z^i \quad (z = e^{-j\omega T})$ とすれば、任意の $G(\omega)$ に対して、 $\int_{-\pi/T}^{\pi/T} |\sum_i c_i e^{-j\omega T} - G(\omega)|^2 d\omega$ は、 C の狭義凸関数である。これは、1.3.2 項では、1.3.3 項で指摘したとおりである。((補題 7.2 の系 1. 終))

((補題 7.2 の系 2)) $C = (a, b)$ とし、 $F(C, z) = (z^2 + az + b) \cdot f(z) \quad (z = e^{-j\omega T})$ とすれば、任意の $G(\omega)$ に対して、 $\int_{-\pi/T}^{\pi/T} |(z^2 + az + b) \cdot f(z) - G(\omega)|^2_{(z = e^{-j\omega T})} d\omega$ は、 (a, b) の狭義凸関数である。但し、 $f(z)$ は、 a, b を含まない周期とする。

(補題 7.2 の系 2. 終)

((補題 7.2 の系 3)) $C = (A)$ とし、 $F(C, z) = A \cdot f(z) \quad (z = e^{-j\omega T})$ とすれば、任意の $G(\omega)$ に対して、 $\int_{-\pi/T}^{\pi/T} |A \cdot f(z) - G(\omega)|^2_{(z = e^{-j\omega T})} d\omega$ は、 A の狭義凸関数である。((補題 7.2 の系 3. 終))

証明は、いすれも、 $F(C, z) \quad (z = e^{-j\omega T})$ が、(補題 7.2)の式(7.2-19)及式(7.2-21)の条件を満たすところに得られる。尚、上の系 2 及び系 3 は、7.4節で用いた。

7.3 大域的最適解である為の十分条件.

本節では、2次系統型構成によるトランシルバル型回路のタップ利得を変数とする空間における、2乗誤差評価関数を停留させた場合、大域的最適解である為の十分条件を示す。

(図7.1) によると、2次系統型構成によるトランシルバル型回路を考へることにし、

この構成によつて、式(7.2-1)

の2乗誤差を最小化する

とを考へる。即ち、変数の選

択とことと強調する為、 ε_1 の

代りに ε_2 を書くことにし、

$$\begin{aligned} \varepsilon_2(A, a_1, b_1, \dots, a_N, b_N) &\triangleq \sum_{i=-\infty}^{\infty} \{y(iT) - g(iT)\}^2 \\ &= \frac{1}{2\pi} \int_{-\pi/T}^{\pi/T} |X^*(\omega) \cdot H_2(A, a_1, b_1, \dots, a_N, b_N, e^{-j\omega T}) - G^*(\omega)|^2 d\omega \quad (7.3-1) \end{aligned}$$

$$\text{但し, } H_2(A, a_1, b_1, \dots, a_N, b_N) \triangleq A \prod_{i=1}^N (z^2 + a_i z + b_i) \quad (7.3-2)$$

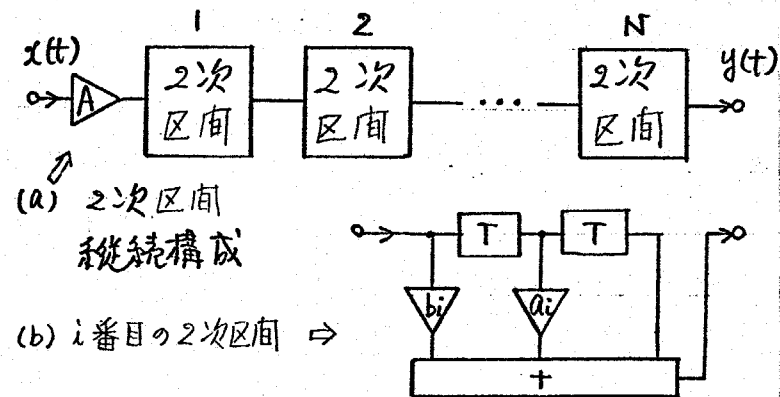
他は、式(7.2-3)と同じ。

左、変数 $\{A, a_1, b_1, \dots, a_N, b_N\}$ に関する、最小化する場合の問題について考へる。
MS形自動等化器における場合は、最急降下法が基本であり、通常型構成における場合は、式(7.1-1)の $\varepsilon_1(C)$ が、①の狭義凸関数である為、 $\partial \varepsilon_1 / \partial C = 0$ を満足し、最適タップ利得 C_{opt} が一意的に求まる。しかし、変数の選択、式(7.3-1)の $\varepsilon_2(A, a_1, b_1, \dots, a_N, b_N) \geq 0$ 、一般に凸性が保証されるとは限らず、

$$\frac{\partial \varepsilon_2}{\partial A} = 0, \frac{\partial \varepsilon_2}{\partial a_i} = 0, \frac{\partial \varepsilon_2}{\partial b_i} = 0 \quad (i=1 \sim N) \quad (7.3-3)$$

を満足し収束する最急降下法によく得られる解が最適解である保証はない。但し、式(7.3-3)を満足

$$(A_0, a_{10}, b_{10}, \dots, a_{N0}, b_{N0}) \quad (7.3-4)$$



(図7.1) 2次系統型構成によるトランシルバル型回路

に関して、それが、最適点であることを保証する次の定理が成り立つ。

((定理2.1)) 変数 $(A, a_1, b_1, \dots, a_N, b_N)$ の周波数 ω に対する式(7.3-1)の ε_2 を停留させたとき $(A_0, a_{10}, b_{10}, \dots, a_{N0}, b_{N0})$ が、 ε_2 の実域的最小値である為の十分条件は、式(7.3-2)に示す如き 2 次系統型構成によるトランスリーガル型回路の伝達関数

$$H_2(A_0, a_{10}, b_{10}, \dots, a_{N0}, b_{N0}) = A_0 \cdot \prod_{i=1}^N (z^2 + a_{i0}z + b_{i0}) \quad (7.3-5)$$

か.“素分解”になつて“まとめて”ある。
(定理7.1・終)

(証明) 通常型構成によるトランスistor-カーリ型回路のタップ利得 $C = (C_0, C_1, \dots, C_{2N})$ を変化する空間では、最適解が一意的に決まるこに注意しておく。とくに、

$$H_0(\ell, \mathbb{Z}) \cong \sum_{m=0}^{2N} C_m \mathbb{Z}^m, \quad C_{2N} \neq 0$$

$$H_2(A, a_1, b_1, \dots a_N, b_N, z) \cong A \prod_{i=1}^N (z^2 + a_i z + b_i), \quad A \neq 0$$

を等置すると、 $H_0(C, Z)$ の像が C_m ($m=0 \sim 2N$) 且 $(A, a_1, b_1, \dots, a_N, b_N)$ の積和と即座に表される、従つ \mathcal{L} の致仕所

$$\frac{\partial C_n}{\partial A}, \frac{\partial C_m}{\partial a_i}, \frac{\partial C_m}{\partial b_i} \quad m=0 \sim N, i=1 \sim N$$

が存在し、連続である。よって、式(7.3-3)は、

$$\frac{\partial \mathcal{E}_2}{\partial \alpha} = \sum_{m=0}^{2N} \frac{\partial \mathcal{E}_1}{\partial C_m} \frac{\partial C_m}{\partial \alpha} = 0 \quad \alpha: A, a_i, b_i \ (i=1 \sim N)$$

では、行列表現すれば

$$\begin{pmatrix} \frac{\partial \varepsilon_2}{\partial A} \\ \frac{\partial \varepsilon_2}{\partial a_1} \\ \frac{\partial \varepsilon_2}{\partial b_1} \\ \vdots \\ \vdots \\ \frac{\partial \varepsilon_2}{\partial a_N} \\ \frac{\partial \varepsilon_2}{\partial b_N} \end{pmatrix} = \begin{pmatrix} \frac{\partial C_0}{\partial A} & \frac{\partial C_1}{\partial A} & \cdots & \frac{\partial C_{2N}}{\partial A} \\ \frac{\partial C_0}{\partial a_1} & \frac{\partial C_1}{\partial a_1} & \cdots & \frac{\partial C_{2N}}{\partial a_1} \\ \frac{\partial C_0}{\partial b_1} & \frac{\partial C_1}{\partial b_1} & \cdots & \frac{\partial C_{2N}}{\partial b_1} \\ \vdots & \vdots & \ddots & \vdots \\ \vdots & \vdots & \ddots & \vdots \\ \frac{\partial C_0}{\partial a_N} & \frac{\partial C_1}{\partial a_N} & \cdots & \frac{\partial C_{2N}}{\partial a_N} \\ \frac{\partial C_0}{\partial b_N} & \frac{\partial C_1}{\partial b_N} & \cdots & \frac{\partial C_{2N}}{\partial b_N} \end{pmatrix} \begin{pmatrix} \frac{\partial \varepsilon_1}{\partial C_0} \\ \frac{\partial \varepsilon_1}{\partial C_1} \\ \vdots \\ \vdots \\ \frac{\partial \varepsilon_1}{\partial C_{2N}} \end{pmatrix} = \emptyset \quad (7.3-3)$$

47830 - 20105.

$$|J_N| \triangleq \frac{\partial (C_0, C_1, \dots, C_{2N})}{\partial (A, a_1, b_1, \dots, a_N, b_N)} \neq 0 \quad (7.3-6)$$

“あれば”， $(\partial \varepsilon_2 / \partial A, \partial \varepsilon_2 / \partial a_1, \partial \varepsilon_2 / \partial b_1, \dots, \partial \varepsilon_2 / \partial a_N, \partial \varepsilon_2 / \partial b_N)' = 0$ のとき，式(7.3-3)'
は，自明な解 $(\partial \varepsilon_1 / \partial C_0, \partial \varepsilon_1 / \partial C_1, \dots, \partial \varepsilon_1 / \partial C_{2N})' = \partial \varepsilon_1 / \partial C = 0$ (かもね)。
これは， ε_1 の唯一の最適値を与え，従ってこのとき，式(7.3-3)の解は，尤域的最適値と等しい。

ところで，前節の《補題7.1》より。

$$A \cdot \prod_{i=1}^N (z^2 + a_i z + b_i) \text{ が "素分解" } \Leftrightarrow |J_N| \neq 0 \quad (7.2-5)$$

“あれば”より，式(7.3-3)を満す値を $(A_0, a_{10}, b_{10}, \dots, a_{N0}, b_{N0})$ とするとき，
 $H_2(A, a_{10}, b_{10}, \dots, a_{N0}, b_{N0}, z)$ が，“素分解”である，“山は”，それは，式(7.3-1)の $\varepsilon_2 (= \varepsilon_1)$ を最小とする最適解である。 (証明・省略)

(定理7.1)は， $H_2(A_0, a_{10}, b_{10}, \dots, a_{N0}, b_{N0})$ が“素分解”である場合には，
に実じては，何も言いません；その場合，最適とは最適でないともいえます。従って，(定理7.1)が，最適値が“みつかるかを判定する道筋として役立つ”には，近似すべき特性 $G^*(\omega) / X^*(\omega)$ を $Z = e^{-j\omega T}$ の多项式として表しておき，それが，重根でもない“ようひ形”十分精度よく表せば，これが必要です。もし，そのような状況が成り立つと見なせば，式(7.3-3)を満す値へ収束するアルゴリズムが得られて $H_2(A_0, a_{10}, b_{10}, \dots, a_{N0}, b_{N0})$ が“素分解”になり，それが
どうかを判定し，“素分解”にならないときは，適当に初期値を表して，同じアルゴリズムを走らせて，“素分解”となるようにする方法をとることが可能であります。

本節の終りに，(定理7.1)を例証する簡単な例を示す。

(例1) 次の2乗誤差を考へる。近似すべき特性が， $x^2 + 3x + 2 = (x+1)(x+2)$ を素分解に沿って，2通り注意してみる。

$$\varepsilon_1 = \sum_{x=-\sqrt{10/3}, 0, \sqrt{10/3}} \left\{ (x^2 + C_1 x + C_0) - (x^2 + 3x + 2) \right\}^2$$

$$\varepsilon_2 = \sum_{x=-\sqrt{10/3}, 0, \sqrt{10/3}} \left\{ (x+a)(x+b) - (x^2 + 3x + 2) \right\}^2$$

すると， ε_1 はつねに 0 と， ε_2 は 2，

$$\frac{\partial \mathcal{E}_1}{\partial C_1} = (6/5)(C_1 - 3) = 0, \quad \frac{\partial \mathcal{E}_1}{\partial C_0} = 6(C_0 - 2) = 0$$

より、 \mathcal{E}_1 を最大とする最適解が

$$C_1 = 3, \quad C_0 = 0, \quad \mathcal{E}_{1\min} = 0$$

と(2)一致的である。次に \mathcal{E}_2 についても同様。このとき、最適解が

$$a=1, b=2 \quad \text{または}, \quad a=2, b=1$$

であることは、明らか。然るに

$$\frac{\partial \mathcal{E}_2}{\partial a} = (6/5) \{(a+b-3) + 3b(ab-2)\}$$

$$\frac{\partial \mathcal{E}_2}{\partial b} = (6/5) \{(a+b-3) + 3a(ab-2)\}$$

となり、これらを満たすのは

$$\textcircled{1} \quad a=1, b=2, \quad \textcircled{1}' \quad a=2, b=1$$

$$\textcircled{2} \quad a=b=-1$$

$$\textcircled{3} \quad a=b=(5+\sqrt{85})/10, \quad \textcircled{3}' \quad a=b=(5-\sqrt{85})/10$$

の合計 5つ存在する。これらの中、 $\textcircled{1}, \textcircled{1}'$ は、素分解となり、最適解である。一方 $\textcircled{2}, \textcircled{3}, \textcircled{3}'$ は、素分解ではなく、この場合、最適解ではない。又、簡単な計算を行ってみると、 $\textcircled{3}, \textcircled{3}'$ の場合は上に凸な停留点であり、 $\textcircled{2}$ は下に凸な停留点であることが分かる。従って、最急降下法によると、 $\textcircled{3}$ および $\textcircled{3}'$ を落着くことは、ほとんど落ちないが、 $\textcircled{2}$ の場合は安定であり、最適である局所的極小点となる。

(例終)

2.4 自動等化アルゴリズム

(図7.1) に示した2次系統型構成によるトランシーバー型回路と自動等化器と
との併用などを考へると、そのタップ利得設定アルゴリズムを考察にあがむ
れば“ならぬ”。まず、式(7.3-3)'に基づいて、 k 回目の反復操作とし、 $2\varepsilon_2/2C_k$
から、 $(2\varepsilon_2/2A, 2\varepsilon_2/2a_1, 2\varepsilon_2/2b_1, \dots, 2\varepsilon_2/2a_N, 2\varepsilon_2/2b_N)_k$ を求めて、最急降下法を用い
よと云う方法が考へられる。この方法、 k よれば、必ず完成的最適化を到達す
るという特長はあるが、 $2\varepsilon_1/2C_k$ を用ひる爲に、別個に通常型構成のトラン
シーバー型回路を用意する必要がある。又、式(7.3-3)'にあらず、変換行列 J_N
を掛けてやる必要があり。さら k 、各反復操作毎 k 、 $(A, a_1, b_1, \dots, a_N, b_N)_k$
の値に従って、 J_N の要素及び、 $2\varepsilon_1/2C_{k+1}$ を求める爲のトランシーバー型回路
のタップ利得 C_{k+1} 及 $H_0(C_{k+1}, z) = H_2((A, a_1, b_1, \dots, a_N, b_N)_k, z)$ と有るが
に変えてやらねばならぬ”という非常に煩雑である。

そこで、本節では、式(7.3-3)を漸すぎへ収束する簡単な自動等化アルゴリ
ズム及び、その構成方法を与えておくことにす。

式(7.3-1)から、式(7.3-3)を計算すると、まず、 $2\varepsilon_2/2A = 0$ より

$$A = \frac{\int_{-\pi/T}^{\pi/T} \operatorname{Re} \left\{ X^*(\omega) \prod_{i=1}^N (z^2 + a_i z + b_i) \Big|_{z=e^{-j\omega T}} \cdot G^*(\omega) \right\} d\omega}{\int_{-\pi/T}^{\pi/T} |X^*(\omega) \cdot \prod_{i=1}^N (z^2 + a_i z + b_i) \Big|_{z=e^{-j\omega T}}|^2 d\omega} \quad (7.4-1)$$

が得られ、これを時間領域に直すと、標準化定理及 α^2, β^2 -ルルの等式を使ひ、

$$A = \frac{\sum_{i=-\infty}^{\infty} y_A(iT) \cdot g(iT)}{\sum_{i=-\infty}^{\infty} g^2(iT)}, \text{ 但し, } y_A(t) \leftrightarrow X(\omega) \cdot \prod_{i=1}^N (z^2 + a_i z + b_i) \Big|_{z=e^{j\omega T}} \quad (7.4-1)'$$

となり、(図7.2)(a) に示すように装置化される。同様に、 $2\varepsilon_2/2a_p = 0$ 及 ω .

$2\varepsilon_2/2b_p = 0$ より、 a_p, b_p は廃す

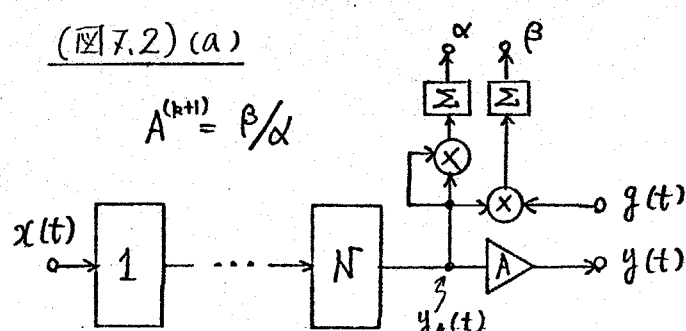
連立方程式が得られる。

$$\begin{pmatrix} \alpha_{aa} & \alpha_{ab} \\ \alpha_{ab} & \alpha_{bb} \end{pmatrix} \begin{pmatrix} a_p \\ b_p \end{pmatrix} = \begin{pmatrix} \beta_a \\ \beta_b \end{pmatrix} \quad (7.4-2)$$

次には、

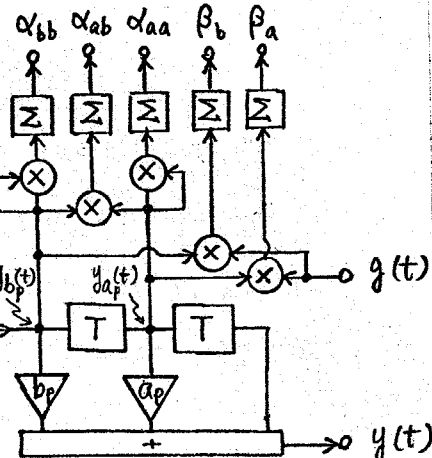
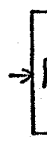
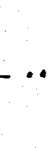
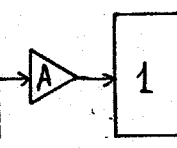
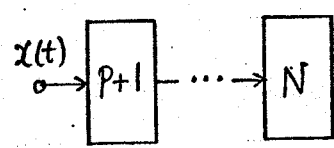
$$\begin{pmatrix} a_p \\ b_p \end{pmatrix} = (\alpha_{aa} \alpha_{ab})^{-1} \begin{pmatrix} \beta_a \\ \beta_b \end{pmatrix} \quad (7.4-2)'$$

(図7.2)(a)



(図7.2) (b)

$$\begin{pmatrix} \alpha_p^{(t+1)} \\ b_p^{(t+1)} \end{pmatrix} = \begin{pmatrix} \alpha_{aa} & \alpha_{ab} \\ \alpha_{ab} & \alpha_{bb} \end{pmatrix}^{-1} \begin{pmatrix} \beta_a \\ \beta_b \end{pmatrix}$$



但し、

$$\left. \begin{aligned} \alpha_{aa} &\triangleq \sum_{i=-\infty}^{\infty} y_{ap}^2(iT), \quad y_{ap}(t) \leftarrow X(\omega) \cdot A \cdot \prod_{i \neq p} (Z^2 + a_i Z + b_i) \Big|_{Z=e^{j\omega T}} \\ \alpha_{bb} &\triangleq \sum_{i=-\infty}^{\infty} y_{bp}^2(iT), \quad y_{bp}(t) \leftarrow X(\omega) \cdot A \cdot \prod_{i \neq p} (Z^2 + a_i Z + b_i) \Big|_{Z=e^{-j\omega T}} \\ \alpha_{ab} &\triangleq \sum_{i=-\infty}^{\infty} y_{ap}(iT) \cdot y_{bp}(iT) \\ \beta_a &\triangleq \sum_{i=-\infty}^{\infty} y_{ap}(iT) \cdot g(iT) \\ \beta_b &\triangleq \sum_{i=-\infty}^{\infty} y_{bp}(iT) \cdot g(iT) \end{aligned} \right\} \quad (7.4-3)$$

式(7.4-2)は、2元一次の連立方程式である。逆行剤を用ひ、 a_p, b_p を計算する装置を組み込むことは、比較的簡単となるから。又、式(7.4-3)で与えられる $\alpha_{aa}, \alpha_{bb}, \alpha_{ab}, \beta_a, \beta_b$ は、(図7.2) (b) のような装置で求められる。

ここで、省略、(補題7.2の系2)及び(補題7.2の系3)より、 $\varepsilon_2(A, a_1, b_1, \dots, a_N, b_N)$ は、 (a_p, b_p) ($p=1 \sim N$) 及び、 A が開ループ狭義凸関数であるとき、式(7.4-1)' 及び、式(7.4-2)' で、求められる各2次区間に属するタップを得る。その状態が最適なものである。従って、 A 及び (a_p, b_p) ($p=1 \sim N$) を 1 サイクルとし、反復操作を考へると、各反復操作に対し、 ε_2 は 広義単調減少となる。一方 ε_2 は、明らかに下限を持つので、この反復操作は収束し、そのとき、 $\partial \varepsilon_2 / \partial A = 0, \partial \varepsilon_2 / \partial a_p = 0, \partial \varepsilon_2 / \partial b_p = 0$ ($p=1 \sim N$)

加、同時に満たされることは、明らかである。よって、このアルゴリズムは、式(7.3-1)の ε_2 を停留させた後へ収束する。

7.4 あとがき、

本章では、2次系統型構成によるトランジistor型回路を自動等化器として用ひること可能性を検討し、2次系統型構成による等化器のタップ利得を発揮する空間で、2重誤差評価式を停留させた最小尤氏的最適化²方式の十分性と、伝達関数を $Z = e^{j\omega T}$ の多项式としたとき、“素分解”になつてよいことであることを示した。又、2次系統型構成による等化器のタップ利得を発揮する空間で、2重誤差評価式を停留させた後に収束する簡単な自動等化アルゴリズムを与えた。

但し、本章で提案した2次系統型構成による自動等化器が、实用上可能では、まず(定理 2.1)が、効力を發揮する為に

① 近似すべき特性が $Z = e^{j\omega T}$ の多项式と表されたとき、仙か、重根を持たない形で十分精度よく近似されること。

が必要であり、このときには、7.3節で示した自動等化アルゴリズムによって得られた2次系統型構成によるトランジistor型回路の伝達関数が、“素分解”であるか否かを判定し、素分解でないならば、初期値を変えて、再び等化を行ってやることで、出来ること。

② その初期値をどう選んでやれば“良い”か

といった大きな問題が残されており、2次系統型構成によるトランジistor型回路を自動等化器として用ひるには、相当の困難が予想される事を覺ゆる様に思われる。

第8章 ブラシスパーカル型回路を用いたSSBデジタル変復調器の 一形式

8.1 はしがき

最近、デジタル技術の進歩に伴い、周波数分割多重通信用変復調装置のデジタル化が検討され、既に K. 石井⁽³³⁾、T. 長谷川⁽³⁴⁾、M. 岩田⁽³⁵⁾等が発表されています。

そこで、本章では、トランジistor-カーリ型回路で構成される周波数分割多重 SSB-AM デジタル変復調システムの一形式について述べます。すなはち、8.2節では準備として標本化定理及び、アーリエ变换の簡単な性質について述べ、続いて 8.3 节、8.4 节では、変調部及び復調部の構成方法を示します。ついで、提案される方式の特徴は、標本化定理に基づき、ナイスト间隔⁽³⁶⁾と之から基底帯域信号の時系列から、当該時系列を周波数分割して SSB 信号のナイスト间隔における時系列が直接にいかにも明確な形で得られることが認められます。このことは、復調においても同様です。尚、量子化誤差の検討は、本章の目的としましてはないうち、各時系列は、すべて、標本値データとし取つておくことになります。

8.2 準備

本節では、本章で用ひる記号の説明と、標準化定理及びフーリエ変換の簡単な性質を示し、又、8.3節及び8.4節で扱う問題を明らかにしておく。

以下、本書では、時間関数を小文字で、又、そのフーリエ変換を大文字で表すことにして、変換対を $X(t) \leftrightarrow X(\omega)$ のように記す。又、 \pm で複素共役を表し、Re・Im で実部及ぶ虚部を表すことにする。

次に標準化定理に関する補題を述べておく。

(補題8.1) $X(\omega)$, $Y(\omega)$ が、 $0 \leq \omega_1 \leq |\omega| \leq \omega_2$ の帯域制限を持つとき、 $\omega_2/(\omega_2 - \omega_1) = N$ (整数) のとき複素共役が成り立つことは証明され、 $Z(\omega) \triangleq X(\omega) \cdot Y(\omega)$ が相当する時間波形は、次式で与えられる。

$$z(t) = T_0 \sum_{m=-\infty}^{\infty} x(mT_0 + t_0) \cdot y(t - mT_0 - t_0) \leftrightarrow Z(\omega) \triangleq X(\omega) \cdot Y(\omega) \quad (8.2-1)$$

但し、($T_0 \triangleq \pi/(\omega_2 - \omega_1)$), t_0 : 任意定数、

$$\begin{cases} x(t) \leftrightarrow X(\omega), & y(t) \leftrightarrow Y(\omega). \end{cases}$$

(補題8.1 終)

(証明) 実際上 式(8.2-1) の $z(t)$ を \mathcal{F} -逆変換すると

$$Z(\omega) = T_0 \cdot \sum_{m=-\infty}^{\infty} x(mT_0 + t_0) \cdot e^{-j\omega(mT_0 + t_0)} \cdot Y(\omega)$$

∴ ここで ポワソンの重和式を用ひれば

$$Z(\omega) = \sum_{m=-\infty}^{\infty} X(\omega + 2m\pi/T_0) e^{j2m\pi/T_0 t_0} \cdot Y(\omega)$$

又、 $X(\omega)$ が、 $\omega_1 \leq |\omega| \leq \omega_2$ の帯域制限を持つとき、上式の和は $n=0$ のとき最も大きくなることになり、生じることはなく。亦ち、 $n=0$ のとき $X(\omega)$ が $Y(\omega)$ と等しいことである。

$$Z(\omega) = X(\omega) \cdot Y(\omega)$$

を得る。 (証明終)

フーリエ変換の一つの性質と zwar $a(t) \leftrightarrow A(\omega)$ のとき、

$$A(\omega - \bar{\omega}) \leftrightarrow a(t) e^{j\bar{\omega}t} \quad (8.2-2)$$

が成立することを挙げておく。

さて、本書の目的は、(図8.1) に示すように ω_0 (rad/sec) で帯域制限を持つ基底帯域信号 $f_k(t)$ ($k=1 \sim K$) のナベスト周期での時系列 $f_k(nT + t_k)$ (但し、 $T \triangleq \pi/\omega_0$, $0 \leq t_k < T$) から、それを周波数分割して DSB 信号

$f(t)$ のナイキスト周期

K 番目までの時系列 $\{f(m\tau)\}$

(但し, $\tau \triangleq T/K$) を求めよ

変調部と, 逆に $\{f(m\tau)\}$

から, $f_k(mT+t_k)$ ($k=1 \sim K$) を求めよ復調

部を構成すればよい(

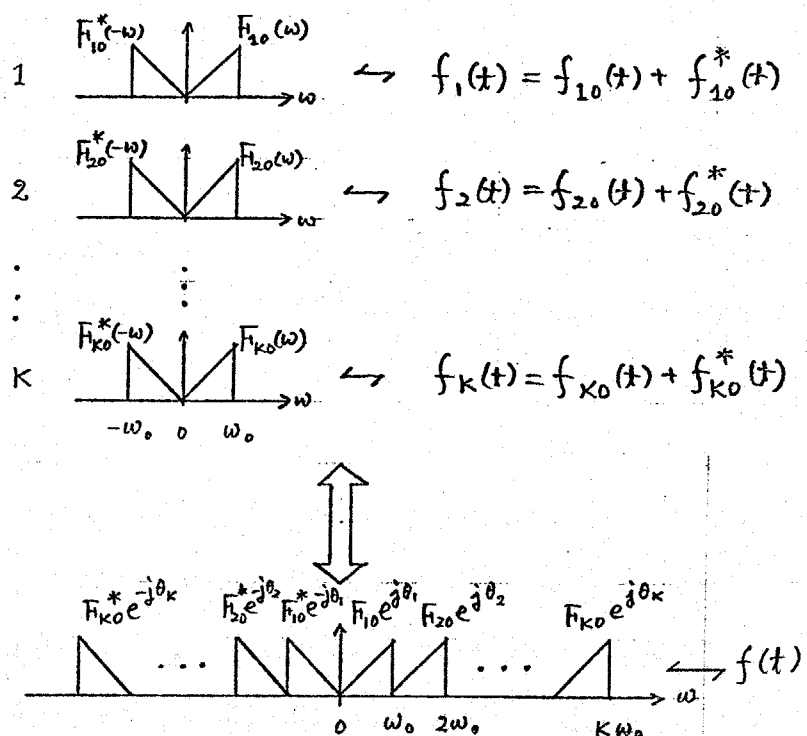
(図8.2) 参照)。ここの

実用面から見て, t_k は

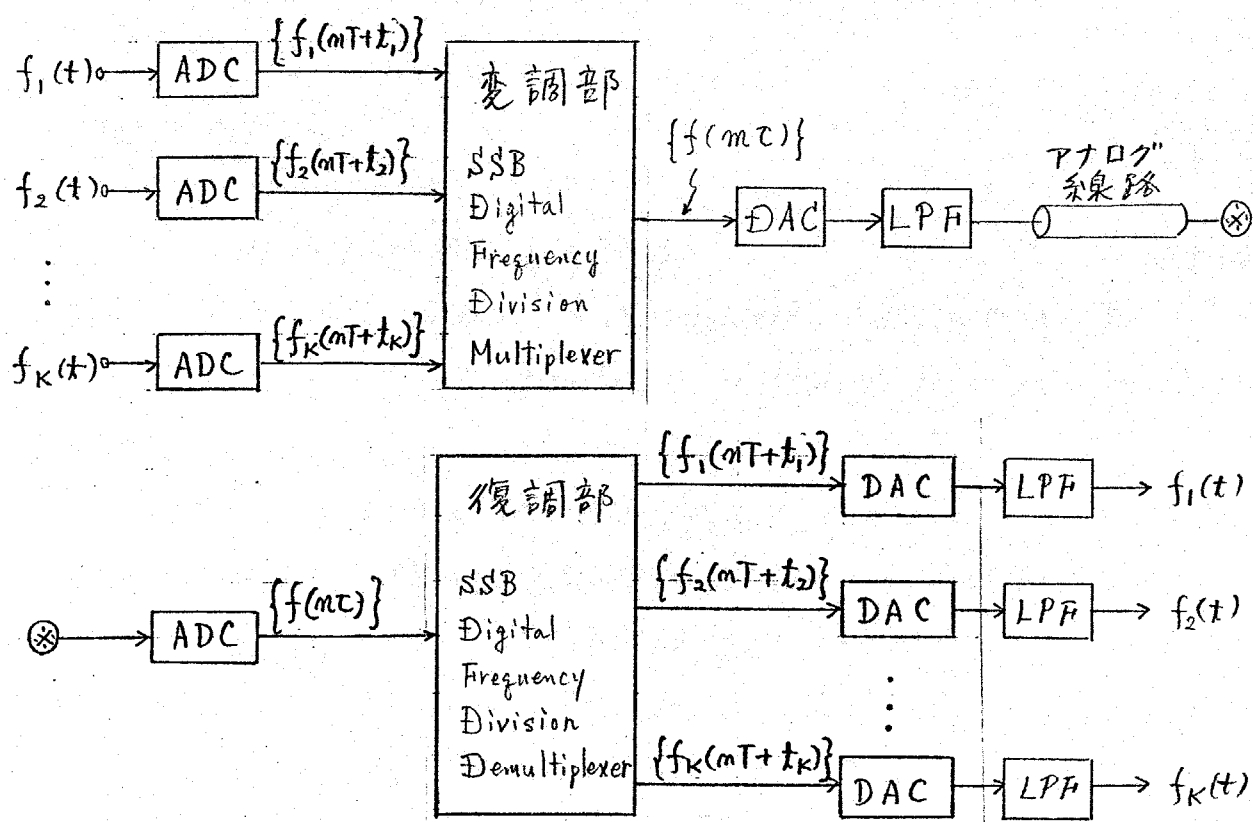
2 時, $t_k=0$ ($k=1 \sim K$), す

べしは, $t_k=kC$ ($k=1 \sim K$)

の場合が重要と思われる。



(図8.1) 基底帯域信号と周波数分割多連 SSB信号



(図8.2) SSB デジタル変復調システム

8.3. 変調部

本節では、 ω_0 の帯域制限された基底帯域信号のナキスト周期ごとの時系列 $f_k(nT+t_k)$ ($T \triangleq \pi/\omega_0$) から、それを周波数分離し多重化する B 信号のナキスト周期ごとの時系列 $f_m(t)$ ($T \triangleq T/K$, K : 多重化) を求める式を導き、それを実現する回路構成を示す。

基底帯域信号 $f_k(t)$ ($k=1 \sim K$) は、

$$f_k(t) \triangleq f_{k0}(t) + f_{k0}^*(t) \rightarrow F_k(\omega) \triangleq F_{k0}(\omega) + F_{k0}^*(-\omega) \quad (8.3-1)$$

但し、 $f_{k0}(t) \leftarrow F_{k0}(\omega) \Rightarrow$, $F_{k0}(\omega)$ は $0 \leq \omega \leq \omega_0$ 以外では零。

と表され、これが (図 8.3) に示すよう K 周波数軸上に $(k-1)\omega_0$ だけ推移させ、位相 $e^{j\theta_k}$ を加えた信号、即ち SSB 変調された信号 $f_k^M(t)$ は、式 (8.2-2) から

$$f_k^M(t) = f_k(t) \cos\{(k-1)\omega_0 t + \theta_k\} - 2 \operatorname{Im}\{f_{k0}(t)\} \sin\{(k-1)\omega_0 t + \theta_k\} \quad (8.3-2)$$

$$\leftarrow F_k^M(\omega) \triangleq F_{k0}\{\omega - (k-1)\omega_0\} e^{j\theta_k} + F_{k0}^*\{-\omega_0 - (k-1)\omega_0\} e^{-j\theta_k}$$

と表す。この θ_k は $\theta_k = -(k-1)\omega_0 t_k$ である。

$$\theta_k = -(k-1)\omega_0 t_k \quad (8.3-3)$$

と述べておいたとすると、式 (8.3-2) が得られる。

$$f_k^M(nT+t_k) = (-1)^{n(k-1)} f_k(nT+t_k) \quad (8.3-4)$$

が得られ、式 (8.3-2) が現われた。即ち $\operatorname{Im}\{f_{k0}(t)\}$ を使わずに表現できることになる。

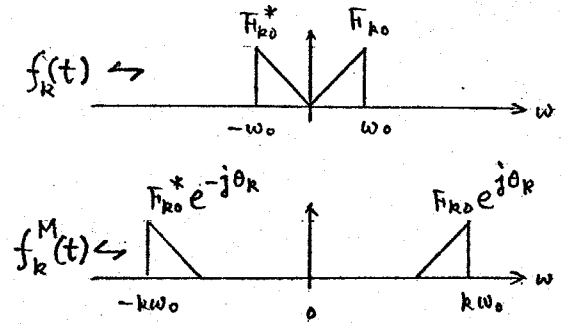
一方、式 (8.2-1) より、 $T_0 = T$, $t_0 = t_k$ で、 $x(t) \leftarrow f_k^M(t)$ とし、 $T_0 \cdot y(t)$ は次の $g_k(t)$

$$g_k(t) \triangleq \{\sin k\omega_0 t - \sin (k-1)\omega_0 t\}/\omega_0 t \quad (8.3-5)$$

を代入すれば、良く知られた標本化定理となり、式 (8.3-4) の結果と合致する。

$$f_k^M(t) = \sum_{n=-\infty}^{\infty} (-1)^{n(k-1)} f_k(nT+t_k) g_k(t-nT-t_k) \quad (8.3-6)$$

を得る。(図 8.1) が示すように、 $f(t)$ は、この K のナキスト周期ごとに K 個のナキスト周期毎の標本値 $f_m(t)$ ($m = T/K$, K : 多重化) は、時系列 $f_k(nT+t_k)$ である。



(図 8.3) 基底帯域信号の周波数軸上での推移。

$$f(mC) = \sum_{k=1}^K \sum_{m=-\infty}^{\infty} (-1)^{m(k-1)} f_k(mT + t_k) \cdot g_k(mC - mT - t_k) \quad (8.3-7)$$

と表せることになる。これを帯域 $K \cdot W_0$ の領域フルタヒ通せば、 $f(t)$ が得られる。又、式(8.3-7)を有限項の近似構成する場合、 $|g_k(t)| (\propto 1/|t|)$ の小さな部分を省略することになるから、各 k 部分の良さより K 添字をはずし、実用上重要なものは $t_k = 0$ 及び $t_k = kC$ ($k=1 \sim K$) の場合について、式(8.3-7)を書き直しておく。

① $t_k = 0$ ($k=1 \sim K$) の場合

$$f(mC + lT) = \sum_{k=1}^K \sum_{m=-\infty}^{\infty} (-1)^{(m+l)(k-1)} f_k\{(m+l)T\} \cdot g_k\{(m-m \cdot K)C\} \quad (8.3-8)$$

$$g_k\{(m-m \cdot K)C\} = \frac{(-1)^{m(k-1)} \left\{ (-1)^m \sin \frac{km}{K} \pi - \sin \frac{(k-1)m}{K} \pi \right\}}{(m-m \cdot K) \pi / K} \quad (8.3-9)$$

但し、 $m=1 \sim K$, $-\infty < l < +\infty$.

式(8.3-8)の構成例を(図8.4)に示す。

② $t_k = kC$ ($k=1 \sim K$) の場合

$$f(mC + lT) = \sum_{k=1}^K \sum_{m=-\infty}^{\infty} (-1)^{(m+l)(k-1)} f_k\{(m+l)T + kC\} g_k\{(m-k)C - mT\} \quad (8.3-10)$$

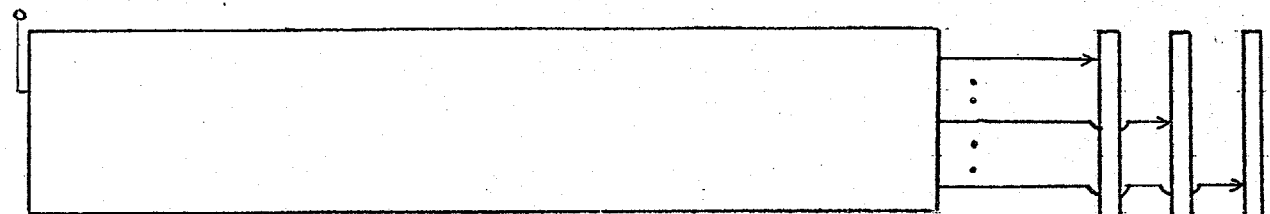
$$g_k\{(m-k)C - mT\} = \frac{(-1)^{m(k-1)} \left\{ (-1)^m \sin \frac{k(m-k)}{K} \pi - \sin \frac{(m-k)(k-1)}{K} \pi \right\}}{(m-k-m \cdot K) \pi / K} \quad (8.3-11)$$

但し、 $m=1 \sim K$, $-\infty < l < +\infty$

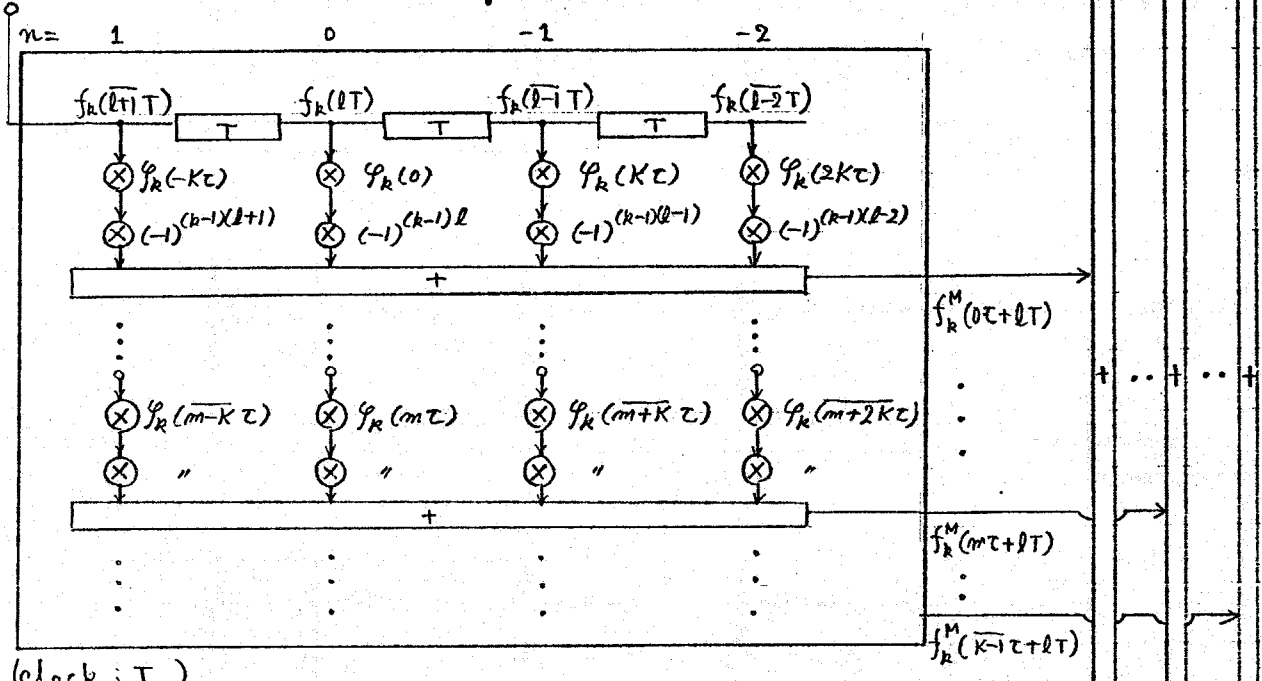
式(8.3-10)の構成例を(図8.5)に示す。

(図8.5)は、一見(図8.4)に比べて簡単に見えるが、ソフトレジスタの数、乗算器の数、加算器の数において(図8.4)と同じである。但し、(図8.5)の構成の場合、入力のAD変換器の部分を(図8.6)に示すようだ。やや高速のAD変換器一台で置きかえることが出来る。又、(3)で得られた時系列 $\{f_1(lT+C), \dots, f_K(lT+KC)\}_l$ を、そのまま、能率よく利用するには、(図8.5)に示す $g_1(0), g_2(0), \dots, g_K(0)$ 加算器に接続すればよい。 m 位置ずらして構成すれば、ノックとノックされなければならない。

$\{f_i(lT)\}_l$

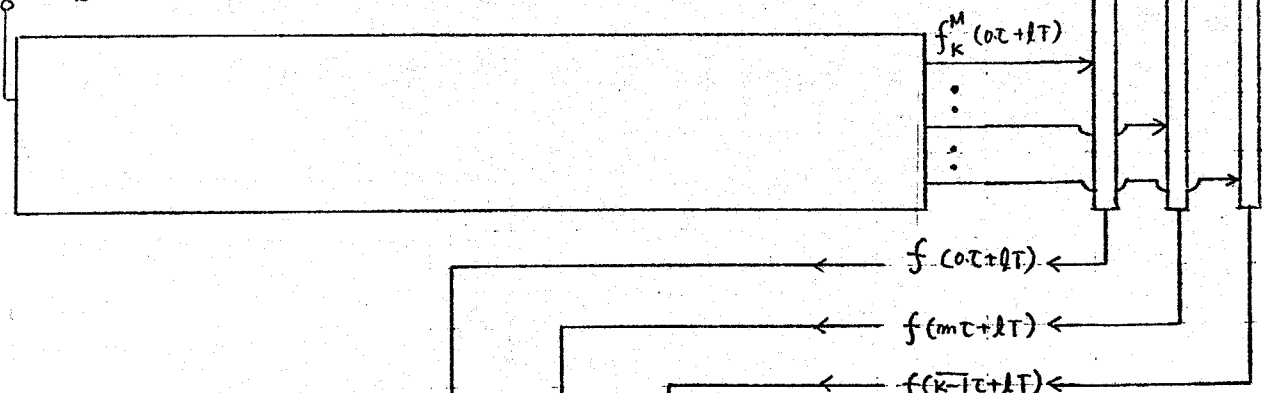


$\{f_k(lT)\}_l$



(clock : T)

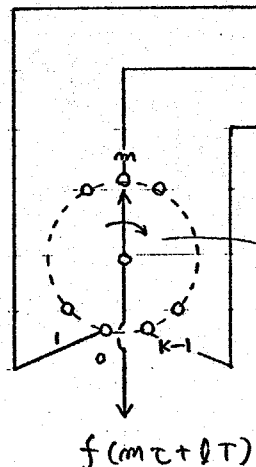
$\{f_k(lT)\}_l$



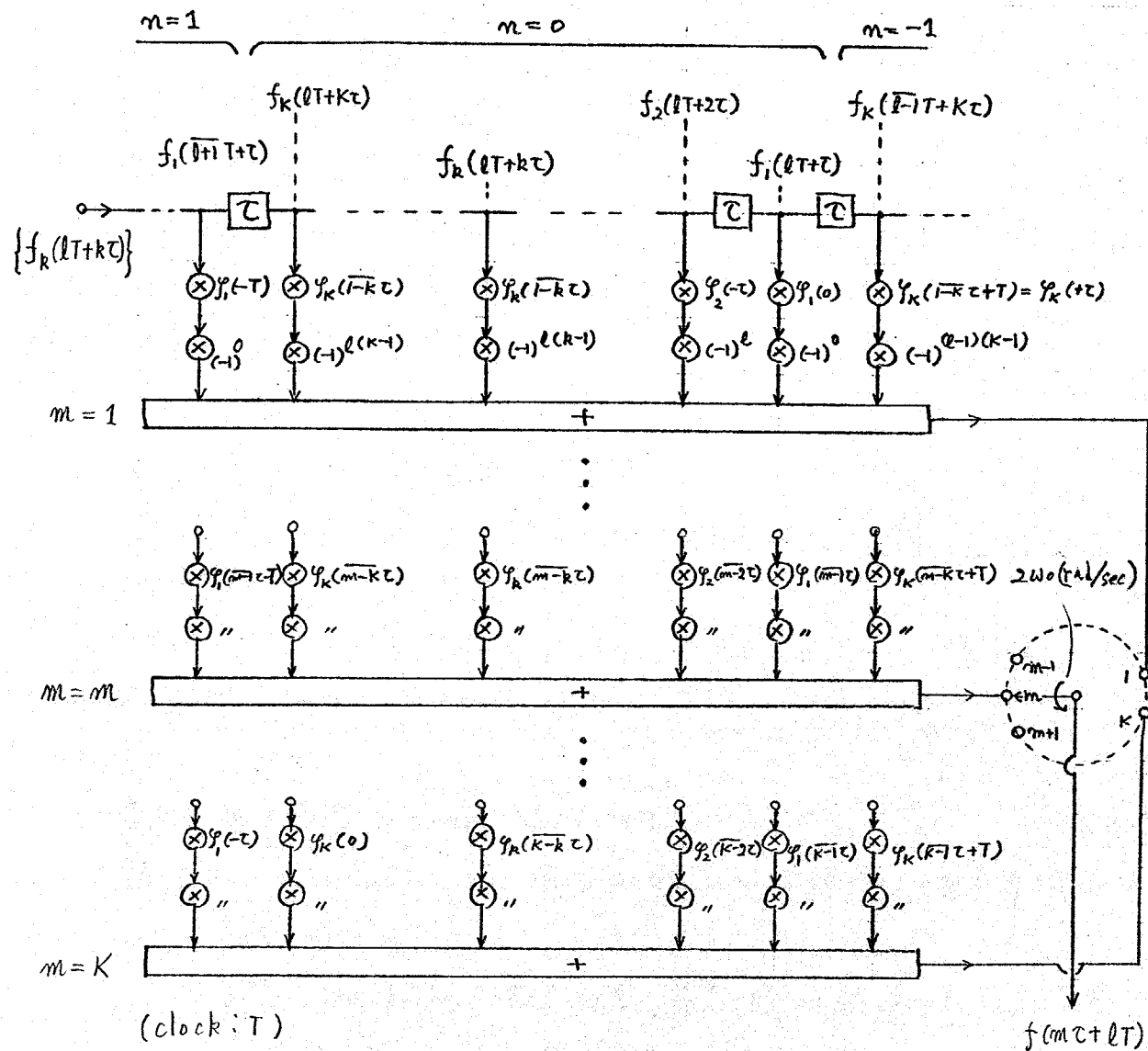
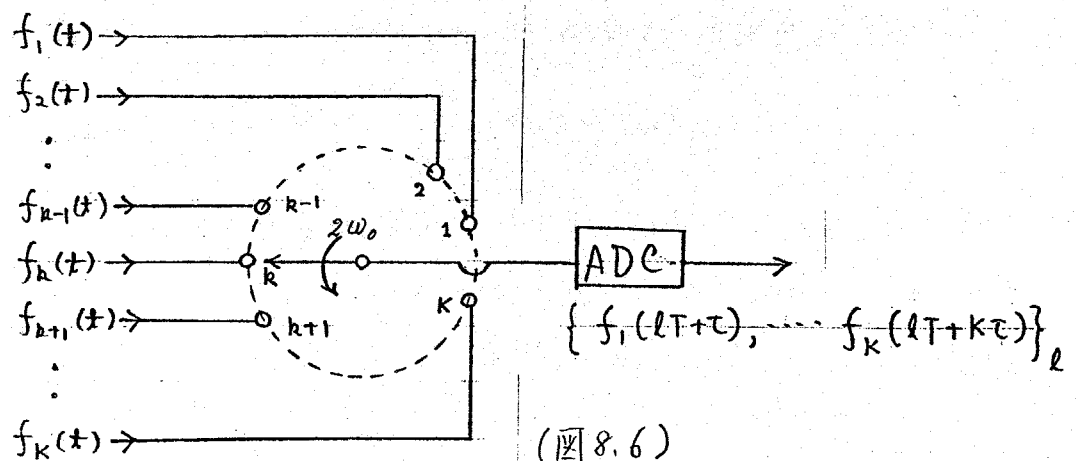
(図8.4) 変音周部の構成例

① $t_k=0$ の場合

式(8.3-8)



$$\frac{2\pi}{K\tau} = \frac{2\pi}{T} = 2\omega_0 \text{ (rad/sec)}$$

(図8.5) 変調部の構成例② $t_k = k\tau$ の場合, 式(8.3-10)

8.4 復調部

本節では、変調と逆の操作である復調について述べる。即ち、周波数分割多道式S.S.B信号のナベキスト間隔ごとの時系列から元の基底帯域信号のナベキスト間隔ごとの時系列を求める式を導き、それを実現する回路構成を示す。

今、完全 K 周期加算において $t = t_0$ とする時は受信側では、式(8.3-7)の時系列 $f(m\tau)$ が与えられることが分る。8.3節と同様に信号 t とし、(図8.7)を参照して、式(8.2-1)より、 $T_0 = \tau$, $t_0 = 0$ とし、 $x(t) \leftarrow f(t)$, $y(t) \leftarrow (f(t))_K$ (図8.7) SSB信号の復調図。
 $g_R(t)/T$ を代入すれば、 $z(t)$ とし、 $f_K^M(t)$ が得られること。

$$f_K^M(t) = (1/K) \sum_{m=-\infty}^{\infty} f(m\tau) g_R(t-m\tau) \quad (8.4-1)$$

これを (図8.7) b) \rightarrow c)。これを周波数軸上へ平行移動すれば、基底帯域に移し直すことで、式(8.2-2)から

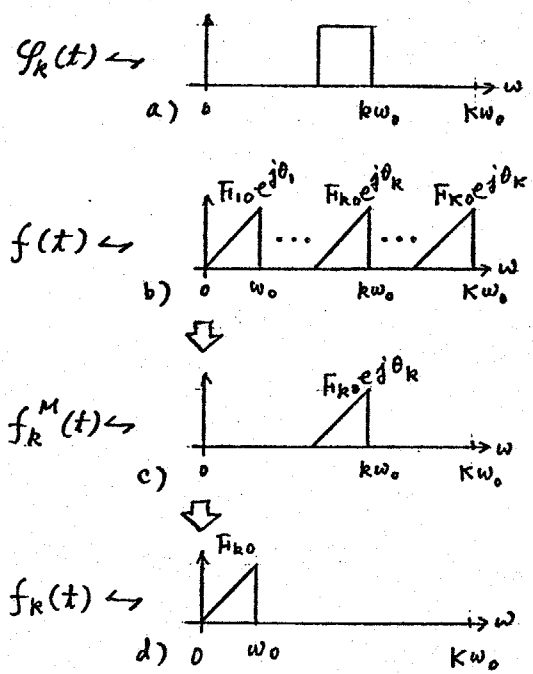
$$f_K(t) = f_K^M(t) \cos \{(k-1)\omega_0 t + \theta_K\} + 2 \operatorname{Im} \{f_{K0}^M(t)\} \sin \{(k-1)\omega_0 t + \theta_K\} \quad (8.4-2)$$

但し、 $f_{K0}^M(t) \leftarrow F_K(\omega - (k-1)\omega_0) e^{j\theta_K}$

を満たさねばならぬ (図8.7) b) \rightarrow c)。この「送信側」位相条件式(8.3-3)が、満たさねばならぬことを注意可山日。式(8.4-1) 及び式(8.4-2)から

$$f_K(mT+t_K) = \frac{(-1)^{m(K-1)}}{K} \sum_{m=-\infty}^{\infty} f(m\tau) g_R(mT+t_K-m\tau) \quad (8.4-3)$$

が得られ、元の基底帯域信号 f_K のナベキスト間隔ごとの時系列 $f_K(mT+t_K)$ が復元されることが分かる。これから $f_K(t)$ を得るには、帯域 ω_0 の倍数フィルタを通り、それ以上は「よ」。復調化とは同様に、有限項の近似を考慮して、添字を省略せざるを得ない; $t_K=0$ 及び $t_K=k\tau$ の場合を例に式(8.4-3)を書き直す



SSB信号の復調.

$t_k < t_c$,

① $t_k = 0$ ($k=1 \sim K$) の場合

$$f_k(mT) = \frac{(-1)^{m(k-1)}}{K} \sum_{m=-\infty}^{\infty} f(mT - mC) \cdot g_K(mC) \quad (8.4-4)$$

$$g_k(mC) = \frac{\sin \frac{k \cdot m}{K} \pi - \sin \frac{(k-1) \cdot m}{K} \pi}{m \cdot \pi / K} \quad (8.4-5)$$

式(8.4-4)の構成例を(図8.8)に示す。

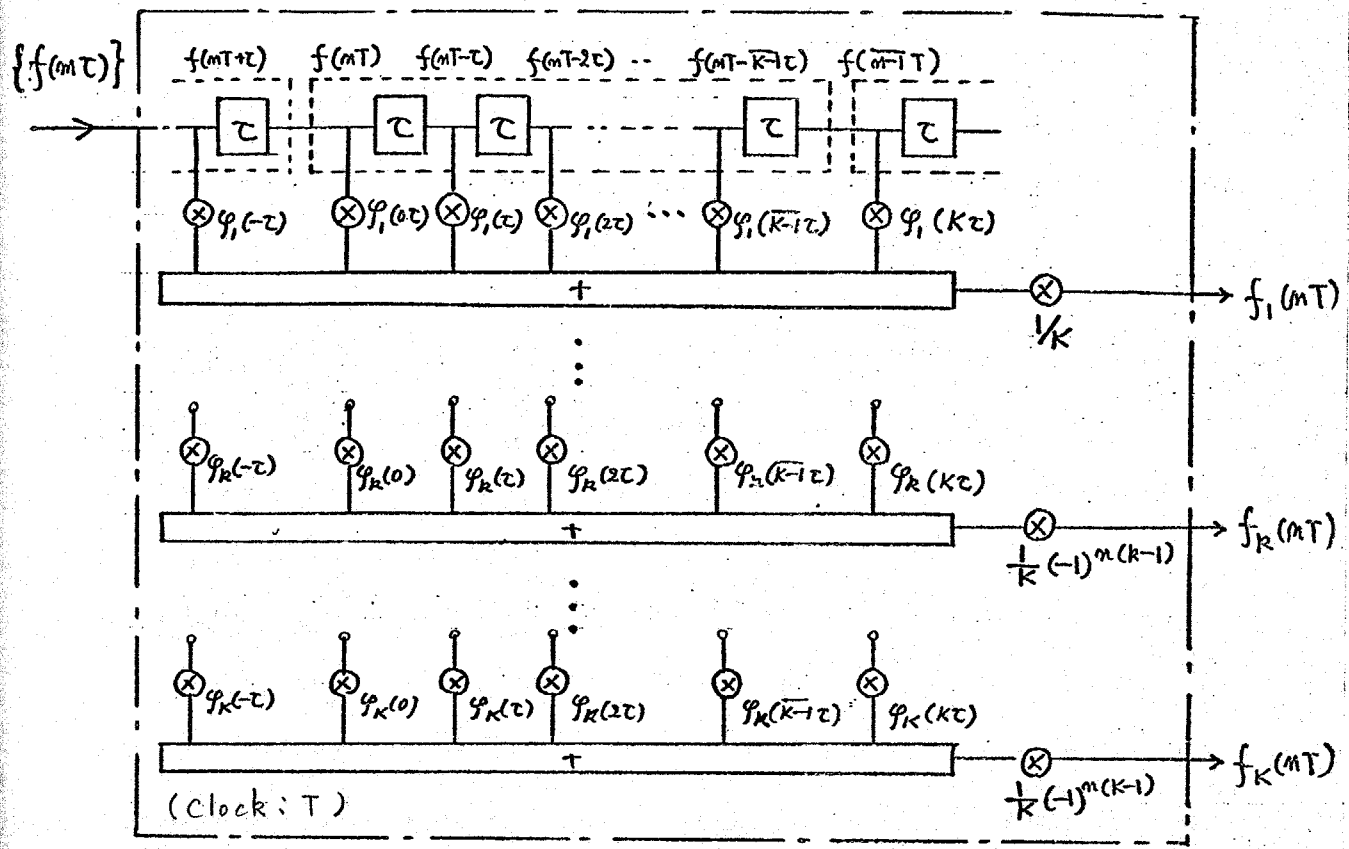
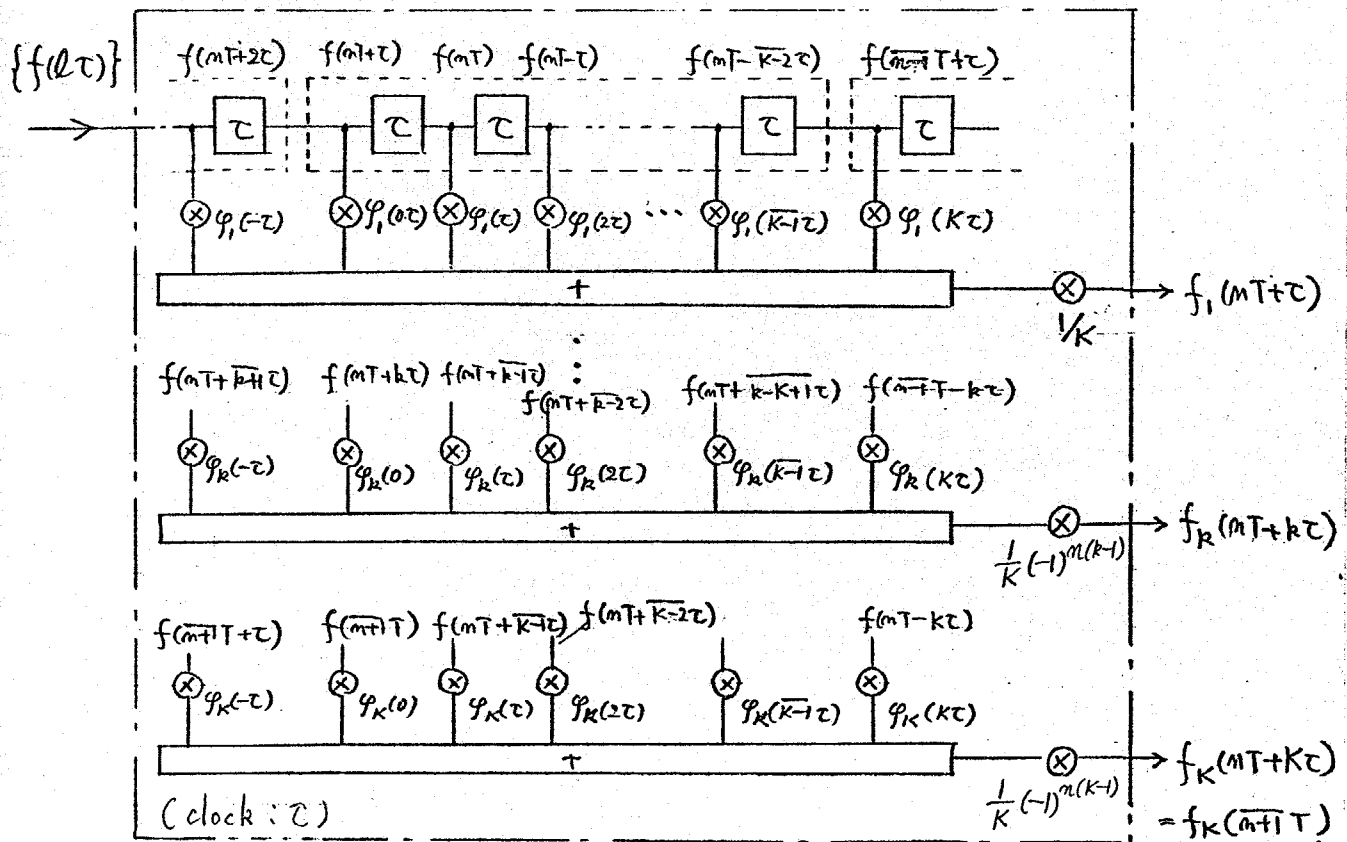
② $t_k = kC$ ($k=1 \sim K$) の場合

$$f_k(mT + kC) = \frac{(-1)^{m(k-1)}}{K} \sum_{m=-\infty}^{\infty} f\{mT - (m-k)C\} g_K(mC) \quad (8.4-6)$$

$g_k(mC)$ は、式(8.4-5)と同一。

式(8.4-6)の構成例を(図8.9)に示す。

尚、受信側で同期かとれないと、いかゆる直交成分が混入し、完全な復調例が出来るのは、ATMやシステムの場合とは限らない。同期方法の一例は、1チャネルを使って、 $f_s(t) = \cos\{(ct - ts)\omega_0/2\}$ ($\theta_s = -(s-1)\omega_0 ts$) などの同期信号を送ることからもたらされ、これがKは、復調側では、 $f_s(mT + ts) = \dots, -1, 0, 1, 0, -1, \dots$ と見てさしつか 標本化の位相を調整してみてよ。

(図8.8) 復音部の構成例, ① $t_R=0$ の場合 式(8.4-4)(図8.9) 復音部の構成例, ② $t_K=kT$ の場合 式(8.4-6)

8.5. あとがき、

本章では、標本化定理に基づく周波数分割多重 SSB-AM ディジタル変復調システムの一形式について述べた。これで送信機の構成は(図8.4) (図8.5), (図8.8), (図8.9)にしておく、いまから、トランジスタ型回路によつて構成出来る。

残された問題まとめは、

- i) 他の諸方式との実際的比較検討。
- ii) 2重標本化定理を用ひ、 $\omega_2/(\omega_2 - \omega_1) = N(\text{整数})$ が必ず成立り立つ一般の場合への拡張などか挙げられます。

第9章 結言

本研究は、トランジistor型回路の設計、特に、2乗誤差を評価式として設計に関する問題と、それに関連する幾つかの問題に対する考察を目的として行われ、以下に示すような結果を得た。以下、本研究で得られた結果及び残された問題点を簡単にまとめおく。

第2章では、タップ利得2乗和の抑止したトランジistor型回路の最小2乗近似による設計方法を示した。即ち、通常の最小2乗近似による設計では、タップ利得が非常に大きくなり、しきい値の場合はこれを抑制し、それが、どのような場合に起きたかを明らかにすると共に、その解決策とし、タップ利得2乗和を一定値に抑えた、最小2乗近似による設計方法を示した。さらに、タップ利得2乗和を抑えた設計方法が、出力ノイズと抑えた状態での最適設計方法にならうとした物理的意味のことを示し、自動等化器へ用いた場合のタップ利得設計アルゴリズムを示した。又、タップ利得2乗和を抑えたときの最小2乗誤差を簡単に評価する近似式を示した。尚、第2章に関連する問題としては、タップ利得のはらつきを抑えた設計方法の検討などがあげられる。

第3章では、絶対値2乗可積分の希望伝達度数が与えられたとき、それが、単位回路とし、集中定数N次全域通過回路を用いて半無限トランジistor型回路²⁾を実現するための条件について考察し、幾つかの必要十分条件を示した。残された問題としては、周期周波に対するヒューリカルト变换などを用いて他の形式の条件導出などの、単位回路とし、全域通過回路に限らず、一般の集中定数回路を用いた場合への条件式の拡張などが考えられる。

第4章では、タップ数ごとに異なるが三種類があり、分段一端型の設計方法に対し、分段の特徴、任意に多くされた分段統和型2乗誤差を誤差評価式として用いる。また、タップ利得をさへは、タップ利得制御入力が、希望特性の分段値をもつときは、可変等化器等とし、便利な形式の分段統和型2乗誤差最小トランジistor型回路の構成方法を示した。又、そこでは必要となるマトリクス回路の簡略化を例により

検討し、相当の簡単化が可能であることを示した。さらに、可変等化器による便利な形式²を示した。次に、周波数領域のプリセット形等化器との応用方法を述べた。最後に、バタワースフィルタを希望特性とし近似して場合の計算データにより、分岐統和型工事誤差の特徴を調べ、分岐はタップ³数のはず倍とは、十分であること、近似に必要なタップの数、単位回路の最適な遅延時間、重み関数の影響などについて、大きさを設計指針を与えた。残された問題点としては、マトリクス回路の簡単化を組織的に検討すること、シミュレータとの応用可能性と、その場合、他の方法との比較検討を行うこと、又、振幅等化器および位相及ぶ遅延等化器と1.2.用いる場合のデータの集積などをあげられる。

第5章では、トランジistor型回路の各種構成⁴ラメータの偏差が、伝達特性及び振幅位相特性に与え影響を一次近似により求め、それにより、偏差による影響の大さきの特徴を述べると共に、計算例によく一次近似式がかなりの精度で実際と一致する事を示した。又、各種構成⁴ラメータの偏差が、時間領域標本値に与え影響を、標本実偏差の乗和を評価することにより一次近似による式を取りまとめて、位相等化器を仮定して場合の計算例を示し、偏差の大きい⁴ラメータの種類及び位置による影響に大きな特徴のあることを示した。さらに、偏差の分類を提案し、最後に、タップ利得が統計的ではなくつきをもつて場合の影響を伝達関数の係数から求めた時の二乗絶対値の平均⁵評価することにして、通常型構成と統続型構成の比較を行ひ、特に統続型位相⁶次系統型構成と、並んで通常型構成の場合の比較結果よりは、2次区間の数が5以上では、通常型構成の方が優しいことを示した。残された問題点としては、2次以上⁷の高次近似式を求めることが、又、(2)提案した偏差の分類を系統的に検討すると、また、統計的偏差を仮定した議論に対して、はつきり相違がある場合とか、タップ利得についてとか、他の構成⁴ラメータの統計的偏差の仮定した場合への議論が充張、又は、近似する特徴を結びつけた、通常型構成と統続型構成の優劣の比較、などがあげられる。

第6章では、離散的⁸タップ利得をもつトランジistor型回路に着目考察し、当半⁹、最小2重近似による統計¹⁰、大域的最小実を得た¹¹十分な格子の調査範

問題を、直流利得も含めて近似の場合と、直流利得を問題としない近似の場合について求めた。又、特に直流利得を問題とする場合については、(A)により、局所的最小零点を求める場合も考慮し、その時の一次元探索の「段立」、連続空間上での2重誤差評価関数の形状も示した。後半では、タップ利得が進み行くと制限された2次区間統型構成によるトランジistor型回路の零点を系統的に求め、設計の際のデータを与えた。残された問題集としては、実例により、どの程度調査範囲かせばよいかを検討すること、又、本節に述べた用い方のとくに要する不等式を利用して零点の情報などを使う。さらに調査範囲をせばよめると、さらに、後半の議論については、零点パターンを利用した設計方法及びその結果得られる近似特性的特徴を調べることなどがあげられる。

第7章では、2次区間統型構成によるトランジistor型回路と、MS形自動等化器との並びの場合の考察を行い、2次区間統型構成によるタップ利得を変数とした空間で、2重誤差評価関数を停留させよ点から、大域的最適点である局所条件を示すと共に、2重誤差評価関数を停留させよ点へ収束する簡単な自動等化アルゴリズムを示した。さらに、これらの方法が実際に効力を発揮出来る条件を述べ、2次区間統型構成によるトランジistor型回路を自動等化器との用いことの可能性と限界を明らかにした。

第8章では、標本化定理に基づき、トランジistor型回路の構成による周波数分割多重MSB-AM変復調システムの一形式を示し、同期方式についても簡単に触れた。残された問題集としては、他の諸方式との実際的比較検討及び、2重標本化定理を用いた場合への拡張などがあげられる。

謝 辞

本研究を進めるに当り、終始温々御指導を戴いて岸源也教授に心から感謝する次第である。又、特に、2章から5章に亘り、直接に御助言を戴いて木田拓郎助教授に心から感謝の意を表す次第である。さらに、8章に亘り、有益な御助言を戴いて辻井重男助教授に深謝する。又、2章に述べた今後の問題点は、柳沢健蔵教授の御拍擗に依る。こゝに感謝の意を表す。さらに、全般に渡り、有益な御助言、御討論を戴いて杉本公弘博士はじめとする岩研究室、木田研究室の諸兄に深謝する。特に、岩研究室卒論生の小林隆夫氏には、4.4節の例題の計算玉筋手伝の功績。こゝに感謝の意を表す。

参考文献

- (1) 木田, 坂庭: "トランシスバーカル形等化器の最小近似誤差" 昭50. 信学会全国大会 No.17
- (2) 坂庭, 木田: "トランシスバーカル形等化器の近似問題に関する二、三の話題" 信学会回路とシステム研究会 CST 75-71 (1975-10)
- (3) 坂庭・木田: "トランシスバーカル形等化器の偏差角解析" 昭51 信学会総合全国大会 No.52
- (4) 岸, 坂庭: "NFB デジタル変復調の一形式" 信学論 (A) 技術講話室 Vol. J59-A. No.6. p514 (1976-06)
- (5) 坂庭, 木田: "トランシスバーカル等化器の各種偏差角時周域標本値に与える影響" 昭52. 信学会総合全国大会 No.1808 (昭和52年3月発表予定)
- (6) 坂庭・木田: "タップ利得2乗和を制限したトランシスバーカル形等化器(自動等化器への応用)" 昭52. 信学会総合全国大会 No.1809 (昭和52年3月発表予定)
- (7) H. E. Kallmann : "Transversal Filter." Proc. of IRE. Vol. 38. p302 (July 1940)
- (8) H. A. Wheeler : "The Interpretation of Amplitude and Phase Distortion in terms of Paired Echoes" Proc. of IRE. Vol. 27 p359 (June 1939)
- (9) R. W. Lucky : "Automatic Equalization for Digital Communication" B.S.T.J. Vol. 44. No. 4. p547. (April 1965)
- (10) A. Gersho : "Adaptive Equalization of Highly Dispersive Channels for Data Transmission" B.S.T.J. Vol. 48. No. 1. part 1. p55 (January 1969).
- (11) R. W. Chang : "A New Equalizer Structure for Fast Start-Up Digital Communication" B.S.T.J. Vol. 50. No. 6. p 1969 (July-August 1971)

- (12) K. H. Muller : "A New, Fast-Converging Mean-Square Algorithm for Adaptive Equalizer with Partial Response Signaling", B.S.T.J Vol. 54, No. 1, p 143. (January 1975)
- (13) 西田, 大工 : "SNTCを最大LMS等化器の構成法" 信学会, 通信方式研究 CS 71-100 (1971-10)
- (14) D. A. Spaulding : "Optimizing Sensitivity in the Design of a Class of Linear Filters" IEEE, Trans. IT-16, p 456 (August 1970)
- (15) 佐藤 : "タップ付遮断線の波形等化能力" 信学会, 通信方式研究 CS 74-23 (1974-05)
- (16) A. J. Gibbs : "Minimum Mean-Square-Error Approximation Using Transversal-Type Filters" IEEE, Trans. CAS-21 No. 3 p 348 (May 1974)
- (17) 石田 : "タップ付遮断線の波形等化能力" 昭47 信学会全国大会, No. 45.
- (18) R. S'perry and D. Surenian : "A Transversal Equalizer for Television Circuits" B. S. T. J. Vol. 39, No. 2, p 105 (March 1960)
- (19) 高橋, 岩野, 小塚 : "減衰付リニア連動補償器による波形可変遮断等化器" 信学論 (A) Vol. J59-A No. 6 p 526 (1976-06)
- (20) 石田 : "トランジistor形等化器" 信学会 回路とシステム研究 CT 73-35 (1973-09)
- (21) 石田 : "タップ付遮断線と用ひる波形等化について" 信学会, 通信方式研究 CS 74-2 (1974-04)
- (22) 吉村, 岩田 : "RCアティブ化ナ什ストフィルタの設計" 昭51. 信学会通信部門全国大会, No. 272.
- (23) 越丸 : "All pass回路を用ひるトランジistor形等化器の最適設計" 東京工大, 修士論文, 昭和51年2月.
- (24) A. Peled and B. Liu : "A New Hardware Realization of Digital Filters" IEEE, Trans. ASSP-22 p 456 (1974)

- (25) 岸,三谷,鎌田,辻井：“ディジタルフィルタのけい加算形構成”. 信学論(A). 政府
調査室. Vol. J59-A. No.10. p887. (1976-10)
- (26) B. Liu : "Effect of Finite Word Length on the Accuracy of Digital Filters
(A Review)". IEEE. Trans. CT-18. No. 6. p670 (November. 1971)
- (27) 重陽,鷺島,木谷,佐々木：“電荷転送素子を用いた非巡回形トランジistorカク形フィル
タの一構成法”. 信学論(A). Vol. J59-A. No.11. p915. (1976-11)
- (28) C. M. Puckette, W. J. Butler and D. A. Smith : "Bucket-Brigade Transversal
Filters". IEEE. Trans. CAS-21. No. 4. (July 1974)
- (29) 小池：“遮断線の周波数特性と自動等化器に関する考察”. 昭51 信学会.
通信部門 全国大会. No. 145.
- (30) 岸,吉川,三谷：“諸長制限におけるナベスト波形整形FIRディジタル・フィルタ
の一設計方法”. 信学論(A). Vol. J59-A. No. 8. p629. (1976-08)
- (31) 石田,後藤,山元：“タップの間引きによるディジタルフィルタの合成”. 信学会
回路システム理論研究会. CST 76-67 (1976-09)
- (32) 吉川：“諸長制限のあるディジタル・フィルタの設計に関する研究”. 車両工学博士
論文, 昭和51年1月
- (33) M. G. Bellanger and J. L. Dagnet : "TDM-FDM Transmultiplexer:
Digital Polyphase and FFT". IEEE. Trans COM-22 No. 9. p1199
(September 1974)
- (34) S. L. Greeny, R. B. Krieburty, K. V. Mina and S. K. Tewksbury :
"Design of Digital Filters for an All-Digital Frequency Division
Multiplex-Time Division Multiplex Translator". IEEE. Trans.
CT-18. No. 6. (November 1971)
- (35) C. H. Kurth : "SSB/FDM Utilizing TDM Digital Filters"
IEEE. Trans. COM-19 No. 1 (February 1971)
- (36) 辻井,鎌田：“伝送ルートの適応技術—自動等化一”. 信学誌. Vol. 58
No. 10. p1092 (1975-10)

- (37) 佐藤：“通信回路における自動導化の原理と諸問題”，日経エレクトロニクス
1976年2月23日号，p76.
- (38) W. R. Bennett and J. R. Davey：“Data Transmission” McGraw-Hill (1965)
- (39) 猪瀬貞、宮川編：“PCM通信の進歩” 芸報 (1974)
- (40) 例えは、佐竹：“行列と行列式” 蔦華房 (昭33)
- (41) A. Papoulis：“The Fourier Integral and Its Applications” McGraw-Hill (1962)
- (42) 岸：“回路解析の基礎” 共立 (1955)
- (43) E. C. Titchmarsh：“Introduction to the Theory of Fourier Integrals” 2nd.ed. Oxford. (1948)
- (44) 渡部：“伝送回路網の理論と設計” オーム社 (昭43)
- (45) 高木：“代数学講義” 共立 (昭40)